



TUGAS AKHIR (RC18-4803)

MODIFIKASI PERANCANGAN GEDUNG SKYSUITES SOHO SURABAYA DENGAN BASE ISOLATOR : HIGH DAMPING RUBBER BEARING (HDRB) DAN PETA GEMPA TAHUN 2017

DIANANDA ESKA PRATIWI
NRP. 03111540000007

Dosen Pembimbing
Harun Al Rasyid, ST., MT., PhD
Data Iranata, ST., MT., PhD

DEPARTEMEN TEKNIK SIPIL
Fakultas Teknik Sipil, Lingkungan, dan Kebumian
Institut Teknologi Sepuluh Nopember
Surabaya
2019



TUGAS AKHIR (RC18-4803)

**MODIFIKASI PERANCANGAN GEDUNG
SKYSUITES SOHO SURABAYA DENGAN BASE
ISOLATOR : HIGH DAMPING RUBBER BEARING
(HDRB) DAN PETA GEMPA TAHUN 2017**

DIANANDA ESKA PRATIWI
NRP. 03111540000007

Dosen Pembimbing
Harun Al Rasyid, ST., MT., PhD
Data Iranata, ST., MT., PhD

DEPARTEMEN TEKNIK SIPIL
Fakultas Teknik Sipil, Lingkungan, dan Kebumian
Institut Teknologi Sepuluh Nopember
Surabaya
2019



FINAL PROJECT (RC18-4803)

**DESIGN MODIFICATION OF SKYSUITES SOHO
SURABAYA USING BASE ISOLATOR : HIGH
DAMPING RUBBER BEARING (HDRB) AND
SEISMIC HAZARD MAP OF 2017**

DIANANDA ESKA PRATIWI
NRP. 03111540000007

Academic Supervisor
Harun Al Rasyid, ST., MT., PhD
Data Iranata, ST., MT., PhD

CIVIL ENGINEERING DEPARTMENT
Faculty of Civil, Environmental and Geo Engineering
Sepuluh Nopember Institute of Technology
Surabaya
2019

LEMBAR PENGESAHAN

MODIFIKASI PERANCANGAN GEDUNG SKYSUITES SOHO SURABAYA DENGAN BASE ISOLATOR : HIGH DAMPING RUBBER BEARING (HDRB) DAN PETA GEMPA TAHUN 2017

TUGAS AKHIR

Diajukan Untuk Memenuhi Salah Satu Syarat
Memperoleh Gelar Sarjana Teknik
pada
Program Studi S-1 Departemen Teknik Sipil
Fakultas Teknik Sipil, Lingkungan dan Kebumian
Institut Teknologi Sepuluh Nopember

Oleh :

DIANANDA ESKA PRATIWI
NRP. 03111540000007

Disetujui oleh Pembimbing Tugas Akhir :

1. Harun Al Rasyid, ST., MT., Ph.D (.....)
2. Data Iranata, ST., MT., Ph.D (.....)



SURABAYA, JULI 2019

**MODIFIKASI PERANCANGAN GEDUNG
SKYSUITES SOHO SURABAYA DENGAN BASE
ISOLATOR : HIGH DAMPING RUBBER BEARING (HDRB)
DAN PETA GEMPA TAHUN 2017**

Nama Mahasiswa : Diananda Eska Prtiwi
NRP : 03111540000007
Departemen : Teknik Sipil FTSLK-ITS
Dosen Konsultasi : 1. Harun Al Rasyid, ST., MT., PhD
 2. Data Iranata, ST., MT., Ph.D

Abstrak

Berdasarkan *Peta Sumber Bahaya dan Gempa Bumi Indonesia Tahun 2017*, Kota Surabaya dilintasi oleh dua sesar (patahan) aktif yang berpotensi menyebabkan gempa bumi hingga 6,5 SR (Widodo,2017). Hal tersebut perlu dijadikan pertimbangan dalam merencanakan infrastruktur di Kota Surabaya sebagai tindakan mitigasi bencana. Salah satu perkembangan teknologi dalam perlindungan struktur terhadap gempa bumi adalah dengan menggunakan sistem isolasi dasar (base isolator). Base isolator merupakan sebuah sistem yang diletakkan di atas pondasi untuk memisahkan pondasi dengan struktur diatasnya sehingga ketika terjadi gempa getaran akan diterima pondasi dan direndam oleh base isolator terlebih dahulu sebelum diterima struktur utama. Sistem ini dapat diterapkan pada struktur baru maupun sebagai tambahan struktur yang sudah ada.

Gedung Skysuites Soho Surabaya merupakan objek perancangan yang berfungsi sebagai apartemen dengan 21 lantai akan dirancang ulang dengan menggunakan base isolator tipe High Damping Rubber Bearing (HDRB) dan Peta Gempa Tahun 2017. Perencanaan yang dilakukan meliputi perencanaan struktur sekunder, struktur primer, base isolator, dan pondasi.

Dari hasil perhitungan dan analisis, diperoleh dimensi tebal pelat sebesar 12cm, dimensi balok anak terbesar 30x40cm,

dimensi balok induk terbesar 40x60cm, dimensi kolom terbesar 90x90cm, base isolator HDRB dengan tipe produk HH060X6R yang memiliki diameter rubber 600mm, pondasi direncanakan dengan bored pile berdiameter 80cm dengan kedalaman 36m.

Kata kunci : gempa bumi, base isolator, isolasi seismik, elastomeric rubber bearing, high damping rubber bearing

**DESIGN MODIFICATION OF SKYSUITES SOHO
SURABAYA USING BASE ISOLATOR : HIGH DAMPING
RUBBER BEARING (HDRB) AND PETA GEMPA TAHUN
2017**

Student Name : Diananda Eska Prtiwi
NRP : 03111540000007
Major Departement : Teknik Sipil FTSLK-ITS
Academic Supervisor : 1. Harun Al Rasyid, ST., MT., PhD
 2. Data Iranata, ST., MT., Ph.D

Abstract

Based on the Peta Sumber Bahaya dan Gempa Bumi Indonesia Tahun 2017, Surabaya is crossed by two active faults which potentially causing earthquakes up to 6.5 SR (Widodo, 2017). This should be taken as consideration in planning infrastructure in Surabaya as a disaster mitigation action. One of the technological developments in protecting structures against earthquakes is to use a base isolator system. Base isolator is a system that is placed on a foundation to separate the foundation with the structure above it so that when an earthquake occurs, the vibration will be received by foundation and muted by the base isolator before received by the main structure. This system can be applied to new structures or in addition to existing structures.

Skysuites Soho Surabaya building is a design object as 21-storey apartment that will be redesigned using the High Damping Rubber Bearing (HDRB) type and Peta Gempa Tahun 2017. The design includes secondary structure, primary structure, base isolator, and foundation.

From the results of calculations and analysis, the dimensions of the plate are 12cm thick, the largest dimensions of the secondary beam is 30x40cm, the largest dimension of the main beam is 40x60cm, the largest dimension of column is 90x90cm, base HDRB isolators are HH060X6R which have 600mm rubber

diameter, bored pile foundation 80cm in diameter with 36 m depth.

Keywords : earthquake, base isolator, seismic isolation, elastomeric rubber bearing, high damping rubber bearing.

KATA PENGANTAR

Segala puji dan syukur penulis panjatkan kepada Allah SWT, karena atas berkat, rahmat, serta hidayah yang telah dilimpahkan-Nya, penulis dapat menyelesaikan Tugas Akhir yang berjudul “Modifikasi Perancangan Gedung Skysuites Soho Surabaya dengan *Base Isolator : High Damping Rubber Bearing (HDRB)* dan Peta Gempa Tahun 2017” ini dengan baik.

Dalam kesempatan ini penulis mengucapkan terima kasih sebesar-besarnya kepada pihak-pihak yang telah memberikan bimbingan maupun bantuan selama proses pengerjaan tugas akhir ini, diantaranya :

1. Orang tua dan kakak saya yang telah memberikan dukungan serta doa selama masa perkuliahan ini,
2. Alm. Ibu Endah Wahyuni, ST., M.Sc., Ph.D selaku dosen mata kuliah Teknik Penulisan Ilmiah yang telah membimbing saya dalam menyelesaikan proposal tugas akhir,
3. Bapak Harun Al Rasyid, ST., MT., Ph.D selaku dosen pembimbing yang telah membimbing serta membagikan ilmunya dalam proses penyelesaian tugas akhir ini,
4. Bapak Data Iranata, ST., MT., Ph.D selaku dosen konsultasi yang telah membimbing serta membagikan ilmunya dalam proses penyelesaian tugas akhir ini,
5. Mega, Dinok, Ira, Rosa, Ayu, Zizah, Etak, dan Rima, yang telah menemani dan membantu disaat-saat genting, memberi tumpangan kos-kosan, serta menjadi teman makan dan jalan-jalan,
6. Wildan yang sering saya repotkan dan mintai bantuan sepanjang perkuliahan ini,
7. Teman-teman Teknik Sipil ITS S58 yang telah memberikan dukungan dan semangatnya.

Penulis menyadari bahwa dalam tugas akhir ini masih memiliki kekurangan dan jauh dari kesempurnaan. Untuk itu, penulis membutuhkan adanya saran maupun kritik yang

membangun terhadap tugas akhir ini sehingga dapat dilakukan perbaikan kedepannya.

Surabaya, 25 Juli 2019

(Penulis)

DAFTAR ISI

| | |
|--|------|
| LEMBAR PENGESAHAN..... | i |
| ABSTRAK..... | iii |
| ABSTRACT..... | v |
| KATA PENGANTAR..... | vii |
| DAFTAR ISI..... | ix |
| DAFTAR GAMBAR..... | xiii |
| DAFTAR TABEL..... | xvii |
| BAB I PENDAHULUAN..... | 1 |
| 1.1 Latar Belakang..... | 1 |
| 1.2 Perumusan Masalah..... | 3 |
| 1.3 Tujuan..... | 4 |
| 1.4 Batasan Masalah | 4 |
| 1.5 Manfaat..... | 4 |
| BAB II TINJAUAN PUSTAKA..... | 7 |
| 2.1 Umum | 7 |
| 2.1 Sistem Isolasi Seismik | 7 |
| 2.1.1 Prinsip Isolasi Seismik | 7 |
| 2.1.2 Jenis-Jenis Isolasi Seismik..... | 8 |
| 2.2 Sistem Rangka Pemikul Momen Biasa (SRPMB)..... | 13 |
| 2.3 Struktur dengan Isolasi Seismik | 14 |
| 2.3.1 Persyaratan Perencanaan Umum | 14 |
| 2.3.2 Sistem Isolasi..... | 15 |
| 2.3.3 Sistem Struktural | 16 |
| 2.4 Sambungan Elastomeric Rubber Bearing..... | 18 |

| | |
|---|-----------|
| 2.4.1 Perencanaan Sambungan | 20 |
| BAB III METODOLOGI..... | 25 |
| 3.1Diagram Alir Perencanaan..... | 25 |
| 3.2Data Perencanaan..... | 27 |
| 3.3Studi Literatur..... | 28 |
| 3.4Penentuan Kriteria Desain | 28 |
| 3.5Preliminary Design | 32 |
| 3.5.1 Perencanaan Dimensi Kolom..... | 32 |
| 3.5.2 Perencanaan Dimensi Balok Induk | 33 |
| 3.5.3 Perencanaan Dimensi Pelat..... | 34 |
| 3.6Perencanaaan Struktur Sekunder | 35 |
| 3.6.1 Perencanaan Dimensi Balok Anak..... | 35 |
| 3.6.2 Perencanaan Dimensi Tangga..... | 35 |
| 3.6.3 Perencanaan Dimensi Balok Lift | 36 |
| 3.7Pembebanan | 36 |
| 3.7.1 Beban Mati..... | 36 |
| 3.7.2 Beban Hidup | 37 |
| 3.7.3 Beban Angin | 37 |
| 3.7.4 Beban Gempa..... | 38 |
| 3.7.5 Kombinasi Pembebanan | 40 |
| 3.8Perencanaaan Base Isolator | 41 |
| 3.9Pemodelan Struktur dan Kontrol Desain | 43 |
| 3.9.1 Kontrol Perioda Fundamental Struktur | 43 |
| 3.9.2 Kontrol Simpangan Antarlantai | 44 |
| 3.9.3 Batas Gaya Geser Struktur di Atas Sistem Isolasi, V_s | 45 |

| | | |
|----------------------------------|--|-----|
| 3.9.4 | Partisipasi Massa | 45 |
| 3.10 | Perencanaan Struktur Utama..... | 45 |
| 3.10.1 | Perencanaan Tulangan Kolom..... | 45 |
| 3.10.2 | Perencanaan Tulangan Lentur Balok..... | 46 |
| 3.10.3 | Perencanaan Tulangan Geser Balok | 47 |
| 3.11 | Perencanaan Pondasi..... | 48 |
| 3.12 | Penggambaran Hasil Perencanaan | 50 |
| BAB IV HASIL DAN PEMBAHASAN..... | | 51 |
| 4.1 | <i>Preliminary Design</i> | 51 |
| 4.1.1 | Data Perencanaan | 51 |
| 4.1.2 | Perencanaan Dimensi Balok..... | 51 |
| 4.1.3 | Perencanaan Dimensi Pelat | 56 |
| 4.1.4 | Perencanaan Dimensi Kolom | 67 |
| 4.2 | Perencanaan Struktur Sekunder..... | 78 |
| 4.2.1 | Perencanaan Pelat Lantai dan Pelat Atap | 78 |
| 4.2.2 | Perencanaan Tangga | 94 |
| 4.2.3 | Perencanaan Balok Lift | 101 |
| 4.2.4 | Perencanaan Balok Anak..... | 113 |
| 4.3 | Pemodelan dan Analisis Struktur <i>Fixed Base</i> | 142 |
| 4.3.1 | Pemodelan Struktur <i>Fixed Base</i> | 142 |
| 4.3.2 | Pembebatan Struktur..... | 143 |
| 4.3.3 | Berat Struktur | 151 |
| 4.3.4 | Analisis Struktur <i>Fixed Base</i> | 158 |
| 4.4 | Pemodelan dan Analisis Struktur dengan <i>Base Isolator : High Damping Rubber Bearing (HDRB)</i> | 169 |

| | |
|--|-----|
| 4.4.1 Preliminary Design High Damping Rubber Bearing (HDRB)..... | 170 |
| 4.4.2 Pembebaan Gempa | 176 |
| 4.4.3 Pemodelan Struktur dengan <i>Base Isolator</i> | 178 |
| 4.4.4 Analisis Struktur dengan <i>Base Isolator</i> | 180 |
| 4.5 Perencanaan Struktur Utama | 188 |
| 4.5.1 Perencanaan Balok Induk | 188 |
| 4.5.2 Perencanaan Kolom..... | 203 |
| 4.6 Perencanaan Pondasi | 210 |
| 4.6.1 Perencanaan Pondasi Dalam..... | 210 |
| 4.6.2 Penulangan Bored Pile..... | 224 |
| 4.6.3 Perencanaan <i>Pilecap</i> | 228 |
| 4.6.4 Perencanaan Balok <i>Sloof</i> | 235 |
| BAB V 241 KESIMPULAN DAN SARAN..... | 241 |
| 5.1 Kesimpulan..... | 241 |
| 5.2 Saran | 247 |
| DAFTAR PUSTAKA..... | 249 |

DAFTAR GAMBAR

| | | |
|---|------------------------------------|-----|
| Gambar 2.1 Perbandingan Perilaku Struktur dengan <i>Fixed Base</i> dan <i>Base Isolator</i> | 8 | |
| Gambar 2.2 <i>Sliding System</i> | 9 | |
| Gambar 2.3 <i>High Damping Rubber Bearing</i> | 11 | |
| Gambar 2.4 <i>Lead Rubber Bearing</i> | 11 | |
| Gambar 2.5 <i>Springs Isolation</i> | 12 | |
| Gambar 2.6 <i>Rollers and Ball Bearing</i> | 12 | |
| Gambar 2.7 <i>Rocking Isolation System</i> | 13 | |
| Gambar 2.8 Pemasangan <i>Elastomeric Rubber Bearing</i> | 19 | |
| Gambar 2.9 Sambungan <i>Base Isolator</i> pada Konstruksi Baru | 19 | |
| Gambar 2.10 Sambungan <i>Base Isolator</i> pada Bangunan Eksisting | 20 | |
| Gambar 2.11 Gaya-Gaya yang Bekerja pada Bantalan dalam Kondisi Berdeformasi..... | 21 | |
| Gambar 2.12 Gaya Kolom Ekuivalen | 21 | |
| Gambar 2.13 Asumsi Distribusi Gaya Baut | 22 | |
| Gambar 2.14 <i>Load Plate</i> | Gambar 2.15 <i>Load Plate Segi</i> | .23 |
| Gambar 3.1 Diagram Alir Perencanaan..... | 25 | |
| Gambar 3. 2 Diagram Alir Perencanaan (Lanjutan)..... | 26 | |
| Gambar 3.3 Lokasi Gedung Skysuites Soho | 27 | |
| Gambar 3.4 Beban Pelat pada Balok Anak | 35 | |
| Gambar 4.1 Denah Pembalokan | 53 | |
| Gambar 4.2 Denah Tipe Pelat | 58 | |
| Gambar 4.3 Pelat Tipe A | 58 | |

| | |
|---|-----|
| Gambar 4.4 Bagian pelat yang disertakan dengan balok..... | 59 |
| Gambar 4.5 Penampang BI 1 Tengah..... | 60 |
| Gambar 4.6 Pelat Tipe B | 62 |
| Gambar 4.7 Penampang BI 3 Tepi | 63 |
| Gambar 4.8 Pelat Tipe C | 65 |
| Gambar 4.9 Penampang BI 3 Tengah..... | 66 |
| Gambar 4.10 Kolom yang Ditinjau | 68 |
| Gambar 4. 11 Denah Pelat..... | 79 |
| Gambar 4. 12 Pelat Tipe B | 80 |
| Gambar 4. 13 Pelat Terjepit Penuh..... | 81 |
| Gambar 4. 14 Pelat Tipe C | 88 |
| Gambar 4. 15 Pelat Terjepit Penuh..... | 89 |
| Gambar 4. 16 Detail Tebal Pelat | 95 |
| Gambar 4.17 Denah Tangga..... | 96 |
| Gambar 4.18 Potongan A-A Tangga | 96 |
| Gambar 4.19 Pemodelan Tangga..... | 98 |
| Gambar 4.20 <i>Layout</i> Lift | 102 |
| Gambar 4.21 Potongan Lift | 103 |
| Gambar 4.22 Denah Lift..... | 104 |
| Gambar 4.23 Pembebaan pada Balok Lift..... | 105 |
| Gambar 4.24 Luas Tributari yang Diterima Balok Anak | 114 |
| Gambar 4.25 Luas Tributari BA 1 dan BA 2 | 114 |
| Gambar 4. 26 Luas Tributari BA 3..... | 121 |
| Gambar 4. 27 Laus Tributari BA 4..... | 128 |

| | |
|--|-----|
| Gambar 4.28 Luas Tributari BA 5..... | 135 |
| Gambar 4. 29 Peta Percepatan Spektrum Respons S_s | 147 |
| Gambar 4. 30 Peta Percepatan Spektrum Respons S_1 | 148 |
| Gambar 4.31 Grafik Respons Spektrum Surabaya..... | 150 |
| Gambar 4.32 Grafik Hubungan antara Ketinggian Tingkat dan Simpangan..... | 166 |
| Gambar 4. 33 Grafik Hubungan antara Ketinggian Tingkat dan Simpangan antar Lantai..... | 166 |
| Gambar 4. 34 Denah Pemasangan HDRB..... | 170 |
| Gambar 4. 35 Penampang HDRB Tipe HH060X6R | 173 |
| Gambar 4. 36 Respons Spektrum Struktur dengan <i>Base Isolator</i> | 177 |
| Gambar 4.37 Pemodelan Struktur dengan <i>Base Isolator</i> | 178 |
| Gambar 4.38 <i>Input Link/Support Property Data</i> | 179 |
| Gambar 4.39 <i>Input Link/Support Directional Properties</i> U1.... | 179 |
| Gambar 4. 40 <i>Input Link/Support Directional Properties</i> U2 dan U3 | 180 |
| Gambar 4. 41 Perpindahan akibat Gempa Arah x | 185 |
| Gambar 4. 42 Perpindahan akibat Gempa Arah y | 186 |
| Gambar 4. 43 Simpangan Antarlantai akibat Gempa Arah x | 187 |
| Gambar 4. 44 Simpangan Antarlantai akibat Gempa Arah y | 188 |
| Gambar 4. 45 Diagram Interaksi Aksial dan Momen..... | 206 |
| Gambar 4. 46 Geser Desain Kolom untuk SRPMB | 208 |
| Gambar 4. 47 Denah Pondasi | 211 |
| Gambar 4. 48 Tipe 1..... | 212 |

| | |
|--|-----|
| Gambar 4. 49 Tipe 2 | 212 |
| Gambar 4. 50 Tipe 3 | 213 |
| Gambar 4. 51 Hubungan Antara Kedalaman Dengan Daya Dukung Bored Pile Tunggal untuk Diameter 800mm..... | 216 |
| Gambar 4. 52 Hubungan antara Q_u dengan Koefisien f | 222 |
| Gambar 4. 53 Grafik Faktor Defleksi | 223 |
| Gambar 4. 54 Grafik Faktor Momen | 224 |
| Gambar 4. 55 Grafik Interaksi Aksial dan Momen pada pile.... | 226 |
| Gambar 4. 56 Bidang Kritis Geser Pons..... | 229 |
| Gambar 4. 57 Pembebanan <i>Pilecap</i> Arah x..... | 231 |
| Gambar 4. 58 Pembebanan <i>Pilecap</i> Arah y..... | 233 |
| Gambar 4. 59 Hasil SPCOLUM untuk <i>Sloof</i> | 238 |

DAFTAR TABEL

| | |
|---|----|
| Tabel 3.1 Klasifikasi Situs..... | 30 |
| Tabel 3.2 Koefisien situs, F_a | 31 |
| Tabel 3.3 Koefisien situs, F_v | 31 |
| Tabel 3.4. Kategori desain seismik berdasarkan parameter respons percepatan pada perioda pendek..... | 32 |
| Tabel 3.5 Kategori desain seismik berdasarkan parameter respons percepatan pada perioda 1 detik | 32 |
| Tabel 3.6. Beban Mati pada Struktur..... | 37 |
| Tabel 3.7. Beban Hidup pada Struktur | 37 |
| Tabel 3.8 Koefisien Redaman, B_D atau B_M | 42 |
| Tabel 3.9 Koefisien untuk batas atas pada perioda yang dihitung | 44 |
| Tabel 3.10 Nilai parameter perioda pendekatan C_t dan x | 44 |
| | |
| Tabel 4.1 Rekapitulasi Perhitungan Dimensi Balok Induk | 54 |
| Tabel 4. 2 Rekapitulasi Dimensi Balok Induk..... | 56 |
| Tabel 4.3 Dimensi serta Lebar Efektif Balok | 59 |
| Tabel 4. 4 Momen Inersia Balok | 61 |
| Tabel 4.5 Dimensi serta Lebar Efektif Balok | 62 |
| Tabel 4. 6 Momen Inersia Balok | 63 |
| Tabel 4.7 Dimensi serta Lebar Efektif Balok | 65 |
| Tabel 4. 8 Momen Inersia Balok | 66 |
| Tabel 4.9 Beban pada Kolom Lantai Atap – Lantai 18..... | 71 |
| Tabel 4.10 Beban pada Kolom Lantai 17 – Lantai 14..... | 72 |
| Tabel 4.11 Beban pada Kolom Lantai 13 – Lantai 10..... | 74 |

| | |
|---|-----|
| Tabel 4.12 Beban pada Kolom Lantai 9 – Lantai 6..... | 75 |
| Tabel 4.13 Beban pada Lantai 5 – Lantai 1 | 77 |
| Tabel 4.14 Rekapitulasi Dimensi Kolom | 78 |
| Tabel 4. 15 Rekapitulasi Penulangan Pelat Lantai dan Pelat Atap | 94 |
| Tabel 4. 16 Pembebanan Tangga..... | 97 |
| Tabel 4. 17 Pembebanan Bordes | 97 |
| Tabel 4.18 Pembebanan Balok Lift | 105 |
| Tabel 4. 19 Pembebanan Balok Penumpu | 111 |
| Tabel 4.20 Dimensi Balok Anak | 113 |
| Tabel 4. 21 Rekapitulasi Penulangan Balok Anak | 142 |
| Tabel 4.22 Beban Mati | 143 |
| Tabel 4. 23 Beban Mati Tambahan | 145 |
| Tabel 4.24 Data NSPT..... | 146 |
| Tabel 4.25 Nilai T dan S_a | 149 |
| Tabel 4. 26 Berat Lantai Atap | 152 |
| Tabel 4. 27 Berat Lantai 21-Lantai 18..... | 153 |
| Tabel 4. 28 Berat Lantai 17-Lantai 14..... | 154 |
| Tabel 4. 29 Berat Lantai 13-Lantai 10..... | 155 |
| Tabel 4. 30 Berat Lantai 9-Lantai 6..... | 156 |
| Tabel 4. 31 Berat Lantai 5-Lantai 2..... | 157 |
| Tabel 4. 32 Berat Lantai 1 (Ruang Pemeliharaan) | 158 |
| Tabel 4.33 Partisipasi Massa | 160 |
| Tabel 4.34 <i>Output Base Reaction</i> | 162 |

| | |
|--|-----|
| Tabel 4. 35 Kontrol Simpangan Antar Lantai Akibat Beban Gempa Respon Spektrum Arah x | 164 |
| Tabel 4.36 Kontrol Simpangan Antar Lantai Akibat Beban Gempa Respon Spektrum Arah y | 165 |
| Tabel 4. 37 Distribusi Vertikal Gaya Gempa Arah x | 168 |
| Tabel 4. 38 Distribusi Vertikal Gaya Gempa Arah y | 169 |
| Tabel 4.39 Spesifikasi Produk HDRB Tipe HH060X6R | 173 |
| Tabel 4. 40 Faktor B_D dan B_M | 174 |
| Tabel 4. 41 Partisipasi Massa | 181 |
| Tabel 4. 42 <i>Output Base Reaction</i> | 181 |
| Tabel 4. 43 Perpindahan dan Simpangan antarlantai akibat Gempa Arah x | 182 |
| Tabel 4. 44 Perpindahan dan Simpangan antarlantai akibat Gempa Arah y | 183 |
| Tabel 4. 45 Perbandingan Gaya Geser Dasar | 184 |
| Tabel 4. 46 Perbandingan Perpindahan akibat Beban Gempa... | 185 |
| Tabel 4. 47 Perbandingan Simpangan Antarlantai | 187 |
| Tabel 4. 48 Gaya Dalam Balok Induk BI 1 | 189 |
| Tabel 4. 49 Tulangan Longitudinal Terpasang | 201 |
| Tabel 4. 50 Penulangan Balok Induk | 202 |
| Tabel 4. 51 Dimensi Kolom | 203 |
| Tabel 4. 52 Gaya Dalam Kolom K1 | 205 |
| Tabel 4. 53 Rekapitulasi Tulangan Kolom | 210 |
| Tabel 4. 54 Hasil Pembebanan Pondasi Tipe 1 | 218 |
| Tabel 4. 55 Rekapitulasi Kontrol Beban Maksimum | 220 |

| | |
|-------------------------------------|-----|
| Tabel 4. 56 Beban yang Terjadi..... | 228 |
| Tabel 4. 57 Tipe 1..... | 235 |
| Tabel 4. 58 Tipe 2..... | 235 |
| Tabel 4. 59 Tipe 3..... | 235 |

BAB I

PENDAHULUAN

1.1 Latar Belakang

Secara geografis, Indonesia terletak pada pertemuan tiga lempeng tektonik besar, yaitu lempeng Indo-Australia, lempeng Eurasia, dan lempeng Pasifik. Kondisi ini menyebabkan aktivitas tektonik di kawasan Indonesia cukup tinggi karena zona atau wilayah yang berada diantara pertemuan lempeng umumnya banyak terdapat patahan aktif dan sering terjadi gempa bumi. Di Kota Surabaya khususnya, berdasarkan Peta Sumber Bahaya dan Gempa Bumi Indonesia Tahun 2017 yang diterbitkan oleh Kementerian Pekerjaan Umum dan Perumahan Rakyat yang merupakan pembaruan dari peta gempa tahun 2010, secara geografis Kota Surabaya dilintasi oleh dua sesar (patahan) aktif. Sesar pertama yaitu sesar Surabaya yang patahannya mulai dari kawasan Keputih hingga Cerme, sesar kedua disebut sesar Waru yang patahannya mulai dari Rungkut hingga Jombang yang mana ketika terjadi gempa, skalanya bisa mencapai 6,5 skala richter (Widodo, 2017).

Adanya patahan aktif yang berpotensi menimbulkan gempa ini perlu dijadikan sebagai pertimbangan dalam perancangan infrastruktur di wilayah Kota Surabaya, karena gempa bumi merupakan fenomena alam yang tidak dapat dihindari serta diprediksi kapan waktu terjadinya, serta dapat menimbulkan kerugian material maupun korban jiwa. Banyaknya manusia yang menjadi korban jiwa akibat bencana gempa bumi bukan disebabkan karena adanya gempa bumi tersebut, namun karena banyaknya struktur yang runtuh karena tidak mampu menahan gaya gempa yang terjadi yang akhirnya menimpa manusia yang berada di dalam maupun di sekitar struktur tersebut. Menurut Teruna (2005), kegagalan struktur akibat gempa bumi dapat dicegah dengan cara memperkuat struktur bangunan terhadap gaya gempa yang bekerja padanya. Namun, kerusakan elemen baik struktural maupun

nonstruktural tetap terjadi akibat adanya *interstory drift* (perbedaan simpangan antartingkat). Sedangkan memperkecil *interstory drift* dengan cara memperkuat bangunan dalam arah lateral akan memperbesar gaya gempa yang bekerja pada bangunan. Cara yang lebih baik adalah dengan meredam energi gempa sampai pada tingkat yang tidak membahayakan bangunan (Teruna, 2005).

Saat ini ada banyak metode-metode yang diterapkan dalam perencanaan struktur tahan gempa salah satunya adalah dengan menggunakan isolasi seismik pada bangunan (*seismic isolation base for buildings*). Isolasi seismik adalah suatu desain struktur bangunan yang dilakukan dengan memasang jenis isolator tertentu pada dasar bangunan (*base isolator*) dengan tujuan meredam atau mereduksi gaya lateral yang diterima oleh struktur bangunan tersebut saat terjadi gempa, sehingga hanya sebagian kecil gaya gempa yang akan dipikul oleh komponen struktur bangunan tersebut. Jika struktur dengan *base isolator* dibandingkan dengan struktur tanpa *base isolator*, maka struktur dengan *base isolator* akan memiliki periode struktur yang lebih besar dan gaya geser yang lebih kecil, yang artinya kerusakan pada bangunan dapat dikurangi (Siagian dkk, 2017). Ada berbagai jenis *base isolator* yang dapat diterapkan pada suatu struktur, antara lain *springs*, *sliding systems*, *rollers and ball bearing*, dan *elastomeric rubber bearings*. *Elastomeric rubber bearings* merupakan *base isolator* berbahan karet yang dibagi lagi menjadi 2 tipe, yaitu *Lead Rubber Bearing* (LRB) dan *High Damping Rubber Bearing* (HDRB). Diantara jenis-jenis *base isolator* yang ada, *High Damping Rubber Bearing* (HDRB) merupakan metode isolasi seismik yang paling sederhana, paling efektif biayanya, dan relatif mudah untuk diproduksi dibandingkan dengan *Lead Rubber Bearing* (LRB) (Malek dan Basir, 2001). Keunggulan lainnya dari *seismic isolation* tipe HDRB adalah transisi kekakuan dari linear ke nonlinear lebih halus jika dibandingkan dengan tipe *Lead Rubber Bearing* (LRB). Hal

ini penting karena penurunan kekakuan secara tajam dapat mengebabkan efek vibrasi yang lebih besar dan merusak peralatan yang sensitif terhadap vibrasi. *High Damping Rubber Bearing* (HDRB) terbuat dari bantalan karet alam dengan laminasi pelat baja, karet berfungsi untuk mengurangi getaran gempa dan memberikan fleksibilitas ke arah horizontal sehingga memungkinkan bangunan untuk bergerak secara lateral pada saat keadaan gempa, sedangkan lempengen baja yang terdapat pada lapisan berfungsi untuk menambah kekakuan vertikal bantalan karet sehingga defleksi dan deformasi bangunan saat bertumpu diatas bantalan karet tidak besar (Andrian, 2017).

Objek perancangan dari tugas akhir ini adalah gedung Skysuites Soho yang berlokasi di Jalan Kedung Baruk No.26, Surabaya. Gedung tersebut merupakan bangunan 21 lantai yang difungsikan sebagai apartemen. Modifikasi yang akan dilakukan dalam tugas akhir ini adalah merancang ulang gedung tersebut dengan menggunakan *base isolator* tipe *High Damping Rubber Bearing* (HDRB) dan berdasarkan peta gempa tahun 2017.

1.2 Perumusan Masalah

Permasalahan utama pada penulisan Tugas Akhir ini adalah bagaimana merencanakan struktur gedung tahan gempa dengan menggunakan *Base Isolator* tipe *High Damping Rubber Bearing*. Berikut adalah rincian dari permasalahan tersebut :

1. Bagaimana merencanakan *preliminary design*, struktur primer, dan struktur sekunder pada gedung tersebut?
2. Bagaimana perhitungan pembebanan gravitasi dan gempa berdasarkan peta gempa tahun 2017 pada perencanaan gedung tersebut?
3. Bagaimana merencanakan *Base Isolator* tipe *High Damping Rubber Bearing* (HDRB) ?
4. Bagaimana merencanakan pondasi sesuai dengan pembebanan struktur?

5. Bagaimana menjelaskan hasil akhir perencanaan dalam gambar teknik?

1.3 Tujuan

Tujuan secara umum dari penulisan Tugas Akhir ini adalah dapat merencanakan struktur gedung tahan gempa dengan menggunakan *Base Isolator* tipe *High Damping Rubber Bearing*. Tujuan secara rinci dari perencanaan struktur gedung ini adalah sebagai berikut :

1. Dapat merencanakan *preliminary design*, struktur primer, dan struktur sekunder.
2. Dapat menghitung pembebanan gravitasi dan gempa berdasarkan peta gempa tahun 2017.
3. Dapat merencanakan *Base Isolator* tipe *High Damping Rubber Bearing (HDRB)*.
4. Dapat merencanakan pondasi sesuai dengan pembebanan struktur.
5. Dapat menjelaskan hasil akhir perencanaan dalam gambar teknik.

1.4 Batasan Masalah

Dalam penulisan Tugas Akhir ini, permasalahan akan dibatasi dengan batasan-batasan sebagai berikut :

1. *Base Isolator* yang digunakan adalah tipe *High Damping Rubber Bearing (HDRB)*.
2. Perencanaan tidak meliputi instalasi *mechanical electrical* dan *plumbing*.
3. Perencanaan tidak meliputi perhitungan rencana anggaran biaya.
4. Tidak merencanakan metode pelaksanaan di lapangan.
5. Tidak merencanakan *basement*.

1.5 Manfaat

Beberapa manfaat yang dapat diperoleh dari Tugas Akhir ini adalah sebagai berikut :

1. Sebagai bahan pertimbangan perencanaan bangunan tahan gempa dengan menggunakan *Base Isolator* tipe *High Damping Rubber Bearing* oleh instansi terkait.
2. Menambah ilmu dan wawasan bagi penulis mengenai perencanaan bangunan dengan *Base Isolator* tipe *High Damping Rubber Bearing*.

“Halaman ini sengaja dikosongkan”

BAB II

TINJAUAN PUSTAKA

2.1 Umum

Salah satu upaya dalam perlindungan struktur di wilayah-wilayah dengan risiko gempa tinggi adalah dengan menerapkan sistem isolasi seismik atau isolasi dasar (*base isolator*). Isolasi seismik merupakan sebuah sistem yang diletakkan di atas pondasi untuk memisahkan pondasi dengan struktur diatasnya sehingga ketika terjadi gempa getaran akan diterima oleh pondasi dan *base isolator* terlebih dahulu sebelum diterima struktur utama. Berbagai macam isolasi seismik yang ada saat ini merupakan hasil pengembangan dari *elastomeric bearings* yang sebelumnya telah banyak digunakan pada konstruksi jembatan.

Adanya *base isolator* akan mengurangi pengaruh getaran gempa yang diterima oleh struktur dengan cara mereduksi percepatan seismik pada setiap lantai dan simpangan antarlantai (Farissi, 2013). Sistem ini dapat diterapkan pada struktur baru maupun sebagai tambahan struktur yang sudah ada.

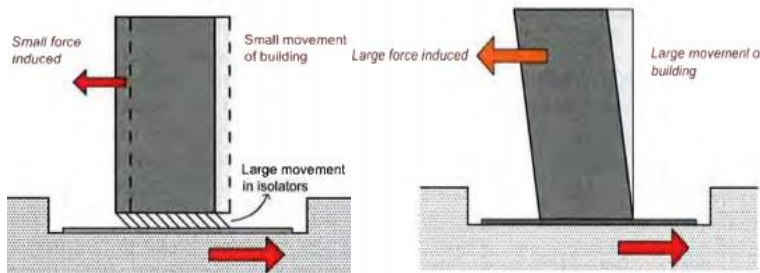
2.1 Sistem Isolasi Seismik

2.1.1 Prinsip Isolasi Seismik

Saat ini *base isolator* menjadi salah satu teknologi antigempa yang banyak diterapkan di berbagai negara rawan gempa untuk melindungi bangunan-bangunan penting, maupun mengurangi kerusakan struktur dan nonstruktural pasca gempa. Penjelasan konsep *base isolation system* menurut Kelly (2001) adalah struktur akan diisolasi atau dipisahkan dari pergerakan horizontal tanah saat gempa berlangsung menggunakan suatu bahan isolator yang berada diantara struktur atas dan pondasi dengan kekakuan dalam arah horizontal relatif kecil antara struktur atas dan pondasinya. Bangunan dengan sistem ini mempunyai frekuensi yang jauh lebih kecil dari bangunan konvensional dan frekuensi dominan dari gerakan tanah. Akibatnya percepatan gempa yang bekerja pada bangunan

menjadi lebih kecil. Ragam getar pertama bangunan hanya menimbulkan deformasi lateral pada sistem isolator, sedangkan bagian atas akan berperilaku sebagai *rigid body motion*. Ragam-ragam getar yang lebih tinggi yang menimbulkan deformasi pada struktur adalah orthogonal terhadap ragam pertama dan gerakan tanah sehingga ragam-ragam getar ini tidak ikut berpartisipasi didalam respons struktur, atau dengan kata lain energi gempa tidak disalurkan ke struktur bangunan.

Dengan digunakannya *base isolator* juga akan memberikan fleksibilitas lateral yang membantu mengurangi gaya gempa dengan mengubah periода alami struktur untuk menghindari resonansi dengan frekuensi utama yang terkandung pada gempa yang terjadi. Selain itu, sistem isolasi dasar juga memberikan tambahan redaman pada struktur yang akan mengabsorbsi energi gempa pada saat terjadinya pergerakan pada sistem isolasi (Budiono dan Setiawan, 2014). Gambar 2.1 menunjukkan perbandingan perilaku struktur dengan pondasi *fixed base* dan *base isolator* pada saat terjadi gempa.



Gambar 2.1 Perbandingan Perilaku Struktur dengan *Fixed Base*
dan *Base Isolator*

Sumber : (Buchanan dkk, 2011)

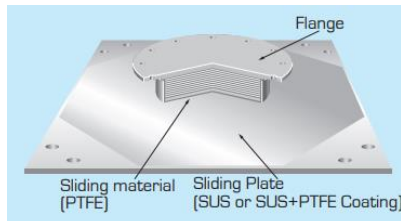
2.1.2 Jenis-Jenis Isolasi Seismik

Banyak jenis isolasi seismik yang telah diusulkan dan dikembangkan, menurut Kelly (2001), dalam buku *Base Isolation*

of Structures : Design Guidelines, terdapat enam jenis *base isolator*, yaitu :

2.1.2.1 Sliding System

Sliding system (Gambar 2.2) terbuat dari lapisan baja dengan koefisien gesek yang telah ditentukan untuk membatasi percepatan seismik sehingga gaya gempa yang diteruskan akan dibatasi. *Sliding system* yang murni akan memiliki perpindahan tak terbatas, dengan batas atas sama dengan perpindahan maksimum tanah untuk koefisien gesek mendekati nol. Sistem ini tidak menyediakan gaya *restoring* dan memungkinkan struktur yang terisolasi tidak berakhir di posisi semula setelah gempa bumi dan dapat terus berpindah apabila terjadi gempa susulan. Kurangnya gaya *restoring* dapat diatasi dengan menggabungkan *sliding system* dengan isolator tipe lain yang memiliki gaya *restoring*.



Gambar 2.2 *Sliding System*

Sumber : Bridgestone Seismic Isolation Product

2.1.2.2 Elastomeric Rubber Bearings

Elastomeric rubber bearings (Gambar 2.3) terbuat dari lapisan-lapisan tipis karet yang merekat diantara pelat baja sebagai satu kesatuan dengan cara vulkanisir. Pelat baja mencegah lapisan-lapisan karet menggelembung, dengan demikian *elastomeric bearings* tersebut mampu menahan beban vertikal yang besar dengan hanya mengalami deformasi yang kecil. Karet yang digunakan untuk *elastomeric bearing* ini dapat berupa karet alam atau pun karet sintetis (neoprene).

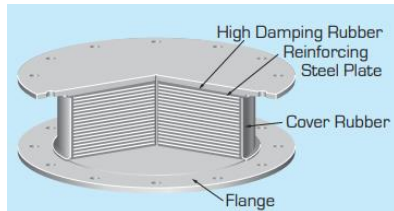
Elastomeric rubber bearing menghasilkan kekakuan ke arah vertikal dan fleksibilitas ke arah horizontal. Kekakuan vertikal dari *base isolator* akan menahan beban vertikal dari struktur atas, sedangkan fleksibilitas dalam arah horizontal akan mengurangi energi dari getaran gempa yang terjadi sehingga deformasi pada struktur atas menjadi kecil.

Macam-macam *base isolator* dengan bantalan karet yang banyak digunakan adalah *High Damping Rubber Bearing* dan *Laminated Rubber Lead Containing Bearing* seperti yang dijelaskan sebagai berikut ini :

2.1.2.3 High Damping Rubber Bearing (HDRB)

HDRB (Gambar 2.3) adalah bahan antiseismik yang dikembangkan dari karet alam yang mempunyai kekakuan horizontal yang relatif kecil dan dicampur dengan *extrafine carbon block*, *oil* atau resin, serta bahan isian lain sehingga meningkatkan damping antara 10% sampai 20% pada *shear strain* 100% (Teruna, 2005). Jenis isolasi seismik ini umumnya tidak membutuhkan *damping device* tambahan.

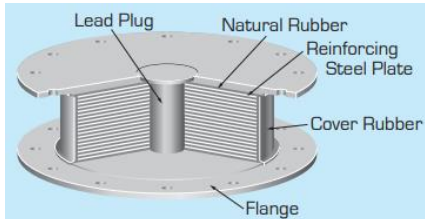
High damping rubber bearing memiliki nilai kekakuan awal yang tinggi sehingga mampu mengakomodasi gaya angin dan gempa ringan tanpa berdeformasi secara signifikan. Dengan meningkatnya eksitasi gempa maka deformasi lateral akan meningkat dan modulus geser dari *rubber* akan menurun dan menghasilkan sistem isolasi dasar yang efektif (cukup fleksibel untuk memperpanjang periode struktur). Pada nilai regangan geser 250% hingga 300%, kekakuan horizontal akan meningkat kembali akibat pengaruh *hardening effects*. Pengaruh ini berfungsi sebagai “sekring” untuk membatasi deformasi yang melebihi batas gempa maksimum yang direncanakan (Budiono dan Setiawan, 2014).



Gambar 2.3 *High Damping Rubber Bearing*
Sumber : Bridgestone Seismic Isolation Product

2.1.2.4 Lead Rubber Bearing (LRB)

Pada *base isolator* jenis ini terdapat timah hitam (lead) yang dipasang pada sumbu bantalan karet. Dibagian atas dan bawah diberi lempengan plat baja. Timah hitam digunakan untuk menyerap energi dari gempa. Contoh LRB dapat dilihat pada Gambar 2.4.



Gambar 2.4 *Lead Rubber Bearing*
Sumber : Bridgestone Seismic Isolation Product

2.1.2.5 Springs

Springs (pegas) tidak banyak digunakan untuk isolasi bangunan, *spring* lebih banyak diterapkan pada isolasi mesin. *Springs* memiliki kelemahan karena bersifat fleksibel pada kedua arah (vertikal dan horizontal). Adanya fleksibilitas dalam arah vertikal akan memungkinkan terjadinya *pitching*. *Springs* sendiri memiliki redaman yang kecil dan akan bergerak terlalu sering saat menerima beban layan. Contoh *springs* dapat dilihat pada Gambar 2.5.

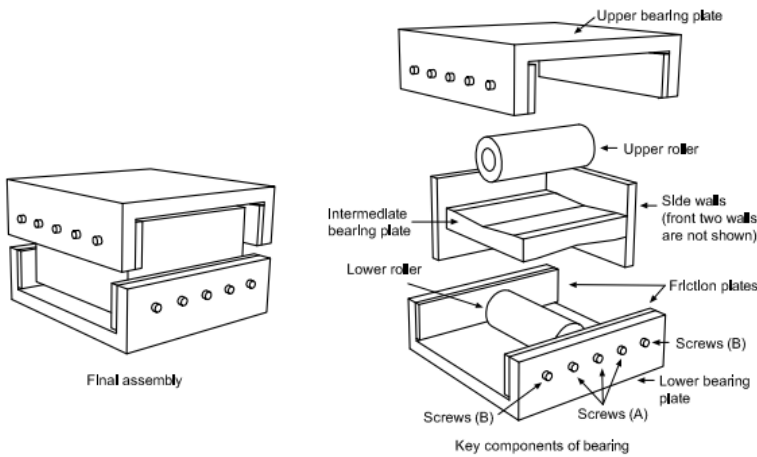


Gambar 2.5 Springs Isolation

Sumber : EATON Seismic Engineering Services and Products

2.1.2.6 Rollers and Ball Bearing

Rollers and ball bearing (Gambar 2.5) terdiri dari rol silindris dan bantalan. Seperti *springs, rollers and ball bearing* sebagian besar diterapkan untuk mesin. Ketahanan terhadap pergerakan gempa saat menerima beban kerja dan kemampuan dalam menghasilkan redaman tergantung pada bahan dari rol atau bantalan bola.

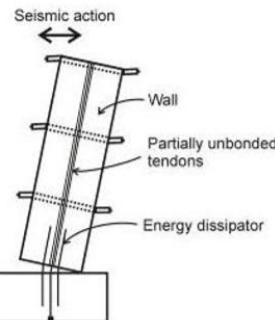


Gambar 2.6 Rollers and Ball Bearing

Sumber : (Lee dkk, 2010)

2.1.2.7 Rocking Isolation System

Sistem *rocking isolation* adalah sebuah kasus yang khusus dari disipasi energi, yaitu dengan mengijinkan translasi arah lateral. Sistem ini diterapkan pada struktur langsing dengan prinsip dasarnya adalah dengan adanya ayunan struktur, periode dari respon struktur akan meningkat dengan meningkatkan amplitudo ayunan. Hal ini menyebabkan *period shift effect*. Kemampuan memikul beban layan disediakan oleh berat dari struktur. Baut maupun kantilever baja dapat ditambahkan untuk menghasilkan redaman.



Gambar 2.7 *Rocking Isolation System*

Sumber : (Buchanan dkk, 2011)

2.2 Sistem Rangka Pemikul Momen Biasa (SRPMB)

Sistem rangka pemikul momen adalah sistem struktur yang pada dasarnya memiliki rangka ruang pemikul beban gravitasi secara lengkap, sedangkan beban lateral yang diakibatkan oleh gempa dipikul oleh rangka pemikul momen melalui mekanisme lentur. Sistem ini terbagi menjadi 3 berdasarkan nilai koefisien modifikasi responsnya (R), antara lain SRPMB (Sistem Rangka Pemikul Momen Biasa), SRPMM (Sistem Rangka Pemikul Momen Menengah), dan SRPMK (Sistem Rangka Pemikul Momen Khusus). Pada struktur yang

menerapkan isolasi seismik dirancang menggunakan SRPMB. Karena menurut Budiono dan Setiawan (2014), kekangan khusus dan menengah tidak memberikan pengaruh yang signifikan terhadap respons dan kerusakan struktur yang sudah dilengkapi dengan sistem isolasi dasar yang cenderung memiliki perilaku struktur atas yang mendekati elastik. Berdasarkan pertimbangan ini maka detailing elemen untuk struktur yang berada di atas sistem isolasi dasar dapat dikurangi. Sistem rangka pemikul momen biasa merupakan sistem yang memiliki deformasi inelastik dan tingkat duktalitas yang paling kecil tapi memiliki kekuatan yang besar, oleh karena itu desain SRPMB dapat mengabaikan persyaratan *strong column weak beam* yang dipakai untuk mendesain struktur yang mengandalkan duktalitas yang tinggi.

2.3 Struktur dengan Isolasi Seismik

Perencanaan struktur gedung dengan isolasi Seismik harus dirancang sesuai dengan persyaratan dan ketentuan yang ada dalam SNI 1726:2012 Pasal 12 tentang Struktur dengan Isolasi Dasar.

2.3.1 Persyaratan Perencanaan Umum

2.3.1.1 Faktor Keutamaan Gempa

Faktor keutamaan gempa suatu struktur harus dirancang dengan kategori risiko sesuai Tabel 2 SNI 1726:2012 berdasarkan fungsi dari struktur tersebut. Untuk struktur yang menggunakan *base isolator*, nilai faktor keutamaan gempa (I_e) diambil sebesar 1,0 tanpa membedakan kategori risiko yang diterapkan.

2.3.1.2 Parameter percepatan respons spektral MCER, S_{MS} , dan S_{M1}

Parameter percepatan respons spektral MCE_R , S_{MS} , dan S_{M1} ditentukan berdasarkan SI 1726:2012 Pasal 6.2. Untuk penentuan respons spektral percepatan gempa MCE_R di permukaan tanah diperlukan faktor amplifikasi getaran terkait percepatan pada

getaran perioda pendek (F_a) dan pada getaran perioda 1 detik (F_v) yang terdapat pada Tabel 4 dan Tabel 5 SNI 1726:2012. Kemudian parameter spektrum respons percepatan pada perioda pendek (S_{MS}) dan perioda 1 detik (S_{M1}) harus ditentukan dengan perumusan (5) dan perumusan (6) SNI 1726:2012.

2.3.2 Sistem Isolasi

2.3.2.1 Batasan Simpangan Antar Lantai

Batasan simpangan antar lantai maksimum struktur di atas sistem isolasi ditentukan dalam SNI 1726:2012 pasal 12.5.6 untuk tidak boleh melibih $0,015h_{sx}$. Simpangan antarlantai harus dihitung berdasarkan persamaan 34 (SNI 1726:2012) dengan faktor C_d dari sistem isolasi sama dengan faktor R_I yang ditentukan pasal 12.5.4.2 SNI 1726:2012.

2.3.2.2 Kondisi Lingkungan dan Ketahanan Kebakaran

Dalam pasal 12.2.4.1 dan 12.2.4.3 SNI 1726:2012 struktur dengan isolasi dasar harus memperhitungkan kondisi lingkungan seperti pengaruh usia, rangkak, *fatigue*, suhu operasional, pengaruh dari kelembaban atau bahan-bahan lain yang merusak, serta ketahanan sistem isolasi terhadap kebakaran yang harus sesuai dengan syarat untuk kolom-kolom, dinding-dinding, dan elemen-elemen penahan beban gravitasi lainnya di daerah yang sama pada struktur.

2.3.2.3 Pengekangan Perpindahan

Persyaratan mengenai pengekangan perpindahan pada sistem isolasi terdapat pada pasal 12.2.4.5 SNI 1726:2012 bahwa sistem isolasi tidak boleh dikonfigurasikan untuk mencakup suatu pengekangan perpindahan yang membatasi perpindahan lateral akibat gempa maksimum yang dipertimbangkan yang lebih kecil daripada perpindahan maksimum total, kecuali jika struktur dengan isolasi seismik direncanakan sesuai dengan kriteria berikut ini, yang lebih ketat daripada persyaratan di pasal 12.2 SNI 1726:2012 :

1. Respons gempa maksimum yang dipertimbangkan dihitung menurut persyaratan analisis dinamik dalam pasal 12.6 SNI 1726:2012, secara khusus mempertimbangkan karakteristik-karakteristik nonlinier dari sistem isolasi dan struktur di atas sistem isolasi;
2. Kapasitas ultimit sistem isolasi dan elemen-elemen struktural yang berada di bawah sistem isolasi harus melampaui kebutuhan kekuatan dan perpindahan dari gempa maksimum yang dipertimbangkan;
3. Struktur di atas sistem isolasi ditinjau stabilitas dan kebutuhan daktilitas dari gempa maksimum yang dipertimbangkan;
4. Pengekangan perpindahan menjadi tidak efektif pada suatu perpindahan yang lebih kecil dari 0,75 kali perpindahan rencana total, kecuali jika dapat dibuktikan dengan analisis bahwa pemasangan sebelumnya menghasilkan kinerja yang memuaskan.

2.3.2.4 Stabilitas Beban Vertikal

Setiap elemen sistem isolasi harus direncanakan agar stabil akibat beban vertikal rencana yang mengalami suatu perpindahan horisontal sama dengan perpindahan maksimum total sesuai dengan pasal 12.2.4.6 SNI 1726:2012. Beban vertikal rencana harus dihitung dengan menggunakan kombinasi pembebanan 5 dari pasal 4.2.2 SNI 1726:2012 untuk beban vertikal maksimum dan kombinasi pembebanan 7 dari pasal 7.4.2.3 SNI 1726:2012 untuk beban vertikal minimum, di mana S_{DS} dalam persamaan ini diganti dengan S_{MS} . Beban vertikal yang dihasilkan dari penerapan gaya gempa horisontal (Q_E), harus didasarkan pada respons puncak akibat gempa maksimum yang dipertimbangkan.

2.3.3 Sistem Struktural

2.3.3.1 Distribusi Gaya Horisontal

Suatu diafragma horisontal atau elemen-elemen struktural lainnya harus memberikan kontinuitas di atas pemisahan isolasi dan harus mempunyai kekuatan dan daktilitas yang cukup untuk

meneruskan gaya-gaya (akibat gerak tanah yang tidak seragam) dari satu bagian struktur ke bagian lainnya (Pasal 12.2.5.1 SNI 1726:2012).

2.3.3.2 Pemisahan Bangunan

Jarak pemisahan minimum antara struktur dengan isolasi seismik dengan dinding penahan di sekeliling bangunan atau penghalang tetap lainnya tidak boleh kurang dari perpindahan maksimum total (Pasal 12.2.5.1 SNI 1726:2012).

2.3.3.3 Elemen-Elemen Struktural dan Nonstruktural

Bagian-bagian dari suatu struktur dengan isolasi, komponen-komponen nonstruktural yang permanen dan bagian yang tersambung dengannya, dan penyambung peralatan permanen yang ditumpu oleh suatu struktur, harus direncanakan untuk menahan gaya-gaya dan perpindahan-perpindahan seismik seperti yang ditentukan dalam bagian ini dan persyaratan-persyaratan yang ada dalam pasal 9 SNI 1726:2012.

2.3.3.4 Komponen-Komponen di Batas atau di Atas Pemisah Isolasi

Berdasarkan pasal 12.2.6.1 SNI 1726:2012 elemen-elemen suatu struktur yang menggunakan sistem isolasi dan komponen nonstruktural, atau bagiannya yang berada di batas atau di atas pemisah isolasi harus direncanakan untuk menahan gaya lateral seismik total setara dengan respons dinamik maksimum dari elemen atau komponen yang ditinjau. Dengan pengecualian : elemen-elemen struktur yang menggunakan isolasi seismik dan komponen nonstruktural atau bagian-bagiannya yang direncanakan untuk menahan gaya dan perpindahan seperti disyaratkan di pasal 7 atau pasal 9 SNI 1726:2012.

2.3.3.5 Komponen-komponen yang melintasi batas pemisah isolasi

Elemen-elemen struktur yang menggunakan isolasi seismik dan komponen nonstruktural atau bagian-bagiannya yang melintasi batas pemisah isolasi harus direncanakan untuk dapat

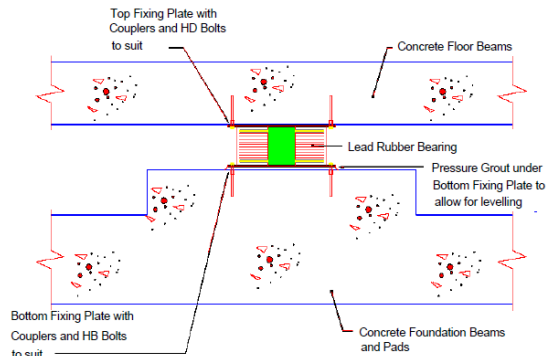
menahan perpindahan maksimum total (pasal 12.2.6.2 SNI 1726:2012).

2.3.3.6 Komponen-komponen di bawah pemisah isolasi

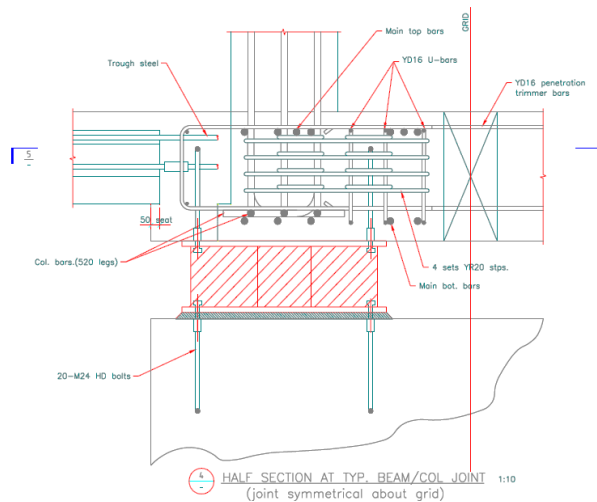
Elemen-elemen struktur yang menggunakan isolasi seismik dan komponen nonstruktural atau bagian-bagiannya yang terletak di bawah pemisah isolasi harus direncanakan dan dibangun menurut persyaratan-persyaratan pasal 7.1 dan pasal 9 (pasal 12.2.6.3 SNI 1726:2012).

2.4 Sambungan Elastomeric Rubber Bearing

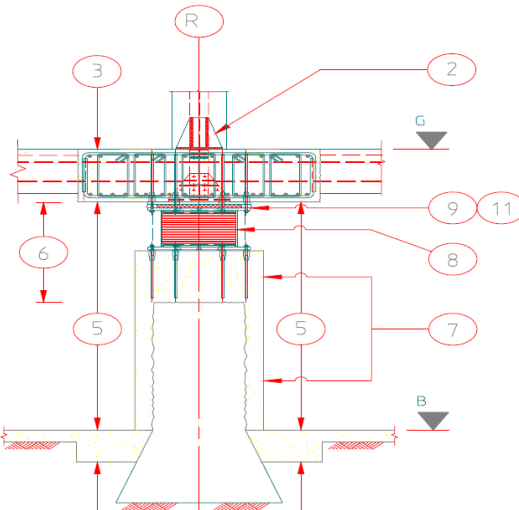
Sebelum meningkatnya teknologi industri, dalam menghubungkan antara *elastomeric rubber bearing* dengan pondasi dan struktur atas digunakan pelat beban (*load plate*) yang dibautkan pada pelat baja yang melekat pada bantalan. Untuk saat ini sudah banyak diproduksi *elastomeric rubber bearing* dengan *flange plates* atau *load plates* yang terikat dibagian atas dan bawah bantalan. Pelat tersebut memiliki ukuran yang lebih besar daripada penampang bantalan serta dapat berbentuk segi empat maupun lingkaran sesuai dengan perencanaan. Posisi baut harus diletakkan jauh dari bantalan agar tidak merusak lapisan karet saat terjadi simpangan maksimum akibat gempa. Gambar pemasangan isolator diantara pondasi dan struktur dapat dilihat pada Gambar 2.8. Contoh pemasangan *base isolator* pada konstruksi bangunan baru dan kolom pada bangunan eksisting ditunjukkan pada Gambar 2.9 dan Gambar 2.10.



Gambar 2.8 Pemasangan Elastomeric Rubber Bearing
Sumber : (Kelly, 2001)



Gambar 2.9 Sambungan Base Isolator pada Konstruksi Baru
Sumber : (Kelly, 2001)



Gambar 2.10 Sambungan *Base Isolator* pada Bangunan Eksisting

Sumber : (Kelly, 2001)

2.4.1 Perencanaan Sambungan

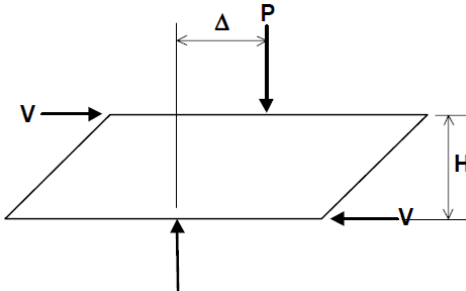
Dasar perencanaan sambungan menurut Kelly (2001) adalah sambungan dari isolasi seismik pada suatu struktur harus mampu mentransfer gaya geser, beban vertikal, dan momen lentur. Momen lentur terdiri dari momen primer (VH) dan momen sekunder akibat efek P-delta. Bantalan tersebut dibaut pada struktur atas dan bawah yang berfungsi sebagai ujung kolom yang menerima momen rencana.

Sambungan dirancang untuk dua kondisi, pertama saat kondisi beban lateral maksimum dan kedua, saat kondisi beban lateral minimum, keduanya searah dengan simpangan akibat gempa maksimum dan gaya geser. Gambar 2.9 menunjukkan gaya-gaya yang bekerja pada bantalan. Gambar 2.10 menunjukkan bagaimana aksi-aksi itu bisa dihitung sebagai satu kolom ekivalen pada sumbu pusat bantalan.

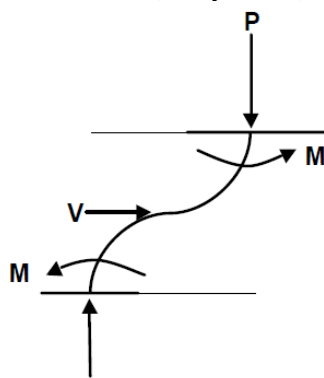
Total momen akibat gaya geser yang bekerja, VH, ditambah eksentrisitas, $P\Delta$, ditahan oleh momen yang sama pada

bagian atas dan bawah dari isolator. Momen rencana dapat dihitung dengan persamaan :

$$M = \frac{1}{2} (VH + P\Delta) \quad (2-1)$$



Gambar 2.11 Gaya-Gaya yang Bekerja pada Bantalan dalam Kondisi Berdeformasi
Sumber : (Kelly, 2001)

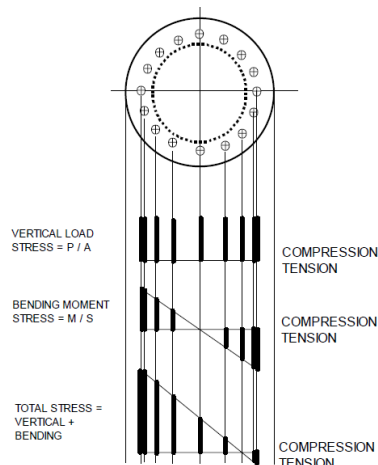


Gambar 2.12 Gaya Kolom Ekuivalen
Sumber : (Kelly, 2001)

2.4.1.1 Desain Baut

Prosedur pemasangan pelat penghubung baut menurut Kelly (2001) didasarkan pada kondisi yang disederhanakan seperti ditunjukkan Gambar 2.11, di mana beban aksial dan momen di tahan oleh kelompok baut. Pada Gambar 2.11, luasan

yang digunakan untuk menghitung P/A adalah luas total seluruh baut dan *section modulus* yang digunakan untuk menghitung M/S adalah *section modulus* dari semua baut. Gambar 2.11 Merupakan *load plate* lingkaran, pendekatan yang serupa dapat digunakan untuk mendesain bentuk-bentuk yang lain.



Gambar 2.13 Asumsi Distribusi Gaya Baut

Sumber : Kelly, 2001

Prosedur untuk desain baut (Kelly, 2001) adalah sebagai berikut :

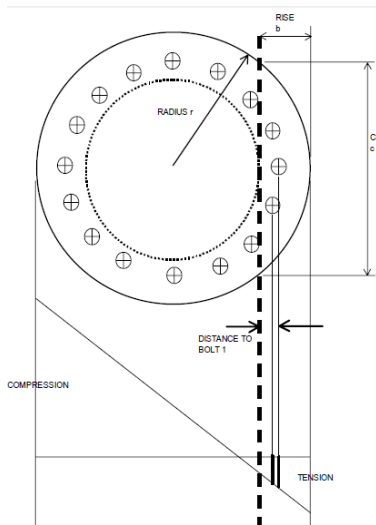
1. Hitung gaya geser tiap baut (V/n), di mana n adalah jumlah baut.
2. Hitung beban aksial tiap baut (P/A).
3. Hitung tegangan tarik tiap baut akibat momen (M/S), dimana S adalah *section modulus* kelompok baut.
4. Hitung tegangan tarik netto per baut ($P/A - M/S$)
5. Periksa baut untuk kombinasi tegangan geser ditambah tegangan tarik.

Prosedur ini digunakan untuk beban lateral maksimum dan minimum.

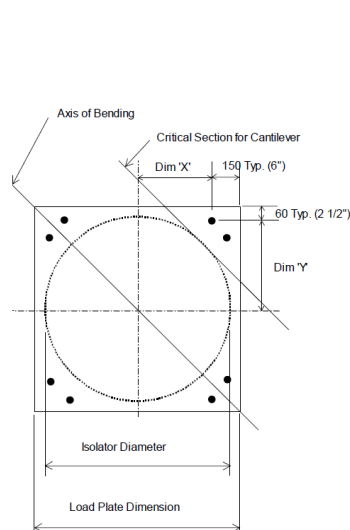
2.5.1.2 Desain Load Plate

Menurut Kelly (2001), untuk *load plate* berbentuk lingkaran, asumsi distribusi gaya pada perancanaan pelat segi empat dapat digunakan sebagai dasar perhitungan, seperti ditunjukkan pada Gambar 2.13. Lenturan diasumsikan kritis pada sekeliling segmen di bagian sisi tarik bantalan.

Secara sederhana, dianggap bahwa semua baut (tiga di dalam contoh ini) mempunyai tegangan tarik maksimum, dan juga ketiga baut tersebut mempunyai lengan dari baut yang paling jauh. Prosedur desain diadopsi untuk *load plate* lingkaran didasarkan pada kondisi seperti yang ditunjukkan Gambar 2.12. Pembebaan untuk *load plate* jenis ini diasumsikan sepanjang arah diagonal karena ini adalah bagian yang paling kritis untuk tata letak baut.



Gambar 2.14 *Load Plate Lingkaran*
Sumber : (Kelly, 2001)



Gambar 2.15 *Load Plate Segi Empat*
Sumber : (Kelly, 2001)

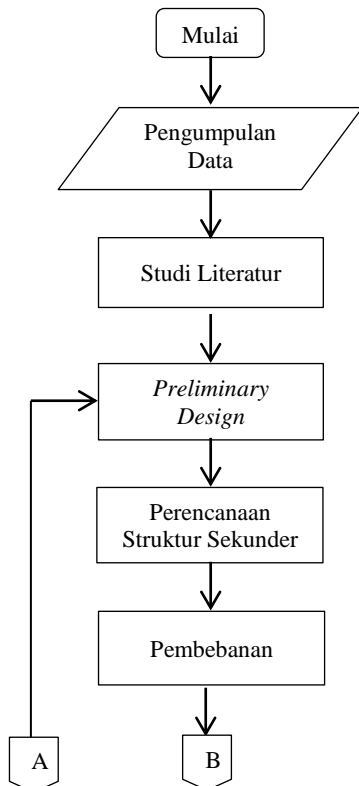
“Halaman ini sengaja dikosongkan”

BAB III

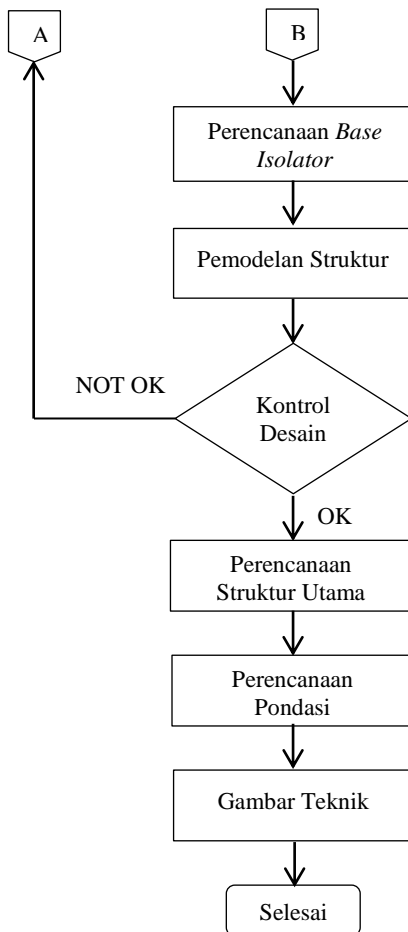
METODOLOGI

3.1 Diagram Alir Perencanaan

Langkah-langkah dalam penggerjaan tugas akhir ini dapat dilihat pada diagram alir berikut (Gambar 3.1 dan Gambar 3.2):



Gambar 3.1 Diagram Alir Perencanaan



Gambar 3. 2 Diagram Alir Perencanaan (Lanjutan)

3.2 Data Perencanaan

Data perencanaan meliputi data umum bangunan, data material, dan data tanah dari struktur yang akan dimodifikasi. Berikut adalah data eksisting dari gedung yang akan dimodifikasi:

a. Data Umum Bangunan

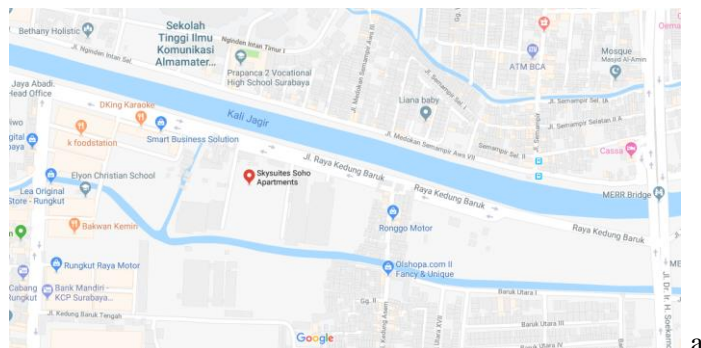
Nama gedung : Skysuites Soho
 Lokasi : Jl. Kedung Baruk No.26, Surabaya (Gambar 3.3)
 Fungsi bangunan : Apartement
 Jumlah lantai : 21 lantai
 Struktur bangunan : Beton bertulang

b. Data Material

Mutu beton : K500 (dari pondasi sampai lantai 5)
 : K350 (dari lantai 5 sampai lantai atap)
 Mutu baja : BJTP 24 (untuk diameter < 10mm)
 : BJTD 40 (untuk diameter \geq 10mm)

c. Data Tanah

: -



Gambar 3.3 Lokasi Gedung Skysuites Soho

Gedung Skysuites Soho akan dirancang ulang dengan menggunakan *base isolator* tipe HDRB dengan data modifikasi sebagai berikut :

a. Data Umum Bangunan

Nama gedung : Skysuites Soho

- Lokasi : Jl.Kedung Baruk No.26, Surabaya
 Fungsi bangunan : Apartement
 Jumlah lantai : 21 lantai
 Struktur bangunan : Beton bertulang
- b. Data Material
 Mutu beton ($f'c$) : 40 MPa (pondasi sampai lantai atap)
 Mutu baja : BJTD 40
 - c. Data Tanah
 Data tanah terlampir.
 - d. Data *Base Isolator*
 Tipe : *High Damping Rubber Bearing*
 Spesifikasi : Terlampir.

3.3 Studi Literatur

Mempelajari literatur maupun mengacu peraturan yang berkaitan dengan perencanaan modifikasi struktur ini, diantaranya:

1. SNI 2847:2013 tentang Tata Cara Perhitungan Struktur Beton untuk Bangunan Gedung.
2. SNI 1726:2012 tentang Standar Perencanaan Ketahanan Gempa untuk Struktur Bangunan Gedung dan Non Gedung.
3. SNI 1727:2013 tentang Beban Minimum untuk Perancangan Bangunan Gedung dan Struktur Lain.
4. Peraturan Pembebanan Indonesia untuk Gedung (PPIUG) tahun 1983.
5. *Base Isolation of Structure : Design Guideliness* oleh Trevor E. Kelly, S.E.

3.4 Penentuan Kriteria Desain

Berdasarkan SNI 1726:2012 pasal 6.5, suatu struktur harus ditetapkan kategori desain seismiknya berdasarkan parameter respons spektral percepatan desain pada periode pendek S_{DS} , dan parameter respons spektral percepatan desain pada periode 1 detik, S_{D1} . Berikut langkah-langkah dalam menetapkan kategori desain seismik :

1. Menentukan Parameter S_s dan S_1

Parameter respons spektral percepatan gempa MCE_R terpetakan untuk periode pendek, S_s , dan parameter respons spektral percepatan gempa MCE_R terpetakan untuk periode 1 detik, S_1 ditentukan berdasarkan Peta Sumber dan Bahaya Gempa Indonesia Tahun 2017.

2. Menentukan Kelas Situs

Penentuan kelas situs mengacu pada SNI 1726:2012 pasal 5.3 yang mengklasifikasikan situs berdasarkan kecepatan rambat gelombang geser rata-rata pada regangan geser yang kecil, di dalam lapisan 30 m teratas, \bar{v}_s , tahanan penetrasi standar rata-rata dalam lapisan 30 m teratas, \bar{N} , dan kuat geser niralir rata-rata dalam lapisan 30 m teratas, \bar{s}_u . Klasifikasi kelas situs dapat dilihat pada Tabel 3.1.

3. Menentukan Kategori Risiko Struktur Bangunan

Penentuan kategori risiko struktur bangunan ditentukan berdasarkan jenis pemanfaatan suatu gedung yang mengacu pada SNI 1726:2012 Tabel 1. Kategori risiko untuk gedung apartemen adalah II.

4. Menentukan S_{MS} dan S_{M1}

Sesuai dengan SNI 1726:2012 pasal 6.2, parameter spektrum respons percepatan pada periode pendek (S_{MS}), dan periode 1 detik (S_{M1}) harus ditentukan dengan perumusan berikut :

$$S_{MS} = F_a S_s \quad (3-1)$$

$$S_{M1} = F_v S_1 \quad (3-2)$$

Nilai koefisien situs F_a dan F_v dapat dilihat pada Tabel 3.2 dan Tabel 3.3.

Tabel 3.1 Klasifikasi Situs

| Kelas Situs | \bar{v}_s (m/detik) | \bar{N} atau \overline{N}_{ch} | \bar{s}_u (kPa) |
|---|--|---------------------------------------|-------------------|
| SA (batuan keras) | >1500 | N/A | N/A |
| SB (batuan) | 750 sampai 1500 | N/A | N/A |
| SC (tanah keras, sangat padat dan batuan lunak) | 350 sampai 750 | >50 | ≥ 100 |
| SD (tanah sedang) | 175 sampai 350 | 15 sampai 50 | 50 sampai 100 |
| SE (tanah lunak) | <175 | <15 | <50 |
| | Atau setiap profil tanah yang mengandung lebih dari 3m tanah dengan karakteristik sebagai berikut: 1. Indeks plastisitas, $PI > 20$, 2. Kadar air, $w \geq 40\%$, 3. Kuat geser niralir $\bar{s}_u < 25$ kPa | | |
| SF (tanah khusus yang membutuhkan investigasi geoteknik spesifik) | Setiap profil lapisan tanah yang memiliki salah satu atau lebih dari karakteristik berikut: <ul style="list-style-type: none"> - Rawan dan berpotensi gagal atau runtuh akibat beban gempa seperti mudah likuifikasi, lempung sangat sensitif, tanah tersementasi lemah, - Lempung sangat organik dan/atau gambut (ketebalan $H > 3$ m), - Lempung berplastisitas sangat tinggi (ketebalan $H > 7,5$ m dengan Indeks Plasitisitas $PI > 75$) - Lapisan lempung lunak/setengah teguh dengan ketebalan $H > 35$ m dengan $\bar{s}_u < 50$ kPa | | |

Sumber : SNI 1726:2012

Tabel 3.2 Koefisien situs, F_a

| Kelas Situs | Parameter respons spektral percepatan gempa MCE_R terpetakan pada periode pendek, $T = 0,2$ detik, S_s | | | | |
|-------------|--|-------------|--------------|-------------|-----------------|
| | $S_s \leq 0,25$ | $S_s = 0,5$ | $S_s = 0,75$ | $S_s = 1,0$ | $S_s \geq 1,25$ |
| SA | 0,8 | 0,8 | 0,8 | 0,8 | 0,8 |
| SB | 1,0 | 1,0 | 1,0 | 1,0 | 1,0 |
| SC | 1,2 | 1,2 | 1,1 | 1,0 | 1,0 |
| SD | 1,6 | 1,4 | 1,2 | 1,1 | 1,0 |
| SE | 2,5 | 1,7 | 1,2 | 0,9 | 0,9 |
| SF | Situs memerlukan investigasi geoteknik spesifik dan analisis respons situs-spesifik | | | | |

Sumber : SNI 1726:2012 Tabel 4.

Tabel 3.3 Koefisien situs, F_v

| Kelas Situs | Parameter respons spektral percepatan gempa MCE_R terpetakan pada periode 1 detik, S_I | | | | |
|-------------|--|-------------|-------------|-------------|----------------|
| | $S_I \leq 0,1$ | $S_I = 0,2$ | $S_I = 0,3$ | $S_I = 0,4$ | $S_I \geq 0,5$ |
| SA | 0,8 | 0,8 | 0,8 | 0,8 | 0,8 |
| SB | 1,0 | 1,0 | 1,0 | 1,0 | 1,0 |
| SC | 1,7 | 1,6 | 1,5 | 1,4 | 1,3 |
| SD | 2,4 | 2,0 | 1,8 | 1,6 | 1,5 |
| SE | 3,5 | 3,2 | 2,8 | 2,4 | 2,4 |
| SF | Situs memerlukan investigasi geoteknik spesifik dan analisis respons situs-spesifik | | | | |

Sumber : SNI 1726:2012 Tabel 5.

5. Menentukan S_{DS} dan S_{DI}

Berdasarkan SNI 1726:2012 pasal 6.3, parameter perscepatan spektral desain S_{DS} dan S_{DI} , ditentukan melalui perumusan berikut :

$$S_{DS} = \frac{2}{3} S_{MS} \quad (3-3)$$

$$S_{D1} = \frac{2}{3} S_{M1} \quad (3-4)$$

6. Menentukan Kategori Desain Seismik

Setelah memperoleh nilai S_{DS} dan S_{DI} , kategori desain seismik dapat ditetapkan sesuai Tabel 3.4 dan Tabel 3.5.

Tabel 3.4. Kategori desain seismik berdasarkan parameter respons percepatan pada periode pendek

| Nilai S_{DS} | Kategori risiko | |
|----------------------------|--------------------|----|
| | I atau II atau III | IV |
| $S_{DS} < 0,167$ | A | A |
| $0,167 \leq S_{DS} < 0,33$ | B | C |
| $0,33 \leq S_{DS} < 0,50$ | C | D |
| $0,50 \leq S_{DS}$ | D | D |

Sumber : SNI 1726:2012 Tabel 6

Tabel 3.5 Kategori desain seismik berdasarkan parameter respons percepatan pada periode 1 detik

| Nilai S_{DI} | Kategori risiko | |
|-----------------------------|--------------------|----|
| | I atau II atau III | IV |
| $S_{DI} < 0,067$ | A | A |
| $0,067 \leq S_{DI} < 0,133$ | B | C |
| $0,133 \leq S_{DI} < 0,20$ | C | D |
| $0,20 \leq S_{DI}$ | D | D |

Sumber : SNI 1726:2012 Tabel 7.

3.5 Preliminary Design

Preliminary design merupakan perkiraan dimensi awal untuk elemen-elemen utama dari struktur gedung seperti kolom dan balok induk. Perencanaan dimensi mengacu pada SNI 2847:2013.

3.5.1 Perencanaan Dimensi Kolom

Berdasarkan SNI 2847:2013, dalam mendesain kolom, kolom harus memiliki kekuatan yang cukup sesuai untuk memikul gaya aksial terfaktor dan momen maksimum dari beban

terfaktor. Kekuatan desain yang disediakan harus tetap mampu menahan beban setelah dikalikan faktor reduksi, φ , sebesar 0,65 untuk penampang terkendali tekan (SNI 2847:2013 pasal 9.3.2.2). Luas penampang kolom yang diperlukan dapat dihitung dengan perumusan berikut :

$$A = \frac{W}{\varphi f'c} \quad (3-5)$$

dimana,

A = Luas penampang kolom

W = Beban aksial yang diterima kolom

$f'c$ = Kuat tekan beton karakteristik

3.5.2 Perencanaan Dimensi Balok Induk

Berdasarkan SNI 2847:2013 pasal 9.5.1, balok harus dirancang agar memiliki kekuatan yang cukup untuk membatasi defleksi. Tebal minimum, h , balok yang direncanakan harus mengacu SNI 2847:2013 pasal 9.5.1 tabel 9.5(a), yaitu untuk balok tertumpu sederhana :

$$h = \frac{l}{16} \quad (3-6)$$

$$b = \frac{2}{3}h \quad (3-7)$$

dimana,

l = Panjang bentang, mm

h = Tinggi balok, mm

b = Lebar balok, mm

Catatan :

Prumusan di atas berlaku untuk komponen struktur dengan beton normal dan mutu tulangan 420 Mpa. Untuk kondisi lain, nilai di atas harus dimodifikasi sebagai berikut :

- Untuk struktur beton ringan dengan berat jenis, w_c , 1440 sampai 1840 kg/m³, nilai di atas harus dikalikan dengan $(1,65 - 0,0003w_c)$ tetapi tidak kurang dari 1,09.

- Untuk f_y selain 420 Mpa, nilainya harus dikalikan dengan $(0,4 + f_y/700)$.

3.5.3 Perencanaan Dimensi Pelat

Persyaratan untuk tebal minimum pelat, h , ditetapkan pada SNI 2847:2013 pasal 9.5.2.1 untuk pelat satu arah tertumpu sederhana:

$$h = \frac{l}{20} \quad (3-8)$$

SNI 2847:2013 pasal 9.5.3.1 untuk pelat dua arah. Untuk pelat dengan balok yang membentang di antara tumpuan pada semua sisinya, tebal minimum, h , harus memenuhi ketentuan pada SNI 2847:2013 pasal 9.5.3.3 sebagai berikut :

- a. Untuk $\alpha_{fm} \leq 0,2$ harus memenuhi SNI 2847:2013 pasal 9.5.3.2 ($h \geq 125\text{mm}$).
- b. Untuk $0,2 < \alpha_{fm} \leq 2$, h tidak boleh kurang dari 125mm dan tidak boleh kurang dari

$$h = \frac{\ln(0,8 + \frac{f_y}{1400})}{36 + 5\beta(\alpha_{fm} - 0,2)} \quad (3-9)$$

- c. Untuk $\alpha_{fm} > 2$, h tidak boleh kurang dari 90mm dan tidak boleh kurang dari

$$h = \frac{\ln(0,8 + \frac{f_y}{1400})}{36 + 9\beta} \quad (3-10)$$

- d. Pada tepi yang tidak menerus, balok tepi harus mempunyai rasio kekakuan α_f tidak kurang dari 0,8 atau sebagai alternatif ketebalan minimum yang ditentukan persamaan (3-9) atau (3-10) harus dinaikkan paling tidak 10% pada panel tepi yang tidak menerus.

Keterangan :

α_{fm} = Nilai rata-rata α_f (ratio kekakuan lentur penampang balik terhadap kekakuan lentur lebar pelat yang dibatasi secara

lateral oleh garis pusat panel ang di sebelahnya (jika ada) pada setiap sisi balok.

L_n = Panjang bentang bersih dalam arah panjang diukur muka ke muka balok.

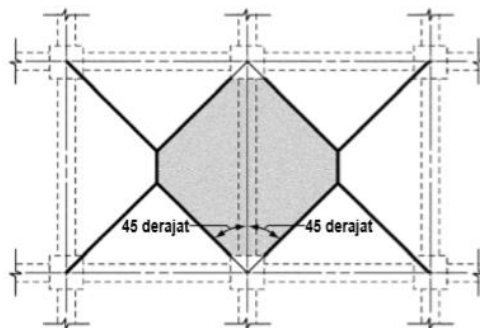
B = Rasio bentang bersih dalam arah panjang terhadap pendek pelat.

3.6 Perencanaan Struktur Sekunder

Struktur sekunder yang direncanakan dimensinya meliputi balok anak, tangga, dan balok lift.

3.6.1 Perencanaan Dimensi Balok Anak

Dimensi balok anak direncanakan seperti perencanaan dimensi balok induk dengan beban pelat yang diteruskan ke balok anak diperhitungkan sebagai luasan trapesium dan segitiga (Gambar 3.4).



Gambar 3.4 Beban Pelat pada Balok Anak

Sumber : SNI 2847:2013

3.6.2 Perencanaan Dimensi Tangga

Dimensi tangga yang direncanakan meliputi dimensi tinggi pijakan, lebar pijakan, dan sudut kemiringan tangga, α . Ukuran ideal dari anak tangga dapat ditentukan dengan rumus berikut :

$$60 \text{ cm} \leq 2r + t \leq 65 \text{ cm} \quad (3-11)$$

dimana,

r = tinggi pijakan

t = lebar pijakan

α = sudut kemiringan tangga ($25^\circ \leq \alpha \leq 40^\circ$)

Untuk ketebalan pelat tangga, t_s , dapat ditentukan dengan rumus berikut :

$$t_s = \frac{l}{10} \quad (3-12)$$

dimana,

l = lebar anak tangga

3.6.3 Perencanaan Dimensi Balok Lift

Balok lift yang akan didesain yaitu balok pengatrol lift, balok perletakan mesin lift depan, dan balok perletakan mesin lift belakang. Perhitungan dimensi balok lift direncanakan seperti balok anak.

3.7 Pembebanan

Pembebanan struktur direncanakan mengacu pada SNI 1727:2013, PPIUG 1983, SNI 1726:2012, dan SNI 2847:2013.

3.7.1 Beban Mati

Menurut SNI 1727:2013, beban mati adalah berat seluruh bahan konstruksi bangunan gedung yang terpasang, termasuk dinding, lantai, atap, plafon, tangga, dinding partisi tetap, finishing, kladding gedung dan komponen arsitektural dan struktural lainnya serta peralatan layan terpasang lain termasuk berat keran.

Beban mati yang diperhitungkan dalam perencanaan tugas akhir ini ditetapkan sesuai dengan PPIUG 1983 yang tertera pada Tabel 3.6.

Tabel 3.6. Beban Mati pada Struktur

| Beban Mati | Besar Beban |
|---|------------------------|
| Beton Bertulang | 2400 kg/m ² |
| Dinding pasangan bata merah | 250 kg/m ² |
| Kaca Setebal 12 mm | 30 kg/m ² |
| Langit-langit | 11 kg/m ² |
| Penggantung Langit-Langit | 7 kg/m ² |
| Penurup Lantai dari Ubin Semen Portland | 24 kg/m ² |
| Adukan semen per cm tebal | 21 kg/m ² |

3.7.2 Beban Hidup

Menurut SNI 1727:2013, beban hidup adalah beban yang diakibatkan oleh pengguna dan penghuni bangunan gedung atau struktur lain yang tidak termasuk beban konstruksi dan beban lingkungan, seperti beban angin, beban hujan, beban gempa, beban banjir, atau beban mati. Besarnya beban hidup yang bekerja dapat dilihat pada Tabel 3.7.

Tabel 3.7. Beban Hidup pada Struktur

| Beban Hidup | Besar Beban |
|-------------------|-----------------------|
| Lantai hotel | 250 kg/m ² |
| Koridor | 479 kg/m ² |
| Tangga dan Bordes | 300 kg/m ² |
| Atap datar | 100 kg/m ² |
| Pekerja | 100 kg |

3.7.3 Beban Angin

Berdasarkan SNI 1727:2013 pasal 26.1.1 bangunan gedung dan struktur lain, termasuk Sistem Penahan Beban Angin Utama (SPBAU) dan seluruh komponen dan kladding gedung, harus dirancang dan dilaksanakan untuk menahan beban angin seperti yang ditetapkan menurut pasal 26 sampai pasal 31.

3.7.4 Beban Gempa

Beban gempa harus direncanakan sesuai dengan SNI 1726:2012 dan menggunakan Peta Sumber Bahaya dan Gempa Bumi Indonesia Tahun 2017. Berikut langkah-langkah dalam menghitung beban gempa :

1. Menentukan S_{DS} dan S_{DI}

Parameter S_{DS} dan S_{DI} ditetapkan sesuai dengan langkah-langkah seperti pada sub bab 3.4.

2. Menentukan Faktor Keutamaan Gempa, I_e

Faktor keutamaan gempa suatu struktur harus dirancang dengan kategori risiko sesuai Tabel 2 SNI 1726:2012 berdasarkan fungsi dari struktur tersebut. Untuk struktur yang menggunakan *base isolator*, nilai faktor keutamaan gempa (I_e) diambil sebesar 1,0 tanpa membedakan kategori risiko yang diterapkan.

3. Menentukan Faktor R , Cd , dan Ω_0 untuk sistem penahan gaya gempa

Faktor koefisien modifikasi respons, R , faktor amplifikasi defleksi, Cd , dan faktor kuat lebih, Ω_0 , ditetapkan pada SNI 1726:2012 Tabel 9. Gedung ini akan dirancang menggunakan sistem Rangka Pemikul Momen Biasa dengan nilai faktor sebagai berikut :

$$R : 3$$

$$Cd : 3$$

$$\Omega_0 : 2,5$$

4. Menentukan Respons Seismik (C_s)

$$C_s = \frac{S_{DS}}{\left(\frac{R}{I_e}\right)} \quad (3-13)$$

dimana,

S_{DS} = Percepatan Spektrum Respons Disain dalam Rentang Periode Pendek

R = Faktor Modifikasi Respons

I_e = Faktor Keutamaan Gempa

Nilai C_s yang dihitung sesuai dengan persamaan (3-11) tidak boleh melebihi :

$$C_s = \frac{S_{D1}}{T\left(\frac{R}{I_e}\right)} \quad (3-14)$$

C_s tidak boleh kurang dari :

$$C_s = 0,044 S_{DS} I_e \geq 0,01 \quad (3-15)$$

dimana,

S_{D1} = Percepatan spektrum respons disain pada periode 1 detik

T = Perioda fundamental struktur, detik

5. Gaya geser dasar seismik dan distribusi gaya gempa lateral
Gaya geser dasar seismik, V , ditetapkan sesuai dengan persamaan berikut (SNI 1726:2012 pasal 7.8.1) :

$$V = C_s W \quad (3-16)$$

dimana,

C_s = Koefisien respons seismik

W = Berat seismik efektif menurut SNI 1726:2012 pasal 7.7.2.

- Distribusi gaya gempa lateral, F_x yang timbul di semua tingkat harus ditentukan dari persamaan berikut (SNI 1726:2012 pasal 7.8.3) :

$$F_x = C_{vx} V \quad (3-17)$$

dan

$$C_{vx} = \frac{w_x h_x^k}{\sum_{i=1}^n w_i h_i^k} \quad (3-18)$$

dimana,

C_{vx} = Faktor distribusi vertikal

V = Gaya lateral desain total atau geser di dasar struktur, Kn

w_i dan w_x = Bagian berat seismik efektif total struktur (W) yang ditempatkan atau dikenakan pada tingkat i atau x

h_i dan h_x = Tinggi dari dasar sampai tingkat i atau x , m

k = Eksponen yang terkait dengan periода struktur sebagai berikut :

- Untuk struktur yang mempunyai perioda sebesar 0,5 detik atau kurang, $k=1$.
- Untuk struktur yang mempunyai perioda sebesar 2,5 detik atau lebih, $k=2$.
- Untuk struktur yang mempunyai perioda antara 0,5 dan 2,5 detik, k harus sebesar 2 atau harus ditentukan dengan interpolasi linier antara 1 dan 2.

3.7.5 Kombinasi Pembebatan

Kombinasi pembebatan sesuai dengan SNI 2847:2013 pasal 9.2.1 :

$$U = 1,4 D \quad (3-19)$$

$$U = 1,2 D + 1,6 L + 0,5 (L_r \text{ atau } R) \quad (3-20)$$

$$U = 1,2 D + 1,6 (L_r \text{ atau } R) + (1,0 L \text{ atau } 0,5 W) \quad (3-21)$$

$$U = 1,2 D + 1,0 W + 1,0 L + 0,5 (L_r \text{ atau } R) \quad (3-22)$$

$$U = 1,2 D + 1,0 L + 1,0 E \quad (3-23)$$

$$U = 0,9 D + 1,0 W \quad (3-24)$$

$$U = 0,9 D + 1,0 E \quad (3-25)$$

Keterangan :

U = Beban ultimate

D = Beban mati

W = Beban angin

E = Beban gempa

R = Beban air hujan

L = Beban hidup

L_r = Beban hidup atap

3.8 Perencanaan Base Isolator

Perencanaan *base isolator* harus mengacu pada SNI 1726:2012 pasal 12. Untuk perhitungan dimensi dapat dihitung dengan tahapan berikut :

1. Menentukan Parameter Desain

Parameter desain yang ditentukan adalah nilai kekakuan desain, K_D dan nilai kekakuan maksimum, K_M .

$$K_{D(\min)} = \left(\frac{2\pi}{T_D} \right)^2 \frac{W}{g} \quad (3-26)$$

$$K_{M(\min)} = \left(\frac{2\pi}{T_M} \right)^2 \frac{W}{g} \quad (3-27)$$

dimana,

T_D = Perioda efektif struktur dengan isolasi seismik, detik

T_M = Perioda efektif maksimum struktur dengan isolasi seismik, detik

W = Berat seismik efektif struktur di atas pemisah isolasi

g = Percepatan gravitasi, meter/detik²

2. Menentukan Perpindahan Rencana

Perpindahan rencana, D_D , dan perpindahan maksimum, D_M , untuk *High Damping Rubber Bearing* ditetapkan pada SNI 1726:2012 pasal 12.5.3.1 dapat diperkirakan dengan rumus berikut :

$$D_D = \frac{gS_{D1}T_D}{4\pi^2B_D} \quad (3-28)$$

$$D_M = \frac{gS_{M1}T_M}{4\pi^2B_M} \quad (3-29)$$

dimana,

D_D = Perpindahan gempa lateral rencana, mm

D_M = Perpindahan gempa lateral maksimum, mm

B_D = Koefisien numerik terkait dengan redaman efektif sistem isolasi pada perpindahan rencana, β_D seperti yang diatur dalam Tabel 3.8.

B_M = Koefisien numerik terkait dengan redaman efektif sistem isolasi pada perpindahan maksimum, β_M , seperti yang diatur dalam Tabel 3.8.

Tabel 3.8 Koefisien Redaman, B_D atau B_M

| Redaman Efektif, β_D atau β_M (presentase dari redaman kritis) | Faktor B_D atau B_M |
|---|----------------------------|
| ≤ 2 | 0,8 |
| 5 | 1,0 |
| 10 | 1,2 |
| 20 | 1,5 |
| 30 | 1,7 |
| 40 | 1,9 |
| ≥ 50 | 2,0 |

Sumber : SNI 1726:2012 Tabel 22.

3. Menentukan Dimensi Isolator

Dari parameter desain yang telah ditentukan, direncanakan diameter dan ketebalan bantalan *base isolator*.

$$t_r = \frac{D_D}{\gamma} \quad (3-30)$$

Dengan tebal karet di atas, diperoleh luas permukaan bantalan, A , dan diameter, D , dengan rumus berikut :

$$A = K_D \frac{t_r}{G} \quad (3-31)$$

$$D = \sqrt{\frac{4A}{\pi}} \quad (3-32)$$

4. Menghitung Gaya Geser Dasar

Gaya geser dasar pada struktur dengan *base isolator* dibagi menjadi dua bagian, yaitu gaya geser dasar untuk struktur di atas *isolation system*, V_S , gaya geser dasar untuk struktur di bawah *isolaton system*, V_B . Perhitungan V_S dan V_B dapat menggunakan rumus berikut :

$$V_B = k_{D\text{MAX}} \times D_D \quad (3-33)$$

$$V_S = \frac{k_{D\text{MAX}} \times D_D}{R} \quad (3-34)$$

Berdasarkan SNI 1726:2012 pasal 12.5.4.3, nilai V_S tidak boleh kurang dari gaya geser dasar *fixed base structure*.

3.9 Pemodelan Struktur dan Kontrol Desain

Permodelan struktur dilakukan dengan menggunakan program bantu SAP2000 untuk mengetahui reaksi dan gaya dalam struktur akibat pembebanan gravitasi maupun beban lateral. Selain itu, luaran dari pemodelan dengan SAP2000 adalah untuk mengetahui perilaku struktur seperti periode getar struktur, simpangan antarlantai, gaya geser dasar, serta partisipasi massa untuk selanjutnya dikontrol apakah perilaku struktur tersebut memenuhi persyaratan atau tidak.

3.9.1 Kontrol Perioda Fundamental Struktur

Perioda fundamental struktur, T , diatur dalam SNI 1726:2012 pasal 7.8.1 tidak boleh melebihi hasil koefisien untuk batasan atas pada perioda yang dihitung C_u (Tabel 3.9), dan perioda fundamental pendekatan, T_a . Perioda fundamental pendekatan T_a , dalam detik, harus ditentukan dari persamaan berikut :

$$T_a = C_t h_n^x \quad (3-35)$$

Keterangan :

C_t = Nilai parameter perioda pendekatan (Tabel 3.10)

h_n = Ketinggian struktur, dalam (m), di atas dasar sampai tingkat tertinggi struktur

x = Nilai parameter perioda pendekatan (Tabel 3.10)

Tabel 3.9 Koefisien untuk batas atas pada perioda yang dihitung

| Parameter percepatan respons spektral desain pada 1 detik, S_{D1} | C_u |
|---|-------|
| $\geq 0,4$ | 1,4 |
| 0,3 | 1,4 |
| 0,2 | 1,5 |
| 0,15 | 1,6 |
| $\leq 0,15$ | 1,7 |

Sumber : Tabel 14 SNI 1726:2012

Tabel 3.10 Nilai parameter perioda pendekatan C_t dan x

| Tipe Struktur | C_t | x |
|---|--------|------|
| Sistem rangka pemikul momen dimana rangka memikul 100% gaya gempa yang disyaratkan dan tidak dilingkupi atau dihubungkan dengan komponen yang lebih kaku dan akan mencegah rangka dari defleksi jika dikenai gaya gempa : | | |
| Rangka baja pemikul momen | 0,0724 | 0,80 |
| Rangka beton pemikul momen | 0,0466 | 0,90 |
| Rangka baja dengan bresing eksentris | 0,0731 | 0,75 |
| Rangka baja dengan bresing terkekang terhadap tekuk | 0,0731 | 0,75 |
| Semua sistem struktur lainnya | 0,0488 | 0,75 |

Sumber : Tabel 15 SNI 1726:2012

3.9.2 Kontrol Simpangan Antarlantai

Simpangan antar lantai maksimum struktur di atas sistem isolasi tidak boleh melebihi $0,015h_{sx}$. Simpangan antar lantai harus dihitung berdasarkan Persamaan 34 SNI 1726:2012 dengan faktor C_d dari sistem isolasi sama dengan faktor R_I yang ditentukan di 12.5.4.2 (bernilai 3/8 dari R yang diberikan Tabel 9 SNI 1726:2013 dengan nilai maksimum 2,0 dan nilai minimum 1,0).

3.9.3 Batas Gaya Geser Struktur di Atas Sistem Isolasi, V_s

Berdasarkan SNI 1726:2012 Pasal 12.5.4.3 nilai V_s tidak boleh diambil kurang dari batasan berikut :

1. Gaya gempa lateral yang disyaratkan dalam pasal 7.8 SNI 1726:2012 untuk struktur yang terjepit di dasar dengan berat gempa efektif, W , yang sama, dan periodanya sama dengan perioda struktur dengan isolasi seismik, T_D .
2. Gaya geser dasar untuk beban angin rencana terfaktor.
3. Gaya gempa lateral yang dibutuhkan untuk mengaktifkan sistem isolasi secara penuh (misal: tingkat leleh dari suatu sistem yang melunak (softening system), kapasitas ultimit suatu sistem pengekang angin, atau tingkat friksi lepas dari suatu sistem gelincir (the break-away friction level of a sliding system)) dikalikan dengan faktor 1,5.

3.9.4 Partisipasi Massa

Analisis harus menyertakan jumlah ragam yang cukup untuk mendapatkan partisipasi massa ragam terkombinasi sebesar paling sedikit 90 persen dari massa aktual dalam masing-masing arah horisontal ortogonal dari respons yang ditinjau oleh model (Pasal 7.9.1 SNI 1726:2012).

3.10 Perencanaan Struktur Utama

Perencanaan struktur utama meliputi perencanaan penulangan kolom dan penulangan balok induk.

3.10.1 Perencanaan Tulangan Kolom

Perencanaan tulangan memanjang kolom akibat beban aksial terfaktor untuk rangka momen biasa harus sesuai dengan SNI 2847:2013 pasal 21.2.3, sedangkan perencanaan tulangan geser kolom harus memenuhi pasal 21.3.3.2 SNI 2847:2013 dengan ϕV_n kolom tidak boleh kurang dari yang terkecil dari (a) dan (b) :

$$\text{a. } V_u = \frac{M_{nt} + M_{nb}}{l_u} \quad (3-36)$$

- b. Geser maksimum yang diperoleh dari kombinasi beban desain yang melibatkan E , dengan E ditingkatkan oleh Ω_0 .

3.10.2 Perencanaan Tulangan Lentur Balok

Perencanaan tulangan komponen struktur yang menahan lentur untuk rangka momen biasa ditetapkan dalam SNI 2847:2013 pasal 21.2.2 yaitu balok harus mempunyai paling sedikit dua batang tulangan longitudinal yang menerus sepanjang kedua muka atas dan bawah.

Berikut merupakan langkah-langkah dalam merencanakan tulangan longitudinal balok :

1. Menentukan tebal selimut beton

Persyaratan tebal minimum selimut beton ditetapkan dalam SNI 2847:2013 pasal 7.7

2. Menentukan jarak serat tekan terjauh ke pusat tulangan tarik longitudinal, d
3. Menentukan momen ultimate yang diterima balok
4. Menentukan harga β_1 sesuai dengan SNI 2847:2013 pasal 10.2.7.3 ditetapkan dengan perumusan berikut :

$$\beta_1 = 0,85 - 0,05 \frac{(f'_c - 28)}{7} \quad (3-37)$$

5. Menentukan batasan rasio tulangan.

Rasio tulangan maksimum dan minimum ditetapkan dalam SNI 2847:2013 pasal 21.5.2.1 dengan perumusan berikut :

$$\rho_{maks} = 0,025 \quad (3-38)$$

$$\rho_{min} = \frac{1,4}{f_y} \quad (3-39)$$

6. Menentukan harga m

$$m = \frac{f_y}{0,85 f_c} \quad (3-40)$$

7. Menentukan koefisien kapasitas penampang, R_n

$$R_n = \frac{Mn}{\varphi bd^2} \quad (3-41)$$

Dengan $\varphi = 0,65$ (SNI 2847:2013 pasal 9.3.2.2).

8. Menghitung rasio tulangan yang diperlukan.

Besarnya rasio tulangan yang diperlukan dapat dihitung dengan rumus berikut ini kemudian dikontrol terhadap batas rasio tulangan minimum dan maksimum :

$$\rho = \frac{1}{m} \left(1 - \sqrt{1 - \frac{2mR_n}{f_y}} \right) \quad (3-42)$$

9. Menghitung luas tulangan (A_s) yang diperlukan.

$$A_s = \rho b d \quad (3-43)$$

10. Menghitung jarak tulangan dalam 1m, s .

$$s = \frac{1000}{n} \quad (3-44)$$

Dimana, n adalah jumlah jumlah tulangan yang diperoleh dengan rumus berikut :

$$n = \frac{A_s}{0,25\pi D^2} \quad (3-45)$$

3.10.3 Perencanaan Tulangan Geser Balok

Perencanaan tulangan geser ditetapkan dalam SNI 2847:2013 pasal 11.1, dimana desain penampang yang dikenai geser harus didasarkan pada :

$$\varphi V_n \geq V_u$$

dimana,

V_u = gaya geser terfaktor pada penampang

V_n = gaya geser nominal penampang, yang dihitung dengan persamaan (3-34)

φ = reduksi kekuatan untuk geser = 0,75 (SNI 2847:2013 pasal 9.3.2.3)

$$V_n = V_c + V_s$$

dimana,

V_c = kekuatan geser nominal yang disediakan oleh beton, yang dihitung sesuai dengan persamaan (3-50)

V_s = kekuatan geser nominal yang disediakan oleh tulangan geser

$$V_c = 0,17\lambda\sqrt{f_c'}b_w d \quad (3-48)$$

3.11 Perencanaan Pondasi

Dalam perencanaan gedung ini direncanakan menggunakan pondasi tiang pancang berdasarkan data hasil *Standard Penetration Test* (SPT). Langkah-langkah perencanaan pondasi tiang pancang adalah sebagai berikut :

1. Koreksi Nilai NSPT terhadap Muka Air Tanah

Khusus untuk tanah pasir halus, pasir berlanau, dan pasir berlempung yang berada di bawah muka air dan hanya bila $N > 15$:

$$N_1 = 15 + \frac{1}{2}(N - 15) \quad (\text{Terzaghi dan Peck, 1960})$$

$$N_1 = 0,6N \quad (\text{Bazaara, 1967})$$

Pilih harga N_1 yang terkecil dari kedua nilai di atas.

Untuk jenis tanah lempung, lanau, dan pasir kasar dan bila $N \leq 15$, nilai N tidak perlu dikoreksi, $N_1 = N$.

2. Daya Dukung 1 *Bored Pile*

Perhitungan daya dukung bored pile ini dilakukan berdasarkan hasil uji Standard Penetration Test (SPT) dengan penjumlahan daya dukung perlawanan tanah dari unsur dasar tiang pondasi (Q_p) dan daya dukung tanah dari unsur lekatan lateral tanah (Q_s) dengan metode Luciano Decourt sebagai berikut:

$$Q_L = Q_p + Q_s \quad (3-49)$$

Dimana,

Q_L = Daya dukung tanah maksimum pada pondasi

Q_p = Resistance ultimate di dasar pondasi

Q_s = Resistance ultimate akibat tekanan lateral

$$Q_p = q_p \cdot A_p = \alpha \cdot \bar{N}_p \cdot K \cdot A_p \quad (3-50)$$

Dimana,

\bar{N}_p = Harga rata-rata SPT di sekitar 4D di atas hingga 4D di bawah dasar tiang pondasi (D = diameter pondasi)

K = Koefisien karakteristik tanah di dasar pondasi

$K = 12 \text{ ton/m}^2$, untuk lempung (clay)

$K = 20 \text{ t/m}^2$, untuk lempung berlanau (silty clay)

$K = 25 \text{ t/m}^2$, untuk pasir berlanau (silty sand)

$K = 40 \text{ t/m}^2$, untuk pasir (sand)

A_p = Luas penampang dasar tiang

q_p = Tegangan di ujung tiang

$$Q_s = q_s \cdot A_s = \beta \cdot A_s \left(\frac{\bar{N}_s}{3} + 1 \right) \quad (3-51)$$

Dimana,

q_s = Tegangan akibat lekatan lateral dalam ton/m²

\bar{N}_s = Harga rata-rata sepanjang tiang yang terbenam, dengan batasan: $3 \leq N \leq 50$

A_s = Keliling x panjang tiang yang terbenam (luas selimut tiang)

Koefisien α dan β adalah merupakan base coefficient dan shaft coefficient menurut Decourt yaitu $\alpha = 0,85$ dan $\beta = 0,8$ untuk borepile.

$$P_{ijin} = \frac{P_{ult}}{SF} \quad (3-49)$$

SF = Faktor keamanan = 3

3. Kontrol tegangan yang terjadi pada tiang pancang

$$P_{\max,\min} = \frac{\sum P}{n} \pm \frac{MyX_{\max}}{\sum x^2} \pm \frac{MxY_{\max}}{\sum y^2} \quad (3-50)$$

Efisiensi satu tiang pancang dalam kelompok, C_e

$$C_e = 1 - \frac{\arctan(\phi/S)}{90^\circ} \cdot (2 - \frac{1}{m} - \frac{1}{n}) \quad (3-51)$$

Dimana :

\emptyset = diameter bored pile

S = Jarak antar *bored pile*

m = Jumlah baris *bored pile* dalam grup

n = Jumlah kolom *bored pile* dalam grup

Sehingga, $P_{ult} = C_e \times P_{u1}$ tiang

3.12 Penggambaran Hasil Perencanaan

Hasil perencanaan dan perhitungan dalam tugas akhir ini divisualisasikan melalui gambar teknik dengan menggunakan program bantu AutoCAD.

BAB IV

HASIL DAN PEMBAHASAN

4.1 Preliminary Design

Preliminary design merupakan proses perencanaan awal yang akan digunakan untuk merencanakan dimensi struktur gedung. Perencanaan awal mengacu pada peraturan yang ada. *Preliminary design* yang dilakukan terhadap komponen struktur antara lain balok induk, balok anak, pelat, dan kolom.

4.1.1 Data Perencanaan

Data perencanaan Gedung Skysuites Soho adalah sebagai berikut :

a. Data Umum Bangunan

| | | |
|--------------------|---|----------------------------------|
| Nama gedung | : | Skysuites Soho |
| Lokasi | : | Jl. Kedung Baruk No.26, Surabaya |
| Fungsi bangunan | : | Apartement |
| Jumlah lantai | : | 21 lantai |
| Struktur bangunan | : | Beton bertulang konvensional |
| Tinggi bangunan | : | 82 m |
| Luas bangunan | : | 1121,2 m ² |
| Tinggi lantai 1 | : | 2m (Ruang pemeliharaan) |
| Tinggi lantai 2-21 | : | 4m |

b. Data Material

| | | |
|------------------|---|--|
| Mutu beton (f'c) | : | 40 MPa (dari pondasi sampai lantai atap) |
| Mutu baja | : | BJTD 40 |
| Base Isolator | : | Bridgestone (terlampir) |

4.1.2 Perencanaan Dimensi Balok

4.1.2.1 Balok Induk

Perencanaan dimensi tebal minimum balok induk nonprategang bila lendutan tidak dihitung mengacu pada persyaratan dalam SNI 2847:2013 Pasal 9.5.2.1 dengan perumusan sebagai berikut :

$$h = \frac{l}{16}, \text{ untuk balok tertumpu sederhana} \quad (4-1)$$

$$h = \frac{l}{8}, \text{ untuk balok kantilever} \quad (4-2)$$

$$b = \frac{2}{3}h \quad (4-3)$$

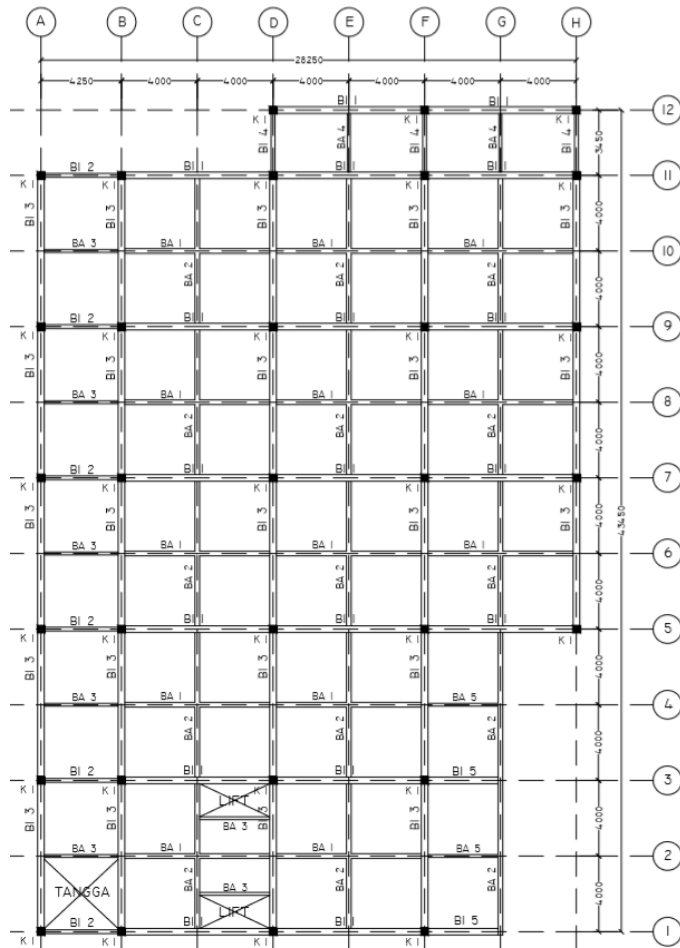
dimana,

h = tebal minimum balok (mm)

l = panjang balok (mm)

b = lebar balok (mm)

Perumusan tebal minimum balok di atas berlaku untuk $f_y = 420$ MPa, karena pada perencanaan ini digunakan $f_y = 400$ MPa maka nilai harus dikalikan dengan $(0,4 + f_y/700)$.



Gambar 4.1 Denah Pembalokan

Denah balok induk dapat dilihat pada Gambar 4.1. Berikut perhitungan perencanaan dimensi balok induk :

1. $0,4 + \frac{f_y}{700} = 0,4 + \frac{400}{700} = 0,971$
2. Balok Induk BI 1
 $L = 8000 \text{ mm}$

$$h = \frac{l}{16} \times 0,971 = \frac{8000}{16} \times 0,971 = 485,71 \text{ mm} \approx 49 \text{ cm}$$

$$b = \frac{2}{3} h = \frac{2}{3} \times 485,71 = 323,81 \text{ mm} \approx 33 \text{ cm}$$

3. Balok Induk BI 2

$$L = 4250 \text{ mm}$$

$$h = \frac{l}{16} \times 0,971 = \frac{4250}{16} \times 0,971 = 258,04 \text{ mm} \approx 26 \text{ cm}$$

$$b = \frac{2}{3} h = \frac{2}{3} \times 258,04 = 172,02 \text{ mm} \approx 18 \text{ cm}$$

4. Balok Induk BI 3

$$L = 8000 \text{ mm}$$

$$h = \frac{l}{16} \times 0,971 = \frac{8000}{16} \times 0,971 = 485,71 \text{ mm} \approx 49 \text{ cm}$$

$$b = \frac{2}{3} h = \frac{2}{3} \times 485,71 = 323,81 \text{ mm} \approx 33 \text{ cm}$$

5. Balok Induk BI 4

$$L = 3450 \text{ mm}$$

$$h = \frac{l}{16} \times 0,971 = \frac{3450}{16} \times 0,971 = 209,46 \text{ mm} \approx 21 \text{ cm}$$

$$b = \frac{2}{3} h = \frac{2}{3} \times 209,46 = 139,64 \text{ mm} \approx 14 \text{ cm}$$

6. Balok Induk BI 5 (Kantilever)

$$L = 4000 \text{ mm}$$

$$h = \frac{l}{8} \times 0,971 = \frac{4000}{8} \times 0,971 = 485,72 \text{ mm} \approx 49 \text{ cm}$$

$$b = \frac{2}{3} h = \frac{2}{3} \times 485,72 = 323,81 \text{ mm} \approx 33 \text{ cm}$$

Rekapitulasi perhitungan dimensi balok induk dapat dilihat pada Tabel 4.1.

Tabel 4.1 Rekapitulasi Perhitungan Dimensi Balok Induk

| No. | Balok | Panjang (m) | h (cm) | h pakai (cm) | b (cm) | b pakai (cm) |
|-----|-------|-------------|--------|--------------|--------|--------------|
| 1 | BI 1 | 8 | 49 | 60 | 33 | 40 |
| 2 | BI 2 | 4,25 | 26 | 40 | 18 | 30 |
| 3 | BI 3 | 8 | 49 | 60 | 33 | 40 |
| 4 | BI 4 | 3,45 | 21 | 40 | 14 | 30 |
| 5 | BI 5 | 4 | 49 | 60 | 33 | 40 |

4.1.2.2 Balok Anak

Perencanaan dimensi tebal minimum balok anak nonprategang bila lendutan tidak dihitung mengacu pada persyaratan dalam SNI 2847:2013 Pasal 9.5.2.1 dengan perumusan sebagai berikut :

$$h = \frac{l}{21}, \text{ untuk balok dengan kedua ujung menerus} \quad (4-4)$$

$$b = \frac{2}{3}h \quad (4-5)$$

dimana,

h = tebal minimum balok (mm)

l = panjang balok (mm)

b = lebar balok (mm)

Perumusan tebal minimum balok di atas berlaku untuk $f_y = 420$ MPa, karena pada perencanaan ini digunakan $f_y = 400$ MPa maka nilai harus dikalikan dengan $(0,4 + f_y/700)$.

Berikut perhitungan perencanaan dimensi balok anak :

$$1. \quad 0,4 + \frac{f_y}{700} = 0,4 + \frac{400}{700} = 0,971$$

2. Balok Anak BA 1

$$L = 8000 \text{ mm}$$

$$h = \frac{l}{21} \times 0,971 = \frac{8000}{21} \times 0,971 = 370,07 \text{ mm} \approx 38 \text{ cm}$$

$$b = \frac{2}{3}h = \frac{2}{3} \times 370,07 = 246,71 \text{ mm} \approx 25 \text{ cm}$$

3. Balok Anak BA 2

$$L = 8000 \text{ mm}$$

$$h = \frac{l}{21} \times 0,971 = \frac{8000}{21} \times 0,971 = 370,07 \text{ mm} \approx 38 \text{ cm}$$

$$b = \frac{2}{3}h = \frac{2}{3} \times 370,07 = 246,71 \text{ mm} \approx 25 \text{ cm}$$

4. Balok Anak BA 3

$$L = 4250 \text{ mm}$$

$$h = \frac{l}{21} \times 0,971 = \frac{4250}{21} \times 0,971 = 196,59 \text{ mm} \approx 20 \text{ cm}$$

$$b = \frac{2}{3}h = \frac{2}{3} \times 196,59 = 131,07 \text{ mm} \approx 14 \text{ cm}$$

5. Balok Anak BA 4

$$L = 3450 \text{ mm}$$

$$h = \frac{l}{21} \times 0,971 = \frac{3450}{21} \times 0,971 = 159,59 \text{ mm} \approx 16 \text{ cm}$$

$$b = \frac{2}{3}h = \frac{2}{3} \times 159,59 = 106,39 \text{ mm} \approx 11 \text{ cm}$$

6. Balok Anak BA 5

$$L = 40000 \text{ mm}$$

$$h = \frac{l}{18,5} \times 0,971 = \frac{4000}{18,5} \times 0,971 = 210,01 \text{ mm} \approx 22 \text{ cm}$$

$$b = \frac{2}{3}h = \frac{2}{3} \times 210,01 = 140,1 \text{ mm} \approx 15 \text{ cm}$$

Rekapitulasi perhitungan dimensi balok induk dapat dilihat pada Tabel 4.2.

Tabel 4. 2 Rekapitulasi Dimensi Balok Induk

| No. | Balok | Panjang (m) | h (cm) | h pakai (cm) | b (cm) | b pakai (cm) |
|-----|-------|----------------|-----------|--------------------|-----------|--------------------|
| 1 | BA 1 | 8 | 38 | 40 | 25 | 30 |
| 2 | BA 2 | 8 | 38 | 40 | 25 | 30 |
| 3 | BA 3 | 4,25 | 20 | 25 | 14 | 20 |
| 4 | BA 4 | 3,45 | 16 | 25 | 11 | 20 |
| 5 | BA 5 | 4 | 22 | 25 | 15 | 20 |

4.1.3 Perencanaan Dimensi Pelat

Terdapat dua jenis pelat berdasarkan rasio antara bentang panjang, L_y , terhadap bentang pendek, L_x , yaitu pelat satu arah dan pelat dua arah. Perencanaan dimensi tebal minimum pelat satu arah ditentukan dalam SNI 2847:2013 pasal 9.5.2.1 dengan perumusan tebal minimum, h untuk pelat dengan kedua ujung menerus sebagai berikut :

$$h = \frac{l}{28} \quad (4-6)$$

dimana,

h = tebal minimum pelat (mm)

l = panjang bentang (mm)

Sedangkan untuk persyaratan tebal minimum pelat dua arah mengacu pada SNI 2847:2013 pasal 9.5.3. Untuk pelat dengan balok yang membentang di antara tumpuan pada semua sisinya, tebal minimum pelat harus memenuhi :

- a. Untuk $\alpha_{fm} \leq 0,2$ harus memenuhi pada SNI 2847:2013 pasal 9.5.3.2.

- b. Untuk $0,2 < \alpha_{fm} \leq 2$, h tidak boleh kurang dari

$$h = \frac{l_n \left(0,8 + \frac{f_y}{1400} \right)}{36 + 5\beta(\alpha_{fm} - 0,2)} \quad (4-7)$$

dan $h \geq 125\text{mm}$.

- c. Untuk $\alpha_{fm} \geq 2$, h harus lebih dari $h = \frac{l_n \left(0,8 + \frac{f_y}{1400} \right)}{36 + 9\beta}$ (4-8)

dan $h \geq 90\text{mm}$.

dimana,

h = Tebal minimum

l_n = Panjang bentang bersih dalam arah panjang

β = Rasio bentang bersih dalam arah panjang terhadap pendek pelat

α_{fm} = Nilai rata-rata α_f untuk semua balok pada tepi panel

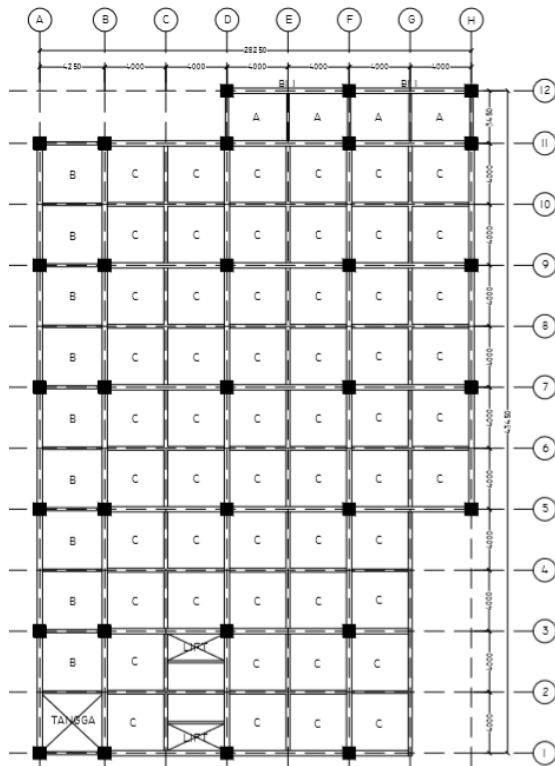
$$\alpha_f = \frac{E_{cb} I_b}{E_{cs} I_s}$$

E_{cb} = Modulus elastisitas balok

E_{cs} = Modulus elastisitas pelat

I_b = Momen inersia penampang balok

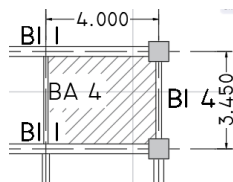
I_s = Momen inersia penampang pelat



Gambar 4.2 Denah Tipe Pelat

Seperti pada Gambar 4.2 terdapat tiga tipe pelat yang akan direncanakan dimensinya. Berikut perhitungan perencanaan dimensi pelat :

- Pelat Tipe A



Gambar 4.3 Pelat Tipe A

- Menentukan jenis pelat

$$L_x = 3450\text{mm}$$

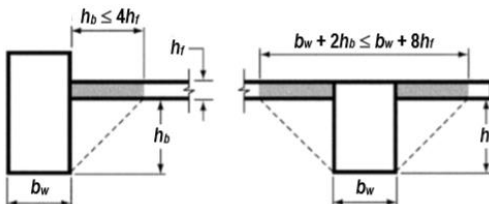
$$L_y = 4000\text{mm}$$

$$\beta = \frac{L_y}{L_x} = \frac{4000}{3450} = 1,16 < 2 \text{ (Dua Arah)}$$

- Menghitung momen inersia penampang balok, I_b

Karena terdapat tambahan penampang dari pelat, maka lebar efektif (b_e) harus diperhitungkan dalam perhitungan momen inersia. Besarnya lebar efektif mengacu pada SNI 2847:2013 pasal 13.2.4 (lihat Gambar 4.4), yaitu :

- Balok tepi, yang terkecil dari $b_{e1} = h_b$ atau $b_{e2} = 4h_f$
- Balok tengah, yang terkecil dari $b_{e1} = b_w + 2h_b$ atau $b_{e2} = b_w + 8h_f$



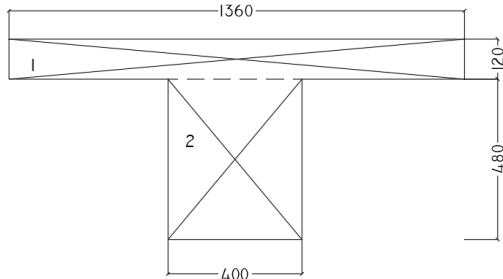
Gambar 4.4 Bagian pelat yang disertakan dengan balok

Data dimensi serta lebar efektif dari balok yang mampu pelat tipe A dapat dilihat pada Tabel 4.3. Tebal pelat, h_f , diasumsikan terlebih dahulu sebesar 120mm.

Tabel 4.3 Dimensi serta Lebar Efektif Balok

| Nama Balok | Letak Balok | b_w (mm) | h (mm) | h_f (mm) | h_b (mm) | b_{e1} (mm) | b_{e2} (mm) | b_e pakai |
|------------|-------------|------------|----------|------------|------------|---------------|---------------|-------------|
| BI 1 | Tepi | 400 | 600 | 120 | 480 | 880 | 880 | 880 |
| BI 4 | Tepi | 300 | 400 | 120 | 280 | 580 | 780 | 580 |
| BI 1 | Tengah | 400 | 600 | 120 | 480 | 1360 | 1360 | 1360 |
| BA 4 | Tengah | 200 | 250 | 120 | 130 | 460 | 1160 | 460 |

Untuk contoh perhitungan momen inersia balok, I_b akan dihitung balok BI 1 (Tengah).



Gambar 4.5 Penampang BI 1 Tengah

$$A_1 = 1360 \times 120 = 163.200 \text{ mm}^2 ; y_1 = 540 \text{ mm}$$

$$A_2 = 400 \times 480 = 192.000 \text{ mm}^2 ; y_2 = 240 \text{ mm}$$

$$y_b = \frac{A_1 \cdot y_1 + A_2 \cdot y_2}{A_1 + A_2} = 377,8 \text{ mm}$$

$$I_{b1} = \frac{1}{12} \cdot 1360 \cdot 120^3 + 1360 \cdot 120 \cdot \left(\frac{120}{2} + 480 - 377,8 \right)^2 \\ = 4.487.439.708 \text{ mm}^4$$

$$I_{b2} = \frac{1}{12} \cdot 400 \cdot 480^3 + 400 \cdot 480 \cdot \left(377,8 - \frac{480}{2} \right)^2 \\ = 7.334.259.752 \text{ mm}^4$$

$$I_b = I_{b1} + I_{b2} = 11.821.699.459 \text{ mm}^4$$

Dengan langkah perhitungan sama seperti diatas, dihitung pula momen inersia untuk BI1 (tepi), BI 4, dan BA 4 dengan hasil seperti pada Tabel 4.4.

Tabel 4. 4 Momen Inersia Balok

| Nama Balok | Letak Balok | A_1 (mm ²) | A_2 (mm ²) | y_b (mm) | I_{b1} (cm ⁴) | I_{b2} (cm ⁴) | I_b (cm ⁴) |
|------------|-------------|--------------------------|--------------------------|------------|-----------------------------|-----------------------------|--------------------------|
| BI 1 | Tepi | 87600 | 133000 | 373,3 | 439.338,7 | 709.973,3 | 1.149.312,0 |
| BI 4 | Tepi | 45600 | 36000 | 251,4 | 91.261,8 | 159.109,5 | 250.371,2 |
| BI 1 | Tengah | 133200 | 133000 | 377,8 | 448.743,9 | 733.425,9 | 1.182.169,9 |
| BA 4 | Tengah | 55200 | 26000 | 150,0 | 15.466,9 | 22.435,8 | 37.902,7 |

- Menghitung momen inersia penampang pelat, I_s
 $hf = 120 \text{ mm (asumsi)}$
 $b = 4000 \text{ mm}$
 $I_s = \frac{1}{12} b h_f^3 = 57.600 \text{ cm}^4$

- Menghitung E_{cs} dan E_{cb}
 $f'c = 40 \text{ MPa}$
 $E_{cs} = E_{cb} = 4700\sqrt{f'c} = 29.726 \text{ MPa}$

- Menghitung α_f dan α_{fm}

$$\alpha_f BI 1 = \frac{I_b BI 1}{I_s} = \frac{1.149.312,0}{57600} = 19,53$$

$$\alpha_f BI 4 = \frac{I_b BI 4}{I_s} = \frac{250.371,2}{57600} = 4,35$$

$$\alpha_f BI 1 = \frac{I_b BI 1}{I_s} = \frac{1.182.169,9}{57600} = 20,52$$

$$\alpha_f BA 4 = \frac{I_b BA 1}{I_s} = \frac{37.902,7}{57600} = 0,658$$

$$\alpha_{fm} = \frac{19,53+4,35+20,52+0,658}{4} = 11,37$$

Karena $\alpha_{fm} = 11,37 \geq 2$, maka digunakan persamaan (4-8)

- Tebal minimum, h
 $L = 4000 \text{ mm}$
 $f_y = 400 \text{ Mpa}$

$$h = \frac{l_n(0,8 + \frac{f_y}{1400})}{36 + 9\beta} = \frac{4000(0,8 + \frac{400}{1400})}{36 + 9 \times 1,16} = 93,5 \text{ mm}$$

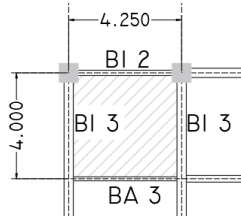
2. Pelat Tipe B

- Menentukan jenis pelat

$$L_x = 4000\text{mm}$$

$$L_y = 4250\text{mm}$$

$$\beta = \frac{L_y}{L_x} = \frac{4250}{4000} = 1,06 < 2 \text{ (Dua Arah)}$$



Gambar 4.6 Pelat Tipe B

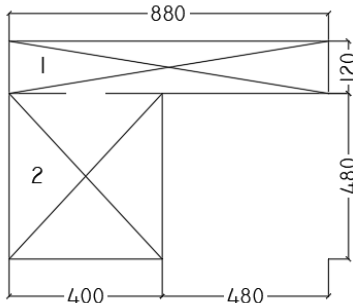
- Menghitung momen inersia penampang balok, I_b
Besarnya lebar efektif mengacu pada SNI 2847:2013 pasal 13.2.4, yaitu :
 - Balok tepi, yang terkecil dari $b_{e1} = h_b$ atau $b_{e2} = 4h_f$
 - Balok tengah, yang terkecil dari $b_{e1} = b_w + 2h_b$ atau $b_{e2} = b_w + 8h_f$

Data dimensi serta lebar efektif dari balok yang munumpu pelat tipe A dapat dilihat pada Tabel 4.5. Tebal h_f diasumsikan terlebih dahulu sebesar 120mm.

Tabel 4.5 Dimensi serta Lebar Efektif Balok

| Nama Balok | Letak Balok | b_w (mm) | h (mm) | h_f (mm) | h_b (mm) | b_{e1} (mm) | b_{e2} (mm) | b_e pakai |
|------------|-------------|------------|----------|------------|------------|---------------|---------------|-------------|
| BI 2 | Tepi | 300 | 400 | 120 | 280 | 580 | 780 | 580 |
| BI 3 | Tepi | 400 | 600 | 120 | 480 | 880 | 880 | 880 |
| BI 3 | Tengah | 400 | 600 | 120 | 480 | 1360 | 1360 | 1360 |
| BA 3 | Tengah | 200 | 250 | 120 | 130 | 460 | 1160 | 460 |

Untuk contoh perhitungan momen inersia balok, I_b akan dihitung balok BI 3 (Tepi).



Gambar 4.7 Penampang BI 3 Tepi

$$A_1 = 880 \times 120 = 153.600 \text{ mm}^2; y_1 = 540 \text{ mm}$$

$$A_2 = 400 \times 480 = 192.000 \text{ mm}^2; y_2 = 240 \text{ mm}$$

$$y_b = \frac{A_1 y_1 + A_2 y_2}{A_1 + A_2} = 373,3 \text{ mm}$$

$$I_{b1} = \frac{1}{12} \cdot 880 \cdot 120^3 + 880 \cdot 120 \cdot \left(\frac{120}{2} + 480 - 373,3 \right)^2$$

$$= 4.393.386.667 \text{ mm}^4$$

$$I_{b2} = \frac{1}{12} \cdot 400 \cdot 480^3 + 400 \cdot 480 \cdot \left(373,3 - \frac{480}{2} \right)^2$$

$$= 7.099.733.333 \text{ mm}^4$$

$$I_b = I_{b1} + I_{b2} = 11.493.120.000 \text{ mm}^4$$

Dengan langkah perhitungan sama seperti diatas, dihitung pula momen inersia untuk BI 3 (tepi), BI 2, dan BA 3 dengan hasil seperti pada Tabel 4.6.

Tabel 4. 6 Momen Inersia Balok

| Nama Balok | Letak Balok | A_1 (mm^2) | A_2 (mm^2) | y_b (mm) | I_{b1} (cm^4) | I_{b2} (cm^4) | I_b (cm^4) |
|------------|-------------|-------------------------|-------------------------|------------|----------------------------|----------------------------|-------------------------|
| BI 2 | Tepi | 105600 | 84000 | 251,4 | 91.261,8 | 159.109,5 | 250.371,2 |
| BI 3 | Tepi | 153600 | 192000 | 373,3 | 439.338,7 | 709.973,3 | 1.149.312 |
| BI 3 | Tengah | 163200 | 192000 | 377,8 | 448.743,9 | 733.425,9 | 1.182.169,9 |
| BA 3 | Tengah | 55200 | 26000 | 150,0 | 15.466,9 | 22.435,8 | 37.902,7 |

- Menghitung momen inersia penampang pelat, I_s
 $h_f = 120\text{mm}$ (asumsi)

$$b = 4000\text{mm}$$

$$I_s = \frac{1}{12} b h_f^3 = 57.600\text{cm}^4$$

- Menghitung E_{cs} dan E_{cb}

$$f'_c = 40 \text{ MPa}$$

$$E_{cs} = E_{cb} = 4700\sqrt{f'_c} = 29.726 \text{ MPa}$$

- Menghitung α_f dan α_{fm}

$$\alpha_{f BI\ 2} = \frac{I_b BI\ 2}{I_s} = \frac{250.371,2}{61200} = 4,09$$

$$\alpha_{f BI\ 3} = \frac{I_b BI\ 3}{I_s} = \frac{1.149.31}{57600} = 19,95$$

$$\alpha_{f BI\ 3} = \frac{I_b BI\ 3}{I_s} = \frac{1.182.169,9}{57600} = 20,52$$

$$\alpha_{f BA\ 3} = \frac{I_b BA\ 3}{I_s} = \frac{37.902,7}{61200} = 0,619$$

$$\alpha_{fm} = \frac{4,09 + 19,95 + 20,52 + 0,619}{4} = 11,29$$

Karena $\alpha_{fm} = 11,29 \geq 2$, maka digunakan persamaan (4-8)

- Tebal minimum, h

$$L = 4250 \text{ mm}$$

$$f_y = 400 \text{ Mpa}$$

$$h = \frac{l_n \left(0,8 + \frac{f_y}{1400} \right)}{36+9\beta} = \frac{4250 \left(0,8 + \frac{400}{1400} \right)}{36+9 \times 1,16} = 101,3 \text{ mm}$$

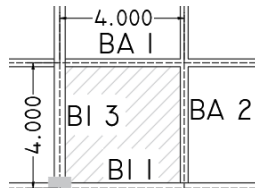
3. Pelat Tipe C

- Menentukan jenis pelat

$$L_x = 4000\text{mm}$$

$$L_y = 4000\text{mm}$$

$$\beta = \frac{L_y}{L_x} = \frac{4000}{4000} = 1 < 2 \text{ (Dua Arah)}$$



Gambar 4.8 Pelat Tipe C

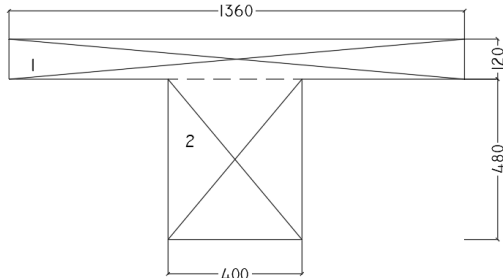
- Menghitung momen inersia penampang balok, I_b
Besarnya lebar efektif mengacu pada SNI 2847:2013 pasal 13.2.4, yaitu :
 - Balok tepi, yang terkecil dari $b_{e1} = h_b$ atau $b_{e2} = 4h_f$
 - Balok tengah, yang terkecil dari $b_{e1} = b_w + 2h_b$ atau $b_{e2} = b_w + 8h_f$

Data dimensi serta lebar efektif dari balok yang munumpu pelat tipe A dapat dilihat pada Tabel 4.7. Tebal h_f diasumsikan terlebih dahulu sebesar 120mm.

Tabel 4.7 Dimensi serta Lebar Efektif Balok

| Nama Balok | Letak Balok | b_w (mm) | h (mm) | h_f (mm) | h_b (mm) | b_{e1} (mm) | b_{e2} (mm) | b_e pakai |
|------------|-------------|------------|----------|------------|------------|---------------|---------------|-------------|
| BI 1 | Tepi | 400 | 600 | 120 | 480 | 880 | 880 | 880 |
| BI 3 | Tengah | 400 | 600 | 120 | 480 | 1360 | 1360 | 1360 |
| BA 1 | Tengah | 300 | 400 | 120 | 280 | 860 | 1260 | 860 |
| BA 2 | Tengah | 300 | 400 | 120 | 280 | 860 | 1260 | 860 |

Untuk contoh perhitungan momen inersia balok, I_b akan dihitung balok BI 3 (Tengah).



Gambar 4.9 Penampang BI 3 Tengah

$$A_1 = 1360 \times 120 = 163.200 \text{ mm}^2; y_1 = 540 \text{ mm}$$

$$A_2 = 400 \times 480 = 192.000 \text{ mm}^2; y_2 = 240 \text{ mm}$$

$$y_b = \frac{A_1 y_1 + A_2 y_2}{A_1 + A_2} = \frac{163.200 \times 540 + 192.000 \times 240}{163.200 + 192.000} = 377,8 \text{ mm}$$

$$I_{b1} = \frac{1}{12} \cdot 1360 \cdot 120^3 + 1360 \cdot 120 \cdot \left(\frac{120}{2} + 480 - 377,8 \right)^2 \\ = 4.487.439.708 \text{ mm}^4$$

$$I_{b2} = \frac{1}{12} \cdot 400 \cdot 480^3 + 400 \cdot 480 \cdot \left(377,8 - \frac{480}{2} \right)^2 \\ = 7.334.259.752 \text{ mm}^4$$

$$I_b = I_{b1} + I_{b2} = 11.821.699.459 \text{ mm}^4$$

Dengan langkah perhitungan sama seperti diatas, dihitung pula momen inersia untuk BI 1 (tepi), BI 2, dan BA 3 dengan hasil seperti pada Tabel 4.8.

Tabel 4.8 Momen Inersia Balok

| Nama Balok | Letak Balok | A_1 (mm^2) | A_2 (mm^2) | y_b (mm) | I_{b1} (cm^4) | I_{b2} (cm^4) | I_b (cm^4) |
|------------|-------------|-------------------------|-------------------------|------------|----------------------------|----------------------------|-------------------------|
| BI 2 | Tepi | 153600 | 192000 | 373,3 | 439.338,7 | 709.973,3 | 1.149.312 |
| BI 3 | Tepi | 163200 | 192000 | 377,8 | 448.743,9 | 733.425,9 | 1.182.169,9 |
| BA 1 | Tengah | 103200 | 84000 | 250,3 | 95.500,4 | 156.994,4 | 252.494,8 |
| BA 2 | Tengah | 103200 | 84000 | 250,3 | 95.500,4 | 156.994,4 | 252.494,8 |

- Menghitung momen inersia penampang pelat, I_s
- hf = 120mm (asumsi)
b = 4000mm

$$I_s = \frac{1}{12} b h_f^3 = 57.600 \text{cm}^4$$

- Menghitung E_{cs} dan E_{cb}
 $f'c = 40 \text{ MPa}$
 $E_{cs} = E_{cb} = 4700\sqrt{f'c} = 29.726 \text{ MPa}$

- Menghitung α_f dan α_{fm}

$$\alpha_{f BI 2} = \frac{I_b BI 2}{I_s} = \frac{1.149.312}{57600} = 19,95$$

$$\alpha_{f BI 3} = \frac{I_b BI 3}{I_s} = \frac{1.182.169,9}{57600} = 20,52$$

$$\alpha_{f BA 1} = \frac{I_b BA 1}{I_s} = \frac{252.494,8}{57600} = 4,38$$

$$\alpha_{f BA 2} = \frac{I_b BA 2}{I_s} = \frac{252.494,8}{57600} = 4,38$$

$$\alpha_{fm} = \frac{19,95 + 20,52 + 4,38 + 4,38}{4} = 12,31$$

Karena $\alpha_{fm} = 12,31 \geq 2$, maka digunakan persamaan (4-8)

- Tebal minimum, h

$$L = 4000 \text{ mm}$$

$$f_y = 400 \text{ Mpa}$$

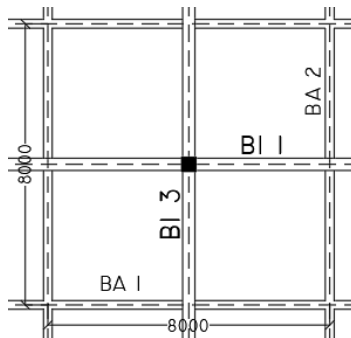
$$h = \frac{l_n(0,8 + \frac{f_y}{1400})}{36 + 9\beta} = \frac{4000(0,8 + \frac{400}{1400})}{36 + 9 \times 1,16} = 96,5 \text{ mm}$$

Dari perhitungan di atas diperoleh tebal pelat A = 93,5 mm, pelat B = 101,3 mm, dan pelat C = 96,5, mm Untuk mempermudah pelaksanaan diambil ketebalan pelat dibuat sama, dan digunakan nilai yang terbesar yaitu minimal 101,3 mm \approx 110 mm. Pada perancangan gedung ini akan direncanakan ketebalan pelat sebesar 120 mm.

4.1.4 Perencanaan Dimensi Kolom

Kolom yang direncanakan adalah kolom yang menerima beban pada luasan pelat lantai terbesar dengan ukuran 8m x 8m

(Gambar 4.10). Sesuai dengan SNI 2847:2013 pasal 8.10.1 kolom harus dirancang agar mampu memikul beban aksial terfaktor yang bekerja pada semua lantai atau atap dan momen maksimum dari beban terfaktor pada satu bentang terdekat dari lantai atau atap yang ditinjau.



Gambar 4.10 Kolom yang Ditinjau

Untuk efisiensi dan keaktifan dimensi struktur dibuat beberapa variasi kolom setiap 4 lantai.

Pembebanan yang diberikan antara lain beban mati pelat lantai, atap, serta balok, beban mati tambahan, serta beban hidup. Berikut data perencanaan dimensi kolom :

f_c : 40 MPa

Tebal pelat lantai : 12cm

Tebal pelat atap : 12cm

Tinggi lantai 1 : 2m

Tinggi lantai 2-21 : 4m

a. **Input beban :**

Beban Mati

Pelat = 2400 kg/m³

Balok = 2400 kg/m³

Beban Mati Tambahan

Spesi = 21 kg/m²

Penutup lantai (keramik) = 24 kg/m²

$$\begin{array}{ll} \text{Langit-langit} & = 11 \text{ kg/m}^2 \\ \text{Penggantung langit-langit} & = 7 \text{ kg/m}^2 \\ \text{Ducting and plumbing} & = 25 \text{ kg/m}^2 \end{array}$$

Beban Hidup

Berdasarkan SNI 1727:2013 pasal 4.8, beban hidup pada pelat lantai dan pelat atap dapat direduksi jika komponen struktur memenuhi persyaratan SNI 1727:2013 pasal 4.7.2 berikut :

$$K_{LL} \times A_T \geq 37,16 \text{ m}^2$$

dimana,

K_{LL} = Faktor elemen beban hidup, mengacu pada SNI 1727:2013 Tabel 4-2. Nilai K_{LL} diambil sebesar 4

A_T = Luas tributari

$A_T = 8 \times 8 = 64 \text{ m}^2$

$K_{LL} = 4$

$$K_{LL} \times A_T = 4 \times 64 = 256 \text{ m}^2 > 37,16 \text{ m}^2$$

- Reduksi beban hidup lantai

$$L = L_o \left(0,25 + \frac{4,57}{\sqrt{K_{LL} A_{TT}}} \right) \quad (4-9)$$

dimana,

L = beban hidup rencana tereduksi per m^2

L_o = beban hidup rencana tanpa reduksi per m^2 sebesar 1,92 Kn/m^2

$$L = 1,92 \left(0,25 + \frac{4,57}{\sqrt{256}} \right) = 1,028 \text{ Kn/m}^2 = 104,83 \text{ kg/m}^2$$

Syarat : $L \geq 0,4L_o$; $0,4L_o = 0,4 \times 1,92 = 0,768 \text{ Kn/m}^2$ (Ok)

- Reduksi beban hidup lantai atap

$$L_r = L_o R_1 R_2 \quad (4-10)$$

dimana,

L_r = beban hidup atap tereduksi per m^2

L_o = beban hidup atap tanpa reduksi per m^2 sebesar 0,96 Kn/m^2

R_1 = 0,6 untuk $A_T \geq 55,74 \text{ m}^2$

R_2 = 1 untuk kemiringan atap < 4

$$L_r = 0,96 \cdot 0,6 \cdot 1 = 0,576 \text{ Kn/m}^2$$

Syarat : $0,58 \leq L_r \leq 0,96$ (Tidak Ok)

Maka diambil $L_r = 0,96 \text{ Kn/m}^2 = 97,86 \text{ kg/m}^2$

b. **Pembebanan**

Perhitungan pembebanan tiap lantai untuk merencanakan dimensi kolom dapat dilihat pada tabel di bawah ini :

- **Kolom Lantai Atap – Lantai 18**

Berat total yang diterima satu kolom :

$$\begin{aligned} W &= 1,2D + 1,6L + 0,5L_r \\ &= 1,2(270.690) + 1,6(26.836,94) + 0,5(6.263) \\ &= 370.898,6 \text{ kg} \end{aligned}$$

Luas penampang kolom yang diperlukan dapat dihitung dengan perumusan berikut :

$$A = \frac{W}{\varphi f'_c}$$

(4-11)

dimana,

A = Luas penampang kolom

W = Beban aksial yang diterima kolom

f'_c = Kuat tekan beton karakteristik = 40 MPa = 400 kg/cm²

φ = 0,65 untuk penampang terkendali tekan (SNI 2847:2013 pasal 9.3.2.2)

Perhitungan :

$$A = \frac{W}{\varphi f'_c} = \frac{370898,6}{0,65 \cdot 400} = 1426,53 \text{ cm}^2$$

A = b.h, diasumsikan b=h

A = h²

$$h = \sqrt{A} = \sqrt{1426,53} = 37,76 \text{ cm}$$

Maka direncanakan kolom yang digunakan untuk lantai atap – lantai 18 adalah 50/50cm.

Tabel 4.9 Beban pada Kolom Lantai Atap – Lantai 18

| Beban Mati | | | | | | | |
|---------------------------------|--------|-------|-------|-------|-------|---------------|-------------------|
| Jenis Beban | W | | p (m) | l (m) | t (m) | Jumlah Lantai | Berat (kg) |
| Pelat | 2400 | kg/m3 | 64 | | 0,12 | 5 | 92.160,00 |
| Penutup lantai | 24 | kg/m2 | 64 | | | 5 | 7.680,00 |
| Spesi | 21 | kg/m2 | 64 | | | 5 | 6.720,00 |
| Langit-langit | 11 | kg/m2 | 64 | | | 5 | 3.520,00 |
| Penggantung langit-langit | 7 | kg/m2 | 64 | | | 5 | 2.240,00 |
| Ducting & Plumbing | 25 | kg/m2 | 64 | | | 5 | 8.000,00 |
| Dinding pasangan bata | 250 | kg/m2 | 65 | | | 5 | 81.250,00 |
| BI 1 | 2400 | kg/m3 | 8 | 0,4 | 0,6 | 5 | 23.040,00 |
| BI 3 | 2400 | kg/m3 | 8 | 0,4 | 0,6 | 5 | 23.040,00 |
| BA 1 | 2400 | kg/m3 | 8 | 0,3 | 0,4 | 5 | 11.520,00 |
| BA 2 | 2400 | kg/m3 | 8 | 0,3 | 0,4 | 5 | 11.520,00 |
| Total Beban Mati (D) | | | | | | | 270.690,00 |
| Beban Hidup | | | | | | | |
| Jenis Beban | W | | p (m) | l (m) | t (m) | Jumlah Lantai | Berat (kg) |
| Pelat lantai apartemen | 104,83 | kg/m2 | 64 | | | 4 | 26.836,94 |
| Pelat atap | 97,86 | kg/m2 | 64 | | | 1 | 6.263,00 |
| Total Beban Hidup (L+Lr) | | | | | | | 33.099,94 |

• Kolom Lantai 17 – Lantai 14

Tabel 4.10 Beban pada Kolom Lantai 17 – Lantai 14

| Beban Mati | | | | | | | | | | | |
|---------------------------------|--------|--|-------|-------|-------|---------------|------------------|---|-----------|--|--|
| Jenis Beban | W | | p (m) | l (m) | t (m) | Jumlah Lantai | Berat (kg) | | | | |
| Pelat | 2400 | | kg/m3 | | 64 | | 0,12 | 9 | 165.888,0 | | |
| Penutup lantai | 24 | | kg/m2 | | 64 | | | 9 | 13.824,0 | | |
| Spesi | 21 | | kg/m2 | | 64 | | | 9 | 12.096,0 | | |
| Langit-langit | 11 | | kg/m2 | | 64 | | | 9 | 6.336,0 | | |
| Pengantung langit-langit | 7 | | kg/m2 | | 64 | | | 9 | 4.032,0 | | |
| Ducting & Plumbing | 25 | | kg/m2 | | 64 | | | 9 | 14.400,0 | | |
| Dinding pasangan bata | 250 | | kg/m2 | | 65 | | | 9 | 146.250,0 | | |
| BI 1 | 2400 | | kg/m3 | | 8 | 0,4 | 0,6 | 9 | 41.472,0 | | |
| BI 3 | 2400 | | kg/m3 | | 8 | 0,4 | 0,6 | 9 | 41.472,0 | | |
| BA 1 | 2400 | | kg/m3 | | 8 | 0,3 | 0,4 | 9 | 20.736,0 | | |
| BA 2 | 2400 | | kg/m3 | | 8 | 0,3 | 0,4 | 9 | 20.736,0 | | |
| Total Beban Mati (D) | | | | | | | 487.242,0 | | | | |
| Beban Hidup | | | | | | | | | | | |
| Jenis Beban | W | | p (m) | l (m) | t (m) | Jumlah Lantai | Berat (kg) | | | | |
| Pelat lantai apartemen | 104,83 | | kg/m2 | | 64 | | | 8 | 53.673,9 | | |
| Pelat atap | 97,86 | | kg/m2 | | 64 | | | 1 | 6.263,0 | | |
| Total Beban Hidup (L+Lr) | | | | | | | 59.936,9 | | | | |

Berat total yang diterima satu kolom :

$$\begin{aligned}
 W &= 1,2D + 1,6L + 0,5Lr \\
 &= 1,2(487.242,0) + 1,6(53.673,9) + 0,5(6.263) \\
 &= 673.700,1 \text{ kg}
 \end{aligned}$$

Luas penampang kolom yang diperlukan dapat dihitung dengan perumusan berikut :

$$A = \frac{W}{\varphi f'_c} \quad (4-12)$$

dimana,

- A = Luas penampang kolom
 W = Beban aksial yang diterima kolom
 $f'c$ = Kuat tekan beton karakteristik = 40 MPa = 400 kg/cm²
 φ = 0,65 untuk penampang terkendali tekan (SNI 2847:2013 pasal 9.3.2.2)

Perhitungan :

$$A = \frac{W}{\varphi f'c} = \frac{673700,1}{0,65 \cdot 400} = 2591,15 \text{ cm}^2$$

A = b.h, diasumsikan b=h

A = h²

$$h = \sqrt{A} = \sqrt{2591,15} = 50,91 \text{ cm}$$

Maka direncanakan kolom yang digunakan untuk lantai 17 – lantai 14 adalah 60/60cm.

- Kolom Lantai 13 – Lantai 10

Berat total yang diterima satu kolom :

$$\begin{aligned} W &= 1,2D + 1,6L + 0,5Lr \\ &= 1,2(703.794,0) + 1,6(80.510,8) + 0,5(6.263) \\ &= 976.501,6 \text{ kg} \end{aligned}$$

Luas penampang kolom yang diperlukan dapat dihitung dengan perumusan berikut :

$$A = \frac{W}{\varphi f'c}$$

(4-13)

dimana,

A = Luas penampang kolom

W = Beban aksial yang diterima kolom

$f'c$ = Kuat tekan beton karakteristik = 40 MPa = 400 kg/cm²

φ = 0,65 untuk penampang terkendali tekan (SNI 2847:2013 pasal 9.3.2.2)

Perhitungan :

$$A = \frac{W}{\varphi f'c} = \frac{976501,6}{0,65 \cdot 400} = 3755,77 \text{ cm}^2$$

$$A = b \cdot h, \text{ diasumsikan } b=h$$

$$A = h^2$$

$$h = \sqrt{A} = \sqrt{3755,77} = 61,28 \text{ cm}$$

Maka direncanakan kolom yang digunakan untuk lantai 13 – lantai 10 adalah 70/70cm.

Tabel 4.11 Beban pada Kolom Lantai 13 – Lantai 10

| Beban Mati | | | | | | | | | |
|---------------------------------|------------------------|-------------------|-------|------|-------|---------------|------------------|--|--|
| Jenis Beban | W | | p (m) | l(m) | t (m) | Jumlah Lantai | Berat (kg) | | |
| Pelat | 2400 kg/m ³ | | 64 | | 0,12 | 13 | 239.616,0 | | |
| Penutup lantai | 24 kg/m ² | | 64 | | | 13 | 19.968,0 | | |
| Spesi | 21 kg/m ² | | 64 | | | 13 | 17.472,0 | | |
| Langit-langit | 11 kg/m ² | | 64 | | | 13 | 9.152,0 | | |
| Pengantung langit-langit | 7 kg/m ² | | 64 | | | 13 | 5.824,0 | | |
| Ducting & Plumbing | 25 kg/m ² | | 64 | | | 13 | 20.800,0 | | |
| Dinding pasangan bata | 250 kg/m ² | | 65 | | | 13 | 211.250,0 | | |
| BI 1 | 2400 kg/m ³ | | 8 | 0,4 | 0,6 | 13 | 59.904,0 | | |
| BI 3 | 2400 kg/m ³ | | 8 | 0,4 | 0,6 | 13 | 59.904,0 | | |
| BA 1 | 2400 kg/m ³ | | 8 | 0,3 | 0,4 | 13 | 29.952,0 | | |
| BA 2 | 2400 kg/m ³ | | 8 | 0,3 | 0,4 | 13 | 29.952,0 | | |
| Total Beban Mati (D) | | | | | | | 703.794,0 | | |
| Beban Hidup | | | | | | | | | |
| Jenis Beban | W | | p (m) | l(m) | t (m) | Jumlah Lantai | Berat (kg) | | |
| Pelat lantai apartemen | 104,83 | kg/m ² | 64 | | | 12 | 80.510,8 | | |
| Pelat atap | 97,86 | kg/m ² | 64 | | | 1 | 6.263,0 | | |
| Total Beban Hidup (L+Lr) | | | | | | | 86.773,8 | | |

• Kolom Lantai 9 – Lantai 6

Tabel 4.12 Beban pada Kolom Lantai 9 – Lantai 6

| Beban Mati | | | | | | | |
|---------------------------------|--------|-------|-------|-------|-------|---------------|------------------|
| Jenis Beban | W | | p (m) | l (m) | t (m) | Jumlah Lantai | Berat (kg) |
| Pelat | 2400 | kg/m3 | 64 | | 0,12 | 17 | 313.344,0 |
| Penutup lantai | 24 | kg/m2 | 64 | | | 17 | 26.112,0 |
| Spesi | 21 | kg/m2 | 64 | | | 17 | 22.848,0 |
| Langit-langit | 11 | kg/m2 | 64 | | | 17 | 11.968,0 |
| Penggantung langit-langit | 7 | kg/m2 | 64 | | | 17 | 7.616,0 |
| Ducting & Plumbing | 25 | kg/m2 | 64 | | | 17 | 27.200,0 |
| Dinding pasangan bata | 250 | kg/m2 | 65 | | | 17 | 276.250,0 |
| BI 1 | 2400 | kg/m3 | 8 | 0,4 | 0,6 | 17 | 78.336,0 |
| BI 3 | 2400 | kg/m3 | 8 | 0,4 | 0,6 | 17 | 78.336,0 |
| BA 1 | 2400 | kg/m3 | 8 | 0,3 | 0,4 | 17 | 39.168,0 |
| BA 2 | 2400 | kg/m3 | 8 | 0,3 | 0,4 | 17 | 39.168,0 |
| Total Beban Mati (D) | | | | | | | 920.346,0 |
| Beban Hidup | | | | | | | |
| Jenis Beban | W | | p (m) | l (m) | t (m) | Jumlah Lantai | Berat (kg) |
| Pelat lantai apartemen | 104,83 | kg/m2 | 64 | | | 16 | 107.347,8 |
| Pelat atap | 97,86 | kg/m2 | 64 | | | 1 | 6.263,0 |
| Total Beban Hidup (L+Lr) | | | | | | | 113.610,8 |

Berat total yang diterima satu kolom :

$$\begin{aligned}
 W &= 1,2D + 1,6L + 0,5Lr \\
 &= 1,2(920.346,0) + 1,6(107.347,8) + 0,5(6.263) \\
 &= 1.279.303,1 \text{ kg}
 \end{aligned}$$

Luas penampang kolom yang diperlukan dapat dihitung dengan perumusan berikut :

$$A = \frac{W}{\varphi f'c} \quad (4-14)$$

dimana,

- A = Luas penampang kolom
 W = Beban aksial yang diterima kolom
 $f'c$ = Kuat tekan beton karakteristik = 40 MPa = 400 kg/cm²
 φ = 0,65 untuk penampang terkendali tekan (SNI 2847:2013 pasal 9.3.2.2)

Perhitungan :

$$A = \frac{W}{\varphi f'c} = \frac{1.279.303,1}{0,65.400} = 4920,39 \text{ cm}^2$$

A = b.h, diasumsikan b=h

A = h²

$$h = \sqrt{A} = \sqrt{4920,39} = 70,15 \text{ cm}$$

Maka direncanakan kolom yang digunakan untuk lantai 9–lantai 6 adalah 80/80cm.

- Kolom Lantai 5 – Lantai 1

Berat total yang diterima satu kolom :

$$\begin{aligned} W &= 1,2D + 1,6L + 0,5Lr \\ &= 1,2(1.191.036,0) + 1,6(140.893,9) + 0,5(6.263) \\ &= 1.657.805,0 \text{ kg} \end{aligned}$$

Luas penampang kolom yang diperlukan dapat dihitung dengan perumusan berikut :

$$A = \frac{W}{\varphi f'c} \quad (4-15)$$

dimana,

A = Luas penampang kolom

W = Beban aksial yang diterima kolom

$f'c$ = Kuat tekan beton karakteristik = 40 MPa = 400 kg/cm²

φ = 0,65 untuk penampang terkendali tekan (SNI 2847:2013 pasal 9.3.2.2)

Perhitungan :

$$A = \frac{W}{\varphi f'c} = \frac{1657805,0}{0,65.400} = 6376,17 \text{ cm}^2$$

A = b.h, diasumsikan b=h

A = h²

$$h = \sqrt{A} = \sqrt{6376,17} = 79,85 \text{ cm}$$

Maka direncanakan kolom yang digunakan untuk lantai 4 – lantai 1 adalah 90/90cm.

Tabel 4.13 Beban pada Lantai 5 – Lantai 1

| Beban Mati | | | | | | | | | | | |
|---------------------------------|--------|--|-------------------|-------|-------|---------------|--------------------|--|--|--|--|
| Jenis Beban | W | | p (m) | l (m) | t (m) | Jumlah Lantai | Berat (kg) | | | | |
| Pelat | 2400 | | kg/m ³ | | 64 | | 0,12 | | | | |
| Penutup lantai | 24 | | kg/m ² | | 64 | | 22 | | | | |
| Spesi | 21 | | kg/m ² | | 64 | | 22 | | | | |
| Langit-langit | 11 | | kg/m ² | | 64 | | 22 | | | | |
| Penggantung langit-langit | 7 | | kg/m ² | | 64 | | 22 | | | | |
| Ducting & Plumbing | 25 | | kg/m ² | | 64 | | 22 | | | | |
| Dinding pasangan bata | 250 | | kg/m ² | | 65 | | 22 | | | | |
| BI 1 | 2400 | | kg/m ³ | | 8 | 0,4 | 0,6 | | | | |
| BI 3 | 2400 | | kg/m ³ | | 8 | 0,4 | 0,6 | | | | |
| BA 1 | 2400 | | kg/m ³ | | 8 | 0,3 | 0,4 | | | | |
| BA 2 | 2400 | | kg/m ³ | | 8 | 0,3 | 0,4 | | | | |
| Total Beban Mati (D) | | | | | | | 1.191.036,0 | | | | |
| Beban Hidup | | | | | | | | | | | |
| Jenis Beban | W | | p (m) | l (m) | t (m) | Jumlah Lantai | Berat (kg) | | | | |
| Pelat lantai apartemen | 104,83 | | kg/m ² | | 64 | | 21 | | | | |
| Pelat atap | 97,86 | | kg/m ² | | 64 | | 1 | | | | |
| Total Beban Hidup (L+Lr) | | | | | | | 147.156,9 | | | | |

c. Rekapitulasi Perencanaan Dimensi Kolom

Rekapitulasi perhitungan dimensi awal kolom pada tugas akhir ini dapat dilihat pada Tabel 4.14.

Tabel 4.14 Rekapitulasi Dimensi Kolom

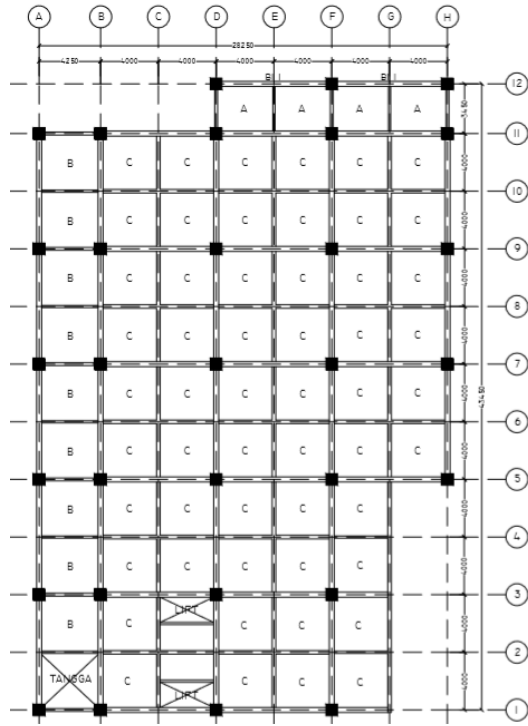
| Lantai | Nama Kolom | n kolom | b (cm) | b pakai (cm) | h pakai (cm) |
|---------|------------|---------|--------|--------------|--------------|
| Atap-18 | K5 | 4 | 37,77 | 50 | 50 |
| 17-14 | K4 | 4 | 50,90 | 60 | 60 |
| 13-10 | K3 | 4 | 61,28 | 70 | 70 |
| 9-6 | K2 | 4 | 70,15 | 80 | 80 |
| 5-2 | K1 | 4 | 79,85 | 90 | 90 |
| 1 | Pedestal | 1 | 79,85 | 90 | 90 |

4.2 Perencanaan Struktur Sekunder

Pada subbab ini akan dibahas mengenai perancangan struktur sekunder. Bagian dari struktur sekunder yang akan direncanakan antara lain meliputi pelat lantai, pelat atap, tangga, balok lift dan balok anak.

4.2.1 Perencanaan Pelat Lantai dan Pelat Atap

Terdapat dua jenis pelat yang akan direncanakan yaitu pelat lantai dan pelat atap, yang terbagi lagi menjadi tiga tipe berdasarkan ukurannya (Gambar 4.11). Pada tugas akhir ini akan diberikan contoh perhitungan penulangan pelat lantai yang memiliki luasan terbesar yang mewakili pelat lainnya.



Gambar 4. 11 Denah Pelat

4.2.1.1 Pelat Tipe B

i. Data Perencanaan

$$L_x = 4000\text{mm}$$

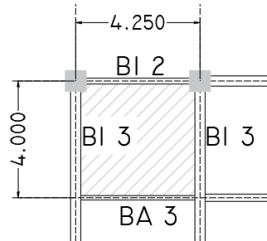
$$L_y = 4250\text{mm}$$

$$\beta = L_y/L_x = 4250/4000 = 1,06 < 2 \text{ (Pelat dua arah)}$$

$$h \text{ pelat} = 120 \text{ mm}$$

$$f'_c = 40\text{MPa}$$

$$f_y = 400\text{MPa}$$



Gambar 4. 12 Pelat Tipe B

ii. PembebananBeban Mati (q_D) :

| | | |
|-----------------------------|--|-------------------------|
| Berat sendiri | $= 2400 \text{ kg/m}^3 \cdot 0,12\text{m}$ | $= 288 \text{ kg/m}^2$ |
| Penutup lantai | | $= 24 \text{ kg/m}^2$ |
| Spesi | | $= 21 \text{ kg/m}^2$ |
| Langit-langit | | $= 11 \text{ kg/m}^2$ |
| Penggantung langit-langit | | $= 7 \text{ kg/m}^2$ |
| <i>Ducting and plumbing</i> | | $= 25 \text{ kg/m}^2 +$ |
| Total q_D | | $= 376 \text{ kg/m}^2$ |

Beban Hidup (q_L) :

$$\text{Lantai apartemen} = 195,72 \text{ kg/m}^2$$

Kombinasi Beban :

$$\begin{aligned} q_U &= 1,2q_D + 1,6 q_L \\ &= 1,2(376) + 1,6(195,72) \\ &= 764,35 \text{ kg/m}^2 \end{aligned}$$

iii. Momen yang Terjadi pada Pelat Lantai

Pelat lantai B merupakan pelat yang terjepit penuh pada keempat sisinya, berdasarkan PBI 1971 Tabel 13.3.1 dapat digunakan perumusan momen sebagai berikut :

$$M_{tx} = -0,001 \cdot q_U \cdot L_x^2 \cdot x$$

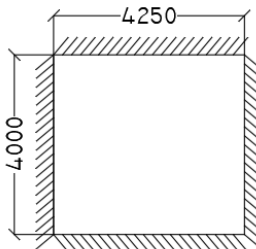
$$M_{lx} = 0,001 \cdot q_U \cdot L_x^2 \cdot x$$

$$M_{ty} = -0,001 \cdot q_U \cdot L_x^2 \cdot x$$

$$M_{ly} = 0,001 \cdot q_U \cdot L_x^2 \cdot x$$

dimana,

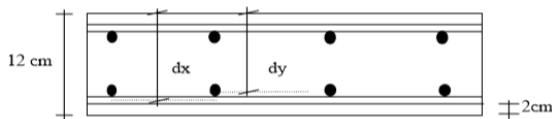
| | |
|-----|---|
| Mtx | = Momen tumpuan arah x |
| Mlx | = Momen lapangan arah x |
| Mty | = Momen tumpuan arah y |
| Mly | = Momen lapangan arah y |
| X | = Nilai konstanta dari perbandingan L_y/L_x |



Gambar 4. 13 Pelat Terjepit Penuh

$$\begin{aligned}
 M_{tx} &= -0,001 \cdot q_u \cdot L_x^2 \cdot x, \text{ dengan } x = 56,38 \text{ (hasil interpolasi)} \\
 &= -0,001 \cdot 1764,354^2 \cdot 56,38 \\
 &= -689,44 \text{ kg m} \\
 M_{lx} &= 0,001 \cdot q_u \cdot L_x^2 \cdot x, \text{ dengan } x = 23,5 \text{ (hasil interpolasi)} \\
 &= 0,001 \cdot 1764,354^2 \cdot 23,5 \\
 &= 287,39 \text{ kg m} \\
 M_{ty} &= -0,001 \cdot q_u \cdot L_x^2 \cdot x, \text{ dengan } x = 53,25 \text{ (hasil interpolasi)} \\
 &= -0,001 \cdot 1764,354^2 \cdot 53,25 \\
 &= -651,23 \text{ kg m} \\
 M_{ly} &= 0,001 \cdot q_u \cdot L_x^2 \cdot x, \text{ dengan } x = 21 \text{ (hasil interpolasi)} \\
 &= 0,001 \cdot 1764,354^2 \cdot 21 \\
 &= 256,82 \text{ kg m}
 \end{aligned}$$

iv. Tebal Manfaat Pelat



$$D_{tul} = 13 \text{ mm} ; A_s 1 \text{ tul} = 132,74 \text{ mm}^2$$

Selimut beton = 20 mm

$$\begin{aligned} d_x &= h_{\text{pelat}} - \text{selimut} - 0,5D \\ &= 120 - 20 - 0,5 \cdot 13 \\ &= 87 \text{ mm} \\ d_y &= h_{\text{pelat}} - \text{selimut} - 1,5D \\ &= 120 - 20 - 1,5 \cdot 13 \\ &= 80,5 \text{ mm} \end{aligned}$$

v. Rasio tulangan minimum (ρ_{\min})

$$\begin{aligned} \rho_{\min} &\geq 0,25\sqrt{f'_c / f_y} \quad \text{dan, } \rho_{\min} \geq 1,4/f_y \\ &\geq 0,25\sqrt{40 / 400} \quad \geq 1,4/400 \\ &\geq 0,00395 \quad \geq 0,004 \end{aligned}$$

Maka diambil $\rho_{\min} = 0,004$

vi. Rasio tulangan maksimum (ρ_{\max})

Berdasarkan SNI 2847:2013 Lampiran B pasal 10.3.3 rasio tulangan maksimum tidak boleh melebihi $0,75\rho_b$.

$$\beta_1 = 0,85 - 0,05 \frac{fc' - 28}{7} = 0,85 - 0,05 \frac{40 - 28}{7} = 0,76$$

$$\begin{aligned} \rho_b &= \frac{0,85 \cdot f'_c \cdot \beta_1}{f_y} \left(\frac{600}{600 + f_y} \right) = \frac{0,85 \cdot 40 \cdot 0,76}{400} \left(\frac{600}{600 + 400} \right) = 0,0389 \\ \rho_{\max} &= 0,75 \rho_b = 0,75 \cdot 0,0389 = 0,029 \end{aligned}$$

vii. Tulangan Tumpuan Arah x

Rasio Tulangan Perlu :

$$M_{tx} = 689,44 \text{ kg m}$$

$$= 6.763.441,34 \text{ N mm}$$

$$d_x = 87 \text{ mm}$$

$$\phi = 0,9 \text{ (diasumsikan beton terkendali tarik)}$$

$$R_n = \frac{Mu}{\phi b d^2} = \frac{6.763.441,34}{0,9 \cdot 1000 \cdot 87^2} = 0,993 \text{ MPa}$$

$$m = f_y/(0,85 f'_c) = 400/(0,85/40) = 11,765$$

$$\rho_{\text{perlu}} = \frac{1}{m} \cdot \left(1 - \sqrt{1 - \frac{2 \cdot m \cdot R_n}{f_y}} \right)$$

$$= \frac{1}{11,765} \left(1 - \sqrt{1 - \frac{2 \cdot 11,765 \cdot 0,993}{400}} \right) = 0,0025$$

$\rho_{\min} > \rho_{\text{perlu}}$, maka $\rho = \rho_{\min} = 0,004$

Luas tulangan perlu :

$$A_s \text{ perlu} = \rho \cdot b \cdot d = 0,004 \cdot 1000 \cdot 87 = 343,89 \text{ mm}^2$$

Jumlah tulangan :

$$n = A_s \text{ perlu} / A_s \text{ 1 tul} = 343,89 / 132,74 = 2,59 \approx 3 \text{ buah}$$

$$\text{Luas tulangan aktual} = 3 \cdot 132,74 = 398,19 \text{ mm}^2$$

Jarak tulangan :

$$s = \frac{1000}{n} = \frac{1000}{3} = 333,33 \text{ mm}$$

Syarat, $s \leq 2t_p$ yaitu 240 mm dan tidak boleh melebihi 450mm (SNI 2847:2013 pasal 7.6.5). Maka digunakan **D13 – 200 mm.**

Luas Tulangan Terpasang :

$$n = \frac{1000}{s} = \frac{1000}{200} = 5 \text{ buah}$$

$$A_s = n \cdot A_{s \text{ 1 tul}} = 5 \cdot 132,74 = 663,7 \text{ mm}^2$$

Cek asumsi nilai φ

$$a = \frac{As \cdot fy}{0,85 \cdot fc' \cdot b} = \frac{663,7 \cdot 400}{0,85 \cdot 40 \cdot 1000} = 7,81$$

$$\beta_1 = 0,85 - 0,05 \frac{fc' - 28}{7} = 0,85 - 0,05 \frac{40 - 28}{7} = 0,76$$

$$\text{Tinggi area tekan beton, } c = a/\beta_1 = 7,81/0,76 = 10,22$$

$$\begin{aligned} \text{Regangan tulangan, } \epsilon_t &= 0,003 \cdot (d - c) / c \\ &= 0,003 \cdot (87 - 10,22) / 10,22 \\ &= 0,023 > 0,005 \\ &\quad (\text{Beton terkendali tarik}) \end{aligned}$$

Maka asumsi $\varphi = 0,9$ dapat digunakan.

viii. Tulangan Tumpuan Arah y

Rasio Tulangan Perlu :

$$\begin{aligned} M_{ty} &= 651,23 \text{ kg m} \\ &= 6.388,527,74 \text{ N mm} \end{aligned}$$

$$d_y = 80,5 \text{ mm}$$

$\phi = 0,9$ (diasumsikan beton terkendali tarik)

$$R_n = \frac{Mu}{\phi b d^2} = \frac{6.388.527,74}{0,9.1000.80,5^2} = 1,095 \text{ MPa}$$

$$m = f_y/(0,85f'c) = 400/(0,85/40) = 11,765$$

$$\rho_{\text{perlu}} = \frac{1}{m} \cdot \left(1 - \sqrt{1 - \frac{2 \cdot m \cdot R_n}{f_y}} \right)$$

$$= \frac{1}{11,765} \left(1 - \sqrt{1 - \frac{2 \cdot 11,765 \cdot 1,095}{400}} \right) = 0,0028$$

$$\rho_{\min} > \rho_{\text{perlu}}, \text{ maka } \rho = \rho_{\min} = 0,004$$

Luas tulangan perlu :

$$A_{s \text{ perlu}} = \rho \cdot b \cdot d = 0,004 \cdot 1000 \cdot 80,5 = 318,204 \text{ mm}^2$$

Jumlah tulangan :

$$n = A_{s \text{ perlu}} / A_{s \text{ 1 tul}} = 318,204 / 132,74 = 2,397 \approx 3 \text{ buah}$$

$$\text{Luas tulangan aktual} = 3 \cdot 132,74 = 398,19 \text{ mm}^2$$

Jarak tulangan :

$$s = \frac{1000}{n} = \frac{1000}{3} = 333,33 \text{ mm}$$

Syarat, $s \leq 2t_p$ yaitu 240 mm dan tidak boleh melebihi 450mm (SNI 2847:2013 pasal 7.6.5). Maka digunakan **D13 – 200 mm.**

Luas Tulangan Terpasang :

$$n = \frac{1000}{s} = \frac{1000}{200} = 5 \text{ buah}$$

$$A_s = n \cdot A_{s \text{ 1 tul}} = 5 \cdot 132,74 = 663,7 \text{ mm}^2$$

Cek asumsi nilai ϕ

$$a = \frac{As \cdot f_y}{0,85 \cdot f'c \cdot b} = \frac{663,7 \cdot 400}{0,85 \cdot 40 \cdot 1000} = 7,81$$

$$\beta_1 = 0,85 - 0,05 \frac{f'c' - 28}{7} = 0,85 - 0,05 \frac{40 - 28}{7} = 0,76$$

$$\text{Tinggi area tekan beton, } c = a / \beta_1 = 7,81 / 0,76 = 10,22$$

$$\begin{aligned} \text{Regangan tulangan, } \varepsilon_t &= 0,003 \cdot (d - c) / c \\ &= 0,003 \cdot (87 - 10,22) / 10,22 \end{aligned}$$

$$= 0,023 > 0,005$$

(Beton terkendali tarik)

Maka asumsi $\varphi = 0,9$ dapat digunakan.

ix. Tulangan Lapangan Arah x

Rasio Tulangan Perlu :

$$M_{lx} = 287,39 \text{ kg m}$$

$$= 2.819.350,27 \text{ N mm}$$

$$d_x = 87 \text{ mm}$$

$$\varphi = 0,9 \text{ (diasumsikan beton terkendali tarik)}$$

$$R_n = \frac{Mu}{\varphi bd^2} = \frac{2.819.350,27}{0,9.1000.87^2} = 0,414 \text{ MPa}$$

$$m = f_y/(0,85f'_c) = 400/(0,85/40) = 11,765$$

$$\rho_{\text{perlu}} = \frac{1}{m} \cdot \left(1 - \sqrt{1 - \frac{2 \cdot m \cdot R_n}{f_y}} \right)$$

$$= \frac{1}{11,765} \left(1 - \sqrt{1 - \frac{2 \cdot 11,765 \cdot 0,414}{400}} \right) = 0,001$$

$$\rho_{\min} > \rho_{\text{perlu}}, \text{ maka } \rho = \rho_{\min} = 0,004$$

Luas tulangan perlu :

$$A_s \text{ perlu} = \rho \cdot b \cdot d = 0,004 \cdot 1000 \cdot 87 = 343,898 \text{ mm}^2$$

Jumlah tulangan :

$$n = A_s \text{ perlu} / A_s \text{ 1 tul} = 343,898 / 132,74 = 2,591 \approx 3 \text{ buah}$$

$$\text{Luas tulangan aktual} = 3 \cdot 132,74 = 398,19 \text{ mm}^2$$

Jarak tulangan :

$$s = \frac{1000}{n} = \frac{1000}{3} = 333,33 \text{ mm}$$

Syarat, $s \leq 2t_p$ yaitu 240 mm dan tidak boleh melebihi 450mm (SNI 2847:2013 pasal 7.6.5). Maka digunakan **D13 – 200 mm**.

Luas Tulangan Terpasang :

$$n = \frac{1000}{s} = \frac{1000}{200} = 5 \text{ buah}$$

$$A_s = n \cdot A_{s \text{ tul}} = 5.132,74 = 663,7 \text{ mm}^2$$

Cek asumsi nilai ϕ

$$a = \frac{As \cdot fy}{0,85 \cdot fc' \cdot b} = \frac{663,7 \cdot 400}{0,85 \cdot 40 \cdot 1000} = 7,81$$

$$\beta_1 = 0,85 - 0,05 \frac{fc' - 28}{7} = 0,85 - 0,05 \frac{40 - 28}{7} = 0,76$$

Tinggi area tekan beton, $c = a/\beta_1 = 7,81/0,76 = 10,22$

Regangan tulangan, $\epsilon_t = 0,003 \cdot (d-c)/c$

$$= 0,003 \cdot (87-10,22)/10,22$$

$$= 0,023 > 0,005$$

(Beton terkendali tarik)

Maka asumsi $\phi = 0,9$ dapat digunakan.

x. Tulangan Lapangan Arah y

Rasio Tulangan Perlu :

$$M_{ly} = 256,82 \text{ kg m}$$

$$= 2.519.419,39 \text{ N mm}$$

$$d_y = 80,5 \text{ mm}$$

$\phi = 0,9$ (diasumsikan beton terkendali tarik)

$$R_n = \frac{Mu}{\phi bd^2} = \frac{2.519.419,39}{0,9 \cdot 1000 \cdot 80,5^2} = 0,432 \text{ MPa}$$

$$m = f_y/(0,85f'c) = 400/(0,85/40) = 11,765$$

$$\rho_{\text{perlu}} = \frac{1}{m} \cdot \left(1 - \sqrt{1 - \frac{2 \cdot m \cdot R_n}{f_y}} \right)$$

$$= \frac{1}{11,765} \left(1 - \sqrt{1 - \frac{2 \cdot 11,765 \cdot 0,432}{400}} \right) = 0,0011$$

$\rho_{\min} > \rho_{\text{perlu}}$, maka $\rho = \rho_{\min} = 0,004$

Luas tulangan perlu :

$$A_{s \text{ perlu}} = \rho \cdot b \cdot d = 0,004 \cdot 1000 \cdot 80,5 = 318,204 \text{ mm}^2$$

Jumlah tulangan :

$$n = A_{s \text{ perlu}} / A_{s \text{ tul}} = 318,204 / 132,74 = 2,397 \approx 3 \text{ buah}$$

$$\text{Luas tulangan aktual} = 3 \cdot 132,74 = 398,19 \text{ mm}^2$$

Jarak tulangan :

$$s = \frac{1000}{n} = \frac{1000}{3} = 333,33 \text{ mm}$$

Syarat, $s \leq 2t_p$ yaitu 240 mm dan tidak boleh melebihi 450mm (SNI 2847:2013 pasal 7.6.5). Maka digunakan **D13 – 200 mm.**

Luas Tulangan Terpasang :

$$n = \frac{1000}{s} = \frac{1000}{200} = 5 \text{ buah}$$

$$A_s = n \cdot A_{s \text{ 1 tul}} = 5 \cdot 132,74 = 663,7 \text{ mm}^2$$

Cek asumsi nilai φ

$$a = \frac{As \cdot fy}{0,85 \cdot fc' \cdot b} = \frac{663,7 \cdot 400}{0,85 \cdot 40 \cdot 1000} = 7,81$$

$$\beta_1 = 0,85 - 0,05 \frac{fc' - 28}{7} = 0,85 - 0,05 \frac{40 - 28}{7} = 0,76$$

Tinggi area tekan beton, $c = a/\beta_1 = 7,81/0,76 = 10,22$

Regangan tulangan, $\epsilon_t = 0,003 \cdot (d-c)/c$

$$= 0,003 \cdot (87-10,22)/10,22$$

$$= 0,023 > 0,005$$

(Beton terkendali tarik)

Maka asumsi $\varphi = 0,9$ dapat digunakan.

- xi. Tulangan Pembagi (Tulangan Suhu dan Tulangan Susut)

Luas tulangan perlu

$$A_{s \text{ perlu}} = 0,002 \cdot b \cdot t_p \quad (\text{SNI 2847:2013 pasal 7.12.2.1})$$

$$= 0,002 \cdot 1000 \cdot 120$$

$$= 240 \text{ mm}^2$$

Jumlah tulangan

$$n = A_{s \text{ perlu}} / A_{s \text{ 1 tul}} = 240 / 132,74 = 1,81 \approx 2 \text{ buah}$$

$$\text{Luas tulangan aktual} = 2 \cdot 132,74 = 265,46 \text{ mm}^2$$

Jarak tulangan

$$s = \frac{1000}{n} = \frac{1000}{2} = 500 \text{ mm}$$

Syarat, $s \leq 5t_p$ yaitu 600mm dan tidak boleh melebihi 450mm (SNI 2847:2013 pasal 7.6.5). Maka digunakan **D13 – 300 mm.**

4.2.1.2 Pelat Tipe C

i. Data Perencanaan

$$L_x = 4000\text{mm}$$

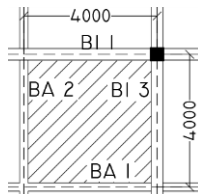
$$L_y = 4000\text{mm}$$

$$\beta = L_y/L_x = 4000/4000 = 1 < 2 \text{ (Pelat dua arah)}$$

$$h_{\text{pelat}} = 120 \text{ mm}$$

$$f_c = 40\text{MPa}$$

$$f_y = 400\text{MPa}$$



Gambar 4. 14 Pelat Tipe C

ii. Pembebatan

Beban Mati (q_D) :

$$\text{Berat sendiri} = 2400 \text{ kg/m}^3 \cdot 0,12\text{m} = 288 \text{ kg/m}^2$$

$$\text{Penutup lantai} = 24 \text{ kg/m}^2$$

$$\text{Spesi} = 21 \text{ kg/m}^2$$

$$\text{Langit-langit} = 11 \text{ kg/m}^2$$

$$\text{Penggantung langit-langit} = 7 \text{ kg/m}^2$$

$$\underline{\text{Ducting and plumbing}} = 25 \text{ kg/m}^2 +$$

$$\underline{\text{Total } q_D} = 376 \text{ kg/m}^2$$

Beban Hidup (q_L) :

$$\text{Lantai apartemen} = 195,72 \text{ kg/m}^2$$

Kombinasi Beban :

$$q_U = 1,2q_D + 1,6 q_L$$

$$= 1,2(376) + 1,6(195,72)$$

$$= 764,35 \text{ kg/m}^2$$

iii. Momen yang Terjadi pada Pelat Lantai

Pelat lantai C merupakan pelat yang terjepit penuh pada ketiga sisinya, berdasarkan PBI 1971 Tabel 13.3.1 dapat digunakan perumusan momen sebagai berikut :

$$M_{tx} = -0,001.q_u.L_x^2.x$$

$$M_{lx} = 0,001.q_u.L_x^2.x$$

$$M_{ty} = -0,001.q_u.L_x^2.x$$

$$M_{ly} = 0,001.q_u.L_x^2.x$$

dimana,

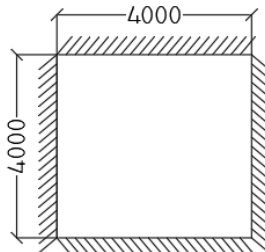
$$M_{tx} = \text{Momen tumpuan arah x}$$

$$M_{lx} = \text{Momen lapangan arah x}$$

$$M_{ty} = \text{Momen tumpuan arah y}$$

$$M_{ly} = \text{Momen lapangan arah y}$$

$$X = \text{Nilai konstanta dari perbandingan } L_y/L_x$$



Gambar 4. 15 Pelat Terjepit Penuh

$$M_{tx} = -0,001.q_u.L_x^2.x, \text{ dengan } x = 52$$

$$= -0,001.764,35.4^2.52$$

$$= - 635,93 \text{ kg m}$$

$$M_{lx} = 0,001.q_u.L_x^2.x, \text{ dengan } x = 21$$

$$= 0,001.764,35.4^2.21$$

$$= 256,82 \text{ kg m}$$

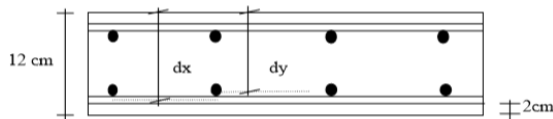
$$M_{ty} = -0,001.q_u.L_x^2.x, \text{ dengan } x = 52$$

$$= -0,001.764,35.4^2.52$$

$$= - 635,93 \text{ kg m}$$

$$\begin{aligned}
 M_{ly} &= 0,001 \cdot q_u \cdot L_x^2 \cdot x, \text{ dengan } x = 21 \\
 &= 0,001 \cdot 764,35 \cdot 4^2 \cdot 21 \\
 &= 256,82 \text{ kg m}
 \end{aligned}$$

iv. Tebal Manfaat Pelat



$$D_{tul} = 13 \text{ mm} ; A_{s1 tul} = 132,74 \text{ mm}^2$$

Selimut beton = 20 mm

$$\begin{aligned}
 d_x &= h_{pelat} - selimut - 0,5D \\
 &= 120 - 20 - 0,5 \cdot 13 \\
 &= 87 \text{ mm}
 \end{aligned}$$

$$\begin{aligned}
 d_y &= h_{pelat} - selimut - 1,5D \\
 &= 120 - 20 - 1,5 \cdot 13 \\
 &= 80,5 \text{ mm}
 \end{aligned}$$

v. Rasio tulangan minimum (ρ_{min})

$$\begin{aligned}
 \rho_{min} &\geq 0,25\sqrt{f'c} / f_y \quad \text{dan, } \rho_{min} \geq 1,4/f_y \\
 &\geq 0,25\sqrt{40} / 400 \quad \geq 1,4/400 \\
 &\geq 0,00395 \quad \geq 0,004
 \end{aligned}$$

Maka diambil $\rho_{min} = 0,004$

vi. Rasio tulangan maksimum (ρ_{maks})

Berdasarkan SNI 2847:2013 Lampiran B pasal 10.3.3 rasio tulangan maksimum tidak boleh melebihi $0,75\rho_b$.

$$\beta_1 = 0,85 - 0,05 \frac{fc' - 28}{7} = 0,85 - 0,05 \frac{40 - 28}{7} = 0,76$$

$$\begin{aligned}
 \rho_b &= \frac{0,85 \cdot fc' \cdot \beta_1}{f_y} \left(\frac{600}{600 + f_y} \right) = \frac{0,85 \cdot 40 \cdot 0,76}{400} \left(\frac{600}{600 + 400} \right) = 0,0389 \\
 \rho_{maks} &= 0,75 \rho_b = 0,75 \cdot 0,0389 = 0,029
 \end{aligned}$$

vii. Tulangan Tumpuan Arah x dan Tumpuan Arah y

Rasio Tulangan Perlu :

$$M_{tx} = M_{ty}$$

$$\begin{aligned}
 &= 635,93 \text{ kg m} \\
 &= 6.238.562,3 \text{ N mm} \\
 d_x &= 87 \text{ mm} \\
 \varphi &= 0,9 \text{ (diasumsikan beton terkendali tarik)} \\
 R_n &= \frac{Mu}{\varphi bd^2} = \frac{6.238.562,3}{0,9.1000.87^2} = 0,916 MPa \\
 m &= f_y/(0,85f'c) = 400/(0,85/40) = 11,765 \\
 \rho_{\text{perlu}} &= \frac{1}{m} \cdot \left(1 - \sqrt{1 - \frac{2.m.R_n}{f_y}} \right) \\
 &= \frac{1}{11,765} \left(1 - \sqrt{1 - \frac{2.11,765.0,916}{400}} \right) = 0,0023 \\
 \rho_{\min} > \rho_{\text{perlu}}, \text{ maka } \rho &= \rho_{\min} = 0,004
 \end{aligned}$$

Luas tulangan perlu :

$$A_s \text{ perlu} = \rho \cdot b \cdot d = 0,004 \cdot 1000 \cdot 87 = 343,89 \text{ mm}^2$$

Jumlah tulangan :

$$n = A_s \text{ perlu} / A_s \text{ 1 tul} = 343,89 / 132,74 = 2,591 \approx 3 \text{ buah}$$

$$\text{Luas tulangan aktual} = 3.132,74 = 398,19 \text{ mm}^2$$

Jarak tulangan :

$$s = \frac{1000}{n} = \frac{1000}{2} = 500 \text{ mm}$$

Syarat, $s \leq 2t_p$ yaitu 240 mm dan tidak boleh melebihi 450mm (SNI 2847:2013 pasal 7.6.5). Maka digunakan **D13 – 200 mm.**

Luas Tulangan Terpasang :

$$n = \frac{1000}{s} = \frac{1000}{200} = 5 \text{ buah}$$

$$A_s = n \cdot A_s \text{ 1 tul} = 5.132,74 = 663,7 \text{ mm}^2$$

Cek asumsi nilai φ

$$a = \frac{As \cdot f_y}{0,85 \cdot f'c \cdot b} = \frac{663,7 \cdot 400}{0,85 \cdot 40 \cdot 1000} = 7,81$$

$$\beta_1 = 0,85 - 0,05 \frac{f'c' - 28}{7} = 0,85 - 0,05 \frac{40 - 28}{7} = 0,76$$

Tinggi area tekan beton, $c = a/\beta_1 = 7,81/0,76 = 10,22$

Regangan tulangan, $\epsilon_t = 0,003.(d-c)/c$

$$= 0,003.(87-10,22)/10,22$$

$$= 0,023 > 0,005$$

(Beton terkendali tarik)

Maka asumsi $\phi = 0,9$ dapat digunakan.

viii. Tulangan Lapangan Arah x dan Lapangan Arah y

Rasio Tulangan Perlu :

$$M_{lx} = 256,822 \text{ kg m}$$

$$= 2.519.419,392 \text{ N mm}$$

$$d_x = 87 \text{ mm}$$

$\phi = 0,9$ (diasumsikan beton terkendali tarik)

$$R_n = \frac{Mu}{\phi bd^2} = \frac{2.519.419,392}{0,9.1000.87^2} = 0,432 \text{ MPa}$$

$$m = f_y/(0,85f'_c) = 400/(0,85/40) = 11,765$$

$$\rho_{\text{perlu}} = \frac{1}{m} \cdot \left(1 - \sqrt{1 - \frac{2 \cdot m \cdot R_n}{f_y}} \right)$$

$$= \frac{1}{11,765} \left(1 - \sqrt{1 - \frac{2 \cdot 11,765 \cdot 0,432}{400}} \right) = 0,0011$$

$\rho_{\min} > \rho_{\text{perlu}}$, maka $\rho = \rho_{\min} = 0,004$

Luas tulangan perlu :

$$A_s \text{ perlu} = \rho \cdot b \cdot d = 0,004 \cdot 1000 \cdot 87 = 318,204 \text{ mm}^2$$

Jumlah tulangan :

$$n = A_s \text{ perlu} / A_s \text{ 1 tul} = 318,204 / 132,74 = 2,397 \approx 3 \text{ buah}$$

$$\text{Luas tulangan aktual} = 3 \cdot 132,74 = 398,19 \text{ mm}^2$$

Jarak tulangan :

$$s = \frac{1000}{n} = \frac{1000}{2} = 500 \text{ mm}$$

Syarat, $s \leq 2t_p$ yaitu 240 mm dan tidak boleh melebihi 450mm (SNI 2847:2013 pasal 7.6.5). Maka digunakan **D13 – 200 mm.**

Luas Tulangan Terpasang :

$$n = \frac{1000}{s} = \frac{1000}{200} = 5 \text{ buah}$$

$$A_s = n \cdot A_{s \text{ tul}} = 5 \cdot 132,74 = 663,7 \text{ mm}^2$$

Cek asumsi nilai φ

$$a = \frac{As \cdot fy}{0,85 \cdot fc' \cdot b} = \frac{663,7 \cdot 400}{0,85 \cdot 40 \cdot 1000} = 7,81$$

$$\beta_1 = 0,85 - 0,05 \frac{fc' - 28}{7} = 0,85 - 0,05 \frac{40 - 28}{7} = 0,76$$

$$\text{Tinggi area tekan beton, } c = a/\beta_1 = 7,81/0,76 = 10,22$$

$$\text{Regangan tulangan, } \epsilon_t = 0,003 \cdot (d - c)/c$$

$$= 0,003 \cdot (87 - 10,22)/10,22$$

$$= 0,023 > 0,005$$

(Beton terkendali tarik)

Maka asumsi $\varphi = 0,9$ dapat digunakan.

- ix. Tulangan Pembagi (Tulangan Suhu dan Tulangan Susut)

Luas tulangan perlu

$$\begin{aligned} A_{s \text{ perlu}} &= 0,002 \cdot b \cdot t_p (\text{SNI 2847:2013 pasal 7.12.2.1}) \\ &= 0,002 \cdot 1000 \cdot 120 \\ &= 240 \text{ mm}^2 \end{aligned}$$

Jumlah tulangan

$$n = A_{s \text{ perlu}} / A_{s \text{ tul}} = 240 / 132,74 = 1,81 \approx 2 \text{ buah}$$

$$\text{Luas tulangan aktual} = 2 \cdot 132,74 = 265,46 \text{ mm}^2$$

Jarak tulangan

$$s = \frac{1000}{n} = \frac{1000}{2} = 500 \text{ mm}$$

Syarat, $s \leq 5t_p$ yaitu 600mm dan tidak boleh melebihi 450mm (SNI 2847:2013 pasal 7.6.5). Maka digunakan **D13 – 300 mm**.

4.2.1.3 Rekapitulasi Penulangan Pelat Lantai dan Pelat Atap

Dari hasil perhitungan, diperoleh rencana penulangan pelat lantai dan pelat atap seperti pada Tabel 4.15.

Tabel 4. 15 Rekapitulasi Penulangan Pelat Lantai dan Pelat Atap

| Nama Pelat | Tumpuan | | Lapangan | | Tulangan Pembagi |
|------------|---------|---------|----------|---------|------------------|
| | Arah x | Arah y | Arah x | Arah y | |
| A | D13-200 | D13-200 | D13-200 | D13-200 | D13-300 |
| B | D13-200 | D13-200 | D13-200 | D13-200 | D13-300 |
| C | D13-200 | D13-200 | D13-200 | D13-200 | D13-300 |

4.2.2 Perencanaan Tangga

Pada perencanaan ini, tangga dimodelkan sebagai *free standing* dengan kondisi ujung perletakan berupa jepit-jepit dengan data teknis seperti berikut :

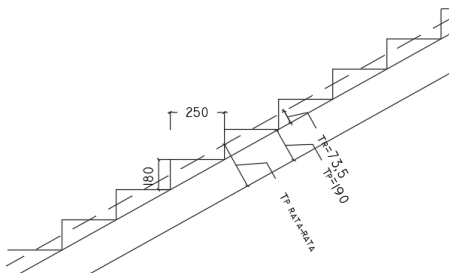
| | |
|-----------------------------------|---|
| Tinggi lantai | = 400cm |
| Panjang bentang tangga, L | = 425 cm |
| Panjang bersih bentang tangga, Ln | = $425 - 40 = 385$ cm |
| Elevasi bordes | = $\frac{\text{Tinggi lantai}}{2} = \frac{400}{2} = 200$ cm |
| Tinggi tanjakan, t | = 18 cm |
| Jumlah tanjakan n _t | = $\frac{\text{Elevasi bordes}}{t} = \frac{200}{18} = 11$ buah |
| Lebar injakan, i | = 25 cm |
| Jumlah injakan, n _i | = n _t - 1 = 11 - 1 = 10 buah |
| Panjang horizontal tangga | = i.n _i = 25.10 = 250 cm |
| Panjang diagonal tangga | = $\sqrt{200^2 + 250^2} = 320,16$ cm |
| Kemiringan tangga, α | = $\text{arc tan} \frac{\text{Elevasi bordes}}{n_t \times i}$ = $\text{arc tan} \frac{200}{11.25} = 36,02^\circ$ |
| Panjang bordes | = L - Panjang horizontal tangga = 425 - 250 = 175 cm |
| Lebar bordes | = 400 cm |
| Lebar tangga | = 190 cm |

$$\begin{aligned}\text{Tebal pelat tangga, } t_p &= \frac{l}{20} \left(0,4 + \frac{f_y}{700} \right) \\ &= \frac{320,16}{20} \left(0,4 + \frac{400}{700} \right) \\ &= 18,6 \approx 19 \text{ cm}\end{aligned}$$

$$\text{Tebal pelat bordes} = 19 \text{ cm}$$

$$\begin{aligned}\text{Tebal pelat rata-rata anak tangga, } t_r &= \frac{i \cdot \sin \alpha}{2} = \frac{25 \cdot \sin 36,02^\circ}{2} \\ &= 7,35 \text{ cm}\end{aligned}$$

$$\begin{aligned}\text{Tebal pelat rata-rata (Gambar 4..)} &= t_p + t_r \\ &= 19 + 7,35 \\ &= 26,352 \text{ cm}\end{aligned}$$

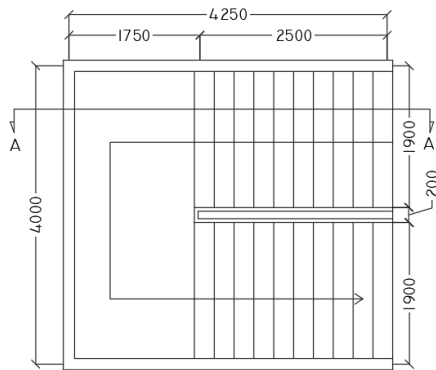


Gambar 4. 16 Detail Tebal Pelat

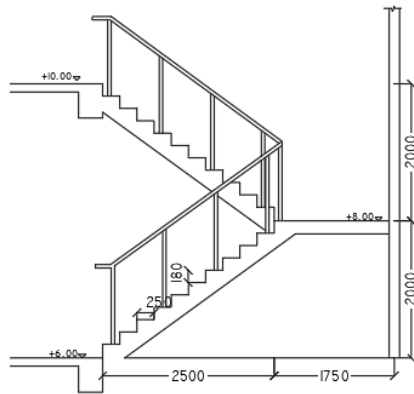
Denah dan potongan perencanaan tangga dapat dilihat pada Gambar.

Cek Syarat :

- i. $60 \leq (2t + i) \leq 65$
 $60 \leq 2(18) + 25 \leq 65$
 $60 \leq 61 \leq 65 \dots \dots \dots \text{(Ok)}$
- ii. $25 \leq \alpha \leq 40$
 $25 \leq 36,02^\circ \leq 40 \dots \dots \dots \text{(Ok)}$



Gambar 4.17 Denah Tangga



Gambar 4.18 Potongan A-A Tangga

4.2.2.1 Pembebanan Tangga dan Bordes

a) Pembebanan Tangga

Tabel 4. 16 Pembebanan Tangga

| Beban mati tambahan | | | | |
|-------------------------------|-------------|-------------------|-------|----------------------------|
| Jenis beban | Berat jenis | Satuan | l (m) | Berat (kg/m ²) |
| Keramik | 24 | kg/m ² | 1 | 24 |
| Spesi | 21 | kg/m ² | 1 | 21 |
| Sandaran | 25 | kg/m ² | | 25 |
| Total beban mati (qD) | | | | 70,000 |
| Beban hidup | | | | |
| Jenis beban | Berat | Satuan | l (m) | Berat (kg/m ²) |
| Tangga | 488,28 | kg/m ² | 1 | 488,28 |
| Total beban hidup (qL) | | | | 488,28 |

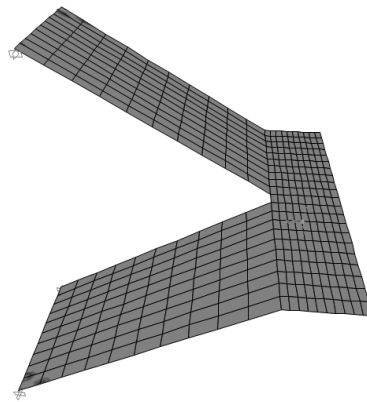
b) Pembebanan Bordes

Tabel 4. 17 Pembebanan Bordes

| Beban mati tambahan | | | | |
|-------------------------------|-------------|-------------------|-------|----------------------------|
| Jenis beban | Berat jenis | Satuan | l (m) | Berat (kg/m ²) |
| Keramik | 24 | kg/m ² | 1 | 24 |
| Spesi | 21 | kg/m ² | 1 | 21 |
| Total beban mati (qD) | | | | 45,000 |
| Beban hidup | | | | |
| Jenis beban | Berat | Satuan | l (m) | Berat (kg/m ²) |
| Tangga | 488,28 | kg/m ² | 1 | 488,28 |
| Total beban hidup (qL) | | | | 488,28 |

4.2.2.2 Analisis Gaya-Gaya Dalam

Pada proses analisis struktur tangga ini, tangga dimodelkan dengan menggunakan program bantu SAP2000 dengan perlakukan jepit-jepit seperti pada Gambar 4.19.



Gambar 4.19 Pemodelan Tangga

Berikut perhitungan gaya dalam pada tangga :

4.2.2.3 Penulangan Pelat Tangga dan Pelat Bordes

i. Data Perencanaan

$$f'c = 40 \text{ MPa}$$

$$fy = 400 \text{ MPa}$$

$$t_p \text{ tangga} = 190 \text{ mm}$$

$$t_p \text{ bordes} = 190 \text{ mm}$$

$$\text{selimut beton} = 20 \text{ mm}$$

$$d_b = 19 \text{ mm } (A_{s1 \text{ tul}} = 283,53 \text{ mm}^2)$$

$$d = t_p - \text{selimut beton} - 0,5d_b$$

$$= 190 - 20 - 0,5 \cdot 19$$

$$= 160,5 \text{ mm}$$

$$m = fy / (0,85f'c) = 400 / (0,85 \cdot 40) = 11,765$$

Rasio tulangan minimum (ρ_{\min})

$$\rho_{\min} \geq 0,25\sqrt{f'c} / fy \quad \text{dan, } \rho_{\min} \geq 1,4/fy$$

$$\geq 0,25\sqrt{40} / 400$$

$$\geq 1,4 / 400$$

$$\geq 0,00395$$

$$\geq 0,004$$

Maka diambil $\rho_{\min} = 0,004$

Rasio tulangan maksimum (ρ_{\max})

Berdasarkan SNI 2847:2013 Lampiran B pasal 10.3.3 rasio tulangan maksimum tidak boleh melebihi $0,75\rho_b$.

$$\beta_1 = 0,85 - 0,05 \frac{fc' - 28}{7} = 0,85 - 0,05 \frac{40 - 28}{7} = 0,76$$

$$\rho_b = \frac{0,85 \cdot fc' \cdot \beta_1}{fy} \left(\frac{600}{600 + fy} \right) = \frac{0,85 \cdot 40 \cdot 0,76}{400} \left(\frac{600}{600 + 400} \right) = 0,0389$$

$$\rho_{maks} = 0,75 \rho_b, 0,75 \cdot 0,0389 = 0,029$$

ii. Tulangan Lentur Arah x (Sisi Bawah)

Rasio tulangan perlu

Dari hasil pemodelan pada program bantu analisis didapatkan momen maksimum sebesar 102.473.291 Nmm.

$$M_u = 102.473.291 \text{ N mm}$$

$$\varphi = 0,9 \text{ (diasumsikan beton terkendali tarik)}$$

$$R_n = \frac{Mu}{\varphi bd^2} = \frac{102.473.291}{0,9 \cdot 1000 \cdot 160,5^2} = 4,42 MPa$$

$$\rho_{perlu} = \frac{1}{m} \cdot \left(1 - \sqrt{1 - \frac{2 \cdot m \cdot R_n}{fy}} \right)$$

$$= \frac{1}{11,765} \left(1 - \sqrt{1 - \frac{2 \cdot 11,765 \cdot 4,42}{400}} \right) = 0,012$$

$$\rho_{min} < \rho_{perlu} < \rho_{maks}, \text{ maka } \rho = \rho_{perlu} = 0,012$$

Luas tulangan perlu

$$A_{s\ perlu} = \rho \cdot b \cdot d = 0,012 \cdot 1000 \cdot 160,5 = 1906,75 \text{ mm}^2$$

Jumlah tulangan

$$n = A_{s\ perlu} / A_{s\ 1\ tul} = 1906,75 / 283,53 = 6,7 \approx 7 \text{ buah}$$

$$\text{Luas tulangan aktual} = 7 \cdot 283,53 = 1984,7 \text{ mm}^2$$

Jarak tulangan

$$s = \frac{1000}{n} = \frac{1000}{7} = 142,9 \text{ mm}$$

Syarat, $s \leq 3t_p$ dan tidak boleh melebihi 450mm (SNI 2847:2013 pasal 7.6.5). Maka digunakan **D19 – 140 mm**.

Cek asumsi nilai ϕ

$$a = \frac{As \cdot fy}{0,85 \cdot fc' \cdot b} = \frac{1984,7 \cdot 400}{0,85 \cdot 40 \cdot 1000} = 15,62$$

$$\beta_1 = 0,85 - 0,05 \frac{fc' - 28}{7} = 0,85 - 0,05 \frac{40 - 28}{7} = 0,76$$

Tinggi area tekan beton, $c = a/\beta_1 = 15,62/0,76 = 20,43$

Regangan tulangan, $\varepsilon_t = 0,003 \cdot (d-c)/c$

$$= 0,003 \cdot (160,5 - 20,43) / 20,43$$

$$= 0,02 > 0,005$$

(Beton terkendali tarik)

Maka asumsi $\phi = 0,9$ dapat digunakan.

iii. Tulangan Lentur Arah x (Sisi Atas)

Luas tulangan perlu

$$\begin{aligned} A_s \text{ perlu} &= 0,5 A_s \text{ bawah} \\ &= 0,5 \times 1906,75 \text{ mm}^2 \\ &= 953,38 \text{ mm}^2 \end{aligned}$$

Jumlah tulangan

$$d_b = 16 \text{ mm } ((=A_{s1} \text{ tul} = 201,062 \text{ mm}^2)$$

$$n = A_s \text{ perlu} / A_{s1} \text{ tul} = 953,38 / 201,062 = 4,74 \approx 5 \text{ buah}$$

$$\text{Luas tulangan aktual} = 5 \cdot 201,062 = 1005,31 \text{ mm}^2$$

Jarak tulangan

$$s = \frac{1000}{n} = \frac{1000}{5} = 200 \text{ mm}$$

Syarat, $s \leq 3t_p$ dan tidak boleh melebihi 450mm (SNI 2847:2013 pasal 7.6.5). Maka digunakan **D16 – 140 mm.**

Cek asumsi nilai ϕ

$$a = \frac{As \cdot fy}{0,85 \cdot fc' \cdot b} = \frac{1005,31 \cdot 400}{0,85 \cdot 40 \cdot 1000} = 13,23$$

$$\beta_1 = 0,85 - 0,05 \frac{fc' - 28}{7} = 0,85 - 0,05 \frac{40 - 28}{7} = 0,76$$

Tinggi area tekan beton, $c = a/\beta_1 = 13,23/0,76 = 17,46$

Regangan tulangan, $\varepsilon_t = 0,003 \cdot (d-c)/c$

$$= 0,003 \cdot (141,5 - 17,46) / 17,46$$

$$= 0,02 > 0,005$$

(Beton terkendali tarik)

Maka asumsi $\phi = 0,9$ dapat digunakan.

iv. Tulangan Pembagi

Luas tulangan perlu

$$\begin{aligned} A_s \text{ perlu} &= 0,002.b.t_p \text{ (SNI 2847:2013 pasal 7.12.2.1)} \\ &= 0,002.1900.190 \\ &= 722 \text{ mm}^2 \end{aligned}$$

Jumlah tulangan

$$\begin{aligned} d_b &= 10 \text{ mm } (=A_{s1} \text{ tul} = 78,54 \text{ mm}^2) \\ n &= A_s \text{ perlu}/A_{s1} \text{ tul} = 722/78,54 = 9,2 \approx 10 \text{ buah} \end{aligned}$$

$$\text{Luas tulangan aktual} = 10.78,54 = 785,4 \text{ mm}^2$$

Jarak tulangan

$$s = \frac{1000}{n} = \frac{1000}{10} = 100 \text{ mm}$$

Syarat, $s \leq 5t_p$ yaitu 600mm dan tidak boleh melebihi 450mm (SNI 2847:2013 pasal 7.6.5). Maka digunakan **D10 – 100 mm**.

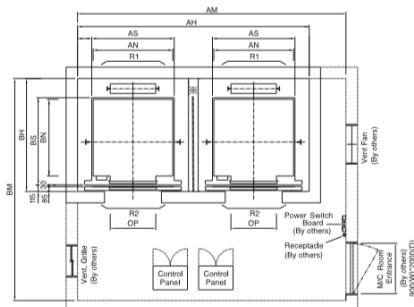
4.2.3 Perencanaan Balok Lift

Pada perancangan gedung ini menggunakan lift penumpang yang diproduksi oleh Sigma Elevator Company dengan data-data sebagai berikut (brosur terlampir) :

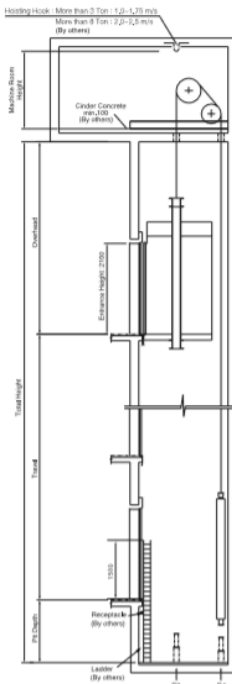
| | | |
|-------------------------------|---|--|
| Merk | : | Sigma Elevator |
| Kapasitas orang | : | 11 orang |
| Kapasitas beban | : | 750 kg |
| Kecepatan | : | 1,5-1,75 m/s |
| Lebar pintu | : | 800 mm |
| <i>Car size</i> | : | <i>Width</i> = 1400 mm <i>Depth</i> = 1350 mm |
| <i>Hoistway size (Duplex)</i> | : | <i>Width</i> = 3750 mm <i>Depth</i> = 1950 mm |

| | | |
|-----------------------------------|----------------|-----------|
| <i>Machine room size</i> | : <i>Width</i> | = 4050 mm |
| | : <i>Depth</i> | = 3750 mm |
| <i>Machine room reaction load</i> | : R1 | = 5250 kg |
| | R2 | = 3700 kg |

Untuk gambar *layout* denah dan potongan lift dapat dilihat pada Gambar 4.20



Gambar 4.20 *Layout Lift*



Gambar 4.21 Potongan Lift

4.2.3.1 Dimensi Balok Pengantung Lift

Sesuai dengan denah lift pada Gambar 4.22 akan direncanakan balok lift dengan perhitungan dimensi sebagai berikut.

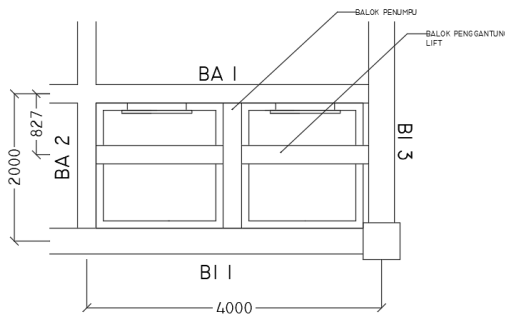
$$F_y = 400 \text{ MPa}$$

$$L_{\text{balok}} = 200 \text{ cm}$$

$$h_{\min} = \frac{l}{16} \left(0,4 + \frac{f_y}{700} \right) = \frac{200}{16} \left(0,4 + \frac{400}{700} \right) = 12,15 \text{ cm}$$

digunakan $h = 35 \text{ cm}$

$$b = \frac{2}{3}h = \frac{2}{3} \cdot 35 = 23,33 \text{ cm} \approx 25 \text{ cm}$$



Gambar 4.22 Denah Lift

4.2.3.2 Pembebaan Balok Pengantung Lift

i. Beban Terpusat

Beban tepsut yang bekerja merupakan beban akibat reaksi ruang mesin. Berdasarkan PPIUG 1983 pasal 3.3.(3) dalam pembebasan balok lift perlu diperhitungkan koefisien kejut yang terjadi, koefisien kejut ditentukan menurut rumus berikut :

$$\psi = (1 + k_1 k_2 v) \geq 1,15 \quad (4-16)$$

dimana,

ψ = koefisien kejut yang nilainya tidak boleh diambil kurang dari 1,15

v = kecepatan angkat maksimum dalam m/det pada pengangkatan muatan maksimum dalam kedudukan keran induk dan keran angkat yang paling menentukan bagi struktur yang ditinjau, dan nilainya tidak perlu diambil lebih dari 1,00 m/det.

K_1 = koefisien yang bergantung pada kekakuan struktur keran induk, yang untuk keran induk dengan struktur rangka, pada umumnya nilainya dapat diambil sebesar 0,6

k_2 = koefisien yang bergantung pada sifat-sifat mesin angkat dari keran angkatnya, dan dapat diambil sebesar 1,3.

Sehingga koefisien kejut yang bekerja pada balok adalah,

$$\psi = (1 + 0,6 \cdot 1,3 \cdot 1) = 1,78 \geq 1,15$$

maka,

$$R_1 = 5250 \cdot 1,78 = 9345 \text{ kg}$$

$$\begin{aligned} R_2 &= 3700 \cdot 1,78 = 6586 \text{ kg} \\ P &= R_1 + R_2 = 15931 \text{ kg} \end{aligned}$$

ii. Beban Terbagi Merata

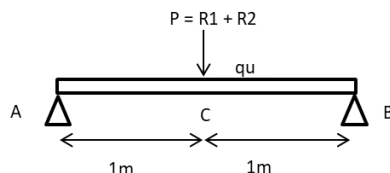
Tabel 4.18 Pembagian Beban pada Balok Lift

| Beban Mati Lantai | | | | | |
|---------------------------|-------------|-------------------|-------|-------|--------------|
| Jenis Beban | Berat Jenis | Satuan | l (m) | t (m) | Berat (kg/m) |
| Pelat | 2400 | kg/m ³ | 1 | 0,12 | 288 |
| Balok penggantung | 2400 | kg/m ³ | 0,25 | 0,35 | 210 |
| Spesi | 21 | kg/m ² | 1 | | 21 |
| Total | | | | | 519 |
| Beban Hidup Lantai | | | | | |
| Jenis Beban | Berat | Satuan | l (m) | t (m) | Berat (kg/m) |
| Lantai R.Mesin | 97,86 | kg/m ² | 1 | | 97,859 |
| Total | | | | | 97,859 |

Kombinasi Beban :

$$\begin{aligned} q_U &= 1,2q_D + 1,6q_L \\ &= 1,2(519) + 1,6(97,859) \\ &= 779,37 \text{ kg/m} \end{aligned}$$

4.2.3.3 Analisis Gaya Dalam Balok Penggantung Lift



Gambar 4.23 Pembagian Beban pada Balok Lift

- a) Reaksi Perletakan akibat P dan q_U
- $$\begin{aligned} \sum M_A &= P \cdot L/2 - R_B \cdot L + 0,5 \cdot q_U \cdot L^2 \\ 0 &= 15931 \cdot 2/2 - R_B \cdot 2 + 0,5 \cdot 779,37 \cdot 2^2 \\ R_B &= 8744,875 \text{ kg} \end{aligned}$$

$$\begin{aligned}\sum M_B &= R_A \cdot L - P \cdot L / 2 - 0,5 \cdot q_u \cdot L^2 \\ 0 &= R_A \cdot 2 - 15931 \cdot 2 / 2 - 0,5 \cdot 779,37 \cdot 2^2 \\ R_A &= 8744,875 \text{ kg}\end{aligned}$$

$$\begin{aligned}\sum V &= R_A + R_B - P - q_u \cdot L \\ 0 &= 8744,875 + 8744,875 - 15931 - 779,37 \cdot 2 \\ 0 &= 0 (\text{Ok})\end{aligned}$$

b) Gaya-Gaya Dalam

i. Gaya Normal (N)

$$N_A = 0$$

$$N_B = 0$$

$$N_C = 0$$

ii. Gaya Lintang (D)

$$D_A = R_A = 8744,875 \text{ kg}$$

$$\begin{aligned}D_C &= R_A - 0,5q_u \cdot L \\ &= 8744,875 - 0,5 \cdot 779,37 \cdot 2 \\ &= 7965,5 \text{ kg}\end{aligned}$$

$$\begin{aligned}D_C &= R_A - P - 0,5q_u \cdot L \\ &= 8744,875 - 15931 - 0,5 \cdot 779,37 \cdot 2 \\ &= -7965,5 \text{ kg}\end{aligned}$$

$$D_B = -R_B = -8744,875 \text{ kg}$$

iii. Gaya Momen (M)

$$M_A = 0$$

$$\begin{aligned}M_C &= R_A \cdot L / 2 - 1/8 \cdot q_u \cdot L^2 \\ &= 8744,875 \cdot 2 / 2 - 1/8 \cdot 779,37 \cdot 2^2 \\ &= 8355,18 \text{ kg m}\end{aligned}$$

$$M_B = 0$$

4.2.3.4 Perhitungan Tulangan Balok Penggantung Lift

$$f_c = 40 \text{ MPa}$$

$$f_y = 400 \text{ MPa}$$

$$d_b = 19 \text{ mm } (A_{s1 \text{ tul}} = 283,53 \text{ mm}^2)$$

$$d_s = 10 \text{ mm } (A_{s1 \text{ tul}} = 78,54 \text{ mm}^2)$$

$$b = 250 \text{ mm}$$

$$h = 350 \text{ mm}$$

selimut beton = 40 mm

$$d = h - \text{selimut beton} - d_s - 0,5d_b$$

$$= 350 - 40 - 10 - 0,5 \cdot 19$$

$$= 290,5 \text{ mm}$$

$$m = f_y/(0,85f'_c) = 400/(0,85 \cdot 40) = 11,765$$

Rasio tulangan minimum (ρ_{\min})

Berdasarkan SNI 2847:2013 pasal 10.5.1 rasio tulangan minimum harus disediakan sebesar :

$$\rho_{\min} \geq 0,25\sqrt{f'_c c} / f_y \text{ dan, } \rho_{\min} \geq 1,4/f_y$$

$$\geq 0,25\sqrt{40} / 400 \geq 1,4/400$$

$$\geq 0,00395 \geq 0,004$$

Maka diambil $\rho_{\min} = 0,004$

Rasio tulangan maksimum (ρ_{\max})

Berdasarkan SNI 2847:2013 Lampiran B pasal 10.3.3 rasio tulangan maksimum tidak boleh melebihi $0,75\rho_b$.

$$\beta_1 = 0,85 - 0,05 \frac{f'_c - 28}{7} = 0,85 - 0,05 \frac{40 - 28}{7} = 0,76$$

$$\rho_b = \frac{0,85 \cdot f'_c \cdot \beta_1}{f_y} \left(\frac{600}{600 + f_y} \right) = \frac{0,85 \cdot 40 \cdot 0,76}{400} \left(\frac{600}{600 + 400} \right) = 0,0389$$

$$\rho_{\max} = 0,75\rho_b, 0,75 \cdot 0,0389 = 0,029$$

- **Tulangan Lentur**

Rasio tulangan perlu

$$M_{\max} = 8355,18 \text{ kg m}$$

$$= 81.964.389,0 \text{ N mm}$$

$$\varphi = 0,9 \text{ (disusumsikan beton terkendali tarik)}$$

$$R_n = \frac{Mu}{\varphi b d^2} = \frac{81.964.389}{0,9.250.290,5^2} = 4,32 \text{ MPa}$$

$$\rho_{\text{perlu}} = \frac{1}{m} \cdot \left(1 - \sqrt{1 - \frac{2 \cdot m \cdot R_n}{f_y}} \right)$$

$$= \frac{1}{11,765} \left(1 - \sqrt{1 - \frac{2 \cdot 11,765 \cdot 4,32}{400}} \right)$$

$$= 0,012$$

$\rho_{\min} < \rho_{\text{perlu}} < \rho_{\text{maks}}$, maka $\rho = \rho_{\text{perlu}} = 0,012$

Luas tulangan perlu

$$A_s \text{ perlu} = \rho \cdot b \cdot d = 0,012 \cdot 250 \cdot 290,5 = 841,604 \text{ mm}^2$$

Jumlah tulangan

$$n = A_s \text{ perlu} / A_s \text{ 1 tul} = 841,604 / 283,53 = 2,97 \approx 3 \text{ buah}$$

Sesuai dengan SNI 2847:2013 pasal 21.2 syarat tulangan lentur untuk balok minimal 2 buah di sisi atas dan bawah. Maka digunakan 3 D19.

$$\text{Luas tulangan aktual 3 D19} = 2.283,53 = 850,58 \text{ mm}^2$$

Cek asumsi nilai ϕ

$$a = \frac{As \cdot fy}{0,85 \cdot f'c \cdot b} = \frac{850,58 \cdot 400}{0,85 \cdot 40 \cdot 250} = 40,03$$

$$\beta_1 = 0,85 - 0,05 \frac{f'c' - 28}{7} = 0,85 - 0,05 \frac{40 - 28}{7} = 0,76$$

Tinggi area tekan beton, $c = a/\beta_1 = 40,03/0,76 = 52,37$

$$\begin{aligned}\varepsilon_t &= 0,003(d - c)/c \\ &= 0,003 \cdot (290,5 - 52,37) / 52,37 \\ &= 0,0136 > 0,005\end{aligned}$$

(Beton terkendali tarik)

Maka asumsi $\phi = 0,9$ dapat digunakan.

Cek spasi tulangan

Sesuai dengan SNI 2847:2013 pasal 7.6.1 spasi bersih minimum antara batang tulangan yang sejajar dalam satu lapis tidak boleh kurang dari 25 mm.

$$S = \frac{b - 2 \cdot \text{selimut} - 2d_s - 3d_b}{n \text{ tul} - 1} = \frac{250 - 2 \cdot 40 - 2 \cdot 10 - 3 \cdot 19}{3 - 1} = 46,5 \text{ mm (Ok)}$$

Cek kemampuan penampang

Syarat, $\phi M_n > M_u$ dimana,

$$\begin{aligned}M_n &= As \cdot fy \left(d - \frac{a}{2} \right) \\ &= 850,58 \times 400 (290,5 - 40,03/2)\end{aligned}$$

$$\begin{aligned}
 &= 92.028.735,1 \text{ N mm} \\
 \varphi M_n &= 0,9 \times 92.028.735,1 \text{ N mm} \\
 &= 82.825.861,5 \text{ Nmm} > M_u = 81.964.389,0 \text{ Nmm} \text{ (Ok)}
 \end{aligned}$$

- **Tulangan Geser**

Analisis Gaya Dalam

$$\begin{aligned}
 V_u &= 8744,875 \text{ kg} \\
 &= 85.787,2 \text{ N}
 \end{aligned}$$

Cek Kebutuhan Tulangan Geser

Berdasarkan SNI 2847:2013 pasal 11.4.6, tulangan geser minimum harus disediakan jika $V_u \geq 0,5\Phi v_c$.

Kondisi 1 :

Jika $V_u \leq 0,5\Phi v_c$ maka tidak diperlukan tulangan geser.

$$\begin{aligned}
 V_c &= \frac{1}{6} \sqrt{fc'bd} \\
 &= \frac{1}{6} \sqrt{40} \cdot 250.290,5 \\
 &= 76.553,47 \text{ N}
 \end{aligned}$$

$$\Phi v_c = 0,75 \times 76.553,47 = 57415,104 \text{ N}$$

$$0,5\Phi v_c = 0,5 \times 0,75 \times 76.553,47 = 28707,552 \text{ N}$$

$$V_u = 85.787,2 \text{ N} < 0,5\Phi v_c = 28707,552 \text{ N}$$

Tidak memenuhi, maka dicek pada kondisi 2.

Kondisi 2 :

Jika $0,5\Phi v_c < V_u \leq \Phi v_c$ maka disediakan tulangan geser minimum.

$$V_u = 85.787,2 \text{ N} < \Phi v_c = 57.415,104 \text{ N}$$

Tidak memenuhi, maka dicek pada kondisi 3.

Kondisi 3 :

Jika $\Phi v_c < V_u \leq \varphi (V_c + V_{s \min})$ maka disediakan tulangan geser minimum.

$$\begin{aligned}
 V_{s \min} &= 1/3.b.d \\
 &= 1/3.250.290,5 \\
 &= 24208,33 \text{ N}
 \end{aligned}$$

$$\varphi (V_c + V_{s \min}) = 0,9 (76.553,47 + 24208,33) = 75.571 \text{ N}$$

$$V_u = 85.787,2 \text{ N} < \varphi (V_c + V_{s \min})$$

Tidak memenuhi, maka dicek pada kondisi 4.

Kondisi 4 :

Jika $V_u > \varphi (V_c + V_{s\ min})$ maka tulangan geser harus disediakan untuk memenuhi persamaan $\Phi V_n \geq V_u$ dan $V_n = V_c + V_s$.

$$\begin{aligned} V_s &= V_u/\varphi - V_c \\ &= 85.787,2/0,75 - 76.553,47 \\ &= 37.829,49 \text{ N} \end{aligned}$$

Jarak Tulangan Geser

Diasumsikan menggunakan tulangan geser D10.

$$\begin{aligned} A_v &= 2\pi d_s^2 = 2\pi \cdot 10^2 = 157,1 \text{ mm}^2 \\ V_s &= 37.829,49 \text{ N} \\ s &= \frac{A_v \cdot f_y \cdot d}{V_s} = \frac{157,1 \cdot 400 \cdot 209,5}{37.829,49} = 482,5 \text{ mm} \end{aligned}$$

Syarat Jarak Tulangan Geser

Dalam SNI 2847:2013 pasal 11.4.5.1, jarak tulangan geser yang dipasang tegak lurus terhadap komponen struktur tidak boleh melebihi :

$$d/2 = 290,5/2 = 145,25 \text{ mm ; dan } s \leq 600 \text{ mm}$$

Maka digunakan tulangan geser D10-140 mm.

4.2.3.5 Dimensi Balok Penumpu

Sesuai dengan denah lift pada Gambar 4.22 akan direncanakan balok lift dengan perhitungan dimensi sebagai berikut.

$$F_y = 400 \text{ MPa}$$

$$L_{balok} = 200 \text{ cm}$$

$$h_{min} = \frac{l}{16} \left(0,4 + \frac{f_y}{700} \right) = \frac{200}{16} \left(0,4 + \frac{400}{700} \right) = 12,15 \text{ cm}$$

digunakan $h = 35 \text{ cm}$

$$b = \frac{2}{3} h = \frac{2}{3} \cdot 35 = 23,33 \text{ cm} \approx 25 \text{ cm}$$

4.2.3.6 Pembebanan Balok Penumpu

i. Beban Terpusat

Balok penumpu menerima beban terpusat yaitu reaksi dari dua balok penggantung, $P = 8744,87 + 8744,87 = 17489,75\text{kg}$.

ii. Beban Terbagi Merata

Tabel 4. 19 Pembebanan Balok Penumpu

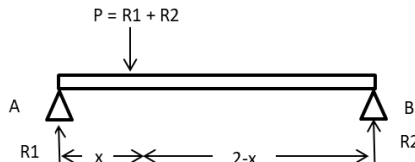
| Beban Mati Lantai | | | | | |
|--------------------|-------------|------------------------|------|-------|---------------|
| Jenis Beban | Berat Jenis | Satuan | l(m) | t (m) | Berat (kg/m) |
| Pelat | 2400 | kg/m^3 | 1 | 0,12 | 288 |
| Balok penumpu | 2400 | kg/m^3 | 0,25 | 0,35 | 210 |
| Spesi | 21 | kg/m^2 | 1 | | 21 |
| Total | | | | | 519 |
| Beban Hidup Lantai | | | | | |
| Jenis Beban | Berat | Satuan | l(m) | t (m) | Berat (kg/m) |
| Lantai R.Mesin | 97,86 | kg/m^2 | 1 | | 97,859 |
| Total | | | | | 97,859 |

Kombinasi Beban :

$$\begin{aligned} q_U &= 1,2q_D + 1,6q_L \\ &= 1,2(519) + 1,6(97,859) \\ &= 779,37 \text{ kg/m} \end{aligned}$$

4.2.3.7 Analisis Gaya Dalam Balok Penumpu

- a) Menentukan jarak x beban terpusat P akibat reaksi ruang mesin R_1 dan R_2

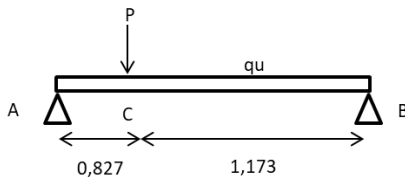


$$\begin{aligned} L_{\text{penumpu}} &= 2 \text{ m} \\ R_1 &= 9345 \text{ kg} \\ R_2 &= 6586 \text{ kg} \end{aligned}$$

$$P = R_1 + R_2 = 15931 \text{ kg}$$

$$\begin{aligned}\sum M_A &= 0 \\ P \cdot x - R_2 \cdot L &= 0 \\ 15931x - 6586.2 &= 0 \\ x &= 0,827 \text{ m} \\ 2 - x &= 1,173 \text{ m}\end{aligned}$$

b) Reaksi Perletakan akibat P dan q_u



$$\begin{aligned}\sum M_A &= P \cdot x - R_B \cdot L + 0,5 \cdot q_u \cdot L^2 \\ 0 &= 17489,75 \cdot 0,827 - R_B \cdot 2 + 0,5 \cdot 779,37 \cdot 2^2 \\ R_B &= 8009,77 \text{ kg}\end{aligned}$$

$$\begin{aligned}\sum M_B &= R_A \cdot L - P \cdot (L-x) - 0,5 \cdot q_u \cdot L^2 \\ 0 &= R_A \cdot 2 - 17489,75(2-0,827) - 0,5 \cdot 779,37 \cdot 2^2 \\ R_A &= 11038,73 \text{ kg}\end{aligned}$$

$$\begin{aligned}\sum V &= R_A + R_B - P - q_u \cdot L \\ 0 &= 11038,73 + 8009,77 - 17489,75 - 779,37 \cdot 2 \\ 0 &= 0 \text{ (Ok)}\end{aligned}$$

c) Gaya-Gaya Dalam

iv. Gaya Normal (N)

$$N_A = 0$$

$$N_B = 0$$

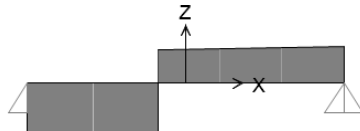
$$N_C = 0$$

v. Gaya Lintang (D)

$$D_A = R_A = 11038,73 \text{ kg}$$

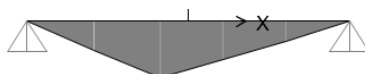
$$\begin{aligned}D_C &= R_A - q_u \cdot x \\ &= 11038,73 - 779,37 \cdot 0,827\end{aligned}$$

$$\begin{aligned}
 &= 10394,33 \text{ kg} \\
 D_C &= R_A - P - q_{U,x} \\
 &= 11038,73 - 17489,75 - 779,37 \cdot 0,827 \\
 &= -7095,42 \text{ kg} \\
 D_B &= -R_B = -8009,774 \text{ kg}
 \end{aligned}$$



vi. Gaya Momen (M)

$$\begin{aligned}
 M_A &= 0 \\
 M_C &= R_A \cdot x - 0,5 \cdot q_{U,x} \cdot x^2 \\
 &= 11038,73 \cdot 0,827 - 0,5 \cdot 779,37 \cdot 0,827^2 \\
 &= 8860,591 \text{ kg m} \\
 M_B &= 0
 \end{aligned}$$



4.2.3.8 Perhitungan Tulangan Balok Penumpu

Dengan langkah-langkah perhitungan kebutuhan tulangan yang sama seperti pada balok penggantung, diperoleh tulangan balok penumpu sebagai berikut :

Tulangan Longitudinal : 3D33 ($A_s = 1140,4 \text{ mm}^2$)

Tulangan Geser : D13-140mm

4.2.4 Perencanaan Balok Anak

Berikut merupakan data perencanaan balok anak :

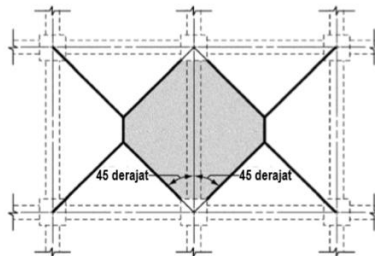
- Mutu beton ($f'c$) = 40 MPa
- Mutu baja tulangan = BJTD 40 ($f_y = 400 \text{ MPa}$)
- Tebal pelat = 12 cm
- Dimensi balok anak (Tabel 4.20)

Tabel 4.20 Dimensi Balok Anak

| Nama | L (m) | b (cm) | h (cm) |
|------|-------|--------|--------|
|------|-------|--------|--------|

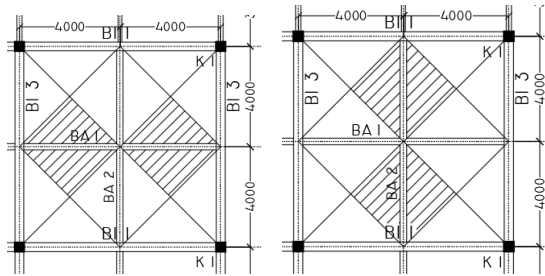
| | | | |
|------|------|----|----|
| BA 1 | 8,00 | 30 | 40 |
| BA 2 | 8,00 | 30 | 40 |
| BA 3 | 4,25 | 20 | 25 |
| BA 4 | 3,45 | 20 | 25 |
| BA 5 | 4,00 | 20 | 25 |

Balok anak direncanakan untuk mampu menerima beban dari pelat lantai. Besarnya luasan pelat lantai yang diampu balok anak (luas tributari) seperti yang ada pada SNI 2847:2013 pasal 13.6.8 (Gambar 4.24).



Gambar 4.24 Luas Tributari yang Diterima Balok Anak
Pembebanan serta perhitungan kebutuhan tulangan balok anak akan dijelaskan pada sub bab di bawah ini.

4.2.4.1 Balok Anak BA 1 dan BA 2



Gambar 4.25 Luas Tributari BA 1 dan BA 2

- a) Pembebanan

Beban mati pada pelat lantai :

$$\text{Pelat} = 2400 \text{kg/m}^3 \times 0,12 \text{m} = 288 \text{ kg/m}^2$$

| | |
|-----------------------------|--------------------------------|
| Penutup lantai | = 24 kg/m ² |
| Spesi | = 21 kg/m ² |
| Langit-langit | = 11 kg/m ² |
| Penggantung langit-langit | = 7 kg/m ² |
| <u>Ducting and plumbing</u> | <u>= 25 kg/m² +</u> |
| Total (q _D) | = 376 kg/m ² |

$$\begin{aligned}
 L_x &= 8 \text{ m} \\
 L_y &= 8 \text{ m} \\
 A_{\text{segitiga}} &= 0,5 \cdot 4 \cdot (4/2) = 4 \text{ m}^2 \\
 q_D \text{ lantai} &= 4 \cdot A_{\text{segitiga}} \cdot q_D / L \\
 &= 4 \cdot 4,376 / 8 \\
 &= 752 \text{ kg/m}
 \end{aligned}$$

Berat sendiri balok :

$$\text{Berat balok} = 2400 \text{ kg/m}^3 \times 0,30 \text{ m} \times 0,40 = 288 \text{ kg/m}$$

$$q_D \text{ total} = 752 + 288 = 1040 \text{ kg/m}$$

Beban Hidup :

$$\begin{aligned}
 q_L &= 104,83 \text{ kg/m}^2 \text{ (lantai apartemen)} \\
 q_{L \text{ total}} &= 4 \cdot A_{\text{segitiga}} \cdot q_L / L \\
 &= 4 \cdot 104,83 / 8 \\
 &= 209,66 \text{ kg/m}
 \end{aligned}$$

Kombinasi Beban :

$$\begin{aligned}
 q_u &= 1,2q_D \text{ total} + 1,6q_{L \text{ total}} \\
 &= 1,2(1040) + 1,6(209,66) \\
 &= 1583,462 \text{ kg/m}
 \end{aligned}$$

b) Analisis Gaya Dalam

Koefisien momen yang digunakan mengacu pada SNI 2847:2013 pasal 8.3.3.

$$\begin{aligned}
 \text{Momen tumpuan} (-) &= \frac{1}{10} \cdot q_u \cdot L^2 \\
 &= \frac{1}{10} \cdot 1583,462 \cdot 8^2 = 10134,15 \text{ kgm}
 \end{aligned}$$

$$\begin{aligned}\text{Momen lapangan(+)} &= \frac{1}{14} \cdot q_u \cdot L^2 \\ &= \frac{1}{14} \cdot 1583,462 \cdot 8^2 = 7238,68 \text{ kgm}\end{aligned}$$

c) Penulangan Lentur

$$f'c = 40 \text{ MPa}$$

$$fy = 400 \text{ MPa}$$

$$d_b = 16 \text{ mm } (A_{s1 \text{ tul}} = 201,062 \text{ mm}^2)$$

$$d_s = 10 \text{ mm } (A_{s1 \text{ tul}} = 78,54 \text{ mm}^2)$$

$$b = 300 \text{ mm}$$

$$h = 400 \text{ mm}$$

$$\text{selimut beton} = 40 \text{ mm}$$

$$d = h - \text{selimut beton} - d_s - 0,5d_b$$

$$= 400 - 40 - 10 - 0,5 \cdot 16$$

$$= 342 \text{ mm}$$

$$m = fy/(0,85f'c) = 400/(0,85 \cdot 40) = 11,765$$

Rasio tulangan minimum (ρ_{\min})

Berdasarkan SNI 2847:2013 pasal 10.5.1 rasio tulangan minimum harus disediakan sebesar :

$$\begin{aligned}\rho_{\min} &\geq 0,25\sqrt{f'c} / fy \quad \text{dan, } \rho_{\min} \geq 1,4/fy \\ &\geq 0,25\sqrt{40} / 400 \quad \geq 1,4/400 \\ &\geq 0,00395 \quad \geq 0,004\end{aligned}$$

Maka diambil $\rho_{\min} = 0,004$

Rasio tulangan maksimum (ρ_{\max})

Berdasarkan SNI 2847:2013 Lampiran B pasal 10.3.3 rasio tulangan maksimum tidak boleh melebihi $0,75\rho_b$.

$$\beta_1 = 0,85 - 0,05 \frac{fc' - 28}{7} = 0,85 - 0,05 \frac{40 - 28}{7} = 0,76$$

$$\rho_b = \frac{0,85 \cdot fc' \cdot \beta_1}{fy} \left(\frac{600}{600+fy} \right) = \frac{0,85 \cdot 40 \cdot 0,76}{400} \left(\frac{600}{600+400} \right) = 0,0389$$

$$\rho_{\max} = 0,75\rho_b = 0,75 \cdot 0,0389 = 0,029$$

- **Tulangan Lentur Negatif Tumpuan**

Rasio tulangan perlu

$$M_{\text{tumpuan}} = 10134,15 \text{ kg m}$$

$$\begin{aligned}
 &= 99.416.064 \text{ N mm} \\
 \varphi &= 0,9 \text{ (diasumsikan beton terkendali tarik)} \\
 R_n &= \frac{Mu}{\varphi bd^2} = \frac{99.416.064}{0,9.300.342^2} = 3,148 MPa \\
 \rho_{\text{perlu}} &= \frac{1}{m} \cdot \left(1 - \sqrt{1 - \frac{2 \cdot m \cdot R_n}{f_y}} \right) \\
 &= \frac{1}{11,765} \left(1 - \sqrt{1 - \frac{2.11,765.3,148}{400}} \right) \\
 &= 0,008
 \end{aligned}$$

$\rho_{\min} < \rho_{\text{perlu}} < \rho_{\max}$, maka $\rho = \rho_{\text{perlu}} = 0,008$

Luas tulangan perlu

$$A_s \text{ perlu} = \rho \cdot b \cdot d = 0,008 \cdot 300 \cdot 342 = 848,77 \text{ mm}^2$$

Jumlah tulangan

$$n = A_s \text{ perlu} / A_s \text{ 1 tul} = 848,77 / 201,062 = 4,221 \approx 5 \text{ buah}$$

$$\text{Luas tulangan aktual 5 D16} = 5 \cdot 201,062 = 1005,31 \text{ mm}^2$$

Jarak antar tulangan

Syarat $s \geq 25\text{mm}$

$$\begin{aligned}
 s &= \frac{b - 2 \cdot \text{selimut} - 2d_s - n \cdot d_b}{n \cdot \text{tul} - 1} = \frac{300 - 2.40 - 2.10 - 5.16}{5 - 1} \\
 &= 30 \text{ mm (Ok)}
 \end{aligned}$$

Cek asumsi nilai φ

$$a = \frac{As \cdot f_y}{0,85 \cdot f'c \cdot b} = \frac{1005,31 \cdot 400}{0,85 \cdot 40 \cdot 300} = 39,42$$

$$\beta_1 = 0,85 - 0,05 \frac{f'c' - 28}{7} = 0,85 - 0,05 \frac{40 - 28}{7} = 0,76$$

Tinggi area tekan beton, $c = a / \beta_1 = 39,42 / 0,76 = 51,58$

$$\varepsilon_t = 0,003(d - c)/c$$

$$= 0,003 \cdot (337,5 - 51,58) / 51,58$$

= 0,0169 > 0,005 (Beton terkendali tarik)

Maka asumsi $\varphi = 0,9$ dapat digunakan.

Cek kemampuan penampang

Syarat, $\varphi M_n > M_u$ dimana,

$$\begin{aligned}
 M_n &= As \cdot fy(d - \frac{a}{2}) \\
 &= 1005,31 \times 400 (342 - 39,42/2) \\
 &= 129.599,713 \text{ N mm} \\
 \varphi M_n &= 0,9 \times 129.599,713 \text{ N mm} \\
 &= 116.639.741,7 \text{ Nmm} > M_u = 99.416.064 \text{ Nmm} \\
 &\text{(Ok)}
 \end{aligned}$$

- **Tulangan Lentur Positif Tumpuan**

$$\begin{aligned}
 A_s \text{ perlu} &= 0,5 \cdot A_s \text{ negatif tumpuan} = 0,5 \cdot 1005,31 \\
 &= 502,65 \text{ mm}^2
 \end{aligned}$$

Digunakan D16 ($A_s \text{ 1 tul} = 201,062 \text{ mm}^2$)

$$n = A_s \text{ perlu} / A_s \text{ 1 tul} = 502,65 / 201,062 = 2,5 \approx 3 \text{ buah}$$

Maka digunakan 3 D16.

- **Tulangan Lentur Positif Lapangan**

Rasio tulangan perlu

$$\begin{aligned}
 M_{\text{lapangan}} &= 7238,68 \text{ kg m} \\
 &= 71.011.474,28 \text{ N mm} \\
 \varphi &= 0,9 \text{ (diasumsikan beton terkendali tarik)} \\
 R_n &= \frac{Mu}{\varphi bd^2} = \frac{71011474,28}{0,9 \cdot 300 \cdot 342} = 2,249 \text{ MPa} \\
 \rho_{\text{perlu}} &= \frac{1}{m} \cdot \left(1 - \sqrt{1 - \frac{2 \cdot m \cdot R_n}{f_y}} \right) \\
 &= \frac{1}{11,765} \left(1 - \sqrt{1 - \frac{2 \cdot 11,765 \cdot 2,249}{400}} \right) \\
 &= 0,006
 \end{aligned}$$

$$\rho_{\min} < \rho_{\text{perlu}} < \rho_{\max}, \text{ maka } \rho = \rho_{\text{perlu}} = 0,006$$

Luas tulangan perlu

$$A_s \text{ perlu} = \rho \cdot b \cdot d = 0,006 \cdot 300 \cdot 342 = 597,215 \text{ mm}^2$$

Jumlah tulangan

$$n = A_{s\ perlu}/A_{s\ 1\ tul} = 597,215/201,062 = 2,97 \approx 3$$

$$\text{Luas tulangan aktual } 3 \text{ D16} = 3 \cdot 201,062 = 603,18 \text{ mm}^2$$

Jarak antar tulangan

Syarat $s \geq 25\text{mm}$

$$s = \frac{b - 2 \cdot \text{selimut} - 2d_s - n \cdot d_b}{n \cdot tul - 1} = \frac{300 - 2.40 - 2.10 - 3.16}{3 - 1} \\ = 76 \text{ mm (Ok)}$$

Cek asumsi nilai ϕ

$$\alpha = \frac{As \cdot fy}{0,85 \cdot fc' \cdot b} = \frac{603,18 \cdot 400}{0,85 \cdot 40,300} = 23,65$$

$$\beta_1 = 0,85 - 0,05 \frac{fc' - 28}{7} = 0,85 - 0,05 \frac{40 - 28}{7} = 0,76$$

$$\text{Tinggi area tekan beton, } c = a/\beta_1 = 23,65/0,76 = 30,95$$

$$\varepsilon_t = 0,003(d - c)/c$$

$$= 0,003.(337,5 - 30,95)/30,95$$

= 0,0302 > 0,005 (Beton terkendali tarik)

Maka asumsi $\phi = 0,9$ dapat digunakan.

Cek kemampuan penampang

Syarat, $\phi M_n > M_u$ dimana,

$$M_n = As \cdot fy \left(d - \frac{a}{2} \right) \\ = 603,18 \times 400 (342 - 23,65/2)$$

$$= 79.662.223,09 \text{ N mm}$$

$$\phi M_n = 0,9 \times 79.662.223,09 \text{ N mm}$$

$$= 71.696.000,78 \text{ Nmm} > M_u = 71.011.474 \text{ Nmm} \\ (\text{Ok})$$

- Tulangan Lentur Negatif Lapangan

$$A_{s\ perlu} = 0,5 \cdot A_{s\ positif\ lapangan} = 0,5 \cdot 603,18 \\ = 301,593 \text{ mm}^2$$

Digunakan D16 ($A_{s\ 1\ tul} = 201,062 \text{ mm}^2$)

$$n = A_{s\ perlu}/A_{s\ 1\ tul} = 301,593 / 201,062 = 1,51 \approx 2 \text{ buah}$$

Maka digunakan 2 D16.

- Tulangan Geser Tumpuan dan Lapangan**

Analisis Gaya Dalam

$$q_u = 1583,462 \text{ kg/m}$$

$$L_{balok} = 8 \text{ m}$$

$$\begin{aligned} V_u &= 0,5 \cdot q_u \cdot L_{balok} \\ &= 0,5 \cdot 1583,462 \cdot 8 \cdot 9,81 \\ &= 62.135 \text{ N} \end{aligned}$$

Cek Kebutuhan Tulangan Geser

Berdasarkan SNI 2847:2013 pasal 11.4.6, tulangan geser minimum harus disediakan jika $V_u \geq 0,5\Phi v_c$.

Kondisi 1 :

Jika $V_u \leq 0,5\Phi v_c$ maka tidak diperlukan tulangan geser.

$$\begin{aligned} V_c &= \frac{1}{6} \sqrt{f'c'} bd \\ &= \frac{1}{6} \sqrt{40} \cdot 300 \cdot 342 \\ &= 108149,89 \text{ N} \end{aligned}$$

$$\Phi v_c = 0,75 \times 108149,89 = 81112,42 \text{ N}$$

$$0,5\Phi v_c = 0,5 \times 0,75 \times 108149,89 = 40556,21 \text{ N}$$

$$V_u = 62.135 \text{ N} < 0,5\Phi v_c = 40556,21 \text{ N}$$

Tidak memenuhi, maka dicek pada kondisi 2.

Kondisi 2 :

Jika $0,5\Phi v_c < V_u \leq \Phi v_c$ maka disediakan tulangan geser minimum.

$$V_u = 62.135 \text{ N} < \Phi v_c = 81112,42 \text{ N}$$

Memenuhi.

Jarak Tulangan Geser

Karena $0,5\Phi v_c < V_u \leq \Phi v_c$ maka tulangan geser minimum harus disediakan.

$$V_s = \frac{A_v \cdot f_y \cdot d}{s} \quad (4-17)$$

dimana,

$$A_v = 2\pi d_s^2 = 2\pi \cdot 10^2 = 157,08 \text{ mm}^2$$

$$V_{s \min} = 1/3 \cdot b \cdot d$$

$$\begin{aligned}
 &= 1/3.300.342 \\
 &= 34200 \text{ N} \\
 s &= \frac{A_v.f_y.d}{V_s} = \frac{157,08.400.342}{34200} = 628,32 \text{ mm}
 \end{aligned}$$

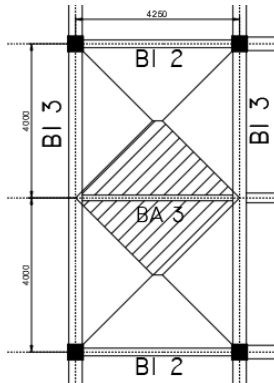
Syarat Jarak Tulangan Geser

Dalam SNI 2847:2013 pasal 11.4.5.1, jarak tulangan geser yang dipasang tegak lurus terhadap komponen struktur tidak boleh melebihi :

$$d/2 = 342/2 = 171 \text{ mm ; dan } s \leq 600\text{mm}$$

Maka digunakan tulangan geser D10-150mm.

4.2.4.2 Balok Anak BA 3



Gambar 4. 26 Luas Tributari BA 3

a) Pembebanan

Beban mati pada pelat lantai :

$$\begin{aligned}
 \text{Pelat} &= 2400 \text{kg/m}^3 \times 0,12 \text{m} = 288 \text{ kg/m}^2 \\
 \text{Penutup lantai} &= 24 \text{ kg/m}^2 \\
 \text{Spesi} &= 21 \text{ kg/m}^2 \\
 \text{Langit-langit} &= 11 \text{ kg/m}^2 \\
 \text{Penggantung langit-langit} &= 7 \text{ kg/m}^2 \\
 \underline{\text{Ducting and plumbing}} &= 25 \text{ kg/m}^2 + \\
 \text{Total (q}_D\text{)} &= 376 \text{ kg/m}^2
 \end{aligned}$$

$$\begin{aligned}
 L_x &= 4 \text{ m} \\
 L_y &= 4,25 \text{ m} \\
 A_{\text{trapesium}} &= (0,25+4) \cdot (4/2) \cdot 0,5 = 4,5 \text{ m}^2 \\
 q_D \text{ lantai} &= 2 \cdot A_{\text{trapesium}} \cdot q_D / L \\
 &= 2,4,5 \cdot 376 / 4,25 \\
 &= 796,23 \text{ kg/m}
 \end{aligned}$$

Berat sendiri balok :

$$\text{Berat balok} = 2400 \text{ kg/m}^3 \times 0,20 \text{ m} \times 0,25 = 120 \text{ kg/m}$$

$$q_D \text{ total} = 796,23 + 120 = 916,235 \text{ kg/m}$$

Beban Hidup :

$$\begin{aligned}
 q_L &= 104,83 \text{ kg/m}^2 \text{ (lantai apartemen)} \\
 q_L \text{ total} &= 2 \cdot A_{\text{trapesium}} \cdot q_L / L \\
 &= 2,4,5 \cdot 104,83 / 4,25 \\
 &= 221,99 \text{ kg/m}
 \end{aligned}$$

Kombinasi Beban :

$$\begin{aligned}
 q_u &= 1,2q_D \text{ total} + 1,6q_L \text{ total} \\
 &= 1,2(916,235) + 1,6(221,99) \\
 &= 1454,67 \text{ kg/m}
 \end{aligned}$$

b) Analisis Gaya Dalam

Koefisien momen yang digunakan mengacu pada SNI 2847:2013 pasal 8.3.3.

$$\begin{aligned}
 \text{Momen tumpuan} (-) &= \frac{1}{10} \cdot q_u \cdot L^2 \\
 &= \frac{1}{10} \cdot 1454,67 \cdot 4,25^2 = 2627,51 \text{ kgm}
 \end{aligned}$$

$$\begin{aligned}
 \text{Momen lapangan} (+) &= \frac{1}{14} \cdot q_u \cdot L^2 \\
 &= \frac{1}{14} \cdot 1454,67 \cdot 4,25^2 = 1876,79 \text{ kgm}
 \end{aligned}$$

c) Penulangan Lentur

$$f'_c = 40 \text{ MPa}$$

$$f_y = 400 \text{ MPa}$$

$$d_b = 16 \text{ mm } (A_s \text{ 1 tul} = 201,062 \text{ mm}^2)$$

$$d_s = 10 \text{ mm } (A_s \text{ 1 tul} = 78,54 \text{ mm}^2)$$

$$\begin{aligned}
 b &= 200 \text{ mm} \\
 h &= 250 \text{ mm} \\
 \text{selimut beton} &= 40 \text{ mm} \\
 d &= h - \text{selimut beton} - d_s - 0,5d_b \\
 &= 250 - 40 - 10 - 0,5 \cdot 16 \\
 &= 192 \text{ mm} \\
 m &= fy/(0,85f'c) = 400/(0,85 \cdot 40) = 11,765
 \end{aligned}$$

Rasio tulangan minimum (ρ_{\min})

Berdasarkan SNI 2847:2013 pasal 10.5.1 rasio tulangan minimum harus disediakan sebesar :

$$\begin{aligned}
 \rho_{\min} &\geq 0,25\sqrt{f'c} / fy \quad \text{dan, } \rho_{\min} \geq 1,4/fy \\
 &\geq 0,25\sqrt{40}/400 \quad \geq 1,4/400 \\
 &\geq 0,00395 \quad \geq 0,004
 \end{aligned}$$

Maka diambil $\rho_{\min} = 0,004$

Rasio tulangan maksimum (ρ_{\max})

Berdasarkan SNI 2847:2013 Lampiran B pasal 10.3.3 rasio tulangan maksimum tidak boleh melebihi $0,75\rho_b$.

$$\begin{aligned}
 \beta_1 &= 0,85 - 0,05 \frac{fc' - 28}{7} = 0,85 - 0,05 \frac{40 - 28}{7} = 0,76 \\
 \rho_b &= \frac{0,85 \cdot fc' \cdot \beta_1}{fy} \left(\frac{600}{600 + fy} \right) = \frac{0,85 \cdot 40 \cdot 0,76}{400} \left(\frac{600}{600 + 400} \right) = 0,0389 \\
 \rho_{\max} &= 0,75 \rho_b = 0,75 \cdot 0,0389 = 0,029
 \end{aligned}$$

- **Tulangan Lentur Negatif Tumpuan**

Rasio tulangan perlu

$$M_{\text{tumpuan}} = 2627,51 \text{ kg m}$$

$$= 25.775.879,40 \text{ N mm}$$

$$\varphi = 0,9 \text{ (diasumsikan beton terkendali tarik)}$$

$$R_n = \frac{Mu}{\varphi bd^2} = \frac{25.775.879,40}{0,9 \cdot 200.192^2} = 3,885 \text{ MPa}$$

$$\rho_{\text{perlu}} = \frac{1}{m} \cdot \left(1 - \sqrt{1 - \frac{2 \cdot m \cdot R_n}{fy}} \right)$$

$$\begin{aligned}
 &= \frac{1}{11,765} \left(1 - \sqrt{1 - \frac{2.11,765.3,885}{400}} \right) \\
 &= 0,010
 \end{aligned}$$

$\rho_{\min} < \rho_{\text{perlu}} < \rho_{\text{maks}}$, maka $\rho = \rho_{\text{perlu}} = 0,010$

Luas tulangan perlu

$$A_s \text{ perlu} = \rho \cdot b \cdot d = 0,010 \cdot 200 \cdot 192 = 397,06 \text{ mm}^2$$

Jumlah tulangan

$$n = A_s \text{ perlu} / A_s \text{ 1 tul} = 397,06 / 201,062 = 1,97 \approx 2 \text{ buah}$$

Luas tulangan aktual **2 D16** = $2 \cdot 201,062 = 402,12 \text{ mm}^2$

Jarak antar tulangan

Syarat $s \geq 25 \text{ mm}$ (SNI 2847:2013 pasal 7.6.1)

$$\begin{aligned}
 s &= \frac{b - 2 \cdot \text{selimut} - 2d_s - n \cdot d_b}{n \cdot \text{tul}-1} = \frac{200 - 2.40 - 2.10 - 2.16}{2-1} \\
 &= 68 \text{ mm (Ok)}
 \end{aligned}$$

Cek asumsi nilai φ

$$a = \frac{As \cdot fy}{0,85 \cdot fc' \cdot b} = \frac{402,12 \cdot 400}{0,85 \cdot 40 \cdot 200} = 23,65$$

$$\beta_1 = 0,85 - 0,05 \frac{fc' - 28}{7} = 0,85 - 0,05 \frac{40 - 28}{7} = 0,76$$

Tinggi area tekan beton, $c = a/\beta_1 = 23,65/0,76 = 30,95$

Regangan tulangan, $\varepsilon_t = 0,003 \cdot (d-c)/c$

$$= 0,003 \cdot (192 - 30,95) / 30,95$$

$$= 0,016 > 0,005$$

(Beton terkendali tarik)

Maka asumsi $\varphi = 0,9$ dapat digunakan.

Cek kemampuan penampang

$$\begin{aligned}
 M_n &= 0,85 f'_c \cdot a \cdot b \left(d - \frac{a}{2} \right) \\
 M_n &= 0,85 \cdot 40.23,65 \cdot 200 \cdot (192 - 23,65/2) \\
 &= 28.980.717,15 \text{ N mm} \\
 \varphi M_n &= 0,9 \times 28.980.717,15 \text{ N mm} \\
 &= 26.082.645,43 \text{ N mm} \\
 \varphi M_n &> M_u = 25.775.879,40 \text{ N mm (Ok)}
 \end{aligned}$$

- **Tulangan Lentur Positif Tumpuan**

$$\begin{aligned}
 A_s \text{ perlu} &= 0,5 \cdot A_s \text{ negatif tumpuan} = 0,5 \cdot 402,12 = 201,062 \text{ mm}^2 \\
 \text{Digunakan D16} \quad (A_{s \text{ tul}} &= 201,062 \text{ mm}^2) \\
 n &= A_s \text{ perlu} / A_{s \text{ tul}} = 201,062 / 201,062 = 1 \text{ buah}
 \end{aligned}$$

Sesuai dengan SNI 2847:2013 pasal 21.2 syarat tulangan lentur untuk balok minimal 2 buah di sisi atas dan bawah. Maka digunakan **2 D16**.

- **Tulangan Lentur Positif Lapangan**

Rasio tulangan perlu

$$\begin{aligned}
 M_{\text{lapangan}} &= 1876,793 \text{ kg m} \\
 &= 18.411.342,42 \text{ N mm} \\
 \varphi &= 0,9 \text{ (diasumsikan beton terkendali tarik)} \\
 R_n &= \frac{Mu}{\varphi bd^2} = \frac{18.411.342,42}{0,9.200.192^2} = 2,775 \text{ MPa} \\
 \rho_{\text{perlu}} &= \frac{1}{m} \cdot \left(1 - \sqrt{1 - \frac{2 \cdot m \cdot R_n}{f_y}} \right) \\
 &= \frac{1}{11,765} \left(1 - \sqrt{1 - \frac{2.11,765.2,775}{400}} \right) \\
 &= 0,007
 \end{aligned}$$

$\rho_{\min} < \rho_{\text{perlu}} < \rho_{\max}$, maka $\rho = \rho_{\text{perlu}} = 0,007$

Luas tulangan perlu

$$A_s \text{ perlu} = \rho \cdot b \cdot d = 0,007 \cdot 200 \cdot 192 = 278,23 \text{ mm}^2$$

Jumlah tulangan

$$n = A_{s \text{ perlu}} / A_{s \text{ 1 tul}} = 278,23 / 201,062 = 1,38 \approx 2 \text{ buah}$$

$$\text{Luas tulangan aktual } 2 \text{ D16} = 2 \cdot 201,062 = 402,12 \text{ mm}^2$$

Jarak antar tulangan

Syarat $s \geq 25\text{mm}$

$$s = \frac{b - 2 \cdot \text{selimut} - 2d_s - n \cdot d_b}{n \cdot \text{tul}-1} = \frac{200 - 2.40 - 2.10 - 2.16}{2-1} \\ = 68 \text{ mm (Ok)}$$

Cek asumsi nilai } \varphi

$$a = \frac{As \cdot fy}{0,85 \cdot fc' \cdot b} = \frac{402,12 \cdot 400}{0,85 \cdot 40 \cdot 200} = 23,65$$

$$\beta_1 = 0,85 - 0,05 \frac{fc' - 28}{7} = 0,85 - 0,05 \frac{40 - 28}{7} = 0,76$$

Tinggi area tekan beton, $c = a/\beta_1 = 23,65/0,76 = 30,95$

$$\text{Regangan tulangan, } \varepsilon_t = 0,003 \cdot (d-c)/c \\ = 0,003 \cdot (192-30,95)/30,95 \\ = 0,016 > 0,005 \\ (\text{Beton terkendali tarik})$$

Maka asumsi $\varphi = 0,9$ dapat digunakan.

Cek kemampuan penampang

$$M_n = 0,85 f' c \cdot a \cdot b \left(d - \frac{a}{2}\right)$$

$$M_n = 0,85 \cdot 40 \cdot 23,65 \cdot 200 \cdot (192 - \frac{23,65}{2}) \\ = 28.980.717,15 \text{ N mm}$$

$$\varphi M_n = 0,9 \times 28.980.717,15 \text{ N mm} \\ = 26.082.645,43 \text{ N mm}$$

$$\varphi M_n > M_u = 18.411.342,42 \text{ N mm (Ok)}$$

- Tulangan Lentur Negatif Lapangan

$$A_{s \text{ perlu}} = 0,5 \cdot A_{s \text{ positif lapangan}} \\ = 0,5 \cdot 402,12 \\ = 201,062 \text{ mm}^2$$

Digunakan D16 ($A_{s \text{ 1 tul}} = 201,062 \text{ mm}^2$)

$$n = A_{s \text{ perlu}} / A_{s \text{ 1 tul}} = 201,062 / 201,062 = 1 \text{ buah}$$

Sesuai dengan SNI 2847:2013 pasal 21.2 syarat tulangan lentur untuk balok minimal 2 buah di sisi atas dan bawah. Maka digunakan **2 D16**.

- **Tulangan Geser Tumpuan dan Lapangan**

Analisis Gaya Dalam

$$\begin{aligned} q_u &= 1454,67 \text{ kg/m} \\ L_{\text{balok}} &= 4,25 \text{ m} \\ V_u &= 0,5 \cdot q_u \cdot L_{\text{balok}} \\ &= 0,5 \cdot 1454,67 \cdot 4,25 \cdot 9,81 \\ &= 30.325 \text{ N} \end{aligned}$$

Cek Kebutuhan Tulangan Geser

Berdasarkan SNI 2847:2013 pasal 11.4.6, tulangan geser minimum harus disediakan jika $V_u \geq 0,5\Phi v_c$.

Kondisi 1 :

Jika $V_u \leq 0,5\Phi v_c$ maka tidak diperlukan tulangan geser.

$$\begin{aligned} V_c &= \frac{1}{6} \sqrt{f c' b d} \\ &= \frac{1}{6} \sqrt{40} \cdot 300 \cdot 192 \\ &= 40477,15 \text{ N} \end{aligned}$$

$$\Phi v_c = 0,75 \times 40477,15 = 30357,86 \text{ N}$$

$$0,5\Phi v_c = 0,5 \times 0,75 \times 40477,15 = 15178,93 \text{ N}$$

$$V_u = 30.325 \text{ N} < 0,5\Phi v_c = 15178,93 \text{ N}$$

Tidak memenuhi, maka dicek pada kondisi 2.

Kondisi 2 :

Jika $0,5\Phi v_c < V_u \leq \Phi v_c$ maka disediakan tulangan geser minimum.

$$V_u = 30.325 \text{ N} < \Phi v_c = 30357,86 \text{ N}$$

Memenuhi.

Jarak Tulangan Geser

Karena $0,5\Phi v_c < V_u \leq \Phi v_c$ maka tulangan geser minimum harus disediakan.

$$V_s = \frac{A_v f_y d}{s} \quad (4- 18)$$

dimana,

$$A_v = 2\pi d_s^2 = 2 \cdot \pi \cdot 10^2 = 157,08 \text{ mm}^2$$

$$V_{s \min} = 1/3 \cdot b \cdot d$$

$$= 1/3 \cdot 300 \cdot 192$$

$$= 12800 \text{ N}$$

$$s = \frac{A_v \cdot f_y \cdot d}{V_s} = \frac{157,08 \cdot 400 \cdot 192}{12800} = 942,47 \text{ mm}$$

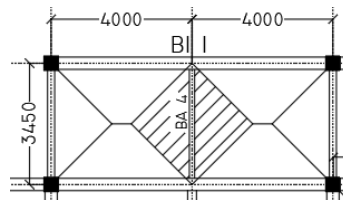
Syarat Jarak Tulangan Geser

Dalam SNI 2847:2013 pasal 11.4.5.1, jarak tulangan geser yang dipasang tegak lurus terhadap komponen struktur tidak boleh melebihi :

$$d/2 = 192/2 = 96 \text{ mm} ; \text{ dan } s \leq 600 \text{ mm}$$

Maka digunakan tulangan geser D10-90 mm.

4.2.4.3 Balok Anak BA 4



Gambar 4. 27 Laus Tributari BA 4

- d) Pembebanan

Beban mati pada pelat lantai :

$$\text{Pelat} = 2400 \text{ kg/m}^3 \times 0,12 \text{ m} = 288 \text{ kg/m}^2$$

$$\text{Penutup lantai} = 24 \text{ kg/m}^2$$

$$\text{Spesi} = 21 \text{ kg/m}^2$$

$$\text{Langit-langit} = 11 \text{ kg/m}^2$$

$$\text{Penggantung langit-langit} = 7 \text{ kg/m}^2$$

$$\underline{\text{Ducting and plumbing}} = 25 \text{ kg/m}^2 +$$

$$\text{Total (q}_D\text{)} = 376 \text{ kg/m}^2$$

$$L_x = 3,45 \text{ m}$$

$$L_y = 4,00 \text{ m}$$

$$A_{\text{segitiga}} = 0,5 \cdot 3,45 \cdot (3,45/2)$$

$$\begin{aligned}
 &= 2,97 \text{ m}^2 \\
 q_{D \text{ lantai}} &= 2 \cdot A_{\text{segitiga}} \cdot q_D / L \\
 &= 2,297 \cdot 3,76 / 3,45 \\
 &= 648,6 \text{ kg/m}
 \end{aligned}$$

Berat sendiri balok :

$$\text{Berat balok} = 2400 \text{ kg/m}^3 \times 0,20 \text{ m} \times 0,25 = 120 \text{ kg/m}$$

$$q_{D \text{ total}} = 864,8 + 120 = 984,8 \text{ kg/m}$$

Beban Hidup :

$$\begin{aligned}
 q_L &= 104,83 \text{ kg/m}^2 \text{ (lantai apartemen)} \\
 q_{L \text{ total}} &= 2 \cdot A_{\text{segitiga}} \cdot q_L / L \\
 &= 2 \cdot 2,97 \cdot 104,83 / 3,45 \\
 &= 180,83 \text{ kg/m}
 \end{aligned}$$

Kombinasi Beban :

$$\begin{aligned}
 q_u &= 1,2q_D + 1,6q_L = 1,2(648,6) + 1,6(180,83) \\
 &= 1211,65 \text{ kg/m}
 \end{aligned}$$

e) Analisis Gaya Dalam

Koefisien momen yang digunakan mengacu pada SNI 2847:2013 pasal 8.3.3.

$$\begin{aligned}
 \text{Momen tumpuan} (-) &= \frac{1}{10} \cdot q_u \cdot L^2 \\
 &= \frac{1}{10} \cdot 1211,65 \cdot 3,45^2 = 1442,17 \text{ kgm}
 \end{aligned}$$

$$\begin{aligned}
 \text{Momen lapangan} (+) &= \frac{1}{14} \cdot q_u \cdot L^2 \\
 &= \frac{1}{14} \cdot 1211,65 \cdot 3,45^2 = 1030,12 \text{ kgm}
 \end{aligned}$$

f) Penulangan Lentur

$$f'c = 40 \text{ MPa}$$

$$fy = 400 \text{ MPa}$$

$$d_b = 16 \text{ mm } (A_{s1 \text{ tul}} = 201,06 \text{ mm}^2)$$

$$d_s = 10 \text{ mm } (A_{s1 \text{ tul}} = 78,54 \text{ mm}^2)$$

$$\begin{aligned}
 b &= 200 \text{ mm} \\
 h &= 250 \text{ mm} \\
 \text{selimut beton} &= 40 \text{ mm} \\
 d &= h - \text{selimut beton} - d_s - 0,5d_b \\
 &= 250 - 40 - 10 - 0,5 \cdot 16 \\
 &= 192 \text{ mm} \\
 m &= f_y/(0,85f'_c) = 400/(0,85 \cdot 40) = 11,765
 \end{aligned}$$

Rasio tulangan minimum (ρ_{\min})

Berdasarkan SNI 2847:2013 pasal 10.5.1 rasio tulangan minimum harus disediakan sebesar :

$$\begin{aligned}
 \rho_{\min} &\geq 0,25\sqrt{f'_c c} / f_y \quad \text{dan, } \rho_{\min} \geq 1,4/f_y \\
 &\geq 0,25\sqrt{40} / 400 \quad \geq 1,4/400 \\
 &\geq 0,00395 \quad \geq 0,004
 \end{aligned}$$

Maka diambil $\rho_{\min} = 0,004$

Rasio tulangan maksimum (ρ_{\max})

Berdasarkan SNI 2847:2013 Lampiran B pasal 10.3.3 rasio tulangan maksimum tidak boleh melebihi $0,75\rho_b$.

$$\begin{aligned}
 \beta_1 &= 0,85 - 0,05 \frac{fc' - 28}{7} = 0,85 - 0,05 \frac{40 - 28}{7} = 0,76 \\
 \rho_b &= \frac{0,85 \cdot fc' \cdot \beta_1}{f_y} \left(\frac{600}{600 + f_y} \right) = \frac{0,85 \cdot 40 \cdot 0,76}{400} \left(\frac{600}{600 + 400} \right) = 0,0389 \\
 \rho_{\max} &= 0,75 \rho_b = 0,75 \cdot 0,0389 = 0,029
 \end{aligned}$$

- **Tulangan Lentur Negatif Tumpuan**

Rasio tulangan perlu

$$\begin{aligned}
 M_{\text{tumpuan}} &= 1442,17 \text{ kg m} \\
 &= 14.147.719,99 \text{ N mm} \\
 \varphi &= 0,9 \text{ (diasumsikan beton terkendali tarik)} \\
 R_n &= \frac{Mu}{\varphi bd^2} = \frac{14.147.719,99}{0,9 \cdot 200 \cdot 192^2} = 2,132 \text{ MPa} \\
 \rho_{\text{perlu}} &= \frac{1}{m} \cdot \left(1 - \sqrt{1 - \frac{2 \cdot m \cdot R_n}{f_y}} \right)
 \end{aligned}$$

$$= \frac{1}{11,765} \left(1 - \sqrt{1 - \frac{2.11,765.2,132}{400}} \right) \\ = 0,006$$

$\rho_{\min} < \rho_{\text{perlu}} < \rho_{\text{maks}}$, maka $\rho = \rho_{\text{perlu}} = 0,006$

Luas tulangan perlu

$$A_s \text{ perlu} = \rho \cdot b \cdot d = 0,006 \cdot 200 \cdot 192 = 211,53 \text{ mm}^2$$

Jumlah tulangan

$$n = A_s \text{ perlu} / A_s \text{ 1 tul} = 211,53 / 201,06 = 1,052 \approx 2 \text{ buah}$$

Luas tulangan aktual **2 D16** = $2 \cdot 201,06 = 402,12 \text{ mm}^2$

Jarak antar tulangan

Syarat $s \geq 25\text{mm}$

$$s = \frac{b - 2 \cdot \text{selimut} - 2d_s - n \cdot d_b}{n \text{ tul} - 1} = \frac{200 - 2 \cdot 40 - 2 \cdot 10 - 2 \cdot 16}{2 - 1} \\ = 68 \text{ mm (Ok)}$$

Cek asumsi nilai φ

$$a = \frac{As \cdot fy}{0,85 \cdot fc' \cdot b} = \frac{402,12 \cdot 400}{0,85 \cdot 40 \cdot 200} = 23,65$$

$$\beta_1 = 0,85 - 0,05 \frac{fc' - 28}{7} = 0,85 - 0,05 \frac{40 - 28}{7} = 0,76$$

Tinggi area tekan beton, $c = a/\beta_1 = 23,65/0,76 = 30,95$

Regangan tulangan, $\epsilon_t = 0,003 \cdot (d - c)/c$

$$= 0,003 \cdot (192 - 30,95)/30,95$$

$$= 0,0156 > 0,005$$

(Beton terkendali tarik)

Maka asumsi $\varphi = 0,9$ dapat digunakan.

Cek kemampuan penampang

$$M_n = 0,85 f'_c \cdot a \cdot b \left(d - \frac{a}{2} \right)$$

$$\begin{aligned}
 M_n &= 0,85 \cdot 40 \cdot 23,65 \cdot 200 \cdot (192 - \frac{23,65}{2}) \\
 &= 28.980.717,15 \text{ N mm} \\
 \varphi M_n &= 0,9 \times 28.980.717,15 \text{ N mm} \\
 &= 26.082.645,43 \text{ N mm} \\
 \varphi M_n &> M_u = 14.147.719,99 \text{ N mm (Ok)}
 \end{aligned}$$

- **Tulangan Lentur Positif Tumpuan**

$$\begin{aligned}
 A_s \text{ perlu} &= 0,5 \cdot A_s \text{ negatif tumpuan} = 0,5 \cdot 402,12 = 201,06 \text{ mm}^2 \\
 \text{Digunakan D16} (A_s \text{ tul}) &= 201,06 \text{ mm}^2 \\
 n = A_s \text{ perlu}/A_s \text{ tul} &= 201,06 / 201,06 = 1 \text{ buah}
 \end{aligned}$$

Sesuai dengan SNI 2847:2013 pasal 21.2 syarat tulangan lentur untuk balok minimal 2 buah di sisi atas dan bawah. Maka digunakan **2 D16**.

- **Tulangan Lentur Positif Lapangan**

Rasio tulangan perlu

$$\begin{aligned}
 M_{\text{lapangan}} &= 1030,12 \text{ kg m} \\
 &= 10.105.514,28 \text{ N mm} \\
 \varphi &= 0,9 \text{ (diasumsikan beton terkendali tarik)} \\
 R_n &= \frac{M_u}{\varphi b d^2} = \frac{10.105.514,28}{0,9 \cdot 200 \cdot 192^2} = 1,523 \text{ MPa} \\
 \rho_{\text{perlu}} &= \frac{1}{m} \cdot \left(1 - \sqrt{1 - \frac{2 \cdot m \cdot R_n}{f_y}} \right) \\
 &= \frac{1}{11,765} \left(1 - \sqrt{1 - \frac{2 \cdot 11,765 \cdot 1,523}{400}} \right) \\
 &= 0,0039
 \end{aligned}$$

$$\rho_{\min} > \rho_{\text{perlu}}, \text{ maka } \rho = \rho_{\min} = 0,004$$

Luas tulangan perlu

$$A_s \text{ perlu} = \rho \cdot b \cdot d = 0,004 \cdot 200 \cdot 192 = 151,78 \text{ mm}^2$$

Jumlah tulangan

$$n = A_s \text{ perlu}/A_s \text{ tul} = 151,78 / 201,06 = 0,76 \approx 1 \text{ buah}$$

Sesuai dengan SNI 2847:2013 pasal 21.2 syarat tulangan lentur untuk balok minimal 2 buah di sisi atas dan bawah. Maka digunakan 2 D16.

$$\text{Luas tulangan aktual } 2 \text{ D16} = 2.210,06 = 402,12 \text{ mm}^2$$

Jarak antar tulangan

Syarat $s \geq 25\text{mm}$

$$s = \frac{b - 2 \cdot \text{selimut} - 2d_s - n \cdot d_b}{n \cdot \text{tul}-1} = \frac{200 - 2.40 - 2.10 - 2.16}{2-1} \\ = 68 \text{ mm (Ok)}$$

Cek asumsi nilai ϕ

$$a = \frac{As \cdot fy}{0,85 \cdot fc' \cdot b} = \frac{402,12 \cdot 400}{0,85 \cdot 40.200} = 23,65$$

$$\beta_1 = 0,85 - 0,05 \frac{fc' - 28}{7} = 0,85 - 0,05 \frac{40 - 28}{7} = 0,76$$

Tinggi area tekan beton, $c = a/\beta_1 = 23,65/0,76 = 30,95$

Regangan tulangan, $\epsilon_t = 0,003.(d-c)/c$

$$= 0,003.(189-30,95)/30,95$$

$$= 0,0153 > 0,005$$

(Beton terkendali tarik)

Maka asumsi $\phi = 0,9$ dapat digunakan.

Cek kemampuan penampang

$$M_n = 0,85 f'_c \cdot a \cdot b \left(d - \frac{a}{2} \right)$$

$$M_n = 0,85 \cdot 40.23,65.200.(192 - \frac{23,65}{2})$$

$$= 28.980.717,15 \text{ N mm}$$

$$\phi M_n = 0,9 \times 28.980.717,15 \text{ N mm}$$

$$= 26.082.645,43 \text{ N mm}$$

$$\phi M_n > M_u = 10.105.514,28 \text{ N mm (Ok)}$$

- Tulangan Lentur Negatif Lapangan

$$A_s \text{ perlu} = 0,5 \cdot A_s \text{ positif lapangan} = 0,5 \cdot 402,12 = 201,06 \text{ mm}^2$$

Digunakan D16 ($A_{s1 \text{ tul}} = 201,06 \text{ mm}^2$)

$$n = A_s \text{ perlu} / A_{s1 \text{ tul}} = 201,06 / 201,06 = 1 \text{ buah}$$

Sesuai dengan SNI 2847:2013 pasal 21.2 syarat tulangan lentur untuk balok minimal 2 buah di sisi atas dan bawah. Maka digunakan **2 D16**.

- **Tulangan Geser Tumpuan dan Lapangan**

Analisis Gaya Dalam

$$\begin{aligned}
 q_u &= 1211,65 \text{ kg/m} \\
 L_{\text{balok}} &= 3,45 \text{ m} \\
 V_u &= 0,5 \cdot q_u \cdot L_{\text{balok}} \\
 &= 0,5 \cdot 1211,65 \cdot 3,45 \cdot 9,81 \\
 &= 20.504 \text{ N}
 \end{aligned}$$

Cek Kebutuhan Tulangan Geser

Berdasarkan SNI 2847:2013 pasal 11.4.6, tulangan geser minimum harus disediakan jika $V_u \geq 0,5\Phi v_c$.

Kondisi 1 :

Jika $V_u \leq 0,5\Phi v_c$ maka tidak diperlukan tulangan geser.

$$\begin{aligned}
 V_c &= \frac{1}{6} \sqrt{fc'} bd \\
 &= \frac{1}{6} \sqrt{40} \cdot 300 \cdot 192 \\
 &= 40477,15 \text{ N}
 \end{aligned}$$

$$\Phi v_c = 0,75 \times 40477,15 = 30357,86 \text{ N}$$

$$0,5\Phi v_c = 0,5 \times 0,75 \times 40477,15 = 15178,93 \text{ N}$$

$$V_u = 30.325 \text{ N} < 0,5\Phi v_c = 15178,93 \text{ N}$$

Tidak memenuhi, maka dicek pada kondisi 2.

Kondisi 2 :

Jika $0,5\Phi v_c < V_u \leq \Phi v_c$ maka disediakan tulangan geser minimum.

$$V_u = 30.325 \text{ N} < \Phi v_c = 30357,86 \text{ N}$$

Memenuhi.

Jarak Tulangan Geser

Karena $0,5\Phi v_c < V_u \leq \Phi v_c$ maka tulangan geser minimum harus disediakan.

$$V_s = \frac{A_v \cdot f_y \cdot d}{s} \quad (4-19)$$

dimana,

$$\begin{aligned} A_v &= 2\pi d_s^2 = 2\pi \cdot 10^2 = 157,08 \text{ mm}^2 \\ V_{s \min} &= 1/3 \cdot b \cdot d \\ &= 1/3 \cdot 300 \cdot 192 \\ &= 12800 \text{ N} \\ s &= \frac{A_v \cdot f_y \cdot d}{V_s} = \frac{157,08 \cdot 400 \cdot 192}{12800} = 942,47 \text{ mm} \end{aligned}$$

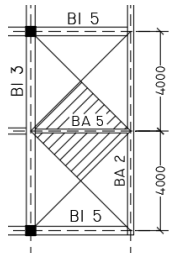
Syarat Jarak Tulangan Geser

Dalam SNI 2847:2013 pasal 11.4.5.1, jarak tulangan geser yang dipasang tegak lurus terhadap komponen struktur tidak boleh melebihi :

$$d/2 = 192/2 = 96 \text{ mm}; \text{ dan } s \leq 600 \text{ mm}$$

Maka digunakan tulangan geser D10-90 mm.

4.2.4.4 Balok Anak BA 5



Gambar 4.28 Luas Tributari BA 5

d) Pembebatan

Beban mati pada pelat lantai :

$$\begin{aligned} \text{Pelat} &= 2400 \text{ kg/m}^3 \times 0,12 \text{ m} = 288 \text{ kg/m}^2 \\ \text{Penutup lantai} &= 24 \text{ kg/m}^2 \\ \text{Spesi} &= 21 \text{ kg/m}^2 \\ \text{Langit-langit} &= 11 \text{ kg/m}^2 \\ \text{Penggantung langit-langit} &= 7 \text{ kg/m}^2 \\ \text{Ducting and plumbing} &= 25 \text{ kg/m}^2 + \\ \text{Total (q}_D\text{)} &= 376 \text{ kg/m}^2 \end{aligned}$$

$$\begin{aligned}
 L_x &= 4 \text{ m} \\
 L_y &= 4\text{m} \\
 A_{\text{segitiga}} &= 0,5 \cdot 4(4/2) = 4 \text{ m}^2 \\
 q_D \text{ lantai} &= 2 \cdot A_{\text{segitiga}} \cdot q_D / L \\
 &= 2 \cdot 4 \cdot 376 / 4 \\
 &= 752 \text{ kg/m}
 \end{aligned}$$

Berat sendiri balok :

$$\text{Berat balok} = 2400 \text{ kg/m}^3 \times 0,20 \text{ m} \times 0,25 = 120 \text{ kg/m}$$

$$q_D \text{ total} = 752 + 120 = 872 \text{ kg/m}$$

Beban Hidup :

$$\begin{aligned}
 q_L &= 104,83 \text{ kg/m}^2 \text{ (lantai apartemen)} \\
 q_L \text{ total} &= 2 \cdot A_{\text{segitiga}} \cdot q_L / L \\
 &= 2 \cdot 4 \cdot 104,83 / 4 \\
 &= 209,66 \text{ kg/m}
 \end{aligned}$$

Kombinasi Beban :

$$\begin{aligned}
 q_u &= 1,2q_D + 1,6q_L = 1,2(752) + 1,6(209,66) \\
 &= 1381,86 \text{ kg/m}
 \end{aligned}$$

e) Analisis Gaya Dalam

Koefisien momen yang digunakan mengacu pada SNI 2847:2013 pasal 8.3.3.

$$\begin{aligned}
 \text{Momen tumpuan (-)} &= \frac{1}{10} \cdot q_u \cdot L^2 \\
 &= \frac{1}{10} \cdot 1381,86 \cdot 4^2 = 2210,97 \text{ kgm}
 \end{aligned}$$

$$\begin{aligned}
 \text{Momen lapangan (+)} &= \frac{1}{14} \cdot q_u \cdot L^2 \\
 &= \frac{1}{14} \cdot 1381,86 \cdot 4^2 = 1579,27 \text{ kgm}
 \end{aligned}$$

f) Penulangan Lentur

$$f'c = 40 \text{ MPa}$$

$$f_y = 400 \text{ MPa}$$

$$d_b = 16 \text{ mm } (A_s \text{ tul} = 201,062 \text{ mm}^2)$$

$$d_s = 10 \text{ mm } (A_s \text{ tul} = 78,54 \text{ mm}^2)$$

$$b = 200 \text{ mm}$$

$$h = 250 \text{ mm}$$

$$\text{selimut beton} = 40 \text{ mm}$$

$$d = h - \text{selimut beton} - d_s - 0,5d_b$$

$$= 250 - 40 - 10 - 0,5 \cdot 16$$

$$= 192 \text{ mm}$$

$$m = f_y/(0,85f'_c) = 400/(0,85 \cdot 40) = 11,765$$

Rasio tulangan minimum (ρ_{\min})

Berdasarkan SNI 2847:2013 pasal 10.5.1 rasio tulangan minimum harus disediakan sebesar :

$$\begin{aligned} \rho_{\min} &\geq 0,25\sqrt{f'_c c} / f_y \quad \text{dan, } \rho_{\min} \geq 1,4/f_y \\ &\geq 0,25\sqrt{40} / 400 \quad \geq 1,4/400 \\ &\geq 0,00395 \quad \geq 0,004 \end{aligned}$$

Maka diambil $\rho_{\min} = 0,004$

Rasio tulangan maksimum (ρ_{\max})

Berdasarkan SNI 2847:2013 Lampiran B pasal 10.3.3 rasio tulangan maksimum tidak boleh melebihi $0,75\rho_b$.

$$\beta_1 = 0,85 - 0,05 \frac{fc' - 28}{7} = 0,85 - 0,05 \frac{40 - 28}{7} = 0,76$$

$$\rho_b = \frac{0,85 \cdot fc' \cdot \beta_1}{f_y} \left(\frac{600}{600 + f_y} \right) = \frac{0,85 \cdot 40 \cdot 0,76}{400} \left(\frac{600}{600 + 400} \right) = 0,0389$$

$$\rho_{\max} = 0,75 \rho_b = 0,75 \cdot 0,0389 = 0,029$$

- **Tulangan Lentur Negatif Tumpuan**

Rasio tulangan perlu

$$M_{\text{tumpuan}} = 2.210,97 \text{ kg m}$$

$$= 21.689,702,4 \text{ N mm}$$

$$\varphi = 0,9 \text{ (diasumsikan beton terkendali tarik)}$$

$$R_n = \frac{Mu}{\varphi bd^2} = \frac{21.689.702,4}{0,9 \cdot 200 \cdot 192^2} = 3,269 \text{ MPa}$$

$$\rho_{\text{perlu}} = \frac{1}{m} \cdot \left(1 - \sqrt{1 - \frac{2 \cdot m \cdot R_n}{f_y}} \right)$$

$$\begin{aligned}
 &= \frac{1}{11,765} \left(1 - \sqrt{1 - \frac{2.11,765.3,269}{400}} \right) \\
 &= 0,009
 \end{aligned}$$

$\rho_{\min} < \rho_{\text{perlu}} < \rho_{\text{maks}}$, maka $\rho = \rho_{\text{perlu}} = 0,009$

Luas tulangan perlu

$$A_s \text{ perlu} = \rho \cdot b \cdot d = 0,009 \cdot 200 \cdot 192 = 330,534 \text{ mm}^2$$

Jumlah tulangan

$$n = A_s \text{ perlu} / A_s \text{ 1 tul} = 330,534 / 201,062 = 1,64 \approx 2 \text{ buah}$$

Luas tulangan aktual **2 D16** = $2 \cdot 201,062 = 402,12 \text{ mm}^2$

Jarak antar tulangan

Syarat $s \geq 25 \text{ mm}$

$$\begin{aligned}
 s &= \frac{b - 2 \cdot \text{selimut} - 2d_s - n \cdot d_b}{n \cdot \text{tul} - 1} = \frac{200 - 2.40 - 2.10 - 2.16}{2 - 1} \\
 &= 68 \text{ mm (Ok)}
 \end{aligned}$$

Cek asumsi nilai φ

$$a = \frac{As \cdot fy}{0,85 \cdot fc' \cdot b} = \frac{402,12 \cdot 400}{0,85 \cdot 40 \cdot 200} = 23,65$$

$$\beta_1 = 0,85 - 0,05 \frac{fc' - 28}{7} = 0,85 - 0,05 \frac{40 - 28}{7} = 0,76$$

Tinggi area tekan beton, $c = a / \beta_1 = 23,65 / 0,76 = 30,95$

Regangan tulangan, $\varepsilon_t = 0,003 \cdot (d - c) / c$

$$= 0,003 \cdot (192 - 30,95) / 30,95$$

$$= 0,0156 > 0,005$$

(Beton terkendali tarik)

Maka asumsi $\varphi = 0,9$ dapat digunakan.

Cek kemampuan penampang

$$M_n = 0,85 f'_c \cdot a \cdot b \left(d - \frac{a}{2} \right)$$

$$\begin{aligned}
 M_n &= 0,85 \cdot 40 \cdot 23,65 \cdot 200 \cdot (192 - \frac{23,65}{2}) \\
 &= 28.980.717,15 \text{ N mm} \\
 \varphi M_n &= 0,9 \times 28.980.717,15 \text{ N mm} \\
 &= 26.082.645,43 \text{ N mm} \\
 \varphi M_n &> M_u = 21.689.702,4 \text{ N mm (Ok)}
 \end{aligned}$$

- **Tulangan Lentur Positif Tumpuan**

$$\begin{aligned}
 A_s \text{ perlu} &= 0,5 \cdot A_s \text{ negatif tumpuan} = 0,5 \cdot 402,12 = 201,06 \text{ mm}^2 \\
 \text{Digunakan D16} \quad (A_{s \text{ tul}} &= 201,06 \text{ mm}^2) \\
 n &= A_s \text{ perlu} / A_{s \text{ tul}} = 201,06 / 201,06 = 1 \text{ buah}
 \end{aligned}$$

Sesuai dengan SNI 2847:2013 pasal 21.2 syarat tulangan lentur untuk balok minimal 2 buah di sisi atas dan bawah. Maka digunakan **2 D16**.

- **Tulangan Lentur Positif Lapangan**

Rasio tulangan perlu

$$\begin{aligned}
 M_{\text{lapangan}} &= 1579,27 \text{ kg m} \\
 &= 15.492.644,57 \text{ N mm} \\
 \varphi &= 0,9 \text{ (diasumsikan beton terkendali tarik)} \\
 R_n &= \frac{M_u}{\varphi b d^2} = \frac{15.492.644,57}{0,9 \cdot 200 \cdot 192^2} = 2,335 \text{ MPa} \\
 \rho_{\text{perlu}} &= \frac{1}{m} \cdot \left(1 - \sqrt{1 - \frac{2 \cdot m \cdot R_n}{f_y}} \right) \\
 &= \frac{1}{11,765} \left(1 - \sqrt{1 - \frac{2.11,765.2,335}{400}} \right) \\
 &= 0,006
 \end{aligned}$$

$$\rho_{\min} < \rho_{\text{perlu}} < \rho_{\max}, \text{ maka } \rho = \rho_{\text{perlu}} = 0,006$$

Luas tulangan perlu

$$A_s \text{ perlu} = \rho \cdot b \cdot d = 0,006 \cdot 200 \cdot 192 = 232,42 \text{ mm}^2$$

Jumlah tulangan

$$n = A_{s \text{ perlu}} / A_{s \text{ 1 tul}} = 232,42 / 201,062 = 1,16 \approx 2 \text{ buah}$$

$$\text{Luas tulangan aktual } 2 \mathbf{D16} = 2.201,062 = 402,12 \text{ mm}^2$$

Jarak antar tulangan

Syarat $s \geq 25\text{mm}$

$$s = \frac{b - 2 \cdot \text{selimut} - 2d_s - n \cdot d_b}{n \cdot \text{tul} - 1} = \frac{200 - 2.40 - 2.10 - 2.16}{2 - 1} \\ = 68 \text{ mm (Ok)}$$

Cek asumsi nilai ϕ

$$a = \frac{As \cdot fy}{0,85 \cdot fc' \cdot b} = \frac{402,12 \cdot 400}{0,85 \cdot 40 \cdot 200} = 23,65$$

$$\beta_1 = 0,85 - 0,05 \frac{fc' - 28}{7} = 0,85 - 0,05 \frac{40 - 28}{7} = 0,76$$

$$\text{Tinggi area tekan beton, } c = a / \beta_1 = 23,65 / 0,76 = 30,95$$

$$\begin{aligned} \text{Regangan tulangan, } \varepsilon_t &= 0,003 \cdot (d - c) / c \\ &= 0,003 \cdot (192 - 30,95) / 30,95 \\ &= 0,0156 > 0,005 \end{aligned}$$

(Beton terkendali tarik)

Maka asumsi $\phi = 0,9$ dapat digunakan.

Cek kemampuan penampang

$$M_n = 0,85 f'_c \cdot a \cdot b \left(d - \frac{a}{2} \right)$$

$$\begin{aligned} M_n &= 0,85 \cdot 40 \cdot 23,65 \cdot 200 \cdot (192 - 23,65 / 2) \\ &= 28.980.717,15 \text{ N mm} \end{aligned}$$

$$\begin{aligned} \phi M_n &= 0,9 \times 28.980.717,15 \text{ N mm} \\ &= 26.082.645,43 \text{ N mm} \end{aligned}$$

$$\phi M_n > M_u = 15.492.644,57 \text{ N mm (Ok)}$$

- Tulangan Lentur Negatif Lapangan**

$$A_{s \text{ perlu}} = 0,5 \cdot A_{s \text{ positif lapangan}} = 0,5 \cdot 402,12 = 201,06 \text{ mm}^2$$

Digunakan D16 ($A_{s \text{ 1 tul}} = 201,06 \text{ mm}^2$)

$$n = A_{s \text{ perlu}} / A_{s \text{ 1 tul}} = 201,06 / 201,06 = 1 \text{ buah}$$

Sesuai dengan SNI 2847:2013 pasal 21.2 syarat tulangan lentur untuk balok minimal 2 buah di sisi atas dan bawah. Maka digunakan **2 D16**.

- **Tulangan Geser Tumpuan dan Lapangan**

Analisis Gaya Dalam

$$\begin{aligned} q_u &= 1381,86 \text{ kg/m} \\ L_{\text{balok}} &= 4 \text{ m} \\ V_u &= 0,5 \cdot q_u \cdot L_{\text{balok}} \\ &= 0,5 \cdot 1381,86 \cdot 4,9,81 \\ &= 27.112 \text{ N} \end{aligned}$$

Cek Kebutuhan Tulangan Geser

Berdasarkan SNI 2847:2013 pasal 11.4.6, tulangan geser minimum harus disediakan jika $V_u \geq 0,5\Phi v_c$.

Kondisi 1 :

Jika $V_u \leq 0,5\Phi v_c$ maka tidak diperlukan tulangan geser.

$$\begin{aligned} V_c &= \frac{1}{6} \sqrt{f c' b d} \\ &= \frac{1}{6} \sqrt{40 \cdot 300.192} \\ &= 40477,15 \text{ N} \end{aligned}$$

$$\Phi v_c = 0,75 \times 40477,15 = 30357,86 \text{ N}$$

$$0,5\Phi v_c = 0,5 \times 0,75 \times 40477,15 = 15178,93 \text{ N}$$

$$V_u = 27.112 \text{ N} < 0,5\Phi v_c = 15178,93 \text{ N}$$

Tidak memenuhi, maka dicek pada kondisi 2.

Kondisi 2 :

Jika $0,5\Phi v_c < V_u \leq \Phi v_c$ maka disediakan tulangan geser minimum.

$$V_u = 27.112 \text{ N} < \Phi v_c = 30357,86 \text{ N}$$

Memenuhi.

Jarak Tulangan Geser

Karena $0,5\Phi v_c < V_u \leq \Phi v_c$ maka tulangan geser minimum harus disediakan.

$$V_s = \frac{A_v \cdot f_y \cdot d}{s} \quad (4-20)$$

dimana,

$$A_v = 2\pi d_s^2 = 2\pi \cdot 10^2 = 157,08 \text{ mm}^2$$

$$V_{s \min} = 1/3 \cdot b \cdot d$$

$$= 1/3 \cdot 300 \cdot 192$$

$$= 12800 \text{ N}$$

$$s = \frac{A_v \cdot f_y \cdot d}{V_s} = \frac{157,08 \cdot 400 \cdot 192}{12800} = 942,47 \text{ mm}$$

Syarat Jarak Tulangan Geser

Dalam SNI 2847:2013 pasal 11.4.5.1, jarak tulangan geser yang dipasang tegak lurus terhadap komponen struktur tidak boleh melebihi :

$$d/2 = 192/2 = 96 \text{ mm} ; \text{ dan } s \leq 600 \text{ mm}$$

Maka digunakan tulangan geser D10-90 mm.

4.2.4.5 Rekapitulasi Penulangan Balok Anak

Tabel 4. 21 Rekapitulasi Penulangan Balok Anak

| Balok Anak | Tumpuan | | Lapangan | | Tulangan Geser |
|------------|---------|---------|----------|---------|----------------|
| | Negatif | Positif | Positif | Negatif | |
| BA 1 | 5D16 | 3D16 | 3D16 | 2D16 | D10-150 |
| BA 2 | 5D16 | 3D16 | 3D16 | 2D16 | D10-150 |
| BA 3 | 2D16 | 2D16 | 2D16 | 2D16 | D10-90 |
| BA 4 | 2D16 | 2D16 | 2D16 | 2D16 | D10-90 |
| BA 5 | 2D16 | 2D16 | 2D16 | 2D16 | D10-90 |

4.3 Pemodelan dan Analisis Struktur *Fixed Base*

4.3.1 Pemodelan Struktur *Fixed Base*

Perancangan gedung apartemen Skysuites SOHO ini dimodelkan sebagai sistem rangka pemikul momen biasa menggunakan program bantu SAP2000. Beban lateral yang terjadi dipikul oleh rangka pemikul momen. Gedung ini dimodelkan dua kali, pertama dengan struktur *fixed base* untuk mendapatkan nilai periода fundamental (T) dan gaya aksial yang

diterima kolom paling dasar yang akan digunakan dalam perencanaan *base isolator*, kedua dimodelkan sebagai struktur dengan *base isolator* untuk mendapatkan gaya dalam yang dipikul struktur utama. Pemodelan struktur ini mengacu pada peraturan SNI 1726:2012.

4.3.2 Pembebanan Struktur

Sebelum melakukan analisis struktur dengan program bantu, perlu dilakukan perhitungan beban sebagai input ke program bantu analisis. Beban-beban yang diperhitungkan meliputi beban gravitasi yang terdiri dari beban mati dan beban hidup, serta beban gempa.

4.3.2.1 Beban Gravitasi

Pembebanan gravitasi mengacu pada ketentuan PPIUG 1983 serta SNI 1727:2013. Beban-beban gravitasi yang bekerja pada gedung ini antara lain :

- Beban Mati

Uraian beban mati yang diterima oleh struktur dapat dilihat pada Tabel 4.22.

Tabel 4.22 Beban Mati

| No. | Jenis Beban | Dimensi | | Berat Jenis | Satuan |
|----------------------|-------------|---------|--------|-------------|-------------------|
| | | b (cm) | h (cm) | | |
| Balok Induk : | | | | | |
| 1 | BI 1 | 40 | 60 | 2400 | kg/m ³ |
| 2 | BI 2 | 30 | 40 | 2400 | kg/m ³ |
| 3 | BI 3 | 40 | 60 | 2400 | kg/m ³ |
| 4 | BI 4 | 30 | 40 | 2400 | kg/m ³ |
| 5 | BI 5 | 40 | 60 | 2400 | kg/m ³ |
| Balok anak : | | | | | |
| 6 | BA 1 | 30 | 40 | 2400 | kg/m ³ |
| 7 | BA 2 | 30 | 40 | 2400 | kg/m ³ |
| 8 | BA 3 | 20 | 25 | 2400 | kg/m ³ |
| 9 | BA 4 | 20 | 25 | 2400 | kg/m ³ |

| | | | | | |
|---------|-------|----|----|------|-------------------|
| 10 | BA 5 | 20 | 25 | 2400 | kg/m ³ |
| Kolom : | | | | | |
| 11 | K 1 | 50 | 50 | 2400 | kg/m ³ |
| 12 | K 2 | 60 | 60 | 2400 | kg/m ³ |
| 13 | K 3 | 70 | 70 | 2400 | kg/m ³ |
| 14 | K 4 | 80 | 80 | 2400 | kg/m ³ |
| 15 | K 5 | 90 | 90 | 2400 | kg/m ³ |
| 16 | Pelat | - | 12 | 2400 | kg/m ³ |

b. Beban Mati Tambahan

Uraian beban mati tambahan yang diterima oleh struktur dapat dilihat pada Tabel 4.23.

Tabel 4. 23 Beban Mati Tambahan

| No. | Jenis Beban | Berat Jenis | Satuan |
|-------|-----------------------------|-------------|-------------------|
| 1 | Spesi | 21 | kg/m ² |
| 2 | Penutup lantai | 24 | kg/m ² |
| 3 | Langit-langit | 11 | kg/m ² |
| 4 | Penggantung langit-langit | 7 | kg/m ² |
| 5 | <i>Ducting and Plumbing</i> | 25 | kg/m ² |
| Total | | 88 | kg/m ² |

c. Beban Hidup

Lantai atap : 97,86 kg/m²

Lantai apartemen: 195,72 kg/m²

d. Data Perencanaan

f'c : 40 MPa

Tinggi lantai 1 : 2m

Tinggi lantai 2-21: 4m

4.3.2.2 Beban Gempa

Beban gempa direncanakan sesuai dengan SNI 1726:2012 dan menggunakan Peta Sumber Bahaya dan Gempa Bumi Indonesia Tahun 2017. Berikut langkah-langkah dalam menghitung beban gempa.

1. Penentuan Kelas Situs

Tipe kelas situs seperti pada Tabel 3.1 ditetapkan berdasarkan SNI 1726:2012 pasal 5.3. Dari data tanah yang terlampir, klasifikasi situs tanah akan ditentukan berdasarkan hasil SPT. Parameter yang dihitung adalah tahanan penetrasi standar lapangan rata-rata \bar{N} yang mengacu pada SNI 1726:2012 pasal 5.4.2 dengan perumusan sebagai berikut :

$$\bar{N} = \frac{\sum_{i=1}^n d_i}{\sum_{i=1}^n N_i} \quad (4-21)$$

dimana,

d_i = ketebalan total dari lapisan tanah di 30m lapisan paling atas.

N_i = Tanahan penetrasi standar 60% energi (N_{60}) yang terukur langsung di lapangan tanpa koreksi.

$\bar{N} = \frac{30}{1,51} = 19,86 > 15$, maka klasifikasi kelas situs adalah SD (tanah sedang).

Tabel 4.24 Data NSPT

| Lapis ke- | Kedalaman (m) | d_i (m) | N_i | d_i/N_i |
|-----------|---------------|-----------|----------------|-----------|
| 1 | 1 | 1 | 2 | 0,00 |
| 2 | 3 | 2 | 18 | 0,11 |
| 3 | 5 | 2 | 13 | 0,15 |
| 4 | 7 | 2 | 12 | 0,17 |
| 5 | 9 | 2 | 14 | 0,14 |
| 6 | 11 | 2 | 18 | 0,11 |
| 7 | 13 | 2 | 30 | 0,07 |
| 8 | 15 | 2 | 50 | 0,04 |
| 9 | 17 | 2 | 10 | 0,00 |
| 10 | 19 | 2 | 12 | 0,17 |
| 11 | 21 | 2 | 17 | 0,12 |
| 12 | 23 | 2 | 19 | 0,11 |
| 13 | 25 | 2 | 19 | 0,11 |
| 14 | 27 | 2 | 20 | 0,10 |
| 15 | 29 | 2 | 24 | 0,08 |
| 16 | 30 | 1 | 25 | 0,04 |
| | $\sum d_i$ | 30 | $\sum d_i/N_i$ | 1,51 |

2. Kategori Risiko dan Faktor Keutamaan Gempa

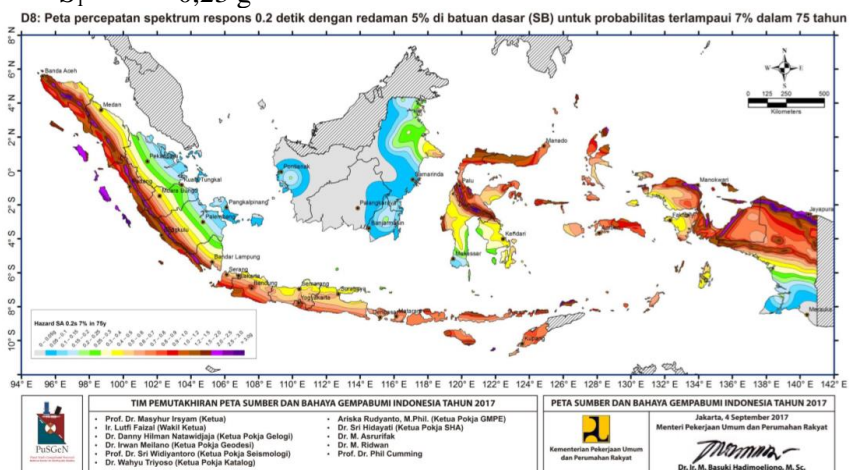
Kategori risiko untuk gedung yang difungsikan sebagai apartemen sesuai SNI 1726:2012 Tabel-1 termasuk dalam kategori II dengan faktor keutamaan gempa = 1.

3. Nilai Parameter Percepatan Respons Spektral MCE pada Perioda Pendek Redaman 5%, S_s , serta Parameter

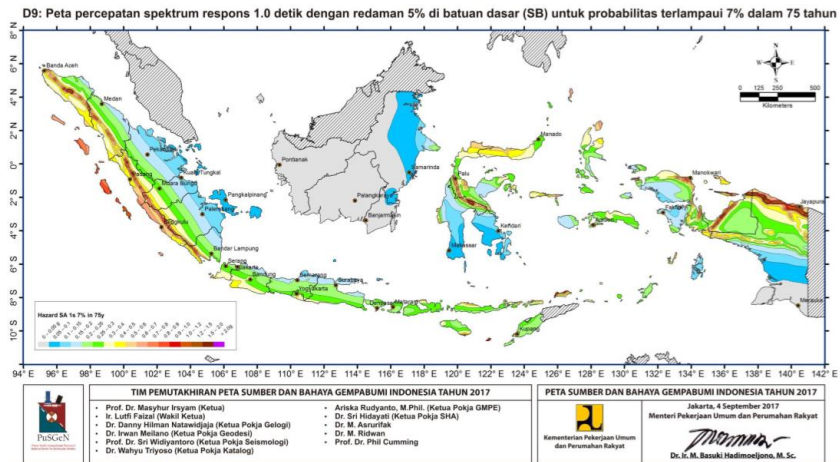
Percepatan Respons Spektral MCE pada Periode 1 Detik Redaman 5%, S_1

Nilai S_s dan S_1 ditentukan berdasarkan Peta Sumber dan Bahaya Gempa Indonesia Tahun 2017 yang dapat dilihat pada Gambar 4. Dan Gambar 4. Berikut nilai S_s dan S_1 untuk Kota Surabaya :

$$\begin{aligned}S_s &= 0,55 \text{ g} \\S_1 &= 0,23 \text{ g}\end{aligned}$$



Gambar 4. 29 Peta Percepatan Spektrum Respons S_s



Gambar 4. 30 Peta Percepatan Spektrum Respons S₁

4. Koefisien Situs F_a dan F_v

Koefisien situs F_a dan F_v ditentukan berdasarkan Tabel 3.2 dan Tabel 3.3 sesuai dengan kelas situsnya yaitu SD dan nilai S_s serta S₁.

$$S_s = 0,55 \text{ g} \rightarrow F_a = 1,36$$

$$S_1 = 0,23 \text{ g} \rightarrow F_v = 1,94$$

5. Nilai S_{MS} dan S_{M1}

$$S_{MS} = F_a \cdot S_s = 1,36 \cdot 0,55 = 0,748 \text{ g}$$

$$S_{M1} = F_v \cdot S_1 = 1,94 \cdot 0,23 = 0,446 \text{ g}$$

6. Nilai S_{DS} dan S_{D1}

$$S_{DS} = 2/3 \cdot S_{MS} = 2/3 \cdot 0,748 = 0,499 \text{ g}$$

$$S_{D1} = 2/3 \cdot S_{M1} = 2/3 \cdot 0,446 = 0,297 \text{ g}$$

7. Kategori Desain Seismik

Berdasarkan Tabel 3.5, bangunan dengan kategori risiko II dan S_{DS} > 0,5g dapat ditentukan bahwa gedung ini termasuk dalam kategori risiko D.

8. Faktor R, Ω₀, C_d

Sistem penahan gaya gempa direncanakan sebagai sistem rangka pemikul momen biasa dengan nilai R, Ω₀, C_d sebagai berikut :

$$\begin{aligned} R &= 3 \\ \Omega_0 &= 3 \\ C_d &= 2,5 \end{aligned}$$

9. Spektrum Respons Desain

Grafik spektrum respons desain mengacu pada SNI 1726:2012 pasal 6.4 dengan ketentuan di bawah ini :

- Untuk $T < T_0$, $S_a = S_{DS} \left(0,4 + 0,6 \frac{T}{T_0} \right)$
- Untuk $T_0 \leq T \leq T_s$, $S_a = S_{DS}$
- Untuk $T > T_s$, $S_a = S_{DI}/T$

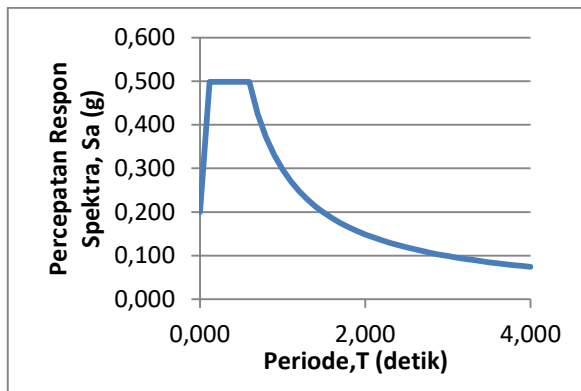
dimana,

$$\begin{aligned} T_0 &= 0,2 \cdot S_{DI}/S_{DS} = 0,2 \cdot 0,297/0,499 &= 0,119 \text{ detik} \\ T_s &= S_{DI}/S_{DS} = 0,297/0,499 &= 0,597 \text{ detik} \end{aligned}$$

Sehingga didapat fungsi S_a berdasarkan T dengan nilai seperti pada Tabel 4.25.

Tabel 4.25 Nilai T dan S_a

| T (detik) | S_a (g) | 1,900 | 0,1566 |
|-------------|-----------|-------|--------|
| 0,000 | 0,1995 | 2,000 | 0,1487 |
| 0,100 | 0,4503 | 2,100 | 0,1417 |
| 0,119 | 0,4987 | 2,200 | 0,1352 |
| 0,200 | 0,4987 | 2,300 | 0,1293 |
| 0,300 | 0,4987 | 2,400 | 0,1239 |
| 0,400 | 0,4987 | 2,500 | 0,1190 |
| 0,500 | 0,4987 | 2,600 | 0,1144 |
| 0,597 | 0,4987 | 2,700 | 0,1102 |
| 0,600 | 0,4958 | 2,800 | 0,1062 |
| 0,700 | 0,4250 | 2,900 | 0,1026 |
| 0,800 | 0,3718 | 3,000 | 0,0992 |
| 0,900 | 0,3305 | 3,100 | 0,0960 |
| 1,000 | 0,2975 | 3,200 | 0,0930 |
| 1,100 | 0,2704 | 3,300 | 0,0901 |
| 1,200 | 0,2479 | 3,400 | 0,0875 |
| 1,300 | 0,2288 | 3,500 | 0,0850 |
| 1,400 | 0,2125 | 3,600 | 0,0826 |
| 1,500 | 0,1983 | 3,700 | 0,0804 |
| 1,600 | 0,1859 | 3,800 | 0,0783 |
| 1,700 | 0,1750 | 3,900 | 0,0763 |
| 1,800 | 0,1653 | 4,000 | 0,0744 |



Gambar 4.31 Grafik Respons Spektrum Surabaya

10. Faktor Skala Gempa

Berdasarkan SNI 1726:2012 pasal 7.5.3, arah penerapan gaya gempa pada struktur dianggap terpenuhi jika komponen dan fondasinya didesain untuk memikul kombinasi beban-beban sebesar 100% gaya untuk satu arah ditambah 30% gaya untuk arah tegak lurus. Namun perlu adanya faktor skala nilai respon spektrum sebesar $g \cdot I_e / R$.

$$\text{Faktor skala} : 100\% \frac{g \cdot I_e}{R} = 100\% \frac{9,81 \cdot 1}{3} = 3,27$$

$$30\% \frac{g \cdot I_e}{R} = 30\% \frac{9,81 \cdot 1}{3} = 0,981$$

4.3.2.3 Kombinasi Pembebanan

Kombinasi pembebanan sesuai dengan SNI 2847:2013 pasal 9.2.1 :

$$U = 1,4 D$$

$$U = 1,2 D + 1,6 L$$

$$U = 1,2 D + 1,0 L + 1,0 E$$

$$U = 0,9 D + 1,0 E$$

Keterangan :

- U = Beban ultimate
- D = Beban mati
- E = Beban gempa
- L = Beban hidup

4.3.3 Berat Struktur

Perhitungan berat struktur meliputi berat sendiri elemen struktur, berat beban mati tambahan, dan berat akibat beban hidup yang membebani struktur. Berat struktur digunakan untuk perhitungan nilai gaya geser dasar statis untuk dibandingkan dengan gaya geser dasar dinamis yang terjadi. Rincian perhitungan berat struktur dapat dilihat pada Tabel di bawah ini.

Tabel 4. 26 Berat Lantai Atap

| Lantai Atap | | | | | | | | | | |
|------------------------------|-------|--|-------------------|--------|-------|------|------------------|------------|--|--|
| Beban Mati | | | | | | | | | | |
| Jenis Beban | W | | p (m) | l(m) | t (m) | n | Jumlah Lantai | Berat (kg) | | |
| Pelat lantai atap | 2400 | | kg/m ³ | 1088,2 | | 0,12 | 1 | 313.401,6 | | |
| Spesi | 21 | | kg/m ² | 1088,2 | | | 1 | 22.852,2 | | |
| Langit-langit | 11 | | kg/m ² | 1088,2 | | | 1 | 11.970,2 | | |
| Penggantung langit-langit | 7 | | kg/m ² | 1088,2 | | | 1 | 7.617,4 | | |
| <i>Ducting and Plumbing</i> | 25 | | kg/m ² | 1088,2 | | | 1 | 27.205,0 | | |
| BI 1 | 2400 | | kg/m ³ | 8,00 | 0,4 | 0,6 | 18 | 82.944,0 | | |
| BI 2 | 2400 | | kg/m ³ | 4,25 | 0,3 | 0,4 | 6 | 7.344,0 | | |
| BI 3 | 2400 | | kg/m ³ | 8,00 | 0,4 | 0,6 | 23 | 105.984,0 | | |
| BI 4 | 2400 | | kg/m ³ | 3,45 | 0,3 | 0,4 | 3 | 2.980,8 | | |
| BI 5 | 2400 | | kg/m ³ | 4,00 | 0,4 | 0,6 | 2 | 4.608,0 | | |
| BA 1 | 2400 | | kg/m ³ | 8,00 | 0,3 | 0,4 | 13 | 29.952,0 | | |
| BA 2 | 2400 | | kg/m ³ | 8,00 | 0,3 | 0,4 | 15 | 34.560,0 | | |
| BA 3 | 2400 | | kg/m ³ | 4,25 | 0,2 | 0,25 | 7 | 3.570,0 | | |
| BA 4 | 2400 | | kg/m ³ | 3,45 | 0,2 | 0,25 | 2 | 828,0 | | |
| BA 5 | 2400 | | kg/m ³ | 4,00 | 0,2 | 0,25 | 2 | 960,0 | | |
| Total Beban Mati (D) | | | | | | | 656.777,2 | | | |
| Beban Hidup | | | | | | | | | | |
| Jenis Beban | W | | p (m) | l(m) | t (m) | n | Jumlah Lantai | Berat (kg) | | |
| Pelat atap | 97,86 | | kg/m ² | 1088,2 | | | 1 | 106.490,5 | | |
| Total Beban Hidup (L) | | | | | | | 106.490,5 | | | |

Tabel 4. 27 Berat Lantai 21-Lantai 18

| Lantai 21 - Lantai 18 | | | | | | | | |
|------------------------------|--------|-------------------|--------|-------|-------|----|--------------------|-------------|
| Beban Mati | | | | | | | | |
| Jenis Beban | W | | p (m) | l (m) | t (m) | n | Jumlah Lantai | |
| Pelat lantai | 2400 | kg/m ³ | 1088,2 | | 0,12 | 1 | 4 | 1.253.606,4 |
| Penutup lantai | 24 | kg/m ² | 1088,2 | | | 1 | 4 | 104.467,2 |
| Spesi | 21 | kg/m ² | 1088,2 | | | 1 | 4 | 91.408,8 |
| Langit-langit | 11 | kg/m ² | 1088,2 | | | 1 | 4 | 47.880,8 |
| Penggantung langit-langit | 7 | kg/m ² | 1088,2 | | | 1 | 4 | 30.469,6 |
| <i>Ducting and Plumbing</i> | 25 | kg/m ² | 1088,2 | | | 1 | 4 | 108.820,0 |
| BI 1 | 2400 | kg/m ³ | 8 | 0,4 | 0,6 | 18 | 4 | 331.776,0 |
| BI 2 | 2400 | kg/m ³ | 4,25 | 0,3 | 0,4 | 6 | 4 | 29.376,0 |
| BI 3 | 2400 | kg/m ³ | 8 | 0,4 | 0,6 | 23 | 4 | 423.936,0 |
| BI 4 | 2400 | kg/m ³ | 3,45 | 0,3 | 0,4 | 3 | 4 | 11.923,2 |
| BI 5 | 2400 | kg/m ³ | 4 | 0,4 | 0,6 | 2 | 4 | 18.432,0 |
| BA 1 | 2400 | kg/m ³ | 8 | 0,3 | 0,4 | 13 | 4 | 119.808,0 |
| BA 2 | 2400 | kg/m ³ | 8 | 0,3 | 0,4 | 15 | 4 | 138.240,0 |
| BA 3 | 2400 | kg/m ³ | 4,25 | 0,2 | 0,25 | 7 | 4 | 14.280,0 |
| BA 4 | 2400 | kg/m ³ | 3,45 | 0,2 | 0,25 | 2 | 4 | 3.312,0 |
| BA 5 | 2400 | kg/m ³ | 4 | 0,2 | 0,25 | 2 | 4 | 3.840,0 |
| Kolom | 2400 | kg/m ³ | 0,5 | 0,5 | 4 | 31 | 4 | 297.600,0 |
| Total Beban Mati (D) | | | | | | | 3.029.176,0 | |
| Beban Hidup | | | | | | | | |
| Jenis Beban | W | | p (m) | l (m) | t (m) | n | Jumlah Lantai | |
| Pelat lantai apartemen | 195,72 | kg/m ² | 1088,2 | | | 1 | 4 | 851.924,2 |
| Total Beban Hidup (L) | | | | | | | 851.924,2 | |

Tabel 4. 28 Berat Lantai 17-Lantai 14

| Lantai 17 - Lantai 14 | | | | | | | | | | |
|------------------------------|--------|--|-------------------|--------|-------|------|--------------------|------------|-------------|--|
| Beban Mati | | | | | | | | | | |
| Jenis Beban | W | | p (m) | l(m) | t (m) | n | Jumlah Lantai | Berat (kg) | | |
| Pelat lantai | 2400 | | kg/m ³ | 1088,2 | | 0,12 | 1 | 4 | 1.253.606,4 | |
| Penutup lantai | 24 | | kg/m ² | 1088,2 | | | 1 | 4 | 104.467,2 | |
| Spesi | 21 | | kg/m ² | 1088,2 | | | 1 | 4 | 91.408,8 | |
| Langit-langit | 11 | | kg/m ² | 1088,2 | | | 1 | 4 | 47.880,8 | |
| Penggantung langit-langit | 7 | | kg/m ² | 1088,2 | | | 1 | 4 | 30.469,6 | |
| <i>Ducting and Plumbing</i> | 25 | | kg/m ² | 1088,2 | | | 1 | 4 | 108.820,0 | |
| BI 1 | 2400 | | kg/m ³ | 8 | 0,4 | 0,6 | 18 | 4 | 331.776,0 | |
| BI 2 | 2400 | | kg/m ³ | 4,25 | 0,3 | 0,4 | 6 | 4 | 29.376,0 | |
| BI 3 | 2400 | | kg/m ³ | 8 | 0,4 | 0,6 | 23 | 4 | 423.936,0 | |
| BI 4 | 2400 | | kg/m ³ | 3,45 | 0,3 | 0,4 | 3 | 4 | 11.923,2 | |
| BI 5 | 2400 | | kg/m ³ | 4 | 0,4 | 0,6 | 2 | 4 | 18.432,0 | |
| BA 1 | 2400 | | kg/m ³ | 8 | 0,3 | 0,4 | 13 | 4 | 119.808,0 | |
| BA 2 | 2400 | | kg/m ³ | 8 | 0,3 | 0,4 | 15 | 4 | 138.240,0 | |
| BA 3 | 2400 | | kg/m ³ | 4,25 | 0,2 | 0,25 | 7 | 4 | 14.280,0 | |
| BA 4 | 2400 | | kg/m ³ | 3,45 | 0,2 | 0,25 | 2 | 4 | 3.312,0 | |
| BA 5 | 2400 | | kg/m ³ | 4 | 0,2 | 0,25 | 2 | 4 | 3.840,0 | |
| Kolom | 2400 | | kg/m ³ | 0,6 | 0,6 | 4 | 31 | 4 | 428.544,0 | |
| Total Beban Mati (D) | | | | | | | 3.160.120,0 | | | |
| Beban Hidup | | | | | | | | | | |
| Jenis Beban | W | | p (m) | l(m) | t (m) | n | Jumlah Lantai | Berat (kg) | | |
| Pelat lantai apartemen | 195,72 | | kg/m ² | 1088,2 | | | 1 | 4 | 851.924,2 | |
| Total Beban Hidup (L) | | | | | | | 851.924,2 | | | |

Tabel 4. 29 Berat Lantai 13-Lantai 10

| Lantai 13 - Lantai 10 | | | | | | | | |
|------------------------------|--------|-------------------|--------|-------|-------|----|--------------------|-------------|
| Beban Mati | | | | | | | | |
| Jenis Beban | W | | p (m) | l (m) | t (m) | n | Jumlah Lantai | |
| Pelat lantai | 2400 | kg/m ³ | 1088,2 | | 0,12 | 1 | 4 | 1.253.606,4 |
| Penutup lantai | 24 | kg/m ² | 1088,2 | | | 1 | 4 | 104.467,2 |
| Spesi | 21 | kg/m ² | 1088,2 | | | 1 | 4 | 91.408,8 |
| Langit-langit | 11 | kg/m ² | 1088,2 | | | 1 | 4 | 47.880,8 |
| Penggantung langit-langit | 7 | kg/m ² | 1088,2 | | | 1 | 4 | 30.469,6 |
| <i>Ducting and Plumbing</i> | 25 | kg/m ² | 1088,2 | | | 1 | 4 | 108.820,0 |
| BI 1 | 2400 | kg/m ³ | 8 | 0,4 | 0,6 | 18 | 4 | 331.776,0 |
| BI 2 | 2400 | kg/m ³ | 4,25 | 0,3 | 0,4 | 6 | 4 | 29.376,0 |
| BI 3 | 2400 | kg/m ³ | 8 | 0,4 | 0,6 | 23 | 4 | 423.936,0 |
| BI 4 | 2400 | kg/m ³ | 3,45 | 0,3 | 0,4 | 3 | 4 | 11.923,2 |
| BI 5 | 2400 | kg/m ³ | 4 | 0,4 | 0,6 | 2 | 4 | 18.432,0 |
| BA 1 | 2400 | kg/m ³ | 8 | 0,3 | 0,4 | 13 | 4 | 119.808,0 |
| BA 2 | 2400 | kg/m ³ | 8 | 0,3 | 0,4 | 15 | 4 | 138.240,0 |
| BA 3 | 2400 | kg/m ³ | 4,25 | 0,2 | 0,25 | 7 | 4 | 14.280,0 |
| BA 4 | 2400 | kg/m ³ | 3,45 | 0,2 | 0,25 | 2 | 4 | 3.312,0 |
| BA 5 | 2400 | kg/m ³ | 4 | 0,2 | 0,25 | 2 | 4 | 3.840,0 |
| Kolom | 2400 | kg/m ³ | 0,7 | 0,7 | 4 | 31 | 4 | 583.296,0 |
| Total Beban Mati (D) | | | | | | | 3.314.872,0 | |
| Beban Hidup | | | | | | | | |
| Jenis Beban | W | | p (m) | l (m) | t (m) | n | Jumlah Lantai | |
| Pelat lantai apartemen | 195,72 | kg/m ² | 1088,2 | | | 1 | 4 | 851.924,2 |
| Total Beban Hidup (L) | | | | | | | 851.924,2 | |

Tabel 4. 30 Berat Lantai 9-Lantai 6

| Lantai 9 - Lantai 6 | | | | | | | | |
|------------------------------|--------|-------------------|--------|------|-------|----|--------------------|------------------|
| Beban Mati | | | | | | | | |
| Jenis Beban | W | | p (m) | l(m) | t (m) | n | Jumlah Lantai | Berat (kg) |
| Pelat lantai | 2400 | kg/m ³ | 1088,2 | | 0,12 | 1 | 4 | 1.253.606,4 |
| Penutup lantai | 24 | kg/m ² | 1088,2 | | | 1 | 4 | 104.467,2 |
| Spesi | 21 | kg/m ² | 1088,2 | | | 1 | 4 | 91.408,8 |
| Langit-langit | 11 | kg/m ² | 1088,2 | | | 1 | 4 | 47.880,8 |
| Penggantung langit-langit | 7 | kg/m ² | 1088,2 | | | 1 | 4 | 30.469,6 |
| <i>Ducting and Plumbing</i> | 25 | kg/m ² | 1088,2 | | | 1 | 4 | 108.820,0 |
| BI 1 | 2400 | kg/m ³ | 8 | 0,4 | 0,6 | 18 | 4 | 331.776,0 |
| BI 2 | 2400 | kg/m ³ | 4,25 | 0,3 | 0,4 | 6 | 4 | 29.376,0 |
| BI 3 | 2400 | kg/m ³ | 8 | 0,4 | 0,6 | 23 | 4 | 423.936,0 |
| BI 4 | 2400 | kg/m ³ | 3,45 | 0,3 | 0,4 | 3 | 4 | 11.923,2 |
| BI 5 | 2400 | kg/m ³ | 4 | 0,4 | 0,6 | 2 | 4 | 18.432,0 |
| BA 1 | 2400 | kg/m ³ | 8 | 0,3 | 0,4 | 13 | 4 | 119.808,0 |
| BA 2 | 2400 | kg/m ³ | 8 | 0,3 | 0,4 | 15 | 4 | 138.240,0 |
| BA 3 | 2400 | kg/m ³ | 4,25 | 0,2 | 0,25 | 7 | 4 | 14.280,0 |
| BA 4 | 2400 | kg/m ³ | 3,45 | 0,2 | 0,25 | 2 | 4 | 3.312,0 |
| BA 5 | 2400 | kg/m ³ | 4 | 0,2 | 0,25 | 2 | 4 | 3.840,0 |
| Kolom | 2400 | kg/m ³ | 0,8 | 0,8 | 4 | 31 | 4 | 761.856,0 |
| Total Beban Mati (D) | | | | | | | 3.493.432,0 | |
| Beban Hidup | | | | | | | | |
| Jenis Beban | W | | p (m) | l(m) | t (m) | n | Jumlah Lantai | Berat (kg) |
| Pelat lantai apartemen | 195,72 | kg/m ² | 1088,2 | | | 1 | 4 | 851.924,2 |
| Total Beban Hidup (L) | | | | | | | | 851.924,2 |

Tabel 4. 31 Berat Lantai 5-Lantai 2

| Lantai 5 - Lantai 2 | | | | | | | | |
|------------------------------|--------|-------------------|--------|-------|-------|----|---------------|--------------------|
| Beban Mati | | | | | | | | |
| Jenis Beban | W | | p (m) | l (m) | t (m) | n | Jumlah Lantai | Berat (kg) |
| Pelat lantai | 2400 | kg/m ³ | 1088,2 | | 0,12 | 1 | 4 | 1.253.606,4 |
| Penutup lantai | 24 | kg/m ² | 1088,2 | | | 1 | 4 | 104.467,2 |
| Spesi | 21 | kg/m ² | 1088,2 | | | 1 | 4 | 91.408,8 |
| Langit-langit | 11 | kg/m ² | 1088,2 | | | 1 | 4 | 47.880,8 |
| Penggantung langit-langit | 7 | kg/m ² | 1088,2 | | | 1 | 4 | 30.469,6 |
| <i>Ducting and Plumbing</i> | 25 | kg/m ² | 1088,2 | | | 1 | 4 | 108.820,0 |
| BI 1 | 2400 | kg/m ³ | 8 | 0,4 | 0,6 | 18 | 4 | 331.776,0 |
| BI 2 | 2400 | kg/m ³ | 4,25 | 0,3 | 0,4 | 6 | 4 | 29.376,0 |
| BI 3 | 2400 | kg/m ³ | 8 | 0,4 | 0,6 | 23 | 4 | 423.936,0 |
| BI 4 | 2400 | kg/m ³ | 3,45 | 0,3 | 0,4 | 3 | 4 | 11.923,2 |
| BI 5 | 2400 | kg/m ³ | 4 | 0,4 | 0,6 | 2 | 4 | 18.432,0 |
| BA 1 | 2400 | kg/m ³ | 8 | 0,3 | 0,4 | 13 | 4 | 119.808,0 |
| BA 2 | 2400 | kg/m ³ | 8 | 0,3 | 0,4 | 15 | 4 | 138.240,0 |
| BA 3 | 2400 | kg/m ³ | 4,25 | 0,2 | 0,25 | 7 | 4 | 14.280,0 |
| BA 4 | 2400 | kg/m ³ | 3,45 | 0,2 | 0,25 | 2 | 4 | 3.312,0 |
| BA 5 | 2400 | kg/m ³ | 4 | 0,2 | 0,25 | 2 | 4 | 3.840,0 |
| Kolom | 2400 | kg/m ³ | 0,9 | 0,9 | 4 | 31 | 4 | 964.224,0 |
| Total Beban Mati (D) | | | | | | | | 3.695.800,0 |
| Beban Hidup | | | | | | | | |
| Jenis Beban | W | | p (m) | l (m) | t (m) | n | Jumlah Lantai | Berat (kg) |
| Pelat lantai apartemen | 195,72 | kg/m ² | 1088,2 | | | 1 | 4 | 851.924,2 |
| Total Beban Hidup (L) | | | | | | | | 851.924,2 |

Tabel 4. 32 Berat Lantai 1 (Ruang Pemeliharaan)

| Lantai 1 (Ruang Pemeliharaan) | | | | | | | | | | |
|--------------------------------------|--------|--|-------------------|--------|-------|------|---------------|------------------|--|--|
| Beban Mati | | | | | | | | | | |
| Jenis Beban | W | | p (m) | l(m) | t (m) | n | Jumlah Lantai | Berat (kg) | | |
| Pelat lantai | 2400 | | kg/m ³ | 1088,2 | | 0,12 | 1 | 313.401,6 | | |
| Penutup lantai | 24 | | kg/m ² | 1088,2 | | | 1 | 26.116,8 | | |
| Spesi | 21 | | kg/m ² | 1088,2 | | | 1 | 22.852,2 | | |
| Langit-langit | 11 | | kg/m ² | 1088,2 | | | 1 | 11.970,2 | | |
| Penggantung langit-langit | 7 | | kg/m ² | 1088,2 | | | 1 | 7.617,4 | | |
| Ducting & Plumbing | 25 | | kg/m ² | 1088,2 | | | 1 | 27.205,0 | | |
| Kolom | 2400 | | kg/m ³ | 0,9 | 0,9 | 2 | 31 | 120.528,0 | | |
| Total Beban Mati (D) | | | | | | | | 529.691,2 | | |
| Beban Hidup | | | | | | | | | | |
| Jenis Beban | W | | p (m) | l(m) | t (m) | n | Jumlah | Berat (kg) | | |
| Pelat lantai Ruang Pemeliharaan | 195,72 | | kg/m ² | 1088,2 | | | 1 | 212.981,0 | | |
| Total Beban Hidup (L) | | | | | | | | 212.981,0 | | |

Dari perhitungan berat struktur tiap lantai di atas, diperoleh total beban mati dan beban hidup sebesar :

$$D = 17.879.868,4 \text{ kg}$$

$$L = 4.579.092,4 \text{ kg}$$

$$D + L = 22.458.960,8 \text{ kg}$$

4.3.4 Analisis Struktur *Fixed Base*

Hasil analisis struktur perlu dikontrol melalui suatu batasan tertentu sesuai dengan SNI 1726:2012, antara lain :

- Kontrol pembebahan struktur
- Kontrol perioda fundamental struktur
- Kontrol partisipasi massa
- Kontrol gaya geser dasar
- Kontrol simpangan antar lantai

4.3.4.1 Kontrol Pembebahan Struktur

Besarnya pembebahan struktur yang diinput pada program bantu analisis harus mendekati hasil perhitungan manual, dimana

selisih antara beban pada program bantu dengan perhitungan manual tidak boleh melebihi 5%.

Dari hasil perhitungan manual diperoleh berat struktur sebesar 22.458.960,8 kg. Untuk berat struktur hasil analisis SAP2000 didapatkan dari tabel *base reaction* sebesar 21.883.970,5 kg. Sehingga rasio selisih dapat dihitung sebagai berikut :

$$\frac{22.458.960,8 - 21.883.970,5}{22.458.960,8} \times 100\% = 2,56\% < 5\% \text{ (OK)}$$

Jadi dapat dikatakan bahwa input pembebanan pada SAP2000 sudah benar.

4.3.4.2 Kontrol Perioda Fundamental Struktur

Mengacu pada SNI 1726:2012 pasal 7.8.2 serta pasal 7.9.4.1 besarnya perioda fundamental struktur, T ditentukan berdasarkan batasan berikut :

- Jika $T > C_u \cdot T_a$ maka digunakan $T = C_u \cdot T_a$
- Jika $T_a < T < C_u \cdot T_a$ maka digunakan $T = T$
- Jika $T < T_a$ maka digunakan $T = T_a$

dimana,

C_u = Koefisien untuk batas atas pada perioda yang dihitung, untuk $S_{D1} > 0,4g$, $C_u = 1,4$ (Tabel 14 SNI 1726:2012).

T_a = Perioda fundamental pendekatan (SNI 1726:2012 pasal 7.8.2.1)

Untuk perioda fundamental pendekatan, T_a dihitung dengan persamaan berikut :

$$T_a = C_t \cdot h_n^x \quad (4-22)$$

dimana,

h_n = Ketinggian struktur, di atas dasar sampai tingkat tertinggi struktur

C_t = Koefisien sebesar 0,0466 untuk tipe struktur rangka beton pemikul momen (Tabel 15 SNI 1726:2012)

x = Koefisien sebesar 0,9 untuk tipe struktur rangka beton pemikul momen (Tabel 15 SNI 1726:2012)

Maka,

$$T_a = C_t \cdot h_n^x = 0,0466 \times 82^{0,9} = 2,459 \text{ detik}$$

$$C_u \cdot T_a = 1,4 \times 2,459 = 3,443 \text{ detik}$$

Dari hasil analisis struktur dengan SAP2000 diperoleh periода struktur, $T = 3,73$ detik ($T > C_u \cdot T_a$), sehingga digunakan $T = C_u \cdot T_a = 3,443$ detik.

4.3.4.3 Kontrol Partisipasi Massa

Analisis yang dilakukan harus menyertakan jumlah ragam yang cukup untuk mendapatkan partisipasi massa ragam terkombinasi minimal 90 dari massa aktual dari masing-masing arah horizontal ortogonal dari respon yang ditinjau model (SNI 1726:2012 pasal 7.9.1). Hasil analisis struktur seperti pada Tabel 4.33, partisipasi massa telah mencapai 90% untuk arah x dan arah y pada moda ke 11.

Tabel 4.33 Partisipasi Massa

| StepNum | Period | SumUX | SumUY |
|----------|--------|----------|----------|
| Unitless | Sec | Unitless | Unitless |
| 1 | 3,728 | 0,703 | 0,003 |
| 2 | 3,501 | 0,712 | 0,677 |
| 3 | 3,024 | 0,732 | 0,736 |
| 4 | 1,305 | 0,833 | 0,737 |
| 5 | 1,233 | 0,835 | 0,832 |
| 6 | 1,074 | 0,838 | 0,840 |
| 7 | 0,762 | 0,875 | 0,841 |
| 8 | 0,723 | 0,877 | 0,877 |
| 9 | 0,633 | 0,878 | 0,880 |
| 10 | 0,526 | 0,899 | 0,881 |
| 11 | 0,501 | 0,900 | 0,900 |
| 12 | 0,438 | 0,900 | 0,902 |
| 13 | 0,390 | 0,914 | 0,902 |
| 14 | 0,372 | 0,914 | 0,916 |
| 15 | 0,325 | 0,915 | 0,917 |

4.3.4.4 Kontrol Gaya Geser Dasar

Kombinasi respons untuk geser dasar ragam, V_t harus lebih besar 85% dari geser dasar yang dihitung, V menggunakan prosedur gaya lateral ekivalen. Apabila V_t lebih kecil dari V maka

gaya harus dikalikan dengan $0,85V/V_t$ (SNI 1726:2012 pasal 7.9.4.1). Berikut langkah-langkah perhitungan V :

- Menentukan Koefisien Respons Seismik (C_s)
Sesuai dengan SNI 1726:2012 pasal 7.8.1.1 nilai C_s ditentukan dengan persamaan :

$$C_s = \frac{S_{DS}}{\left(\frac{R}{I_e}\right)^{\frac{3}{1}}} = 0,1662$$

Nilai C_s tidak boleh melebihi :

$$C_s = \frac{S_{D1}}{T\left(\frac{R}{I_e}\right)^{\frac{3}{1}}} = 0,0288$$

C_s tidak boleh kurang dari :

$$\begin{aligned} C_s &= 0,044S_{DS}I_e \geq 0,01 \\ &= 0,044 \cdot 0,499 \cdot 1 \\ &= 0,0219 \geq 0,01 \end{aligned}$$

Maka digunakan $C_s = 0,0288$

- Gaya geser dasar seismik

Gaya geser dasar seismik, V , ditetapkan sesuai dengan persamaan pada SNI 1726:2012 pasal 7.8.1. Berat seismik efektif, W yang digunakan adalah seluruh beban mati serta 50% beban hidup ($W = 1D + 0,5L$).

$$V = C_s \cdot W$$

dimana,

$$C_s = \text{Koefisien respons seismik} = 0,0288$$

$$W = \text{Berat seismik efektif} = 20.169.414,6 \text{ kg}$$

$$\begin{aligned} V &= 0,0288 \times 20.169.414,6 \text{ kg} \\ &= 580.849,91 \text{ kg} \end{aligned}$$

- Kontrol

Dari hasil analisis pada SAP2000 besarnya geser dasar dapat dilihat pada tabel *output base reaction*.

$$V = 580.849,91 \text{ kg}$$

$$0,85V = 0,85 \times 580.849,91 = 493.722,42 \text{ kg}$$

$$V_{t,x} = 430.109,8 \text{ kg} < 0,85V \quad (\text{Not OK})$$

$$V_{t,y} = 446.258,8 \text{ kg} < 0,85V \quad (\text{Not OK})$$

Sesuai dengan SNI 1726:2012 pasal 7.9.4.1 apabila $V_t < 0,85V$, maka gaya dikalikan dengan $0,85V/V_t$ untuk arah x dan arah y. Faktor skala ini dikalikan pada input *scale factor* saat *define respons spectra*, kemudian dilakukan *running ulang* pada SAP2000.

$$\text{Arah x} : \frac{0,85V}{V_{t,x}} = \frac{0,85 \times 580.849,91}{430.109,8} = 1,1479$$

$$\text{Arah y} : \frac{0,85V}{V_{t,y}} = \frac{0,85 \times 580.849,91}{446.258,8} = 1,1064$$

Tabel 4.34 *Output Base Reaction*

| OutputCase | CaseType | StepType | GlobalFX | GlobalFY |
|------------|-------------|----------|-----------|-----------|
| Text | Text | Text | Kgf | Kgf |
| RSX | LinRespSpec | Max | 493723,03 | 160290,74 |
| RSY | LinRespSpec | Max | 149364,49 | 493740,73 |

$$V_{t,x} = 493.723,03 \text{ kg} > 0,85V \quad (\text{OK})$$

$$V_{t,y} = 493.740,730 \text{ kg} > 0,85V \quad (\text{OK})$$

4.3.4.5 Kontrol Simpangan Antarlantai

Sesuai dengan SNI 1726:2012 pasal 7.8.6 simpangan antarlantai desain, Δ dihitung sebagai perbedaan defleksi pada tingkat di atas dan di bawah yang ditinjau yang letaknya segaris secara vertikal, di sepanjang salah satu bagian tepi struktur.

$$\Delta_x = \delta_x - \delta_{x-1} \quad (4- 23)$$

dimana,

Δ_x = Simpangan antarlantai pada lantai x

δ_x = Defleksi di lantai x

δ_{x-1} = Defleksi pada lantai di bawah lantai x

Defleksi pada lantai yang ditinjau, δ_x , tidak boleh melebihi simpangan antarlantai izin, Δ_a , δ_x ditentukan dengan persamaan berikut :

$$\delta_x = \frac{C_d \times \delta_{ex}}{I_e} \leq \Delta_a \text{ dan tidak melebihi } \Delta_a/\rho \quad (4-24)$$

dimana,

C_d = Faktor amplifikasi defleksi = 2,5 untuk SRPMB

δ_{ex} = Defleksi pada lokasi yang disyaratkan pada pasal 7.8.6 SNI 1726:2012 yang ditentukan dengan analisis elastis

I_e = Faktor keutamaan gempa = 1

Δ_a = Simpangan antarlantai izin

= 0,02 h_{sx} (Tabel 16 SNI 1726:2012)

h_{sx} = Tinggi tingkat di bawah tingkat x

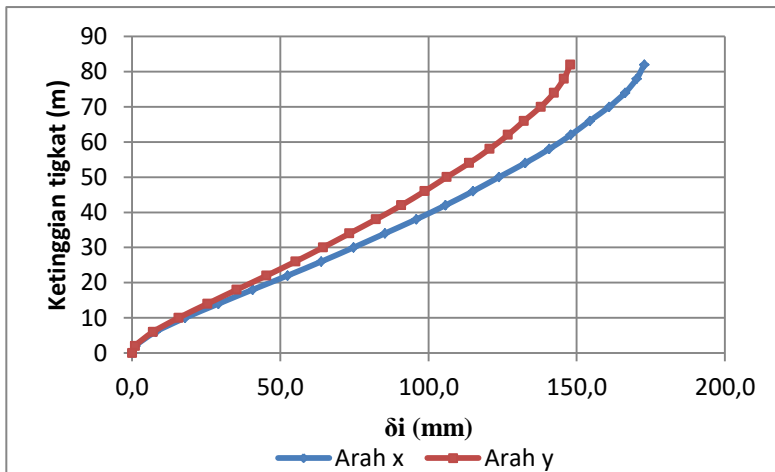
Karena pada kontrol geser dasar $V_t < 0,85V$ maka simpangan antarlantai harus dikalikan dengan $0,85V/V_t$ sesuai dengan ketentuan SNI 1726:2012 pasal 7.9.4.2.

Tabel 4. 35 Kontrol Simpangan Antar Lantai Akibat Beban Gempa Respon Spektrum Arah x

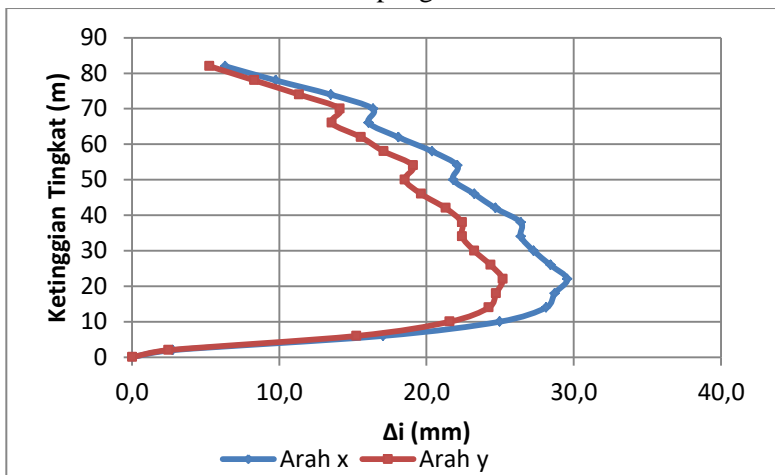
| Arah x | | | | | | |
|-----------|---------------|--------------------|-----------------|-----------------|-----------------|---------------------------------------|
| Lantai | h_{sx} (mm) | δ_{ex} (mm) | δ_x (mm) | Δ_x (mm) | Δ_a (mm) | Kontrol : $\Delta_x \leq \Delta_a$ |
| Atap | 4000 | 172,8 | 431,9 | 6,3 | 80 | OK |
| 21 | 4000 | 170,2 | 425,6 | 9,8 | 80 | OK |
| 20 | 4000 | 166,3 | 415,8 | 13,5 | 80 | OK |
| 19 | 4000 | 160,9 | 402,3 | 16,4 | 80 | OK |
| 18 | 4000 | 154,4 | 386,0 | 16,1 | 80 | OK |
| 17 | 4000 | 148,0 | 369,9 | 18,1 | 80 | OK |
| 16 | 4000 | 140,7 | 351,8 | 20,4 | 80 | OK |
| 15 | 4000 | 132,6 | 331,5 | 22,1 | 80 | OK |
| 14 | 4000 | 123,7 | 309,4 | 21,8 | 80 | OK |
| 13 | 4000 | 115,0 | 287,5 | 23,2 | 80 | OK |
| 12 | 4000 | 105,7 | 264,3 | 24,7 | 80 | OK |
| 11 | 4000 | 95,8 | 239,6 | 26,4 | 80 | OK |
| 10 | 4000 | 85,3 | 213,2 | 26,4 | 80 | OK |
| 9 | 4000 | 74,7 | 186,8 | 27,3 | 80 | OK |
| 8 | 4000 | 63,8 | 159,6 | 28,4 | 80 | OK |
| 7 | 4000 | 52,5 | 131,1 | 29,6 | 80 | OK |
| 6 | 4000 | 40,6 | 101,6 | 28,7 | 80 | OK |
| 5 | 4000 | 29,2 | 72,9 | 28,1 | 80 | OK |
| 4 | 4000 | 17,9 | 44,8 | 25,0 | 80 | OK |
| 3 | 4000 | 7,9 | 19,8 | 17,0 | 80 | OK |
| 2 | 2000 | 1,1 | 2,8 | 2,8 | 40 | OK |
| 1 (Dasar) | 0 | 0 | 0 | 0 | 0 | OK |

Tabel 4.36 Kontrol Simpangan Antar Lantai Akibat Beban Gempa Respon Spektrum Arah y

| Arah y | | | | | | |
|-----------|---------------|--------------------|-----------------|-----------------|-----------------|---------------------------------------|
| Lantai | h_{sy} (mm) | δ_{ey} (mm) | δ_y (mm) | Δ_y (mm) | Δ_a (mm) | Kontrol : $\Delta_y \leq \Delta_a$ |
| Atap | 4000 | 147,8 | 369,5 | 5,3 | 80 | OK |
| 21 | 4000 | 145,7 | 364,3 | 8,3 | 80 | OK |
| 20 | 4000 | 142,4 | 356,0 | 11,3 | 80 | OK |
| 19 | 4000 | 137,9 | 344,6 | 14,1 | 80 | OK |
| 18 | 4000 | 132,2 | 330,5 | 13,6 | 80 | OK |
| 17 | 4000 | 126,8 | 317,0 | 15,5 | 80 | OK |
| 16 | 4000 | 120,6 | 301,4 | 17,1 | 80 | OK |
| 15 | 4000 | 113,7 | 284,3 | 19,1 | 80 | OK |
| 14 | 4000 | 106,1 | 265,2 | 18,5 | 80 | OK |
| 13 | 4000 | 98,7 | 246,7 | 19,6 | 80 | OK |
| 12 | 4000 | 90,8 | 227,1 | 21,3 | 80 | OK |
| 11 | 4000 | 82,3 | 205,8 | 22,4 | 80 | OK |
| 10 | 4000 | 73,4 | 183,4 | 22,4 | 80 | OK |
| 9 | 4000 | 64,4 | 161,0 | 23,2 | 80 | OK |
| 8 | 4000 | 55,1 | 137,7 | 24,3 | 80 | OK |
| 7 | 4000 | 45,4 | 113,4 | 25,2 | 80 | OK |
| 6 | 4000 | 35,3 | 88,2 | 24,7 | 80 | OK |
| 5 | 4000 | 25,4 | 63,5 | 24,2 | 80 | OK |
| 4 | 4000 | 15,7 | 39,3 | 21,6 | 80 | OK |
| 3 | 4000 | 7,1 | 17,7 | 15,2 | 80 | OK |
| 2 | 2000 | 0,98 | 2,5 | 2,5 | 40 | OK |
| 1 (Dasar) | 0 | | 0 | 0 | 0 | OK |



Gambar 4.32 Grafik Hubungan antara Ketinggian Tingkat dan Simpangan



Gambar 4. 33 Grafik Hubungan antara Ketinggian Tingkat dan Simpangan antar Lantai

4.3.4.6 Distribusi Vertikal Gaya Gempa

Berdasarkan SNI 1726:2012 pasal 7.8.3, gaya gempa lateral, F_i yang timbul di semua tingkat ditentukan dari persamaan :

$$F_i = C_{vi} \cdot V \text{ dan } C_{vi} = \frac{w_i h_i^k}{\sum w_i h_i^k}$$

Dimana,

C_{vi} = Faktor distribusi vertikal

V = Gaya lateral desain total atau geser di dasar struktur

w_i = Bagian berat seismik efektif total struktur (W) yang ditempatkan atau dikenakan pada tingkat i

h_i = Tinggi dari dasar sampai tingkat i,

k = Eksponen yang terkait dengan perioda struktur sebagai berikut: untuk struktur yang mempunyai perioda sebesar 2,5 detik atau lebih, k =2

Tabel 4. 37 Distribusi Vertikal Gaya Gempa Arah x

| Lantai | h_i (m) | h_i^k (m) | W_i (kg) | $W_i \cdot h_i^k$ (kg m) | C_{vx} (m) | F_i (kg) | V_i (kg) |
|-----------|-----------|-------------|-------------|--------------------------|--------------|------------|------------|
| Atap | 82 | 6724 | 710022,46 | 4774191021 | 0,1115 | 55054,12 | 55054,12 |
| 21 | 78 | 6084 | 863784,52 | 5255265019 | 0,1227 | 60601,68 | 115655,80 |
| 20 | 74 | 5476 | 863784,52 | 4730084031 | 0,1105 | 54545,50 | 170201,30 |
| 19 | 70 | 4900 | 863784,52 | 4232544147 | 0,0989 | 48808,06 | 219009,36 |
| 18 | 66 | 4356 | 863784,52 | 3762645369 | 0,0879 | 43389,37 | 262398,73 |
| 17 | 62 | 3844 | 896520,52 | 3446224878 | 0,0805 | 39740,53 | 302139,26 |
| 16 | 58 | 3364 | 896520,52 | 3015895029 | 0,0704 | 34778,13 | 336917,39 |
| 15 | 54 | 2916 | 896520,52 | 2614253836 | 0,0611 | 30146,56 | 367063,95 |
| 14 | 50 | 2500 | 896520,52 | 2241301300 | 0,0523 | 25845,82 | 392909,77 |
| 13 | 46 | 2116 | 935208,52 | 1978901228 | 0,0462 | 22819,92 | 415729,70 |
| 12 | 42 | 1764 | 935208,52 | 1649707829 | 0,0385 | 19023,79 | 434753,49 |
| 11 | 38 | 1444 | 935208,52 | 1350441103 | 0,0315 | 15572,76 | 450326,25 |
| 10 | 34 | 1156 | 935208,52 | 1081101049 | 0,0253 | 12466,84 | 462793,09 |
| 9 | 30 | 900 | 979848,52 | 881863667,9 | 0,0206 | 10169,31 | 472962,40 |
| 8 | 26 | 676 | 979848,52 | 662377599,4 | 0,0155 | 7638,28 | 480600,68 |
| 7 | 22 | 484 | 979848,52 | 474246683,6 | 0,0111 | 5468,83 | 486069,51 |
| 6 | 18 | 324 | 979848,52 | 317470920,4 | 0,0074 | 3660,95 | 489730,46 |
| 5 | 14 | 196 | 1030440,52 | 201966341,9 | 0,0047 | 2329,00 | 492059,46 |
| 4 | 10 | 100 | 1030440,52 | 103044052 | 0,0024 | 1188,26 | 493247,72 |
| 3 | 6 | 36 | 1030440,52 | 37095858,72 | 0,0009 | 427,78 | 493675,50 |
| 2 | 2 | 4 | 1030440,52 | 4121762,08 | 0,0001 | 47,53 | 493723,03 |
| 1 (Dasar) | 0 | 0 | 636181,72 | 0 | 0,0000 | 0,00 | 493723,03 |
| Total | | 20169414,6 | 42814742724 | 1,0000 | 493723,03 | | |

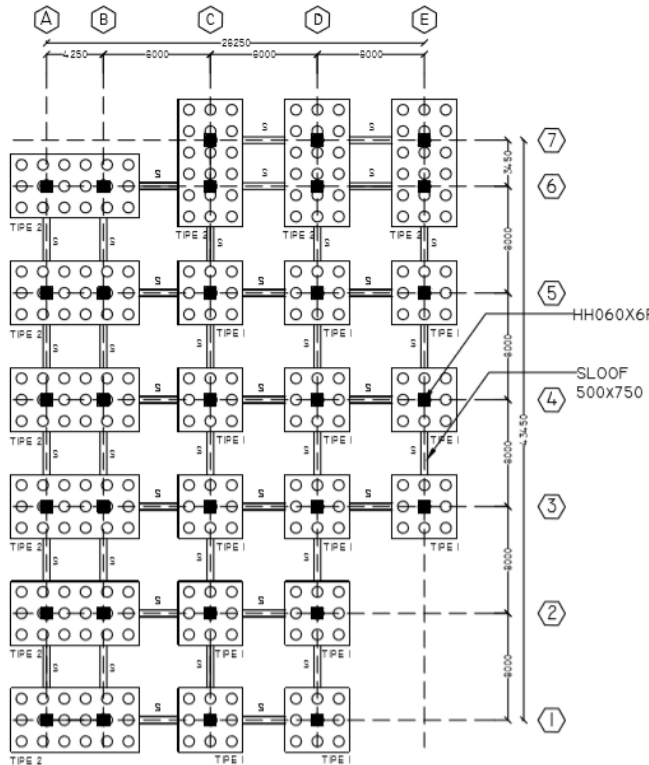
Tabel 4. 38 Distribusi Vertikal Gaya Gempa Arah y

| Lantai | h_i (m) | h_i^k (m) | W_i (kg) | $W_i \cdot h_i^k$ (kg m) | C_{vi} (m) | F_i (kg) | V_i (kg) |
|-----------|-----------|-------------|------------|--------------------------|--------------|------------|------------|
| Atap | 82 | 6724 | 710022,46 | 4774191021 | 0,1115 | 55056,10 | 55056,10 |
| 21 | 78 | 6084 | 863784,52 | 5255265019 | 0,1227 | 60603,85 | 115659,95 |
| 20 | 74 | 5476 | 863784,52 | 4730084031 | 0,1105 | 54547,45 | 170207,40 |
| 19 | 70 | 4900 | 863784,52 | 4232544147 | 0,0989 | 48809,81 | 219017,21 |
| 18 | 66 | 4356 | 863784,52 | 3762645369 | 0,0879 | 43390,92 | 262408,14 |
| 17 | 62 | 3844 | 896520,52 | 3446224878 | 0,0805 | 39741,96 | 302150,09 |
| 16 | 58 | 3364 | 896520,52 | 3015895029 | 0,0704 | 34779,38 | 336929,47 |
| 15 | 54 | 2916 | 896520,52 | 2614253836 | 0,0611 | 30147,64 | 367077,11 |
| 14 | 50 | 2500 | 896520,52 | 2241301300 | 0,0523 | 25846,75 | 392923,86 |
| 13 | 46 | 2116 | 935208,52 | 1978901228 | 0,0462 | 22820,74 | 415744,60 |
| 12 | 42 | 1764 | 935208,52 | 1649707829 | 0,0385 | 19024,47 | 434769,07 |
| 11 | 38 | 1444 | 935208,52 | 1350441103 | 0,0315 | 15573,32 | 450342,40 |
| 10 | 34 | 1156 | 935208,52 | 1081101049 | 0,0253 | 12467,29 | 462809,68 |
| 9 | 30 | 900 | 979848,52 | 881863667,9 | 0,0206 | 10169,67 | 472979,36 |
| 8 | 26 | 676 | 979848,52 | 662377599,4 | 0,0155 | 7638,56 | 480617,91 |
| 7 | 22 | 484 | 979848,52 | 474246683,6 | 0,0111 | 5469,03 | 486086,94 |
| 6 | 18 | 324 | 979848,52 | 317470920,4 | 0,0074 | 3661,08 | 489748,02 |
| 5 | 14 | 196 | 1030440,52 | 201966341,9 | 0,0047 | 2329,08 | 492077,10 |
| 4 | 10 | 100 | 1030440,52 | 103044052 | 0,0024 | 1188,31 | 493265,41 |
| 3 | 6 | 36 | 1030440,52 | 37095858,72 | 0,0009 | 427,79 | 493693,20 |
| 2 | 2 | 4 | 1030440,52 | 4121762,08 | 0,0001 | 47,53 | 493740,73 |
| 1 (Dasar) | 0 | 0 | 636181,72 | 0 | 0,0000 | 0,00 | 493740,73 |
| Total | | | 20169414,6 | 42814742724 | 1,0000 | 493740,73 | |

4.4 Pemodelan dan Analisis Struktur dengan *Base Isolator : High Damping Rubber Bearing (HDRB)*

Struktur dengan isolasi seismik harus dirancang dan dibangun mengacu pada persyaratan SNI 1726:2012 pasal 12. Untuk prosedur analisis akan digunakan analisis dinamis dengan respons spektrum (SNI 1726:2012 pasal 12.4.2).

4.4.1 Preliminary Design High Damping Rubber Bearing (HDRB)



Gambar 4. 34 Denah Pemasangan HDRB

Dalam menentukan dimensi HDRB diperlukan hasil analisis struktur dengan perletakan jepit (*fixed base*) yaitu gaya reaksi terbesar yang terjadi pada kolom :

Kolom interior = 14.228.851 N (as 4-C)

Kolom eksterior = 8.704.497 N (as 6-C)

4.4.1.1 Perhitungan Desain HDRB Kolom Interior

- Menentukan periода T_D
Berdasarkan analisis struktur *fixed base*, diperoleh perioda fundamental struktur, $T = 3,44$ detik. Periode efektif struktur dengan isolasi pada perpindahan rencana, T_D dapat diambil sebesar 3 kali perioda fundamental struktur *fixed base*.
 $T_D = 3T = 3 \cdot 3,44 = 10,33$ detik.
- Kekakuan horizontal isolator, K_H
 $W = 14.228.851$ N
 $T_D = 10,33$ detik
 $g = 9,81 \text{ m/s}^2$

$$K_H = \frac{W \left(\frac{2\pi}{T_D} \right)^2}{g} = \frac{14.228.851 \left(\frac{2\pi}{10,33} \right)^2}{9,81} = 536.692,11 \text{ N/m}$$

$$= 536,69 \text{ N/mm}$$

- Kebutuhan diameter *rubber bearing*
Diasumsikan spesifikasi HDRB sebagai berikut :

| | |
|------------------------------|---|
| Modulus shear, G | = 0,62 N/mm ² |
| Tebal rubber, t _r | = 200 mm |
| Luas rubber, A | = $\frac{K_H \cdot t_r}{G} = \frac{536,69 \cdot 200}{0,62}$ $= 173.126,487 \text{ mm}^2$ |

$$\text{Diameter rubber, } D = \sqrt{\frac{4A}{\pi}} = \sqrt{\frac{4 \times 173.126,487}{\pi}}$$

$$= 469,5 \text{ mm}$$

Digunakan HDRB dengan diameter 600mm (HH060X6R).

4.4.1.2 Perhitungan Desain HDRB Kolom Eksterior

- Menentukan perioda T_D
Berdasarkan analisis struktur *fixed base*, diperoleh perioda fundamental struktur, $T = 3,44$ detik. Periode efektif struktru dengan isolasi pada perpindahan rencana, T_D dapat diambil sebesar 3 kali perioda fundamental struktur *fixed base*.

$$T_D = 3T = 3 \cdot 3,44 = 10,33 \text{ detik.}$$

- Kekakuan horizontal isolator, K_H

$$W = 8.704.497 \text{ N}$$

$$T_D = 10,33 \text{ detik}$$

$$g = 9,81 \text{ m/s}^2$$

$$K_H = \frac{W \left(\frac{2\pi}{T_D} \right)^2}{g} = \frac{8.704.497 \left(\frac{2\pi}{10,33} \right)^2}{9,81} = 328.321,31 \text{ N/m}$$

$$= 328,32 \text{ N/mm}$$

- Kebutuhan diameter *rubber bearing*

Diasumsikan spesifikasi HDRB sebagai berikut :

$$\text{Modulus shear, } G = 0,62 \text{ N/mm}^2$$

$$\text{Tebal rubber, } t_r = 200 \text{ mm}$$

$$\text{Luas rubber, } A = \frac{K_H \cdot t_r}{G} = \frac{328,32 \cdot 200}{0,62}$$

$$= 105.910,10 \text{ mm}^2$$

$$\text{Diameter rubber, } D = \sqrt{\frac{4A}{\pi}} = \sqrt{\frac{4 \times 105.910,10}{\pi}}$$

$$= 367,2 \text{ mm}$$

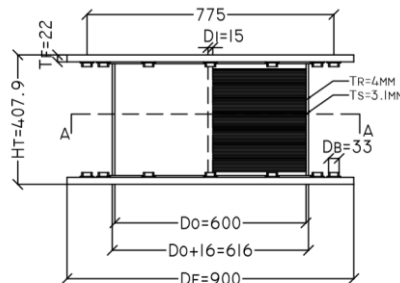
Digunakan HDRB dengan diameter 600mm (HH060X6R).

4.4.1.3 Spesifikasi Produk Base Isolator

Base isolator yang digunakan dalam perancangan gedung ini merupakan produk dari Bridgestone. Spesifikasi produk secara lengkap dapat dilihat pada lampiran.

Tabel 4.39 Spesifikasi Produk HDRB Tipe HH060X6R

| Karakteristik | Nilai | Satuan |
|-------------------------------|-------|-------------|
| Outer diameter | 600 | mm |
| Inner diameter | 15 | mm |
| Thickness of one rubber layer | 4 | mm |
| Number of rubber layers | 50 | - |
| Total rubber thickness | 200 | mm |
| First shape factor | 36,6 | - |
| Second shape factor | 3 | - |
| Diameter of flange | 900 | mm |
| Total height | 407,9 | mm |
| Total weight | 6,5 | kN |
| Compressive stiffness | 1970 | 10^3 kN/m |
| Equivalent shear stiffness | 0,876 | 10^3 kN/m |
| Characteristic strength | 71,5 | kN |
| Equivalent damping ratio | 0,24 | - |
| Initial stiffness | 5,19 | 10^3 kN/m |
| Post yield stiffness | 0,519 | 10^3 kN/m |



Gambar 4. 35 Penampang HDRB Tipe HH060X6R

4.4.1.4 Nilai Kekakuan, Perpindahan Rencana, dan *Base Shear*

- a. Menentukan Koefisien Modifikasi Respon, R_I

Faktor R_I merupakan koefisien yang berhubungan dengan tipe sistem penahanan gaya gempa di atas sistem isolasi. Berdasarkan SNI 1726:2012 pasal 12.5.4.2 nilai R_I harus bernilai $\frac{3}{8}$ dari nilai R struktur di atas sistem isolasi yaitu untuk tipe struktur dengan SRPMB nilai $R = 3$.

$$R_I = \frac{3}{8} R = \frac{3}{8} \cdot 3 = 1,125 \text{ (Syarat } 1 \leq R_I \leq 2\text{)}$$

- b. Koefisien Redaman, B_D atau B_M

Nilai koefisien B_D dan B_M ditentukan dari Tabel 4.. berdasarkan nilai presentase redaman. Sesuai dengan spesifikasi HDRB tipe HH060X6R, besarnya presentase redaman adalah 24%, maka perlu dilakukan interpolasi untuk mendapatkan nilai B_D atau B_M .

Tabel 4. 40 Faktor B_D dan B_M

| Redaman Efektif, β_D atau β_M (presentase dari redaman kritis) | Faktor B_D atau B_M |
|---|-------------------------|
| ≤ 2 | 0,8 |
| 5 | 1,0 |
| 10 | 1,2 |
| 20 | 1,5 |
| 30 | 1,7 |
| 40 | 1,9 |
| ≥ 50 | 2,0 |

$$B_D \text{ dan } B_M = \frac{24-20}{20-10} (1,7 - 1,5) + 1,5 = 1,58$$

- c. Perioda Efektif Struktur yang Diisolasi, T_D dan T_M

T_D = Perioda efektif struktur dengan isolasi seismic, dalam detik pada perpindahan rencana dalam arah yang ditinjau.

T_M = Perioda efektif struktur dengan isolasi seismic, dalam detik pada perpindahan maksimum dalam arah yang ditinjau.

Nilai T_D diambil sebesar 3 kali perioda fundamental struktur terjepit.

Maka, $T_D = 3 \cdot T = 3 \cdot 3,44 = 10,33$ detik

$T_M = 3$ detik (SNI 1726:2012 pasal 12.4.1)

d. Kekakuan Efektif Minimum Sistem Isolasi

- $k_{D\min}$

Adalah kekakuan efektif minimum sistem isolasi, dalam Kn/mm, pada perpindahan rencana (SNI 1726:2012 pasal 12.5.3)

$$T_D = 2\pi \sqrt{\frac{W}{k_{D\min} \cdot g}}$$

dimana W adalah berat seismik efektif di atas pemisah isolasi, $W = 20.169.415 \text{ kg} = 197.861.957 \text{ N}$.

$$k_{D\min} = \frac{4\pi^2 \cdot W}{T_D \cdot g} = \frac{4\pi^2 \times 197.861.957}{10,33 \times 9,81} = 7.463.072,9 \text{ N/m}$$

- $k_{M\min}$

Adalah kekakuan efektif minimum sistem isolasi, dalam Kn/mm, pada perpindahan rencana (SNI 1726:2012 pasal 12.5.3)

$$T_M = 2\pi \sqrt{\frac{W}{k_{M\min} \cdot g}}$$

dimana W adalah berat seismik efektif di atas pemisah isolasi, $W = 20.169.415 \text{ kg} = 197.861.957 \text{ N}$.

$$k_{M\min} = \frac{4\pi^2 \cdot W}{T_M \cdot g} = \frac{4\pi^2 \times 197.861.957}{3 \times 9,81} = 7.086.655,1 \text{ N/m}$$

e. Kekakuan Efektif Maksimum Sistem Isolasi

Kekakuan efektif maksimum, $k_{D\max}$ dan $k_{M\max}$, diasumsikan sebesar $a + 10\%$ dari kekakuan efektif minimum.

$$k_{D\max} = \frac{1,1 \cdot k_{D\min}}{0,9} = \frac{1,1 \times 7.463.072,9}{0,9} = 9.121.533,5 \text{ N/m}$$

$$k_{M\max} = \frac{1,1 \cdot k_{M\min}}{0,9} = \frac{1,1 \times 7.086.655,1}{0,9} = 8.661.467,4 \text{ N/m}$$

- f. Perpindahan Rencana dan Perpindahan Maksimum
- Perpindahan Rencana, D_D
Sesuai dengan SNI 1726:2012 pasal 12.5.3.1, perpindahan rencana dapat ditentukan dengan perumusan berikut :

$$D_D = \frac{g \cdot S_{D1} \cdot T_D}{4\pi^2 \cdot B_D} = \frac{9,81 \cdot 0,297 \cdot 10,33}{4\pi^2 \cdot 1,58} = 0,483 \text{ m}$$
 - Perpindahan Maksimum, D_M
Sesuai dengan SNI 1726:2012 pasal 12.5.3.3, perpindahan rencana dapat ditentukan dengan perumusan berikut :

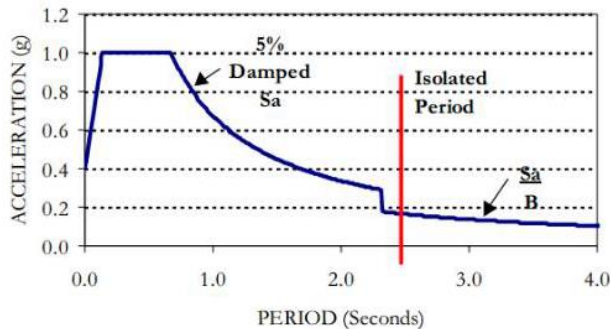
$$D_M = \frac{g \cdot S_{M1} \cdot T_M}{4\pi^2 \cdot B_M} = \frac{9,81 \cdot 0,446 \cdot 3}{4\pi^2 \cdot 1,58} = 0,210 \text{ m}$$
- g. Gaya Lateral Minimum
- Sistem isolasi dan elemen struktural di bawah sistem isolasi Berdasarkan SNI 1726:2012 pasal 12.5.4.1 sistem isolasi, fondasi dan semua elemen-elemen struktural dibawah sistem isolasi harus direncanakan dan dibangun untuk menahan gaya gempa lateral minimum, V_b sesuai dengan persamaan berikut :
- $$\begin{aligned} V_b &= k_{D\text{maks}} \cdot D_D \\ &= 9.121.533,5 \times 0,483 \\ &= 4.407.842,03 \text{ N} \\ &= 449.321,31 \text{ kg} \end{aligned}$$
- Elemen struktural di atas sistem isolasi
Berdasarkan SNI 1726:2012 pasal 12.5.4.2 struktur di atas sistem isolasi harus direncanakan dan dibangun untuk menahan gaya geser minimum, V_s .

$$\begin{aligned} V_s &= k_{D\text{maks}} \cdot D_D / R_I \\ &= 9.121.533,5 \times 0,483 / 1,125 \\ &= 3.526.273,624 \text{ N} \\ &= 359.457,05 \text{ kg} \end{aligned}$$

4.4.2 Pembebatan Gempa

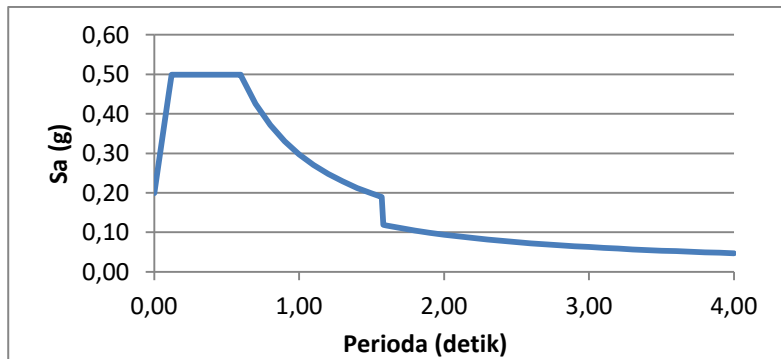
Dalam analisis dinamis struktur dengan isolasi seismik, beban gempa respon spektrum dengan redaman awal 5%

kemudian direduksi oleh faktor koefisien redaman efektif, B, seperti pada Gambar 4.37 (Kelly,2001).



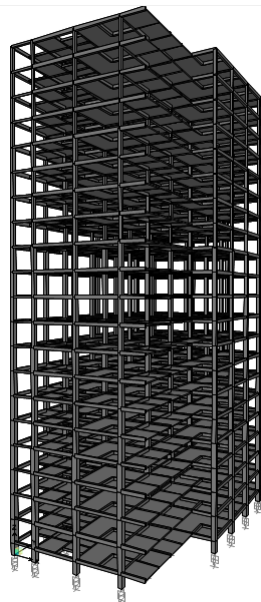
Gambar 4. 36 Respons Spektrum Struktur dengan *Base Isolator*
Sumber

Untuk perencanaan ini redaman efektif *base isolator* yang digunakan adalah 24% dengan $B = 1,58$.



Gambar 5. 1 Respons Spektrum Surabaya dengan *Base Isolator*

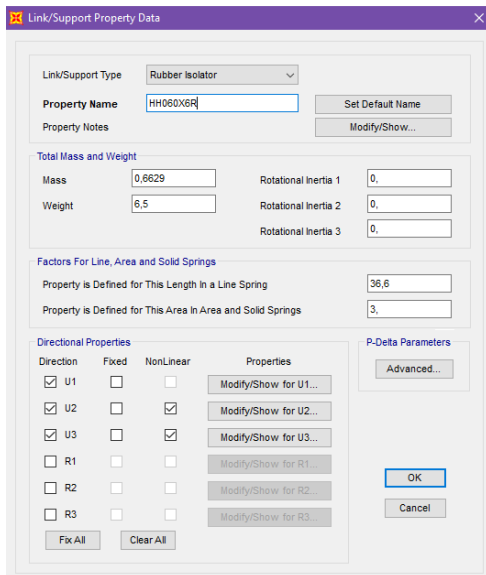
4.4.3 Pemodelan Struktur dengan *Base Isolator*



Gambar 4.37 Pemodelan Struktur dengan *Base Isolator*

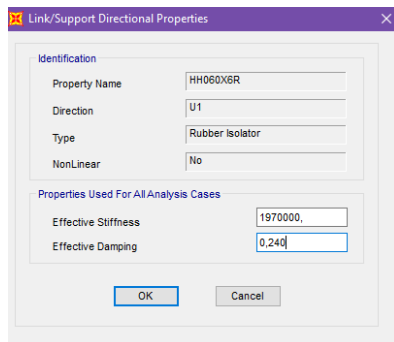
Perletakan jepit yang sebelumnya telah dimodelkan diganti dengan *base isolator* jenis HDRB. HDRB tersebut akan dimodelkan sebagai *link* dalam program bantu analisis SAP2000. Berikut langkah-langkahnya :

1. Definisikan perletakan HDRB
Define > Section Properties > Link/Support Properties > Add new property
2. Masukkan data dari spesifikasi HDRB yang akan digunakan yaitu HH060X6R.

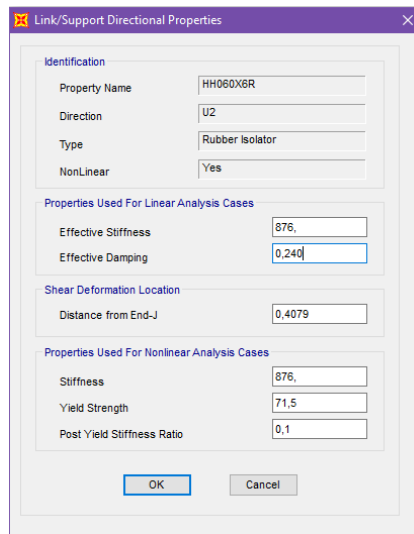


Gambar 4.38 *Input Link/Support Property Data*

3. Kemudian dilakukan input data Directional properties yang meliputi UI dalam arah vertikal, U2 dan U3 dalam arah horizontal.



Gambar 4.39 *Input Link/Support Directional Properties U1*



Gambar 4. 40 *Input Link/Support Directional Properties* U2 dan U3

4. Draw HDRB HH060X6R sebagai perletakan.

Klik menu *Draw > Draw 1 joint link >* pilih *Link properties* HH060X6R > klik pada *joint* yang akan diberikan isolator. Lalu *Run Analyze*.

4.4.4 Analisis Struktur dengan Base Isolator

4.4.4.1 Kontrol Partisipasi Massa

Analisis yang dilakukan harus menyertakan jumlah ragam yang cukup untuk mendapatkan partisipasi massa ragam terkombinasi minimal 90 dari massa aktual dari masing-masing arah horizontal ortogonal dari respon yang ditinjau model (SNI 1726:2012 pasal 7.9.1). Hasil analisis struktur seperti pada Tabel 4.40, partisipasi massa telah mencapai lebih dari 90% yaitu 95,1 % untuk arah x dan 93,7% arah y pada moda ke 2.

Tabel 4. 41 Partisipasi Massa

| OutputCase | StepType | StepNum | Period | SumUX | SumUY |
|------------|----------|----------|--------|----------|----------|
| Text | Text | Unitless | Sec | Unitless | Unitless |
| MODAL | Mode | 1 | 6,548 | 0,897 | 0,039 |
| MODAL | Mode | 2 | 6,394 | 0,951 | 0,937 |
| MODAL | Mode | 3 | 5,474 | 0,974 | 0,980 |
| MODAL | Mode | 4 | 1,903 | 0,996 | 0,980 |
| MODAL | Mode | 5 | 1,801 | 0,997 | 0,996 |
| MODAL | Mode | 6 | 1,561 | 0,997 | 0,998 |
| MODAL | Mode | 7 | 0,993 | 0,999 | 0,998 |
| MODAL | Mode | 8 | 0,941 | 0,999 | 0,999 |
| MODAL | Mode | 9 | 0,824 | 0,999 | 0,999 |
| MODAL | Mode | 10 | 0,655 | 1,000 | 0,999 |
| MODAL | Mode | 11 | 0,621 | 1,000 | 1,000 |
| MODAL | Mode | 12 | 0,545 | 1,000 | 1,000 |

4.4.4.2 Kontrol Gaya Geser Dasar

Struktur dengan sistem isolasi direncanakan untuk gaya geser lateral tidak kurang dari 80% V_s sesuai dengan SNI 1726:2012 pasal 12.6.2.2. Dari hasil analisis diperoleh gaya geser lateral dinamis seperti pada Tabel 4.41.

Tabel 4. 42 Output Base Reaction

| OutputCase | CaseType | StepType | GlobalFX | GlobalFY |
|------------|-------------|----------|-----------|-----------|
| Text | Text | Text | Kgf | Kgf |
| RSX | LinRespSpec | Max | 294284,62 | 90448,18 |
| RSY | LinRespSpec | Max | 91000,81 | 292385,51 |

$$0,8 V_s = 0,8 \times 359.457,05 \text{ kg} = 287.565,64 \text{ kg}$$

$$V_{d\ x} = 294.284,62 \text{ kg} > 0,8V_s \quad (\text{Ok})$$

$$V_{d\ y} = 292.385,51 \text{ kg} > 0,8V_s \quad (\text{Ok})$$

4.4.4.3 Kontrol Simpangan antar Lantai

Simpangan antar lantai maksimum struktur di atas sistem isolasi tidak boleh melebihi $0,015 h_{sx}$. Simpangan antar lantai

harus dihitung berdasarkan persamaan di bawah ini, dengan faktor C_d dari sistem isolasi sama dengan faktor R_I (SNI 1726:2012 pasal 12.5.6).

$$\delta_x = \frac{C_d \times \delta_{ex}}{I_e}$$

dimana,

δ_x = Defleksi pada lantai yang ditinjau

C_d = R_I = 1,125

δ_{ex} = Defleksi yang ditentukan dengan analisis elastis

I_e = Faktor keutamaan gempa = 1

h_{sx} = Tinggi tingkat di bawah tingkat x

Tabel 4. 43 Perpindahan dan Simpangan antarlantai akibat Gempa Arah x

| Arah x | | | | | | |
|-----------|----------|--------------------|-----------------|-----------------|-----------------|--------------------------|
| Lantai | hsx (mm) | δ_{ex} (mm) | δ_x (mm) | Δx (mm) | Δa (mm) | $\Delta x \leq \Delta a$ |
| Atap | 4000 | 233,1 | 262,2 | 1,283 | 60 | OK |
| 21 | 4000 | 231,96 | 261,0 | 1,980 | 60 | OK |
| 20 | 4000 | 230,2 | 259,0 | 2,587 | 60 | OK |
| 19 | 4000 | 227,9 | 256,4 | 3,487 | 60 | OK |
| 18 | 4000 | 224,8 | 252,9 | 3,375 | 60 | OK |
| 17 | 4000 | 221,8 | 249,5 | 3,938 | 60 | OK |
| 16 | 4000 | 218,3 | 245,6 | 4,613 | 60 | OK |
| 15 | 4000 | 214,2 | 241,0 | 5,063 | 60 | OK |
| 14 | 4000 | 209,7 | 235,9 | 5,063 | 60 | OK |
| 13 | 4000 | 205,2 | 230,9 | 5,512 | 60 | OK |
| 12 | 4000 | 200,3 | 225,3 | 6,075 | 60 | OK |
| 11 | 4000 | 194,9 | 219,3 | 6,413 | 60 | OK |
| 10 | 4000 | 189,2 | 212,9 | 6,525 | 60 | OK |
| 9 | 4000 | 183,4 | 206,3 | 6,975 | 60 | OK |
| 8 | 4000 | 177,2 | 199,4 | 7,313 | 60 | OK |
| 7 | 4000 | 170,7 | 192,0 | 7,650 | 60 | OK |
| 6 | 4000 | 163,9 | 184,4 | 7,875 | 60 | OK |
| 5 | 4000 | 156,9 | 176,5 | 8,100 | 60 | OK |
| 4 | 4000 | 149,7 | 168,4 | 8,550 | 60 | OK |
| 3 | 4000 | 142,1 | 159,9 | 8,887 | 60 | OK |
| 2 | 2000 | 134,2 | 151,0 | 4,950 | 30 | OK |
| 1 (Dasar) | 0 | 129,8 | 146,0 | 0,000 | 0 | OK |

Tabel 4. 44 Perpindahan dan Simpangan antarlantai akibat Gempa
Arah y

| Lantai | hsx (mm) | δ_{ex} | δ_x | Δx | Δa (mm) | $\Delta x \leq \Delta a$ |
|-----------|----------|---------------|------------|------------|-----------------|--------------------------|
| Atap | 4000 | 209,5 | 235,7 | 0,900 | 60 | OK |
| 21 | 4000 | 208,7 | 234,8 | 1,575 | 60 | OK |
| 20 | 4000 | 207,3 | 233,2 | 2,250 | 60 | OK |
| 19 | 4000 | 205,3 | 231,0 | 2,813 | 60 | OK |
| 18 | 4000 | 202,8 | 228,2 | 2,813 | 60 | OK |
| 17 | 4000 | 200,3 | 225,3 | 3,262 | 60 | OK |
| 16 | 4000 | 197,4 | 222,1 | 3,713 | 60 | OK |
| 15 | 4000 | 194,1 | 218,4 | 4,162 | 60 | OK |
| 14 | 4000 | 190,4 | 214,2 | 4,275 | 60 | OK |
| 13 | 4000 | 186,6 | 209,9 | 4,500 | 60 | OK |
| 12 | 4000 | 182,6 | 205,4 | 5,063 | 60 | OK |
| 11 | 4000 | 178,1 | 200,4 | 5,400 | 60 | OK |
| 10 | 4000 | 173,3 | 195,0 | 5,400 | 60 | OK |
| 9 | 4000 | 168,5 | 189,6 | 5,737 | 60 | OK |
| 8 | 4000 | 163,4 | 183,8 | 6,075 | 60 | OK |
| 7 | 4000 | 158 | 177,8 | 6,412 | 60 | OK |
| 6 | 4000 | 152,3 | 171,3 | 6,525 | 60 | OK |
| 5 | 4000 | 146,5 | 164,8 | 6,862 | 60 | OK |
| 4 | 4000 | 140,4 | 158,0 | 7,088 | 60 | OK |
| 3 | 4000 | 134,1 | 150,9 | 7,537 | 60 | OK |
| 2 | 2000 | 127,4 | 143,3 | 4,275 | 30 | OK |
| 1 (Dasar) | 0 | 123,6 | 139,1 | 0,000 | 0 | OK |

Perpindahan pada lantai dasar merupakan perpindahan dari sistem isolasi yang perlu dikontrol dengan D_M .

Arah x : $\delta_x = 146,0$ mm $< D_M = 210$ mm

Arah y : $\delta_y = 139,1$ mm $< D_M = 210$ mm

Dari hasil analisis *base isolation structure*, simpangan antar lantai memenuhi persyaratan. Maka dapat disimpulkan struktur kuat terhadap beban perpindahan rencana.

4.4.4.4 Perbandingan Struktur *Fixed Base* dan Struktur dengan *Base Isolator*

1. Perioda Fundamental Struktur

$$T_{\text{fixed base}} = 3,44 \text{ detik}$$

$$T_{\text{isolated}} = 6,548 \text{ detik}$$

Perioda fundamental struktur dengan *base isolator* tipe HDRB meningkat 1,9 kali lipat dari struktur *fixed base*, karena berkurangnya kekakuan struktur pada bagian dasar akibat penggunaan *base isolator*.

2. Gaya geser dasar

Perbandingan antara gaya geser dasar pada struktur *fixed base* dan struktur dengan *base isolator* dapat dilihat pada Tabel 4.45.

Tabel 4. 45 Perbandingan Gaya Geser Dasar

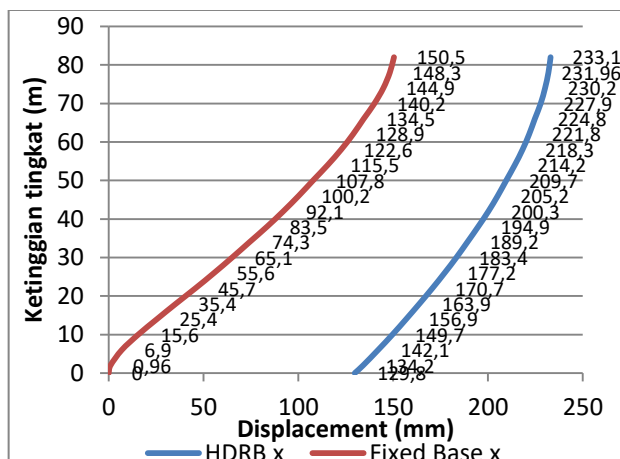
| Gempa | Fixed Base (kg) | HDRB (kg) | % Reduksi |
|--------|--------------------|--------------|-----------|
| arah X | 430109,8 | 294284,6 | 31,579 |
| arah Y | 446258,8 | 292385,5 | 34,481 |

3. Perpindahan akibat Beban Gempa

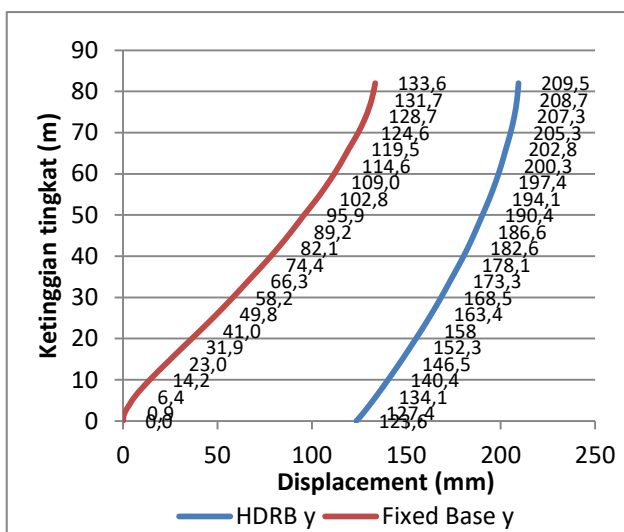
Perbandingan antara perpindahan akibat beban gempa pada struktur *fixed base* dan struktur dengan *base isolator* dapat dilihat pada Tabel 4.46.

Tabel 4. 46 Perbandingan Perpindahan akibat Beban Gempa

| Lantai | Ketinggian (m) | Arah x | | Arah y | |
|-----------|-------------------|------------|----------------|------------|----------------|
| | | Fixed Base | Base Isolation | Fixed Base | Base Isolation |
| Atap | 82 | 150,5 | 233,1 | 133,6 | 209,5 |
| 21 | 78 | 148,3 | 231,96 | 131,7 | 208,7 |
| 20 | 74 | 144,9 | 230,2 | 128,7 | 207,3 |
| 19 | 70 | 140,2 | 227,9 | 124,6 | 205,3 |
| 18 | 66 | 134,5 | 224,8 | 119,5 | 202,8 |
| 17 | 62 | 128,9 | 221,8 | 114,6 | 200,3 |
| 16 | 58 | 122,6 | 218,3 | 108,98 | 197,4 |
| 15 | 54 | 115,5 | 214,2 | 102,8 | 194,1 |
| 14 | 50 | 107,8 | 209,7 | 95,9 | 190,4 |
| 13 | 46 | 100,2 | 205,2 | 89,2 | 186,6 |
| 12 | 42 | 92,1 | 200,3 | 82,1 | 182,6 |
| 11 | 38 | 83,5 | 194,9 | 74,4 | 178,1 |
| 10 | 34 | 74,3 | 189,2 | 66,3 | 173,3 |
| 9 | 30 | 65,1 | 183,4 | 58,2 | 168,5 |
| 8 | 26 | 55,6 | 177,2 | 49,8 | 163,4 |
| 7 | 22 | 45,7 | 170,7 | 41 | 158 |
| 6 | 18 | 35,4 | 163,9 | 31,9 | 152,3 |
| 5 | 14 | 25,4 | 156,9 | 22,96 | 146,5 |
| 4 | 10 | 15,6 | 149,7 | 14,2 | 140,4 |
| 3 | 6 | 6,9 | 142,1 | 6,4 | 134,1 |
| 2 | 2 | 0,96 | 134,2 | 0,89 | 127,4 |
| 1 (Dasar) | 0 | 0 | 129,8 | 0 | 123,6 |



Gambar 4. 41 Perpindahan akibat Gempa Arah x



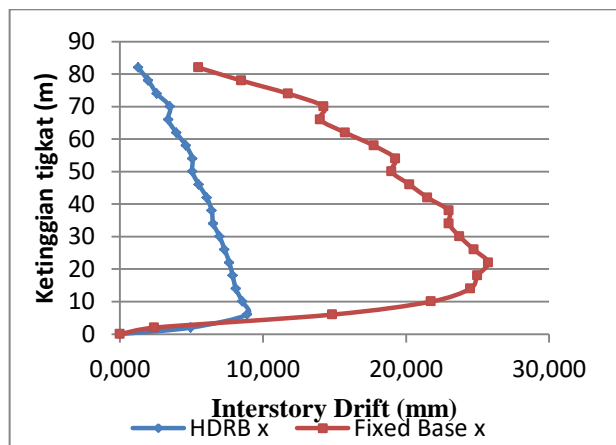
Gambar 4. 42 Perpindahan akibat Gempa Arah y

4. Simpangan Antarlantai akibat Beban Gempa

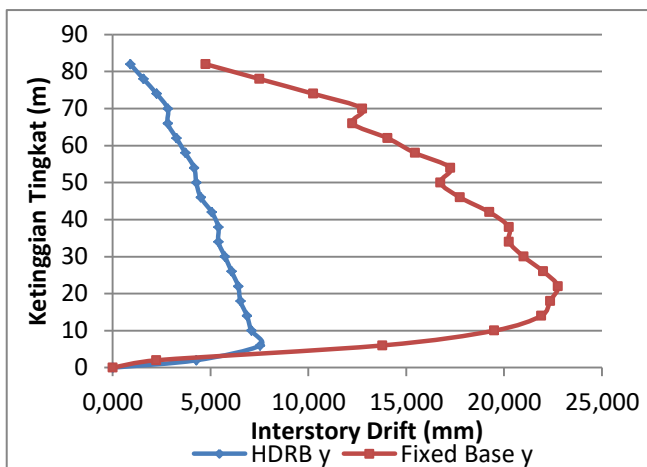
Perbandingan antara simpangan antarlantai akibat beban gempa pada struktur *fixed base* dan struktur dengan *base isolator* dapat dilihat pada Tabel 4.46.

Tabel 4. 47 Perbandingan Simpangan Antarlantai

| Lantai | Ketinggian (m) | Arah x | | Arah y | |
|-----------|-------------------|------------|----------------|------------|----------------|
| | | Fixed Base | Base Isolation | Fixed Base | Base Isolation |
| Atap | 82 | 5,50 | 1,28 | 4,75 | 0,90 |
| 21 | 78 | 8,50 | 1,98 | 7,50 | 1,57 |
| 20 | 74 | 11,75 | 2,59 | 10,25 | 2,25 |
| 19 | 70 | 14,25 | 3,49 | 12,75 | 2,81 |
| 18 | 66 | 14,00 | 3,38 | 12,25 | 2,81 |
| 17 | 62 | 15,75 | 3,94 | 14,05 | 3,26 |
| 16 | 58 | 17,75 | 4,61 | 15,45 | 3,71 |
| 15 | 54 | 19,25 | 5,06 | 17,25 | 4,16 |
| 14 | 50 | 19,00 | 5,06 | 16,75 | 4,28 |
| 13 | 46 | 20,25 | 5,51 | 17,75 | 4,50 |
| 12 | 42 | 21,50 | 6,07 | 19,25 | 5,06 |
| 11 | 38 | 23,00 | 6,41 | 20,25 | 5,40 |
| 10 | 34 | 23,00 | 6,52 | 20,25 | 5,40 |
| 9 | 30 | 23,75 | 6,98 | 21,00 | 5,74 |
| 8 | 26 | 24,75 | 7,31 | 22,00 | 6,08 |
| 7 | 22 | 25,75 | 7,65 | 22,75 | 6,41 |
| 6 | 18 | 25,00 | 7,88 | 22,35 | 6,53 |
| 5 | 14 | 24,50 | 8,10 | 21,90 | 6,86 |
| 4 | 10 | 21,75 | 8,55 | 19,50 | 7,09 |
| 3 | 6 | 14,85 | 8,89 | 13,78 | 7,54 |
| 2 | 2 | 2,40 | 4,95 | 2,23 | 4,28 |
| 1 (Dasar) | 0 | 0,00 | 0,00 | 0,00 | 0,00 |



Gambar 4. 43 Simpangan Antarlantai akibat Gempa Arah x



Gambar 4. 44 Simpangan Antarlantai akibat Gempa Arah y

4.5 Perencanaan Struktur Utama

4.5.1 Perencanaan Balok Induk

Balok induk merupakan struktur utama yang memikul beban struktur sekunder dan meneruskan beban tersebut ke kolom. Perencanaan balok induk meliputi perencanaan tulangan lentur, tulangan geser, dan tulangan torsi. Gaya dalam yang digunakan untuk perencanaan merupakan hasil kombinasi pembebanan yang menghasilkan envelope terbesar pada masing-masing tipe balok. Pada subbab ini akan diberikan contoh perhitungan untuk balok induk tipe BI 1 dengan dimensi 40/60cm dan panjang bentang 8m.

4.5.1.1 Data Perencanaan

Data Perencanaan Tulangan

| | |
|---------------------------------|---|
| Dimensi balok | = 400 mm x 600 mm |
| Panjang bentang, L | = 8000 mm |
| Mutu beton, $f'c$ | = 40 MPa |
| Mutu baja, f_y | = 400 MPa |
| Diameter tulangan lentur, D_b | = 22 mm ($A_{s1\text{ tul}} = 380,13 \text{ mm}^2$) |

| | |
|--------------------------------|--|
| Diameter tulangan geser, D_s | = 13 mm ($A_{s\ 1\ tul} = 132,73\ mm^2$) |
| Diameter tulangan torsi | = 22 mm ($A_{s\ 1\ tul} = 380,13\ mm^2$) |
| Selimut beton | = 50 mm |

Gaya Dalam Hasil Analisi Struktur BI 1

Tabel 4. 48 Gaya Dalam Balok Induk BI 1

| Gaya Dalam | Notasi | Nilai | Satuan |
|-----------------------------|-------------------|--------------|--------|
| Tumpuan kiri momen positif | $M_t\ kiri\ +$ | 248.464.677 | N mm |
| Tumpuan kiri momen negatif | $M_t\ kiri\ -$ | -562.319.070 | N mm |
| Tumpuan kanan momen positif | $M_t\ kanan\ +$ | 216.970.804 | N mm |
| Tumpuan kanan momen negatif | $M_t\ kanan\ -$ | -521.322.489 | N mm |
| Lapangan momen positif | $M_{lapangan}\ +$ | 207.718.224 | N mm |
| Gaya geser | V_u | 231.130 | N |
| Gaya aksial | P_u | 0 | N |
| Torsi | T_u | 70.148.547 | N mm |

Cek Penampang Lentur

1. Gaya tekan aksial terfaktor, $P_u < 0,1 \cdot A_g \cdot f'_c$ (Ok)
2. Bentang bersih, $L_n = 8000\text{mm} > 4d = 2104\text{ mm}$ (Ok)
3. Lebar komponen, $b_w = 400\text{mm} > 0,3h = 180\text{mm}$ (Ok)
4. Lebar komponen, $b_w = 400\text{mm} > 250\text{ mm}$ (Ok)

4.5.1.2 Perencanaan Tulangan Lentur

Data Tulangan

| | |
|--------|---|
| f'_c | = 40 MPa |
| f_y | = 400 MPa |
| b | = 400 mm |
| h | = 600 mm |
| D_b | = 22 mm ($A_{s\ 1\ tul} = 201,062\ mm^2$) |

$$\begin{aligned}
 D_s &= 13 \text{ mm} \quad (A_{s \text{ tul}} = 78,54 \text{ mm}^2) \\
 \text{Selimut} &= 50 \text{ mm} \\
 m &= f_y/(0,85f'_c) = 400/(0,85 \cdot 40) = 11,765
 \end{aligned}$$

Rasio tulangan minimum (ρ_{\min})

Berdasarkan SNI 2847:2013 pasal 10.5.1 rasio tulangan minimum harus disediakan sebesar :

$$\begin{aligned}
 \rho_{\min} &\geq 0,25\sqrt{f'_c c} / f_y \text{ dan, } \rho_{\min} \geq 1,4/f_y \\
 \geq 0,25\sqrt{40} / 400 &\geq 1,4/400 \\
 \geq 0,00395 &\geq 0,004
 \end{aligned}$$

Maka diambil $\rho_{\min} = 0,004$

Rasio tulangan maksimum (ρ_{\max})

Berdasarkan SNI 2847:2013 Lampiran B pasal 10.3.3 rasio tulangan maksimum tidak boleh melebihi $0,75\rho_b$.

$$\beta_1 = 0,85 - 0,05 \frac{f'_c - 28}{7} = 0,85 - 0,05 \frac{40 - 28}{7} = 0,76$$

$$\begin{aligned}
 \rho_b &= \frac{0,85 \cdot f'_c \cdot \beta_1}{f_y} \left(\frac{600}{600 + f_y} \right) = \frac{0,85 \cdot 40 \cdot 0,76}{400} \left(\frac{600}{600 + 400} \right) = 0,0389 \\
 \rho_{\max} &= 0,75 \rho_b = 0,75 \cdot 0,0389 = 0,029
 \end{aligned}$$

a) Tulangan Lentur Tumpuan Momen Negatif

Kebutuhan tulangan awal direncanakan menggunakan satu lapis tulangan dengan tinggi efektif, d :

$$\begin{aligned}
 d &= h - \text{selimut beton} - D_s - 0,5D_b \\
 &= 600 - 40 - 13 - 0,5 \cdot 22 \\
 &= 526 \text{ mm}
 \end{aligned}$$

Rasio tulangan perlu

$$\begin{aligned}
 M_t &= 562.319.070 \text{ N mm} \\
 \varphi &= 0,9 \text{ (diasumsikan beton terkendali tarik)} \\
 R_n &= \frac{M_u}{\varphi b d^2} = \frac{562.319.070}{0,9 \cdot 300 \cdot 526^2} = 5,646 \text{ MPa} \\
 \rho_{\text{perlu}} &= \frac{1}{m} \cdot \left(1 - \sqrt{1 - \frac{2 \cdot m \cdot R_n}{f_y}} \right)
 \end{aligned}$$

$$= \frac{1}{11,765} \left(1 - \sqrt{1 - \frac{2.11,765,5,646}{400}} \right)$$

$$= 0,016$$

$\rho_{\min} < \rho_{\text{perlu}} < \rho_{\text{maks}}$, maka $\rho = \rho_{\text{perlu}} = 0,016$

Luas tulangan perlu

$$A_s \text{ perlu} = \rho \cdot b \cdot d = 0,016 \cdot 400 \cdot 526 = 3268,19 \text{ mm}^2$$

Jumlah tulangan

$$n = A_s \text{ perlu} / A_s \text{ 1 tul} = 3268,19 / 380,133 = 8,59 \approx 9 \text{ buah}$$

Jarak antar tulangan

Syarat $s \geq 25\text{mm}$

$$s = \frac{b - 2 \cdot \text{selimut} - 2d_s - n \cdot d_b}{n \cdot \text{tul}-1} = \frac{300 - 2.40 - 2.13 - 9.22}{9-1}$$

$$= 9,5 \text{ mm} < 25\text{mm}$$

Karena spasi antar tulangan $< 25\text{ mm}$ maka tulangan dipasang dalam 2 lapis, dengan jumlah tulangan **10D22** (5 buah pada lapis pertama, dan 5 buah pada lapis kedua).

$$S = \frac{b - 2 \cdot \text{selimut} - 2d_s - n \cdot d_b}{n \cdot \text{tul}-1} = \frac{300 - 2.40 - 2.13 - 5.22}{5-1}$$

$$= 41 \text{ mm} > 25 \text{ mm} (\text{Ok})$$

Koreksi tinggi efektif, d

$$As \text{ lapis 1} = 5D22 = 1900,66 \text{ mm}^2$$

$$As \text{ lapis 2} = 5D22 = 1900,66 \text{ mm}^2$$

$$As \text{ total} = 10D22 = 3801,32 \text{ mm}^2 > As \text{ perlu}$$

$$x = \frac{A_s \text{ lapis 1} (c_c + D_s + D_b / 2) + A_s \text{ lapis 2} (c_c + D_s + D_b / 2 + 25)}{A_s \text{ total}}$$

$$= \frac{1900,66 (50 + 13 + 22 / 2) + 1900,66 (50 + 13 + 22 / 2 + 25)}{3801,32}$$

= 97,5 mm (jarak serat bawah ke tengah lapis tulangan)

$$d = h - x = 600 - 97,5 = 502,5 \text{ mm}$$

Cek kondisi penampang

$$a = \frac{As \cdot fy}{0,85 \cdot fc' \cdot b} = \frac{3801,32 \cdot 400}{0,85 \cdot 40 \cdot 400} = 111,8$$

$$\beta_1 = 0,85 - 0,05 \frac{fc' - 28}{7} = 0,85 - 0,05 \frac{40 - 28}{7} = 0,76$$

Tinggi area tekan beton, $c = a/\beta_1 = 111,8/0,76 = 146,3$

$$\begin{aligned}\varepsilon_t &= 0,003(d - c)/c \\ &= 0,003(502,5 - 146,3)/146,3 \\ &= 0,0073 > 0,005 \text{ (Beton terkendali tarik)}\end{aligned}$$

Maka asumsi $\varphi = 0,9$ dapat digunakan.

Cek kemampuan penampang

Syarat, $\varphi M_n > M_u$ dimana,

$$\begin{aligned}M_n &= As \cdot fy \left(d - \frac{a}{2} \right) \\ &= 3801,32 \times 400 (502,5 - 111,8/2) \\ &= 679.066.232,8 \text{ N mm}\end{aligned}$$

$$\begin{aligned}\varphi M_n &= 0,9 \times 679.066.232,8 \text{ N mm} \\ &= 611.159.609,5 \text{ N mm} > M_u = 562.319.070 \text{ Nmm} \\ &\text{(Ok)}$$

b) Tulangan Lentur Tumpuan Momen Positif

Kebutuhan tulangan awal direncanakan menggunakan satu lapis tulangan dengan tinggi efektif, d :

$$\begin{aligned}d &= h - \text{selimut beton} - D_s - 0,5D_b \\ &= 600 - 40 - 13 - 0,5 \cdot 22 \\ &= 526 \text{ mm}\end{aligned}$$

Rasio tulangan perlu

$$M_t + = 281.159.535 \text{ N mm}$$

$$\varphi = 0,9 \text{ (diasumsikan beton terkendali tarik)}$$

$$Rn = \frac{Mu}{\varphi bd^2} = \frac{281.159.535}{0,9 \cdot 300 \cdot 526^2} = 2,823 MPa$$

$$\begin{aligned}\rho_{\text{perlu}} &= \frac{1}{m} \cdot \left(1 - \sqrt{1 - \frac{2 \cdot m \cdot Rn}{fy}} \right) \\ &= \frac{1}{11,765} \left(1 - \sqrt{1 - \frac{2 \cdot 11,765 \cdot 2,823}{400}} \right)\end{aligned}$$

$$= 0,007$$

$\rho_{\min} < \rho_{\text{perlu}} < \rho_{\text{maks}}$, maka $\rho = \rho_{\text{perlu}} = 0,007$

Luas tulangan perlu

$$A_s \text{ perlu} = \rho \cdot b \cdot d = 0,007 \cdot 400 \cdot 526 = 1552,14 \text{ mm}^2$$

Jumlah tulangan

$$n = A_s \text{ perlu} / A_{s \text{ tul}} = 1552,14 / 380,133 = 4,08 \approx 5 \text{ buah}$$

Jarak antar tulangan

Syarat $s \geq 25\text{mm}$

$$s = \frac{b - 2 \cdot \text{selimut} - 2d_s - n \cdot d_b}{n \cdot \text{tul}-1} = \frac{300 - 2.40 - 2.13 - 5.22}{5-1} \\ = 41 \text{ mm} > 25\text{mm} \text{ (Ok)}$$

Maka **5D22** ($A_s = 1900,66 \text{ mm}^2$) dapat digunakan.

Cek kondisi penampang

$$a = \frac{As \cdot f_y}{0,85 \cdot fc' \cdot b} = \frac{1900,66 \cdot 400}{0,85 \cdot 40 \cdot 400} = 55,9$$

$$\beta_1 = 0,85 - 0,05 \frac{fc' - 28}{7} = 0,85 - 0,05 \frac{40 - 28}{7} = 0,76$$

Tinggi area tekan beton, $c = a/\beta_1 = 55,9/0,76 = 73,13$

$$\varepsilon_t = 0,003(d - c)/c \\ = 0,003 \cdot (526 - 73,13) / 73,13 \\ = 0,018 > 0,005 \text{ (Beton terkendali tarik)}$$

Maka asumsi $\phi = 0,9$ dapat digunakan.

Cek kemampuan penampang

Syarat, $\phi M_n > M_u$ dimana,

$$M_n = As \cdot f_y \left(d - \frac{a}{2} \right) \\ = 1900,66 \times 400 (526 - 55,9/2)$$

$$= 378.649.482,9 \text{ N mm}$$

$$\phi M_n = 0,9 \times 378.649.482,9 \text{ N mm} \\ = 340.784.534,6 \text{ N mm} > M_u = 281.159.535 \text{ N mm} \\ \text{(Ok)}$$

c) **Tulangan Lentur Lapangan Momen Positif**

Kebutuhan tulangan awal direncanakan menggunakan satu lapis tulangan dengan tinggi efektif, d :

$$\begin{aligned} d &= h - selimut \text{ beton} - D_s - 0,5D_b \\ &= 600 - 40 - 13 - 0,5.22 \\ &= 526 \text{ mm} \end{aligned}$$

Rasio tulangan perlu

$$M_{lap+} = 207.718.224 \text{ N mm}$$

$$\varphi = 0,9 \text{ (diasumsikan beton terkendali tarik)}$$

$$R_n = \frac{Mu}{\varphi bd^2} = \frac{207.718.224}{0,9.300.526^2} = 2,085 \text{ MPa}$$

$$\begin{aligned} \rho_{perlu} &= \frac{1}{m} \cdot \left(1 - \sqrt{1 - \frac{2.m.R_n}{f_y}} \right) \\ &= \frac{1}{11,765} \left(1 - \sqrt{1 - \frac{2.11,765.2,085}{400}} \right) \\ &= 0,005 \end{aligned}$$

$$\rho_{min} < \rho_{perlu} < \rho_{maks}, \text{ maka } \rho = \rho_{perlu} = 0,005$$

Luas tulangan perlu

$$A_{s\ perlu} = \rho.b.d = 0,005.400.526 = 1552,14 \text{ mm}^2$$

Jumlah tulangan

$$n = A_{s\ perlu}/A_{s\ 1\ tul} = 1552,14/380,133 = 4,08 \approx 5 \text{ buah}$$

Jarak antar tulangan

Syarat $s \geq 25\text{mm}$

$$\begin{aligned} s &= \frac{b - 2.selimut - 2d_s - n.db}{n\ tul - 1} = \frac{300 - 2.40 - 2.13 - 5.22}{5 - 1} \\ &= 41 \text{ mm} > 25\text{mm} \text{ (Ok)} \end{aligned}$$

Maka **5D22** ($A_s = 1900,66 \text{ mm}^2$) dapat digunakan.

Cek kondisi penampang

$$a = \frac{As.f_y}{0,85.fc'.b} = \frac{1900,66 . 400}{0,85.40.400} = 33,54$$

$$\beta_1 = 0,85 - 0,05 \frac{fc' - 28}{7} = 0,85 - 0,05 \frac{40 - 28}{7} = 0,76$$

Tinggi area tekan beton, $c = a/\beta_1 = 33,54/0,76 = 43,89$

$$\varepsilon_t = 0,003(d - c)/c$$

$$= 0,003.(526-43,89)/43,89$$

= 0,033 > 0,005 (Beton terkendali tarik)

Maka asumsi $\phi = 0,9$ dapat digunakan.

Cek kemampuan penampang

Syarat, $\phi M_n > M_u$ dimana,

$$\begin{aligned} M_n &= As \cdot fy \left(d - \frac{a}{2} \right) \\ &= 1900,66 \times 400 (526 - 33,54/2) \\ &= 232.289.720,8 \text{ N mm} \end{aligned}$$

$$\begin{aligned} \phi M_n &= 0,9 \times 232.289.720,8 \text{ N mm} \\ &= 209.060.748,7 \text{ N mm} > M_u = 207.718.224 \text{ N mm} \\ &\text{(Ok)} \end{aligned}$$

d) Tulangan Lentur Lapangan Momen Negatif

Kebutuhan tulangan awal direncanakan menggunakan satu lapis tulangan dengan tinggi efektif, d :

$$\begin{aligned} d &= h - selimut beton - D_s - 0,5D_b \\ &= 600 - 40 - 13 - 0,5 \cdot 22 \\ &= 526 \text{ mm} \end{aligned}$$

Rasio tulangan perlu

Momen ultimate negatif untuk bagian lapangan direncanakan sebesar 0,5 dari momen lapangan positif.

$$M_{lap -} = 0,5M_{lap +}$$

$$= 103.859.112 \text{ N mm}$$

$$\phi = 0,9 \text{ (diasumsikan beton terkendali tarik)}$$

$$R_n = \frac{M_u}{\phi b d^2} = \frac{103.859.112}{0,9 \cdot 300.526^2} = 1,043 \text{ MPa}$$

$$\rho_{perlu} = \frac{1}{m} \cdot \left(1 - \sqrt{1 - \frac{2 \cdot m \cdot R_n}{f_y}} \right)$$

$$= \frac{1}{11,765} \left(1 - \sqrt{1 - \frac{2 \cdot 11,765 \cdot 1,043}{400}} \right)$$

$$= 0,0026$$

$\rho_{\min} > \rho_{\text{perlu}}$, maka $\rho = \rho_{\min} = 0,004$

Luas tulangan perlu

$$A_s \text{ perlu} = \rho \cdot b \cdot d = 0,004 \cdot 400 \cdot 526 = 831,67 \text{ mm}^2$$

Jumlah tulangan

$$n = A_s \text{ perlu} / A_s \text{ 1 tul} = 831,67 / 380,133 = 2,18 \approx 3 \text{ buah}$$

Jarak antar tulangan

Syarat $s \geq 25 \text{ mm}$

$$s = \frac{b - 2 \cdot \text{selimut} - 2d_s - n \cdot d_b}{n \cdot \text{tul}-1} = \frac{300 - 2 \cdot 40 - 2 \cdot 13 - 3 \cdot 22}{3-1} \\ = 104 \text{ mm} > 25 \text{ mm (Ok)}$$

Maka **3D22** ($A_s = 1140,39 \text{ mm}^2$) dapat digunakan.

Cek kondisi penampang

$$a = \frac{As \cdot fy}{0,85 \cdot fc' \cdot b} = \frac{1140,39 \cdot 400}{0,85 \cdot 40 \cdot 400} = 33,54$$

$$\beta_1 = 0,85 - 0,05 \frac{fc' - 28}{7} = 0,85 - 0,05 \frac{40 - 28}{7} = 0,76$$

Tinggi area tekan beton, $c = a/\beta_1 = 33,54/0,76 = 43,89$

$$\varepsilon_t = 0,003(d - c)/c$$

$$= 0,003 \cdot (526 - 43,89) / 43,89$$

= 0,033 > 0,005 (Beton terkendali tarik)

Maka asumsi $\varphi = 0,9$ dapat digunakan.

Cek kemampuan penampang

Syarat, $\varphi M_n > M_u$ dimana,

$$M_n = As \cdot fy \left(d - \frac{a}{2} \right) \\ = 1140,39 \times 400 (526 - 33,54/2)$$

$$= 232.289.720,8 \text{ N mm}$$

$$\varphi M_n = 0,9 \times 232.289.720,8 \text{ N mm}$$

$$= 209.060.748,7 \text{ N mm} > M_u = 103.859.112 \text{ N mm} \\ (\text{Ok})$$

4.5.1.3 Perencanaan Tulangan Geser

Perhitungan tulangan geser untuk SRPMB bedasarkan gaya geser ultimate hasil program bantu analisis.

$$V_u = 231.130 \text{ N}$$

$$\varphi = 0,75$$

Cek Kebutuhan Tulangan Geser

Berdasarkan SNI 2847:2013 pasal 11.4.6, tulangan geser minimum harus disediakan jika $V_u \geq 0,5\Phi V_c$.

Kondisi 1 :

Jika $V_u \leq 0,5\Phi V_c$ maka tidak diperlukan tulangan geser.

$$\begin{aligned} V_c &= \frac{1}{6}\sqrt{fc'}bd \\ &= \frac{1}{6}\sqrt{40.400.526} \\ &= 221.781,07 \text{ N} \end{aligned}$$

$$\begin{aligned} \Phi V_c &= 0,75 \times 221.781,07 \\ &= 166.335,80 \text{ N} \end{aligned}$$

$$\begin{aligned} 0,5\Phi V_c &= 0,5 \times 0,75 \times 221.781,07 \\ &= 83.167,90 \text{ N} \end{aligned}$$

$$V_u = 231.130 \text{ N} < 0,5\Phi V_c = 83.167,90 \text{ N}$$

Tidak memenuhi, maka dicek pada kondisi 2.

Kondisi 2 :

Jika $0,5\Phi V_c < V_u \leq \Phi V_c$ maka disediakan tulangan geser minimum.

$$V_u = 231.130 \text{ N} < \Phi V_c = 166.335,80 \text{ N}$$

Tidak memenuhi, maka dicek pada kondisi 3.

Kondisi 3 :

Jika $\Phi V_c < V_u \leq \varphi (V_c + V_{s \min})$ maka disediakan tulangan geser minimum.

$$\begin{aligned} V_{s \min} &= 1/3.b.d \\ &= 1/3.400.526 \\ &= 70.133,33 \text{ N} \end{aligned}$$

$$\varphi (V_c + V_{s \min}) = 0,9 (221.781,07 + 70.133,33)$$

$$= 218.936 \text{ N}$$

$$V_u = 231.130 \text{ N} < \varphi (V_c + V_{s \min})$$

Tidak memenuhi, maka dicek pada kondisi 4.

Kondisi 4 :

Jika $V_u > \varphi (V_c + V_{s \min})$ maka tulangan geser harus disediakan untuk memenuhi persamaan $\Phi V_n \geq V_u$ dan $V_n = V_c + V_s$.

$$\begin{aligned} V_s &= V_u / \varphi - V_c \\ &= 231.130 / 0,75 - 221.781,07 \\ &= 86.392,50 \text{ N} \end{aligned}$$

Jarak Tulangan Geser

Diasumsikan menggunakan tulangan geser D10.

$$A_v = 2\pi d_s^2 = 2\pi \cdot 13^2 = 265,46 \text{ mm}^2$$

$$V_s = 86392,50 \text{ N}$$

$$A_v/s = \frac{V_s}{f_y \cdot d} = \frac{86392,50}{400.526} = 0,411 \text{ mm}^2/\text{mm}$$

$$s = \frac{A_v}{0,411} = 646 \text{ mm}$$

Syarat Jarak Tulangan Geser

Dalam SNI 2847:2013 pasal 11.4.5.1, jarak tulangan geser yang dipasang tegak lurus terhadap komponen struktur tidak boleh melebihi :

$$d/2 = 526/2 = 263 \text{ mm ; dan } s \leq 600 \text{ mm}$$

Maka digunakan tulangan geser D13-250 mm.

4.5.1.4 Perencanaan Tulangan Torsi

Perencanaan torsi didasarkan pada persyaratan SNI 2847:2013 pasal 11.5.1 dimana pengaruh torsi dapat diabaikan jika momen torsi terfaktor, T_u memenuhi syarat sebagai berikut :

$$T_u < \varphi \cdot 0,083 \lambda \sqrt{f_c' \left(\frac{A_{cp}}{P_{cp}} \right)^2}$$

Keterangan :

φ = Faktor reduksi untuk torsi = 0,75

A_{cp} = Luas yang dibatasi keliling luar penampang beton

P_{cp} = Keliling luar penampang beton
 λ = 1 (beton normal)

1. Luas dan Keliling Penampang

Luas yang dibatasi keliling luar penampang beton, A_{cp}

$$A_{cp} = b \cdot h = 400 \times 600 = 240.000 \text{ mm}^2$$

Keliling luar penampang beton, P_{cp}

$$P_{cp} = 2(b+h) = 2(400+600) = 2000 \text{ mm}$$

Luas yang dilingkupi garis pusat tulangan torsion transversal tertutup terluar, A_{oh}

$$b_h = b_w - 2 \cdot \text{selimut} - D_s = 400 - 2.50 - 13 = 287 \text{ mm}$$

$$h_h = h - 2 \cdot \text{selimut} - D_s = 600 - 2.50 - 13 = 487 \text{ mm}$$

$$A_{oh} = b_h \cdot H_h = 287 \times 487 = 139.769 \text{ mm}^2$$

Keliling garis pusat tulangan torsion transversal tertutup terluar, P_h

$$P_h = 2(b_h + h_h) = 2(287 + 487) = 1548 \text{ mm}$$

2. Cek Pengaruh Torsi

Pengaruh torsi dapat diabaikan jika $T_u = 70.148.547 \text{ N mm}$ kurang dari perumusan berikut :

$$\varphi \cdot 0,083 \lambda \sqrt{f_c' \left(\frac{A_{cp}^2}{P_{cp}} \right)} = 0,75 \cdot 0,083 \sqrt{40 \left(\frac{240000^2}{2000} \right)}$$

$$= 11.338.662,78 \text{ N mm} > T_u$$

Maka diperlukan tulangan untuk menahan momen torsi.

3. Cek Dimensi Penampang untuk Menahan Momen Torsi

Dimensi penampang untuk menahan momen torsi harus memenuhi persamaan berikut (SNI 2847:2023 pasal 11.5.3.1).

$$\sqrt{\left(\frac{V_u}{b_w d} \right)^2 + \left(\frac{T_u P_h}{1,7 A_{oh}^2} \right)^2} < \varphi \left(\frac{V_c}{b_w d} + 0,66 \sqrt{f_c'} \right)$$

$$\sqrt{\left(\frac{V_u}{b_w d} \right)^2 + \left(\frac{T_u P_h}{1,7 A_{oh}^2} \right)^2} = \sqrt{\left(\frac{231.130}{400.526} \right)^2 + \left(\frac{70.148.547 \times 1548}{1,7 \times 139.769^2} \right)^2}$$

$$= 3,45$$

$$\varphi \left(\frac{V_c}{b_w d} + 0,66\sqrt{f_c'} \right) = 0,75 \left(\frac{221781,07}{400,529} + 0,66\sqrt{40} \right) = 3,92$$

$3,45 < 3,92$ (Memenuhi persyaratan).

4. Perhitungan Tulangan Transversal Penahan Torsi

Kebutuhan tulangan transversal penahan torsi dapat dihitung dengan persamaan berikut (SNI 2847:2013 pasal 11.5.3.6).

$$\frac{A_t}{s} = \frac{T_u}{\varphi \times 2 \times A_o \times f_{yt} \times \cot^2 \theta}$$

Dimana A_o boleh diambil sama dengan $0,85A_{oh}$ dan θ tidak boleh diambil lebih kecil dari 30 derajat ataupun lebih besar dari 60 derajat.

$$A_o = 0,85 \times 139,769 = 118,803,65 \text{ mm}^2$$

$$\frac{A_t}{s} = \frac{70,148,547}{0,75 \times 2 \times 118,803,65 \times 400 \times \cot^2 45} = 0,984 \text{ mm}^2/\text{mm}$$

Luas tulangan transversal untuk menahan geser dan torsi

$$\frac{A_v+t}{s} = \frac{A_v}{s} + \frac{A_t}{s} = 0,411 + 0,984 = 1,395 \text{ mm}^2/\text{mm}$$

Direncanakan menggunakan tulangan transversal dua kaki dengan D13 ($A_s = 132,73 \text{ mm}^2$).

$$\frac{A_v+t}{s} = 1,395$$

$$s = \frac{132,73}{1,395} = 190,4 \text{ mm}$$

Maka digunakan tulangan transversal dua kaki **D13-150**.

5. Perhitungan Tulangan Longitudinal Tambahan Penahan Torsi

Besarnya luas tulangan longitudinal tambahan untuk menahan torsi, A_l tidak boleh kurang dari :

$$\begin{aligned} A_l &= \frac{A_t}{s} p_h \left(\frac{f_{yt}}{f_y} \right) \cot^2 \theta \\ &= 0,984 \times 1548 \times \left(\frac{400}{400} \right) \cot^2 45 \\ &= 1523,38 \text{ mm}^2 \end{aligned}$$

Maka luas tulangan longitudinal tambahan A_l tersebut didistribusikan merata ke 4 sisi balok :

$$\frac{A_l}{4} = \frac{1523,38}{4} = 380,84 \text{ mm}^2$$

Tulangan tambahan untuk sisi samping balok :

$$A_l = 380,84 \text{ mm}^2$$

Digunakan tulangan D25 ($A_{s\ 1\ tul} = 490,87 \text{ mm}^2$) maka,

$$n_{tul} = 380,84/490,87 = 0,78 \approx 1 \text{ buah}$$

Pada sisi samping balok kanan dan kiri ditambahkan 1 buah tulangan D25.

Tulangan tambahan untuk sisi atas dan bawah balok :

Digunakan tulangan tambahan D22 untuk sisi atas dan bawah balok dengan rekapitulasi hasil perhitungan kebutuhan tulangan longitudinal balok seperti pada Tabel 4.48.

Tabel 4. 49 Tulangan Longitudinal Terpasang

| Sisi | A_s perlu (mm ²) | A_l (mm ²) | A_s perlu total | $A_{s\ 1\ tul}$ D22 (mm ²) | n tul | n tul pasang | A_s pasang (mm ²) |
|-------------|-----------------------------------|--------------------------|----------------------|--|-------|-----------------|------------------------------------|
| Tumpuan M- | 3268,20 | 380,845 | 3649,04 | 380,133 | 9,60 | 10 | 3801,33 |
| Tumpuan M+ | 1552,14 | 380,845 | 1932,99 | 380,133 | 5,09 | 6 | 2280,80 |
| Lapangan M- | 831,68 | 380,845 | 1212,52 | 380,133 | 3,19 | 4 | 1520,53 |
| Lapangan M+ | 1132,83 | 380,845 | 1513,67 | 380,133 | 3,98 | 4 | 1520,53 |

4.5.1.5 Panjang Penyaluran

Panjang Penyaluran Batang Tulangan dalam Kondisi Tarik

Berdasarkan SNI 2847:2013 pasal 12.2.3 panjang penyaluran, l_d harus sebesar :

$$l_d = \left(\frac{f_y}{1,1\lambda\sqrt{f_c}} \left(\frac{\psi_t \psi_e \psi_s}{\left(\frac{c_b + K_{tr}}{d_b} \right)} \right) d_b \right)$$

Dimana,

$$\Psi_t = 1,3 \text{ (SNI 2847:2013 pasal 12.2.4)}$$

$$\Psi_e = 1, \text{ untuk tulangan yang tidak dilapisi}$$

$$\Psi_s = 1, \text{ untuk tulangan D22 dan yang lebih besar}$$

- λ = 1, untuk beton normal
 d_b = Diameter batang tulangan
 c_b = Jarak dari pusat batang tulangan ke permukaan beton terdekat
 = Selimut + $D_s + 0,5D_b$
 = $50 + 13 + 0,5 \cdot 22$
 = 74 mm
 K_{tr} = 0
 $\frac{c_b + K_{tr}}{d_b} = \frac{74 + 0}{22} = 3,36 > 2,5$; dipakai 2,5
 $l_d = \left(\frac{400}{1,1 \cdot \sqrt{40}} \frac{1,3 \cdot 1,1}{2,5} \right) 22 = 505,96$ mm

Panjang Penyaluran Batang Tulangan dalam Kondisi Tekan

Panjang penyaluran l_{dc} harus diambil sebesar yang terbesar dari :

$$\left(\frac{0,24 f_y}{\lambda \sqrt{f_{c'}}} \right) d_b = \left(\frac{0,24 \cdot 400}{1 \sqrt{40}} \right) 22 = 333,94 \text{ mm}$$

dan

$0,043 f_y d_b = 0,043 \cdot 400 \cdot 22 = 378,40$ mm (digunakan sebagai panjang penyaluran).

4.5.1.6 Rekapitulasi Penulangan Balok Induk

Hasil perencanaan tulangan balok induk dapat dilihat pada Tabel 4.49.

Tabel 4. 50 Penulangan Balok Induk

| Balok Induk | Dimensi | | | Tumpuan | | Lapangan | | Geser | Torsi Samping |
|----------------|---------|--------|--------|---------|-------|----------|-------|---------|------------------|
| | L (m) | b (cm) | h (cm) | M - | M + | M - | M + | | |
| BI 1 | 8,00 | 40 | 60 | 10 D22 | 6 D22 | 4 D22 | 4 D22 | D13-150 | 2 D25 |
| BI 2 | 4,25 | 30 | 40 | 5 D22 | 4 D22 | 2 D22 | 2 D22 | D13-150 | 2 D13 |
| BI 3 | 8,00 | 40 | 60 | 10 D22 | 5 D22 | 4 D22 | 5 D22 | D13-150 | 2 D25 |
| BI 4 | 3,45 | 30 | 40 | 5 D22 | 3 D22 | 2 D22 | 2 D22 | D13-150 | 2 D13 |
| BI 5 | 4,00 | 40 | 60 | 7 D22 | 4 D22 | 4 D22 | 3 D22 | D13-150 | 2 D22 |

4.5.2 Perencanaan Kolom

Kolom merupakan struktur utama yang berfungsi memikul seluruh beban yang diterima struktur, baik dari struktur sekunder maupun balok induk, dan berfungsi meneruskan beban ke pondasi. Pada tugas akhir ini direncanakan 5 tipe dimensi kolom seperti pada Tabel 4.51.

Tabel 4. 51 Dimensi Kolom

| Lantai | Nama Kolom | h (m) | n kolom | b (cm) | h (cm) |
|---------|------------|-------|---------|--------|--------|
| Atap-18 | K5 | 4 | 4 | 50 | 50 |
| 17-14 | K4 | 4 | 4 | 60 | 60 |
| 13-10 | K3 | 4 | 4 | 70 | 70 |
| 9-6 | K2 | 4 | 4 | 80 | 80 |
| 5-2 | K1 | 4 | 4 | 90 | 90 |
| 1 | Pedestal | 2 | 1 | 90 | 90 |

4.5.2.1 Data Perencanaaan

Pada sub bab ini akan diberikan contoh perhitungan perencanaan tulangan untuk kolom K1 dengan dimensi 90/90. Kolom yang ditinjau adalah kolom yang menahan beban aksial terbesar (Lantai 2 pada As 4-C). Berikut data perencanaan K1 :

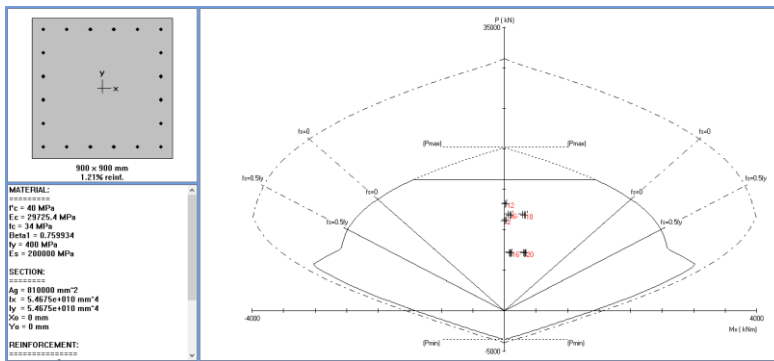
| | |
|----------------------------------|---|
| Dimensi kolom | = 900 mm x 900 mm |
| Tinggi bentang, L | = 4000 mm |
| Luas penampang, A_g | = 81.000 mm ² |
| Mutu beton, f'_c | = 40 MPa |
| Mutu baja, f_y | = 400 MPa |
| Diameter tulangan lenthal, D_b | = 25 mm ($A_{s\ 1\ tul} = 490,874\ mm^2$) |
| Diameter tulangan geser, D_s | = 16 mm ($A_{s\ 1\ tul} = 201,062\ mm^2$) |
| Selimut beton | = 50 mm |
| Tinggi efektif,d | = $900 - 16 - 25/2 = 821,5\ mm$ |
| Gaya dalam maks : P_u | = 13319,76 Kn |
| $M_{u\ top}$ | = 343,64 Kn m |
| $M_{u\ bottom}$ | = 337,42 Kn m |
| V_u | = 173,95 Kn |

Tabel 4. 52 Gaya Dalam Kolom K1

| Static | Kombinasi | P | M3 | M2 | V2 | V3 | T |
|--------|---------------------|----------|--------|--------|--------|--------|-------|
| m | Beban | KN | KN-m | KN-m | KN | KN | KN-m |
| 4 | 1,4D+1,4SDL | 11267,86 | 29,06 | 9,02 | 9,85 | 3,15 | 7,46 |
| 0 | 1,4D+1,4SDL | 11161,10 | 10,35 | 3,56 | 9,85 | 3,15 | 7,46 |
| 4 | 1,2D+1,2SDL+1L+1RSY | 11949,73 | 67,08 | 246,61 | 61,97 | 136,38 | 18,12 |
| 4 | 1,2D+1,2SDL+1L+1RSY | 11943,61 | 134,56 | 265,61 | 38,76 | 129,76 | 35,08 |
| 0 | 1,2D+1,2SDL+1L+1RSY | 11858,22 | 113,42 | 280,18 | 61,97 | 136,38 | 18,12 |
| 0 | 1,2D+1,2SDL+1L+1RSY | 11852,10 | 88,05 | 272,70 | 38,76 | 129,76 | 35,08 |
| 4 | 1,2D+1,2SDL+1L+1RSX | 11953,19 | 291,22 | 69,84 | 173,95 | 44,52 | 14,47 |
| 4 | 1,2D+1,2SDL+1L+1RSX | 11940,15 | 358,70 | 88,84 | 150,74 | 37,90 | 31,43 |
| 0 | 1,2D+1,2SDL+1L+1RSX | 11861,68 | 337,42 | 89,35 | 173,95 | 44,52 | 14,47 |
| 0 | 1,2D+1,2SDL+1L+1RSX | 11848,64 | 312,05 | 81,87 | 150,74 | 37,90 | 31,43 |
| 4 | 1,2D+1,2SDL+1,6L | 13319,77 | 39,03 | 10,56 | 13,50 | 3,68 | 9,73 |
| 0 | 1,2D+1,2SDL+1,6L | 13228,26 | 14,97 | 4,15 | 13,50 | 3,68 | 9,73 |
| 4 | 0,9D+0,9SDL+1RSY | 7246,68 | 82,14 | 250,31 | 56,70 | 135,09 | 21,81 |
| 4 | 0,9D+0,9SDL+1RSY | 7240,57 | 119,50 | 261,90 | 44,03 | 131,04 | 31,40 |
| 0 | 0,9D+0,9SDL+1RSY | 7178,05 | 107,39 | 278,73 | 56,70 | 135,09 | 21,81 |
| 0 | 0,9D+0,9SDL+1RSY | 7171,94 | 94,08 | 274,15 | 44,03 | 131,04 | 31,40 |
| 4 | 0,9D+0,9SDL+1RSX | 7250,15 | 306,28 | 73,54 | 168,68 | 43,24 | 18,16 |
| 4 | 0,9D+0,9SDL+1RSX | 7237,10 | 343,64 | 85,14 | 156,01 | 39,19 | 27,75 |
| 0 | 0,9D+0,9SDL+1RSX | 7181,52 | 331,39 | 87,90 | 168,68 | 43,24 | 18,16 |
| 0 | 0,9D+0,9SDL+1RSX | 7168,47 | 318,08 | 83,32 | 156,01 | 39,19 | 27,75 |

4.5.2.2 Perencanaan Tulangan Longitudinal

Beban aksial terfaktor, P, serta momen yang terjadi, M3 dan M2, pada kolom K1 di *input* ke dalam program bantu SPCOLUMN untuk mendapatkan jumlah tulangan longitudinal.



Gambar 4. 45 Diagram Interaksi Aksial dan Momen

Dari hasil *trial error* dengan program bantu SPCOLUMN diperoleh tulangan longitudinal 20 D25 ($A_{st} = 9817,48 \text{ mm}^2$) dengan rasio tulangan 1,21 %.

Kontrol Kapasitas Kolom terhadap Momen

Dari hasil analisis program bantu diambil nilai ΦM_n terkecil untuk selanjutnya dikontrol terhadap M_u .

$$\Phi M_n = 2091 \text{ Kn m} > M_u = 343,64 \text{ Kn m} (\text{Ok})$$

Kontrol Batasan Luas Tulangan Longitudinal

Berdasarkan SNI 2847:2013 pasal 10.9.1 luas tulangan longitudinal, A_{st} , tidak boleh kurang dari $0,01A_g$ atau lebih dari $0,08A_g$.

$$A_{st} = 9817,48 \text{ mm}^2$$

$$0,01A_g = 0,01 \cdot 81000 = 8100 \text{ mm}^2$$

$$0,08A_g = 0,08 \cdot 81000 = 64800 \text{ mm}^2$$

Maka $0,01A_g < A_{st} < 0,08A_g$ (Ok)

Kontrol Spasi Antar Tulangan

Spasi bersih minimum antar batang tulangan sejajar dalam satu lapis harus sebesar d_b tetapi tidak kurang dari 25 mm (SNI 2847:2013 pasal 7.6.1).

$$s = \frac{b - 2 \cdot \text{selimut} - 2d_s - n \cdot d_b}{n \cdot \text{tul}-1} = \frac{900 - 2.50 - 2.16 - 6.25}{6-1}$$

$$= 123,6 \text{ mm} > 25 \text{ mm} (\text{Ok})$$

Kontrol Kapasitas Beban Aksial Kolom

SNI 2847:2013 Pasal 10.3.6.2 mengatur besarnya beban aksial terfaktor hasil analisa struktur harus mampu ditahan oleh kapasitas beban aksial penampang kolom yang dihitung pada persamaan berikut :

$$\begin{aligned}\varphi P_{n(maks)} &= 0,8\varphi[0,85f_c'(A_g - A_{st}) + f_y \cdot A_{st}] \\ &= 0,8 \cdot 0,65[0,85 \cdot 40(810000 - 9817,48) + 400 \cdot 9817,48] \\ &= 16.189.262,23 \text{ N} \\ &= 16.189,26 \text{ Kn} > P_u = 13319,76 \text{ Kn (Ok)}\end{aligned}$$

4.5.2.3 Perencanaan Tulangan Transversal

Luas penampang total tulangan persegi, A_{sh} , tidak boleh kurang dari persamaan berikut (SNI 2847:2013 pasal 21.6.4.4).

$$A_{sh1} = 0,3 \frac{s b_c f_c'}{f_{yt}} \left[\left(\frac{A_g}{A_{ch}} \right) - 1 \right] \text{ dan } A_{sh2} = 0,09 \frac{s b_c f_c'}{f_{yt}}$$

Keterangan :

s = Jarak spasi antar tulangan transversal

b_c = Jarak pusat ke pusat tulangan transversal
 $= b - 2 \cdot \text{selimut} - D_s = 900 - 2.50 - 16 = 784 \text{ mm}$

A_g = Luas penampang kolom
 $= b \cdot h = 900 \cdot 900 = 810000 \text{ mm}^2$

A_{ch} = Luas penampang kolom dari tepi luar tulangan transversal
 $= (b - 2 \cdot \text{selimut})^2 = (900 - 2.50)^2 = 640000 \text{ mm}^2$

- Jarak spasi antar tulangan transversal

Jarak spasi, s , harus memenuhi persyaratan pada SNI 2847:2013 pasal 11.4.5.1 serta pasal 7.10.5.2.

$$s \leq d/2 = 821,5/2 = 410,75 \text{ mm}$$

$$s \leq 600 \text{ mm}$$

$$s \leq 16D_b = 16 \cdot 25 = 400 \text{ mm}$$

$$s \leq 48D_s = 48 \cdot 16 = 768 \text{ mm}$$

$$s \leq c_1 = 900 \text{ mm}$$

Direncanakan $s = 100 \text{ mm}$.

- Luas penampang total tulangan persegi

$$A_{sh1} = 0,3 \frac{100.784,40}{400} \left[\left(\frac{810000}{640000} \right) - 1 \right] = 624,75 \text{ mm}^2$$

$$A_{sh2} = 0,09 \frac{100.784,40}{400} = 705,6 \text{ mm}^2 \text{ (Menentukan)}$$

- Jumlah tulangan transversal

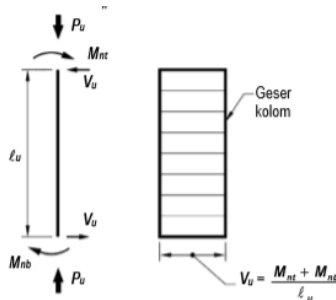
$$A_{sh} = 705,6 \text{ mm}^2$$

Digunakan D16 dengan $A_{s\ 1\ tul} = 201,062 \text{ mm}^2$.

$$N_{tul} = A_{sh}/A_{s\ 1\ tul} = 705,6/201,062 = 3,51 \approx 4 \text{ buah.}$$

Maka digunakan tulangan transversal 4D16 – 100mm.

4.5.2.4 Perhitungan Gaya Geser Desain



Gambar 4. 46 Geser Desain Kolom untuk SRPMB

Gaya geser desain, V_e , yang digunakan untuk menentukan jarak dan luas tulangan transversal pada struktur sistem rangka pemikul momen biasa ditentukan dari persamaan berikut sesuai dengan SNI 2847:2013 pasal 21.3.3.2 :

$$V_e = \frac{M_{nt} + M_{nb}}{l_u} \quad (4- 25)$$

dan harus melebihi V_u hasil analisis struktur.

M_{nt} dan M_{nb} diperoleh dari hasil analisis pada SPCOLUMN.

$\Phi M_{nt} = 2091 \text{ Kn m}$; $\phi = 0,65$

$\phi M_{nb} = 2106,64 \text{ Kn m}$; $\phi = 0,65$

l_u = Tinggi kolom dari muka balok = 3,4m

$$V_e = \frac{2091/0,65 + 2106,64/0,65}{3,4} = 1899,385 \text{ Kn} > V_u \text{ SAP} = 173,95 \text{ Kn}$$

Perencanaan geser memenuhi syarat SNI 2847:2013 pasal 21.3.3.2, dimana nilai V_e tidak boleh kurang dari nilai V_u yang dibutuhkan berdasarkan hasil analisis struktur.

4.5.2.5 Perhitungan Panjang Sambungan Lewatan

Karena seluruh luas tulangan pada sambungan lewatan disalurkan, maka sambungan merupakan Kelas B (SNI 2847:2013 pasal 12.15.2). Panjang minimum sambungan untuk sambungan lewatan kelas B harus sebesar $1,3l_d$ tetapi tidak kurang dari 300 mm (SNI 2847:2013 pasal 12.15.1). Besarnya l_d ditentukan dari perumusan berikut :

$$l_d = \left(\frac{f_y}{1,1\lambda\sqrt{f_c'}} \frac{\psi_t\psi_e\psi_s}{\left(\frac{c_b+K_{tr}}{d_b} \right)} \right) d_b$$

Dimana,

$$\Psi_t = 1, (\text{SNI 2847:2013 pasal 12.2.4})$$

$$\Psi_e = 1, \text{ untuk tulangan yang tidak dilapisi}$$

$$\Psi_s = 1, \text{ untuk tulangan D22 dan yang lebih besar}$$

$$\lambda = 1, \text{ untuk beton normal}$$

$$d_b = \text{Diameter batang tulangan}$$

$$c_b = \text{Jarak dari pusat batang tulangan ke permukaan beton terdekat}$$

$$= \text{Selimut} + D_s + 0,5D_b$$

$$= 50 + 16 + 0,5 \cdot 25$$

$$= 78,5 \text{ mm}$$

$$K_{tr} = 0$$

$$\frac{c_b+K_{tr}}{d_b} = \frac{78,5+0}{25} = 3,36 > 2,5 ; \text{ dipakai } 2,5$$

$$l_d = \left(\frac{400}{1,1 \cdot \sqrt{40}} \frac{1,1 \cdot 1}{2,5} \right) 25 = 574,96 \text{ mm}$$

$$l_{dh} = 1,3l_d = 1,3 \cdot 574,96 = 747,45 \text{ mm} > 300 \text{ mm (Ok)}$$

4.5.2.6 Rekapitulasi Perhitungan Tulangan Kolom

Hasil perhitungan tulangan longitudinal dan tulangan transversal kolom dapat dilihat pada Tabel 4.52.

Tabel 4. 53 Rekapitulasi Tulangan Kolom

| Kolom | Dimensi | | | Tulangan | | Tulangan Transversal | | |
|----------|------------|--------|--------|----------|--------|----------------------|--------|--------|
| | Tinggi (m) | b (cm) | h (cm) | n tul | D (mm) | n tul | D (mm) | s (mm) |
| K5 | 4 | 50 | 50 | 8 | 25 | 3 | 16 | 90 |
| K4 | 4 | 60 | 60 | 8 | 25 | 3 | 16 | 90 |
| K3 | 4 | 70 | 70 | 12 | 25 | 4 | 16 | 100 |
| K2 | 4 | 80 | 80 | 16 | 25 | 4 | 16 | 100 |
| K1 | 4 | 90 | 90 | 20 | 25 | 4 | 16 | 100 |
| Pedestal | 2 | 90 | 90 | 20 | 25 | 4 | 16 | 100 |

4.6 Perencanaan Pondasi

4.6.1 Perencanaan Pondasi Dalam

Pondasi memiliki fungsi sebagai penahan beban struktur yang ada di atasnya serta untuk menyalurkan beban struktur ke tanah. Pada perancangan gedung ini akan digunakan pondasi jenis pondasi dalam. Pondasi dalam dapat digunakan untuk mentransfer beban ke lapisan yang lebih dalam untuk mencapai kedalaman tertentu sampai didapatkan daya dukung tanah yang mampu menahan beban struktur bangunan.

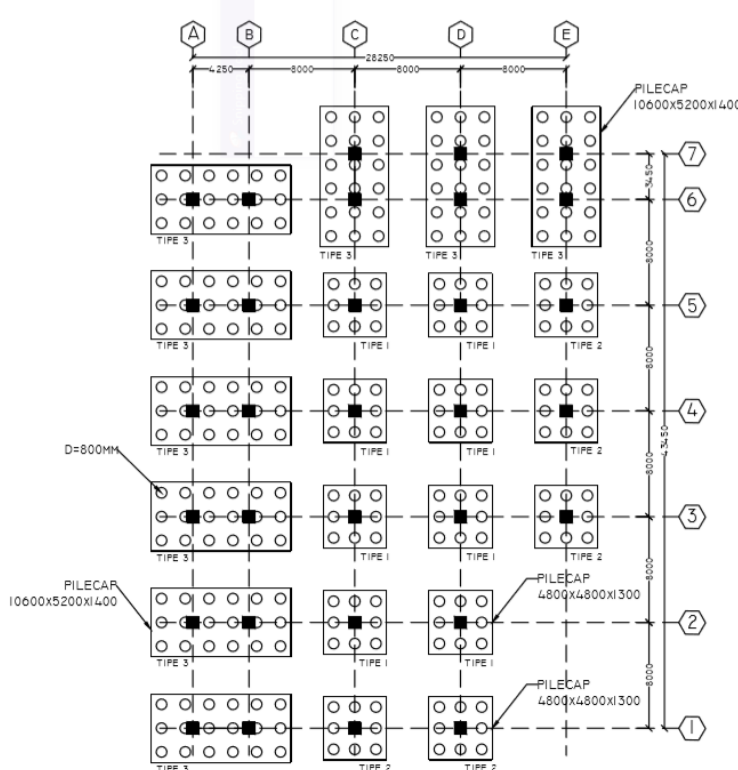
4.6.1.1 Data perencanaan pondasi

Jenis pondasi dalam yang akan digunakan adalah pondasi *bored pile*, dikarenakan gedung ini berada di sekitar pemukiman sehingga tidak memungkinkan apabila digunakan tiang pancang karena akan menimbulkan gangguan berupa kebisingan, getaran, maupun deformasi tanah yang dapat menimbulkan kerusakan pada bangunan di sekitarnya.

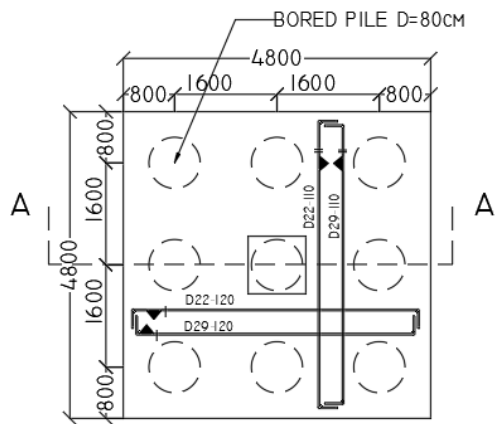
Terdapat 3 tipe pondasi yang akan direncanakan berdasarkan beban kolom yang dipikulnya, yaitu Tipe 1 untuk kolom interior (Gambar 4.48), Tipe 2 untuk kolom eksterior (Gambar 4.49), dan Tipe 3 yang menahan beban dua kolom (Gambar 4.50). Rencana pondasi dapat dilihat pada Gambar 4.47.

Pada sub bab ini akan diberikan contoh perhitungan untuk pondasi Tipe 1. Spesifikasi *bored pile* yang akan digunakan untuk Tipe 1 adalah sebagai berikut :

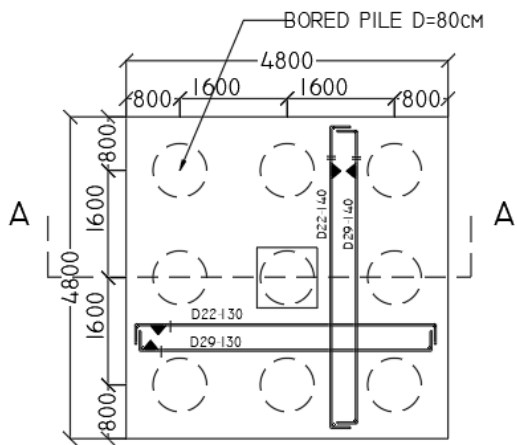
Diameter tiang : 800 mm
 Kedalaman : 36 m
 Jumlah tiang : 9 buah
 f_c : 40 MPa
 f_y : 400 MPa
 Dimensi *pilecap* : 4,8 x 4,8 x 1,3m



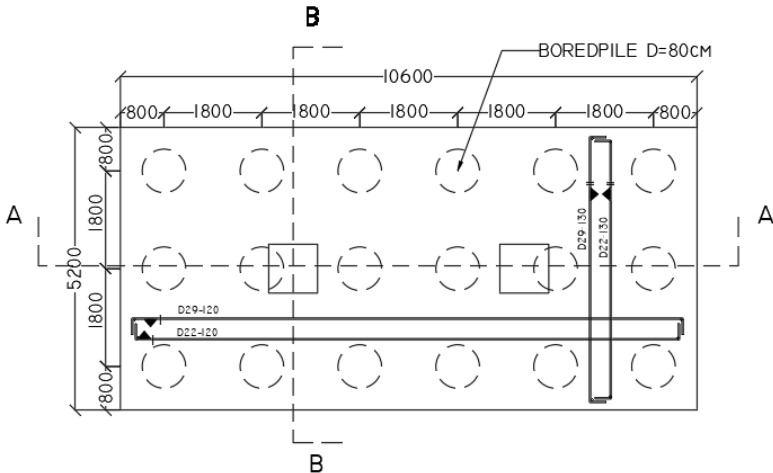
Gambar 4. 47 Denah Pondasi



Gambar 4. 48 Tipe 1



Gambar 4. 49 Tipe 2



Gambar 4. 50 Tipe 3

Beban yang bekerja pada pondasi untuk menghitung daya dukung *bored pile* dihitung menurut SNI 1726:2012 pasal 4. kombinasi beban untuk metoda tegangan ijin.

- D
- D + L
- D + 0,75L
- D + 0,7E
- D + 0,75(0,7E) + 0,75L
- 0,6D + 0,7E

4.6.1.2 Daya dukung tanah *bored pile* tunggal

Ada beberapa metode untuk menghitung daya dukung *bored pile* misalnya berdasarkan data sondir, data bor dalam, dan data SPT. Pada perancangan pondasi ini akan digunakan data SPT untuk menghitung daya dukung *bored pile*. Perhitungan daya dukung dapat ditinjau dari dua keadaan, yaitu :

- Daya dukung *bored pile* tunggal
- Daya dukung *bored pile* tunggal dalam kelompok

Daya dukung SPT dari lapangan tidak dapat langsung digunakan untuk perencanaan *bored pile*. Koreksi data SPT asli harus dilakukan terlebih dahulu terhadap muka air tanah. Perhitungan koreksi nilai SPT berdasarkan Terzaghi dan Peck, 1960 adalah sebagai berikut :

i. Koreksi terhadap muka air tanah

Khusus untuk tanah berpasir halus, pasir berlanau, dan pasir berlempung, yang berada dibawah muka air tanah dan hanya bila $N > 15$:

- $N_1 = 15 + \frac{1}{2}(N-15)$
- $N_1 = 0,6 N$

Kemudian pilih harga N_1 yang terkecil dari kedua nilai tersebut. Untuk jenis tanah lempung, lanau, dan pasir kasar dan bila $N \leq 15$, tidak perlu dilakukan koreksi.

ii. Perhitungan daya dukung *bored pile* tunggal

Perhitungan daya dukung *bored pile* ini dilakukan berdasarkan hasil uji *Standard Penetration Test* (SPT) dengan penjumlahan daya dukung perlawanan tanah dari unsur dasar tiang pondasi (Q_p) dan daya dukung tanah dari unsur lekatan lateral tanah (Q_s) dengan metode Luciano Decourt sebagai berikut:

$$Q_L = Q_p + Q_s$$

Dimana,

Q_L = Daya dukung tanah maksimum pada pondasi

Q_p = *Resistance ultimate* di dasar pondasi

Q_s = *Resistance ultimate* akibat tekanan lateral

$$Q_p = q_p \cdot A_p = \alpha \cdot \bar{N}_p \cdot K \cdot A_p$$

Dimana,

\bar{N}_p = Harga rata-rata SPT di sekitar $4D$ di atas hingga $4D$ di bawah dasar tiang pondasi (D = diameter pondasi)

K = Koefisien karakteristik tanah di dasar pondasi

$K = 12 \text{ ton/m}^2$, untuk lempung (clay)

$K = 20 \text{ t/m}^2$, untuk lempung berlanau (silty clay)

$K = 25 \text{ t/m}^2$, untuk pasir berlanau (silty sand)

$K = 40 \text{ t/m}^2$, untuk pasir (sand)

A_p = Luas penampang dasar tiang

q_p = Tegangan di ujung tiang

$$Q_s = q_s \cdot A_s = \beta \cdot A_s \left(\frac{\bar{N}_s}{3} + 1 \right)$$

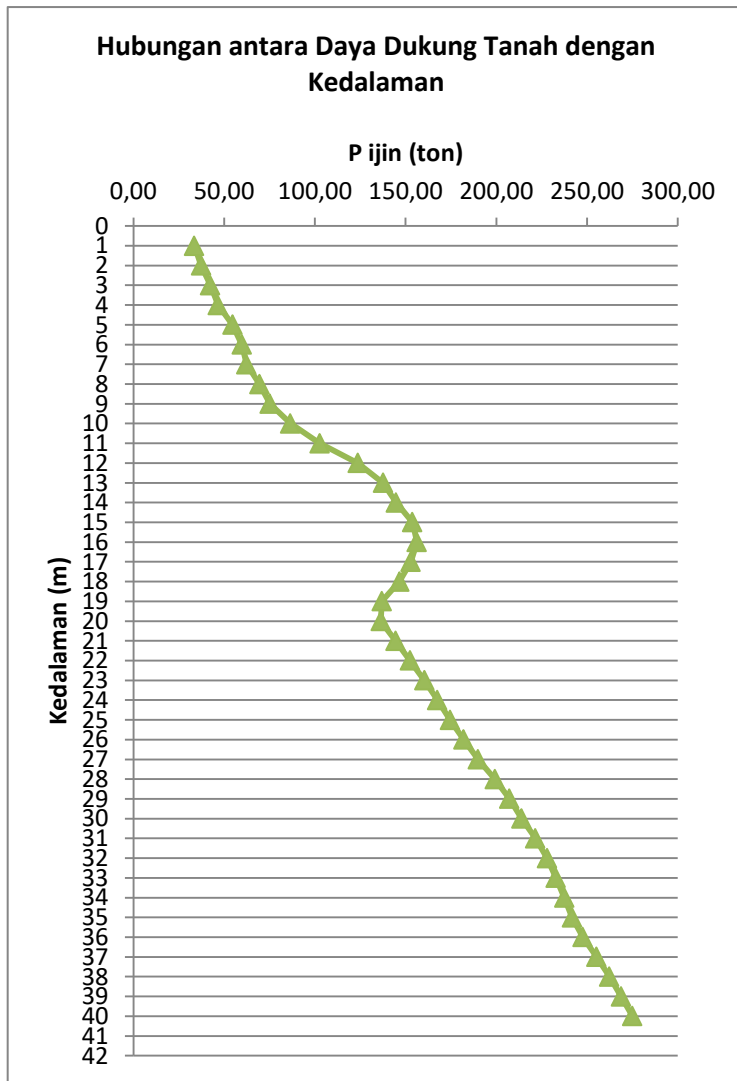
Dimana,

q_s = Tegangan akibat lekatan lateral dalam ton/m^2

\bar{N}_s = Harga rata-rata sepanjang tiang yang terbenam, dengan batasan: $3 \leq N \leq 50$

A_s = Keliling x panjang tiang yang terbenam (luas selimut tiang)

Koefisien α dan β adalah merupakan *base coefficient* dan *shaft coefficient* menurut Decourt yaitu $\alpha = 0,85$ dan $\beta = 0,8$ untuk *borepile*. Pada Gambar 4.51 ditunjukkan hubungan antara kedalaman dengan daya dukung *bored pile* tunggal untuk diameter 800mm.



Gambar 4. 51 Hubungan Antara Kedalaman Dengan Daya Dukung Bored Pile Tunggal untuk Diameter 800mm

Direncanakan kedalaman tiang *bored pile* adalah $L = 36$ m dengan diameter, $D = 800$ mm.

$$A_p = 0,25\pi D = 0,5027 \text{ m}^2$$

$$\alpha = 0,85 \text{ (lempung)}$$

$$K = 20 \text{ ton/m}^2 \text{ (silty clay)}$$

$$\bar{N}_p = 22,86$$

$$Q_p = \alpha \cdot \bar{N}_p \cdot K \cdot A_p = 195,32 \text{ ton}$$

$$A_s = \pi DL = 90,48 \text{ m}$$

$$\beta = 0,8 \text{ (lempung)}$$

$$\bar{N}_s = 19,56$$

$$Q_s = \beta \cdot A_s \left(\frac{\bar{N}_s}{3} + 1 \right) = 547,56 \text{ ton}$$

$$Q_L = Q_p + Q_s = 742,88 \text{ ton}$$

Daya dukung ijin dari satu *bored pile* tunggal adalah daya dukung *bored pile* tunggal dibagi dengan suatu angka keamanan.

P ijin 1 tiang = Pult/SF

Dimana,

SF = safety factor = 3

$$Q_{1 \text{ ijin}} = 742,88 / 3 = 247,63 \text{ ton}$$

Output joint reaction yang akan digunakan sebagai beban *bored pile* pada Tipe 1 dapat dilihat pada Tabel 4.54 berikut.

Tabel 4. 54 Hasil Pembebanan Pondasi Tipe 1

| Kombinasi Beban | Hx (ton) | Hy (ton) | H (ton) | P (ton) | Mx (ton m) | My (ton m) | P 1 tiang (ton) | n tiang (buah) |
|----------------------------|----------|----------|---------|---------|------------|------------|-----------------|----------------|
| 1D+1SDL | 3,33 | 0,76 | 3,42 | 875,18 | 1,10 | 5,35 | 247,63 | 3,53 |
| 1D+1SDL+1L | 4,31 | 0,99 | 4,42 | 1125,32 | 1,45 | 6,96 | 247,63 | 4,54 |
| 1D+1SDL+0,75L | 4,07 | 0,93 | 4,17 | 1062,79 | 1,36 | 6,56 | 247,63 | 4,29 |
| 1D+1SDL+0,7RSX | 15,70 | 5,27 | 16,56 | 965,17 | 20,43 | 71,66 | 247,63 | 3,90 |
| 1D+1SDL+0,7RSY | 7,56 | 14,26 | 16,14 | 904,73 | 59,32 | 28,16 | 247,63 | 3,65 |
| 1D+1SDL+0,75(0,7RSX)+0,75L | 13,25 | 4,32 | 13,93 | 1125,49 | 15,86 | 56,29 | 247,63 | 4,55 |
| 1D+1SDL+0,75(0,7RSY)+0,75L | 7,24 | 11,06 | 13,22 | 1080,16 | 45,03 | 23,67 | 247,63 | 4,36 |
| 0,6D+0,6SDL+0,7RSX | 15,39 | 4,97 | 16,17 | 615,27 | 19,99 | 69,52 | 247,63 | 2,48 |
| 0,6D+0,6SDL+0,7RSY | 6,23 | 13,96 | 15,28 | 554,84 | 58,88 | 26,02 | 247,63 | 2,24 |

Keterangan :

$$\begin{aligned} H &= \text{Resultan gaya lateral} & = \sqrt{H_x^2 + H_y^2} \\ n \text{ tiang} &= \text{Jumlah tiang dalam grup} & = \frac{P}{P_1 \text{ tiang}} \end{aligned}$$

Berdasarkan tabel diatas jumlah tiang pancang yang digunakan minimal 5 buah. Pada perencanaan pondasi ini digunakan *bored pile* sebanyak 9 buah. Dengan jarak antar *bored pile*, s , dan jarak as *bored pile* ke tepi *pilecap*, s_1 sebagai berikut :

Syarat :

Jarak antar *bored pile*, $s \geq 2D$ (1,6m), diambil $s = 1,6$ m

Jarak as *bored pile* ke tepi *pilecap*, D (0,8m) $\leq s_1 \leq 2D$ (1,6m), diambil 0,8 m.

4.6.1.3 Daya dukung tanah *bored pile* tunggal dalam kelompok

Untuk mengetahui jumlah tiang yang dibutuhkan dalam satu kolom adalah dengan membagi beban aksial dan daya dukung ijin tiang tunggal.

Terdapat tiga tipe susunan tiang pancang berdasarkan satu berat kolom yang dipikulnya. Jumlah *bored pile* direncanakan jaraknya sesuai dengan yang diijinkan. Tebal *pilecap* yang direncanakan pada *bored pile* group sebesar 1,3 meter. Untuk daya dukung ini diambil nilai :

P ijin 1 tiang = 247,63 ton

Maka daya dukung satu tiang pancang adalah 247,63 ton.

Perhitungan daya dukung *bored pile* tunggal dalam kelompok untuk daya dukung pondasi kelompok harus dikoreksi terlebih dahulu dengan koefisien efisiensi (Ce) menurut *Converse-Labarre*.

$$Ce = 1 - \frac{\arctan(\phi/S)}{90^\circ} \cdot (2 - \frac{1}{m} - \frac{1}{n})$$

$$Ce = 1 - \text{arc tan}(1/1,6)/90 \times (2-1/3-1/3) = 0,6064$$

Dimana :

\emptyset = diameter *bored pile*

S = Jarak antar *bored pile*

m = Jumlah baris *bored pile* dalam grup

n = Jumlah kolom *bored pile* dalam grup

Sehingga perhitungan daya dukung *bored pile* menjadi

$$\begin{aligned} P_{1 \text{ tiang dalam grup}} &= P_{1 \text{ tiang tunggal}} \times Ce \\ &= 247,63 \times 0,6064 \\ &= 150,17 \text{ ton} \end{aligned}$$

4.6.1.4 Kontrol beban maksimum 1 *bored pile*

Beban maksimum yang bekerja pada satu *bored pile* dalam kelompok dihitung berdasarkan gaya aksial dan momen yang bekerja pada tiang. Momen pada tiang dapat menyebabkan gaya tekan atau tarik pada tiang. Beban maksimum yang diterima satu tiang dapat dihitung dengan persamaan berikut :

$$P_{max} = \frac{\Sigma P}{n} \pm \frac{M_y \times x_{max}}{\Sigma x^2} \pm \frac{M_x \times y_{max}}{\Sigma y^2} \leq P_{ijin 1 tiang grup}$$

Perhitungan jarak tiang

$s \geq 2D$, dengan s = jarak antar tiang

$s \geq 160 \text{ cm}$, dipakai $s = 160\text{cm}$

$1D \leq s_1 \leq 2D$, dengan s_1 = jarak tepi

$80\text{cm} \leq s_1 \leq 160\text{cm}$, dipakai $s_1 = 80 \text{ cm}$

Tabel 4. 55 Rekapitulasi Kontrol Beban Maksimum

| Kombinasi Beban | P (ton) | Mx (ton m) | My (ton m) | P/n (ton) | $\frac{M_y \times x_{maks}}{\sum x^2}$ | $\frac{M_x \times y_{maks}}{\sum y^2}$ | P maks (ton) | P ijin (ton) | P maks ≤ P ijin |
|----------------------------|---------|------------|------------|-----------|--|--|--------------|--------------|-----------------|
| ID+ISDL | 875,18 | 1,10 | 5,35 | 97,24 | 1,672 | 0,345 | 99,26 | 150,17 | OK |
| ID+ISDL+1L | 1125,32 | 1,45 | 6,96 | 125,04 | 2,176 | 0,452 | 127,66 | 150,17 | OK |
| ID+ISDL+0,75L | 1062,79 | 1,36 | 6,56 | 118,09 | 2,050 | 0,426 | 120,56 | 150,17 | OK |
| ID+ISDL+0,7RSX | 965,17 | 20,43 | 71,66 | 107,24 | 22,394 | 6,385 | 136,02 | 150,17 | OK |
| ID+ISDL+0,7RSY | 904,73 | 59,32 | 28,16 | 100,53 | 8,800 | 18,538 | 127,86 | 150,17 | OK |
| ID+ISDL+0,75(0,7RSX)+0,75L | 1125,49 | 15,86 | 56,29 | 125,05 | 17,592 | 4,956 | 147,60 | 150,17 | OK |
| ID+ISDL+0,75(0,7RSY)+0,75L | 1080,16 | 45,03 | 23,67 | 120,02 | 7,396 | 14,071 | 141,48 | 150,17 | OK |
| 0,6D+0,6SDL+0,7RSX | 615,27 | 19,99 | 69,52 | 68,36 | 21,725 | 6,247 | 96,34 | 150,17 | OK |
| 0,6D+0,6SDL+0,7RSY | 554,84 | 58,88 | 26,02 | 61,65 | 8,132 | 18,400 | 88,18 | 150,17 | OK |

4.6.1.5 Kontrol Kekuatan *Bored Pile*

i. Kontrol terhadap Gaya Aksial

Untuk *bored pile* diameter 80 cm, gaya aksial tidak diperkenankan melebihi 247,63 ton.

$$P_{max} = 147,60 \text{ ton} < P_{ijin} = 247,63 \text{ ton} (\text{Ok})$$

ii. Kontrol terhadap Gaya Momen

Besarnya momen maksimum yang bekerja di ujung atas sebuah tiang dapat dicari dengan persamaan berikut.

$$M_{maks} = H (e + 1,5d + 0,5f)$$

$$f = H/(9 C_u D)$$

Dimana:

$$H = \text{Lateral Load}$$

$$e = \text{jarak antara lateral load (H) dengan muka tanah}$$

$$D = \text{diameter pondasi}$$

$$C_u = 0,12 \text{ kg/cm}^2 \text{ (pada lapisan tanah teratas)}$$

$$H_{maks} = 16,56 \text{ ton}$$

$$H_{1 \text{ tiang}} = H_{max}/n_{tiang}$$

$$= 16,56/9$$

$$= 1,839 \text{ ton} = 1839,97 \text{ kg}$$

$$f = H/(9 C_u D)$$

$$= 1839,97/(9 \times 0,12 \times 80)$$

$$= 21,296 \text{ cm}$$

$$M_{maks} = H (e + 1,5d + 0,5f)$$

$$= 1839,97 (0 + 1,5 \times 80 + 0,5 \times 21,296)$$

$$= 2351057,41 \text{ kg cm}$$

$$= 23,51 \text{ ton m}$$

Untuk diameter 800 mm, momen tidak diperkenankan melebihi M_{crack} .

$$M_{crack} = (f_r + f_{pe}) \cdot W_i$$

Dimana,

$$M_{crack} = \text{Cracking moment capacity (kg cm)}$$

$$F_r = \text{Permissible tensile strength of concrete (kg/cm}^2\text{)}$$

$$F_{pe} = \text{Effective prestress in concrete (kg/cm}^2\text{)}$$

$$W_i = \text{Section modulus (cm}^3\text{)}$$

Diketahui :

$$f'c = 40 \text{ Mpa} = 407,75 \text{ kg/cm}^2$$

$$f_r = 0,63 \sqrt{f'c} = 0,63\sqrt{40} = 3,98 \text{ MPa} = 40,62 \text{ kg/cm}^2$$

$$f_{pe} = f'c = 40 \text{ Mpa}$$

$$W = I/Y$$

$$I = 1/64 \pi D^4$$

$$= 1/64 \times \pi \times 80^4$$

$$= 2010619 \text{ cm}^4$$

$$Y = D/2 = 80/2 = 40 \text{ cm}$$

$$W = 2010619 \text{ cm}^4 / 40 \text{ cm} = 50265,48 \text{ cm}^3$$

$$M_{crack} = (407,75 + 40,62) \cdot 50265,48$$

$$= 22537213,02 \text{ kg cm}$$

$$= 225,37 \text{ ton m}$$

Cek kekuatan momen tiang :

$$M_{crack} = 225,37 \text{ ton m} > M_{maks} = 23,51 \text{ ton m (Ok)}$$

iii. Kontrol Kekuatan Defleksi Tiang

Gaya lateral yang bekerja pada tiang dapat menyebabkan terjadinya defleksi dan momen. Oleh karena itu harus dilakukan kontrol terhadap defleksi yang terjadi pada tiang.

Kontrol defleksi tiang :

$$\delta = Fd \left(\frac{PT^3}{EI} \right) \leq 2.5 \text{ cm}$$

Dimana,

δ = defleksi yang terjadi

F_d = koefisien defleksi (Gambar 4.50)

P = Gaya lateral 1 tiang

T = *Relative stiffness factor* = $T = \left(\frac{EI}{f}\right)^{\frac{1}{5}}$

Pondasi Bored Pile Tipe 1

Jumlah tiang = 9 buah

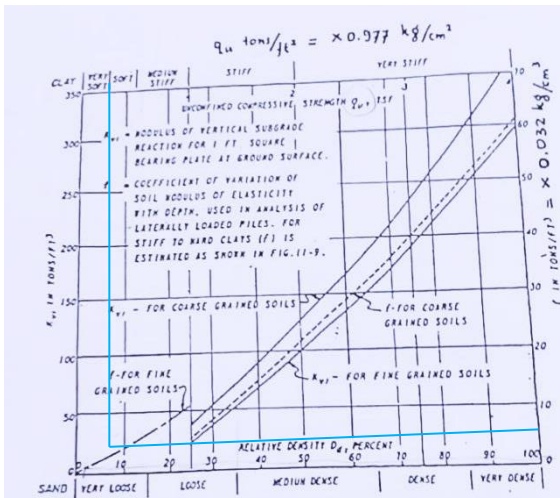
H_{maks} = 16,56 ton

H_1 tiang maks = 1,84 ton

C_u = 0,12 kg/cm² (pada lapisan tanah teratas)

Q_u = $2.C_u = 0,24 \text{ kg/cm}^2 \times 0,977 = 0,234 \text{ tsf}$

Nilai *relative density*, f , diperoleh dari Terzaghi seperti pada Gambar 4.52 berikut.



Gambar 4. 52 Hubungan antara Q_u dengan Koefisien f

$$f = 3 \text{ ton/ft}^3 \times 0,032 = 0,096 \text{ kg/cm}^3$$

$$I = 1/64 \pi D^4$$

$$= 1/64 \times \pi \times 80^4$$

$$= 2010619 \text{ cm}^4$$

$$E = 4700\sqrt{fc} = 4700\sqrt{40} = 33.892,18 \text{ kg/cm}^2$$

$$T = \left(\frac{EI}{f}\right)^{\frac{1}{5}} = 363,5 \text{ cm}$$

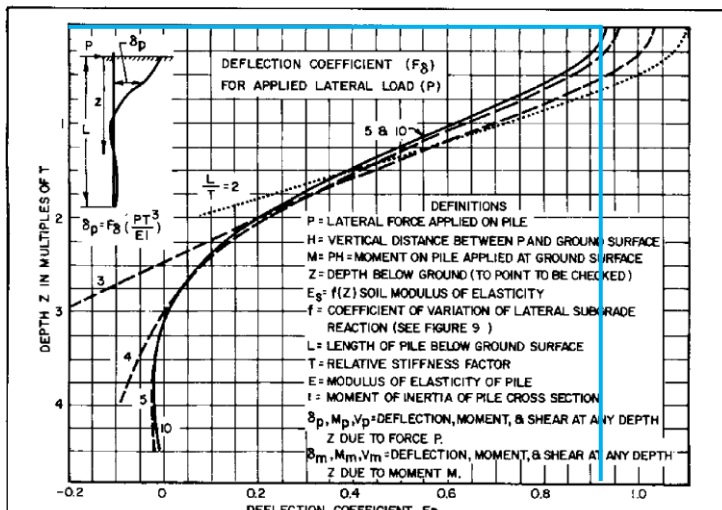
Dalam menentukan F_d (*deflection coefficient*) diperlukan nilai L/T dan Z kemudian diplotkan ke grafik pada Gambar 4.53. Dimana,

L = Panjang tiang pancang dibawah permukaan tanah = 36 m

T = *Relative stiffness factor* = 363,5 cm

Z = Kedalaman di bawah tanah ke titik yang ditinjau = 0 m

L/T = 9,904



Gambar 4. 53 Grafik Faktor Defleksi

Dari grafik di atas maka didapatkan $F_d = 0,93$

$$\delta = F_d \left(\frac{PT^3}{EI} \right) \leq 2,5 \text{ cm}$$

$$\delta = 0,9 \left(\frac{1839,97 \times 363,5^3}{33892,18 \times 2010619,3} \right) = 0,135 \text{ cm} < 2,5 \text{ cm (OK)}$$

Kontrol momen maksimum :

$$M_{crack} = 225,37 \text{ ton m}$$

$$L/T = 9,904$$

$$Z = 0 \text{ m}$$

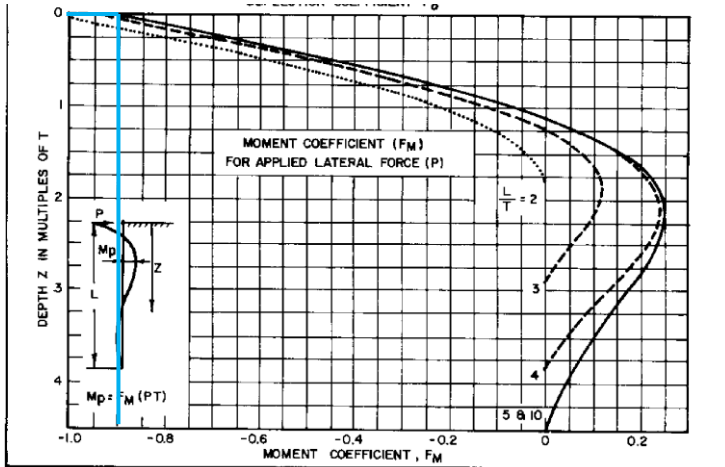


FIGURE 12
Influence Values for Laterally Loaded Pile
(Case II. Fixed Against Rotation at Ground Surface)

Gambar 4. 54 Grafik Faktor Momen

Dari grafik pada Gambar 4.54 maka didapatkan $F_m = 0,9$

$$M_p = F_m(PT) \leq M_{crack}$$

$$M_p = 0,9 \times (1838,97 \times 363,5) / 10^5$$

$$M_p = 6,02 \text{ ton m} \leq 225,37 \text{ ton m (Ok)}$$

4.6.2 Penulangan Bored Pile

4.6.2.1 Data Perencanaan

Diameter : 800 mm

Kuat tekan beton (f'_c) : 40 Mpa

Kuat leleh tulangan lentur (f_y) : 400 Mpa

Kuat leleh tulangan geser (f_y geser) : 400 Mpa

Diameter tulangan lentur (D_b) : 25 mm

Diameter tulangan geser (D_s) : 19 mm

Tebal selimut beton : 80 mm

Tinggi efektif :

$$d = D - \text{selimut} - D_s - \frac{1}{2} D_b$$

$$= 800 - 80 - 19 - 25/2$$

$$= 688,5 \text{ mm}$$

4.6.2.2 Tulangan Longitudinal

Berdasarkan hasil analisis SAP 2000 didapatkan reaksi-reaksi sebagai berikut :

$$M_x = 59,323 \text{ ton m}$$

$$M_y = 71,662 \text{ ton m}$$

$$P_u = 147,602 \text{ ton (P max 1 tiang)}$$

$$H_x = 15,699 \text{ ton}$$

$$H_y = 14,261 \text{ ton}$$

Tambahan momen arah x (Mx) dan arah y (My) akibat H x t :

$$M_x \text{ tambahan} = H_y \times t = 14,261 \times 1,3 = 18,54 \text{ ton m}$$

$$M_y \text{ tambahan} = H_x \times t = 15,699 \times 1,3 = 20,41 \text{ ton m}$$

Tambahan aksial akibat berat pilecap :

$$W \text{ pilecap} = 4,8 \times 4,8 \times 1,3 \times 2,4 = 71,885 \text{ ton}$$

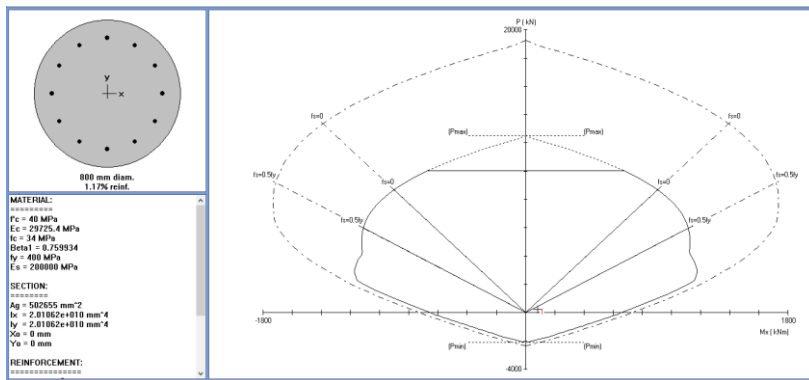
Diketahui jumlah tiang pada pilecap Tipe 1 adalah 9 buah sehingga gaya-gaya tersebut akan didistribusikan ke masing-masing tiang. Didapat gaya-gaya yang bekerja pada 1 tiang adalah:

$$P_u = 23,39 \text{ ton}$$

$$M_x = 8,65 \text{ ton}$$

$$M_y = 10,23 \text{ ton}$$

Dari beban aksial dan momen yang terjadi tersebut, kemudian dilakukan perhitungan penulangan memanjang pile menggunakan program bantu SPcolumn, didapatkan diagram interaksi antara aksial dan momen pada *bored pile*, yaitu sebagai berikut:



Gambar 4. 55 Grafik Interaksi Aksial dan Momen pada pile

Menurut SNI 2847:2013 Pasal 21.6.3, luas tulangan memanjang, A_{st} , tidak boleh kurang dari 0,01 A_g atau lebih dari 0,06 A_g . Dari diagram interaksi yang dibuat oleh program SPcolumn diperoleh Tulangan longitudinal : 12 D25 ($A_s = 5890,49 \text{ mm}^2$), dengan rasio tulangan = 1,17 % (OK).

4.6.2.3 Tulangan Geser

Kekuatan geser yang disumbangkan oleh beton dihitung dengan persamaan berikut ini (SNI 2847:2013 pasal 11.2.1.2).

$$V_c = 0,17 \left(1 + \frac{N_u}{14A_g} \right) \lambda \sqrt{f'c} b_w d$$

$$N_u = 24,39 \text{ ton} = 239,24 \text{ N}$$

$$A_g = 0,25 \cdot \pi \cdot 0,8^2 = 0,5027 \text{ m}^2$$

$$b_w = D = 0,8 \text{ m}$$

$$d = 688,5 \text{ mm}$$

$$V_c = 612339,10 \text{ N}$$

$$0,5\phi V_c = 0,5 \cdot 0,75 \cdot 612339,1$$

$$= 229627,16 \text{ N}$$

$$= 23407,45 \text{ kg} > N_u = 24387 \text{ kg}$$

$0,5\phi V_c > N_u$, maka disediakan tulangan geser minimum.

Berdasarkan SNI 2847:2013 Pasal 21.6.4.6, ujung-ujung tiang sepanjang lo harus dikekang oleh tulangan transversal (A_{sh}) dengan spasi sesuai dengan SNI 2847:2013 pasal 21.6.4.6.

Pemasangan tulangan di daerah sendi plastis

Jarak tulangan maksimum :

$$\frac{1}{4} D = \frac{1}{4} \times 800 = 200 \text{ mm}$$

$$6 D_b = 6 \times 25 = 150 \text{ mm}$$

$$100 \text{ mm} \leq s_o \leq 150 \text{ mm}$$

$$s_o = 100 + \left(\frac{350 - h_x}{3} \right) = 100 + \left(\frac{350 - 0,5 \cdot (800 - 2,80 - 19)}{3} \right) \\ = 113,2 \text{ mm}$$

Maka diambil $s = 90 \text{ mm}$

A_{sh} min sesuai SNI 2847:2013 pasal 21.6.4.4 diperoleh dari nilai terbesar dari hasil rumus berikut.

Keterangan :

h_x : spasi horizontal kaki sengkang pusat ke pusat maksimum pada semua muka kolom

b_c : dimensi penampang inti komponen struktur yang diukur ke tepi luar tulangan transversal yang membentuk luas tulangan A_{sh}

A_{ch} : luas penampang komponen struktur yang diukur sampai tepi luar tulangan transversal

$$Ash = 0,3 \frac{s \cdot b_c \cdot f'_c}{f_y t} \left[\frac{A_g}{A_{ch}} - 1 \right] \\ = 0,3 \frac{90 \cdot 640 \cdot 40}{400} \left(\frac{502654,82}{409600} - 1 \right) \\ = 392,58 \text{ mm}^2$$

$$Ash = 0,09 \frac{s \cdot b_c \cdot f'_c}{f_y t} = 0,09 \frac{90 \cdot 640 \cdot 40}{400} = 518 \text{ mm}^2 \text{ (menentukan)}$$

Maka digunakan 2 D19-90mm ($Av = 567,1 \text{ mm}^2$)

Pemasangan tulangan diluar daerah sendi plastis

Berdasarkan SNI 2847:2013 pasal 21.6.4.5, sisa panjang kolom diluar sendi plastis tetap harus dipasang tulangan transversal dengan tidak lebih dari : $6 \text{ Db} = 6 \times 25 = 150 \text{ mm}$ atau 150 mm maka dipakai s adalah 150 mm .

4.6.3 Perencanaan Pilecap

Pilecap direncanakan terhadap gaya geser pons pada penampang kritis dan penulangan akibat momen lentur. Beban yang bekerja pada *pilecap* dihitung menggunakan kombinasi LRFD, seperti pada Tabel 4.56.

Tabel 4. 56 Beban yang Terjadi

| Kombinasi Beban | P (ton) | M _x (ton m) | M _y (ton m) | P/n (ton) | $\frac{M_y \times x_{maks}}{\sum x^2}$ | $\frac{M_x \times y_{maks}}{\sum y^2}$ | P 1 maks |
|---------------------|----------|------------------------|------------------------|-----------|--|--|----------|
| 1,4D+1,4SDL | 1225,251 | 1,546 | 7,492 | 136,139 | 2,341 | 0,483 | 138,963 |
| 1,2D+1,2SDL+1,6L | 1450,444 | 1,875 | 9,000 | 161,160 | 2,813 | 0,586 | 164,559 |
| 1,2D+1,2SDL+1L+1RS | 1422,780 | 29,282 | 102,763 | 158,087 | 32,113 | 9,151 | 199,350 |
| 1,2D+1,2SDL+1L+1RSY | 1336,441 | 84,838 | 40,619 | 148,493 | 12,694 | 26,512 | 187,699 |
| 0,9D+0,9SDL+1RSX | 916,451 | 28,607 | 99,545 | 101,828 | 31,108 | 8,940 | 141,876 |
| 0,9D+0,9SDL+1RSY | 830,112 | 84,163 | 37,402 | 92,235 | 11,688 | 26,301 | 130,224 |

4.6.3.1 Data Perencanaan

$$P_u = 1450,44 \text{ ton}$$

$$P_{max} (1 \text{ tiang}) = 199,35 \text{ ton}$$

$$n \text{ tiang pancang} = 9 \text{ buah}$$

$$\text{Dimensi pilecap} = 4,8 \times 4,8 \times 1,3 \text{ m}$$

$$\text{Mutu beton (f'c)} = 40 \text{ MPa}$$

$$\text{Mutu baja (fy)} = 400 \text{ MPa}$$

$$\text{Diameter tulangan} = 25 \text{ mm}$$

$$\text{Selimut beton} = 80 \text{ mm}$$

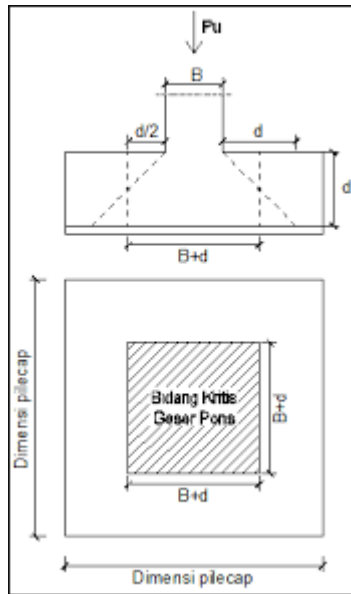
$$\lambda = 1 \text{ (beton normal)}$$

Tinggi efektif (d) :

$$dx = 1200 - 80 - \frac{1}{2} 25 = 1207,5 \text{ mm}$$

$$dy = 1200 - 80 - 25 - \frac{1}{2}(25) = 1182,5 \text{ mm}$$

4.6.3.2 Kontrol Geser Pons



Gambar 4. 56 Bidang Kritis Geser Pons

Pilecap harus mampu menyebarkan beban dari kolom ke pondasi, sehingga perlu dilakukan kontrol kekuatan geser pons untuk memastikan bahwa kekuatan geser nominal beton harus lebih besar dari geser pons yang terjadi. Perencanaan geser pons pada poer tersebut berdasarkan ketentuan SNI 2847:2013 pasal 11.11.2.1.

Untuk pondasi tapak non-prategang (V_c) ditentukan berdasarkan nilai yang terkecil dari persamaan berikut:

$$V_{c1} = 0,17 \left(1 + \frac{2}{\beta}\right) \lambda \sqrt{f'c} \times b_o \times d$$

$$V_{c2} = 0,083 \times \left(\frac{\alpha_s d}{b_o} + 2\right) \lambda \sqrt{f'c} \times b_o \times d$$

$$V_{c3} = 0,333 \lambda \sqrt{f'c} \times b_o \times d$$

dimana :

a_s = 20 untuk kolom sudut, 30 untuk kolom tepi, 40 untuk kolom interior

β = rasio sisi terpanjang terhadap sisi terpendek
 $= 900/900 = 1$

b_o = Keliling penampang kritis :

$$\begin{aligned} b_o &= 2(b_{\text{kolom}} + d) + 2(h_{\text{kolom}} + d) \\ &= 2(900 + 1207,5) + 2(900 + 1207,5) \\ &= 8430 \text{ mm} \end{aligned}$$

$$V_{c1} = 0,17 \left(1 + \frac{2}{\beta}\right) \lambda \sqrt{f'c} \times b_o \times d$$

$$= 0,17(1+2)\sqrt{40.8030.1207,5}$$

$$= 32.833.326,53 \text{ N}$$

$$V_{c2} = 0,083 \times \left(\frac{a_s d}{b_o} + 2\right) \lambda \sqrt{f'c} \times b_o \times d$$

$$= 0,08(40.1207,5/8430 + 2).\sqrt{40.8430.1207,5}$$

$$= 41.302.496,5 \text{ N}$$

$$V_{c3} = 0,333 \lambda \sqrt{f'c} \times b_o \times d$$

$$= 0,333\sqrt{40.8430.1207,5}$$

$$= 21.438.230,85 \text{ N}$$

Dari ketiga nilai V_c diatas diambil nilai terkecil, maka kapasitas penampang dalam memikul geser adalah

$$\phi V_c \geq P_u$$

$$\phi V_c = 0,75 \times 21.438.230,85 \text{ N}$$

$$= 16.078.673,14 \text{ N}$$

$$= 1607,86 \text{ ton}$$

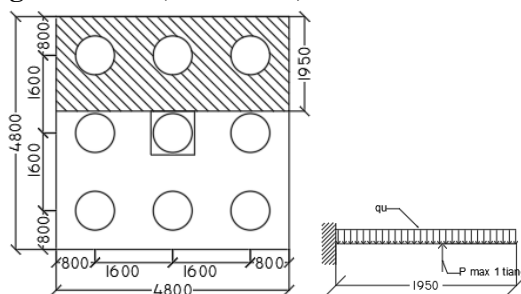
$$\phi V_c = 1607,86 \text{ ton} \geq 11450,44 \text{ ton}$$

Jadi ketebalan dan ukuran pilecap memenuhi syarat terhadap geser pons akibat kolom.

4.6.3.3 Penulangan Pilecap

Untuk penulangan lentur, pilecap dianalisa sebagai balok kantilever dengan perlakuan jepit pada kolom. Sedangkan beban yang bekerja adalah beban terpusat di *bored pile* yang menyebabkan reaksi pada tanah dan berat sendiri *pilecap*. Perhitungan gaya dalam pada *pilecap* didapat dengan teori mekanika statis tertentu.

a. Tulangan Arah x (sisi bawah)



Gambar 4. 57 Pembebanan Pilecap Arah x

$$\begin{aligned}
 \text{Berat pilecap, } q_u &= 4,8 \times 1,3 \times 2,4 = 14,98 \text{ ton/m} \\
 \text{P maks 1 tiang} &= 199,35 \text{ ton} \\
 \text{Jumlah tiang} &= 9 \text{ buah (3 baris, 3 kolom)} \\
 \text{Pt} &= n \times \text{P maks 1 tiang} \\
 &= 3 \times 199,35 = 598,051 \text{ ton} \\
 X &= (4,8 - 0,9) / 2 \\
 &= 1,95 \text{ m}
 \end{aligned}$$

Momen momen yang bekerja

$$\begin{aligned}
 Mu &= Pt.x - (q_u \cdot x) \\
 Mu &= 598,051 \cdot 1,95 - (0,5 \cdot 14,98 \cdot (1,95)^2) \\
 &= 1132,03 \text{ ton m} \\
 &= 11.105.239.206 \text{ N mm}
 \end{aligned}$$

Data Perencanaan

$$\begin{aligned}
 f'_c &= 40 \text{ MPa} \\
 f_y &= 400 \text{ MPa} \\
 d_b &= 25 \text{ mm } (A_{s1} = 490,87 \text{ mm}^2) \\
 t &= 1300 \text{ mm} \\
 \text{selimut beton} &= 80 \text{ mm} \\
 d_x &= t - \text{selimut beton} - 0,5d_b \\
 &= 1300 - 80 - 0,5 \cdot 25 \\
 &= 1207,5 \text{ mm} \\
 d_y &= t - \text{selimut beton} - 1,5d_b \\
 &= 1300 - 90 - 1,5 \cdot 25 \\
 &= 1182,5 \text{ mm} \\
 m &= f_y/(0,85f'_c) = 400/(0,85 \cdot 40) = 11,765
 \end{aligned}$$

Rasio tulangan minimum (ρ_{\min})

Berdasarkan SNI 2847:2013 pasal 10.5.1 rasio tulangan minimum harus disediakan sebesar :

$$\begin{aligned}
 \rho_{\min} &\geq 0,25\sqrt{f'_c / f_y} \text{ dan, } \rho_{\min} \geq 1,4/f_y \\
 &\geq 0,25\sqrt{40 / 400} && \geq 1,4 / 400 \\
 &\geq 0,00395 && \geq 0,004
 \end{aligned}$$

Maka diambil $\rho_{\min} = 0,004$

Rasio tulangan maksimum (ρ_{\max})

Berdasarkan SNI 2847:2013 Lampiran B pasal 10.3.3 rasio tulangan maksimum tidak boleh melebihi $0,75\rho_b$.

$$\begin{aligned}
 \beta_1 &= 0,85 - 0,05 \frac{f'_c - 28}{7} = 0,85 - 0,05 \frac{40 - 28}{7} = 0,76 \\
 \rho_b &= \frac{0,85 \cdot f'_c \cdot \beta_1}{f_y} \left(\frac{600}{600 + f_y} \right) = \frac{0,85 \cdot 40 \cdot 0,76}{400} \left(\frac{600}{600 + 400} \right) = 0,0389 \\
 \rho_{\max} &= 0,75 \rho_b = 0,75 \cdot 0,0389 = 0,029
 \end{aligned}$$

Rasio tulangan perlu

$$\begin{aligned}
 M_u &= 11.105.239.206 \text{ N mm} \\
 \varphi &= 0,9 \text{ (diasumsikan beton terkendali tarik)} \\
 R_n &= \frac{M_u}{\varphi b d^2} = \frac{11.105.239.206}{0,9 \cdot 4800 \cdot 1207,5^2} = 1,76 \text{ MPa}
 \end{aligned}$$

$$\begin{aligned}\rho_{\text{perlu}} &= \frac{1}{m} \cdot \left(1 - \sqrt{1 - \frac{2.m.Rn}{f_y}} \right) \\ &= \frac{1}{11,765} \left(1 - \sqrt{1 - \frac{2.11,765.1,76}{400}} \right) \\ &= 0,0045\end{aligned}$$

$\rho_{\text{min}} < \rho_{\text{perlu}}$, maka $\rho = \rho_{\text{perlu}} = 0,0045$

Luas tulangan perlu

$$A_s \text{ perlu} = \rho \cdot b \cdot d = 0,0045 \cdot 4800 \cdot 1207,5 = 26246,02 \text{ mm}^2$$

Jumlah tulangan

$$\begin{aligned}n &= A_s \text{ perlu} / A_s \text{ 1 tul} = 26246,02 / 490,87 = 53,58 \approx 54 \text{ buah} \\ s &= 4800 / 54 = 88,89 \text{ mm}\end{aligned}$$

Sehingga digunakan tulangan lentur D25-90 mm.

b. Tulangan Arah x (sisi atas)

Luas tulangan perlu

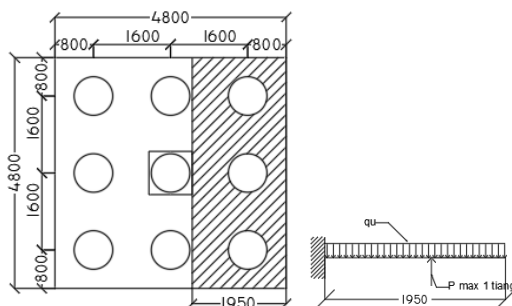
$$A_s \text{ perlu} = 0,5 A_s \text{ perlu bawah} = 13123,01 \text{ mm}^2$$

Jumlah tulangan

$$\begin{aligned}n &= A_s \text{ perlu} / A_s \text{ 1 tul} = 13123,01 / 490,87 = 26,7 \approx 27 \text{ buah} \\ s &= 4800 / 27 = 177,8 \text{ mm}\end{aligned}$$

Sehingga digunakan tulangan lentur D25-160 mm.

c. Tulangan Arah y (sisi bawah)



Gambar 4. 58 Pembebanan Pilecap Arah y

Momen momen yang bekerja

$$\begin{aligned}
 Mu &= Pt.x - (q_u.x) \\
 Mu &= 598,051.1,95 - (0,5.14,98.(1,95)^2) \\
 &= 1132,03 \text{ ton m} \\
 &= 11.105.239.206 \text{ N mm}
 \end{aligned}$$

Rasio tulangan perlu

$$\begin{aligned}
 Mu &= 11.105.239.206 \text{ N mm} \\
 \varphi &= 0,9 \text{ (diasumsikan beton terkendali tarik)} \\
 Rn &= \frac{Mu}{\varphi bd^2} = \frac{11.105.239.206}{0,9.4800.1182,5^2} = 1,84 \text{ MPa} \\
 \rho_{\text{perlu}} &= \frac{1}{m} \cdot \left(1 - \sqrt{1 - \frac{2.m.Rn}{f_y}} \right) \\
 &= \frac{1}{11,765} \left(1 - \sqrt{1 - \frac{2.11,765.1,84}{400}} \right) \\
 &= 0,0047
 \end{aligned}$$

$$\rho_{\min} < \rho_{\text{perlu}}, \text{ maka } \rho = \rho_{\text{perlu}} = 0,0047$$

Luas tulangan perlu

$$A_s \text{ perlu} = \rho.b.d = 0,0047.4800.1182,5 = 26833,21 \text{ mm}^2$$

Jumlah tulangan

$$\begin{aligned}
 n &= A_s \text{ perlu} / A_s \text{ 1 tul} = 26833,21 / 490,87 = 54,6 \approx 55 \text{ buah} \\
 s &= 4800/55 = 87,3 \text{ mm}
 \end{aligned}$$

Sehingga digunakan tulangan lentur D25-90 mm.

d. Tulangan Arah y (sisi atas)Luas tulangan perlu

$$A_s \text{ perlu} = 0,5 A_s \text{ perlu bawah} = 13416,60 \text{ mm}^2$$

Jumlah tulangan

$$\begin{aligned}
 n &= A_s \text{ perlu} / A_s \text{ 1 tul} = 13416,60 / 490,87 = 27,3 \approx 28 \text{ buah} \\
 s &= 4800/28 = 165,7 \text{ mm}
 \end{aligned}$$

Sehingga digunakan tulangan lentur D25-160 mm.

4.6.3.4 Rekapitulasi Penulangan Pondasi

Tabel 4. 57 Tipe 1

| | | |
|-----------------|-------------------|-------------|
| Dimensi pilecap | 4,8 x 4,8 x 1,3 m | |
| n bored pile | 9 buah | |
| D bored pile | 80 cm | |
| Kedalaman | 36 m | |
| Tulangan arah x | Atas | D22 - 120mm |
| | Bawah | D29 - 120mm |
| Tulangan arah y | Atas | D22 - 110mm |
| | Bawah | D29 - 110mm |

Tabel 4. 58 Tipe 2

| | | |
|-----------------|-------------------|-------------|
| Dimensi pilecap | 4,8 x 4,8 x 1,3 m | |
| n bored pile | 9 buah | |
| D bored pile | 80 cm | |
| Kedalaman | 28 m | |
| Tulangan arah x | Atas | D22 - 130mm |
| | Bawah | D29 - 130mm |
| Tulangan arah y | Atas | D22 - 140mm |
| | Bawah | D29 - 140mm |

Tabel 4. 59 Tipe 3

| | | |
|-----------------|--------------------|-------------|
| Dimensi pilecap | 10,6 x 5,2 x 1,4 m | |
| n bored pile | 18 buah | |
| D bored pile | 80 cm | |
| Kedalaman | 38 m | |
| Tulangan arah x | Atas | D29 - 120mm |
| | Bawah | D22 - 120mm |
| Tulangan arah y | Atas | D29 - 130mm |
| | Bawah | D22 - 130mm |

4.6.4 Perencanaan Balok *Sloof*

Struktur balok *sloof* berfungsi agar penurunan yang terjadi pada pondasi (*pilecap*) bergerak bersama-sama, dengan kata lain balok *sloof* merupakan pengaku yang menghubungkan antar pondasi (*pilecap*). Besarnya gaya dalam yang terjadi pada balok

sloof adalah akibat dari berat balok *sloof* sendiri, berat dinding di atasnya, dan beban aksial tekan atau tarik yang berasal dari 10% beban aksial kolom maksimum. Berikut adalah perhitungan balok *sloof*:

4.6.4.1 Data Perencanaan

| | |
|---|--|
| Panjang sloof, L | : 3200 mm |
| Lebar, b | : $L/20 = 3200/20 = 220 \text{ mm}$ Ambil b = 500 mm (SNI 2847:2013 pasal 21.12.3.2) |
| Tinggi, h | : 750 mm |
| Mutu beton, f'_c | : 40 MPa |
| Mutu baja, f_y | : 400 MPa |
| D_b | : 25 mm ($A_{s1} \text{ tul} = 490,87 \text{ mm}^2$) |
| D_s | : 13 mm |
| Selimut beton | : 50 mm |
| d | : $750 - 50 - 13 - 25/2 = 674,5 \text{ mm}$ |
| $P_u \text{ kolom}$ | : 14.002,3 kN |
| $P_{\text{sloof}} (10\% P_u \text{ kolom})$ | : 1.400,23 kN |

Perencanaan dimensi dari *sloof* memperhitungkan syarat bahwa tegangan tarik yang terjadi tidak boleh melampaui tegangan ijin tarik beton (modulus keruntuhan) yaitu sebesar :

$$\begin{aligned} f_{r \text{ ijin}} &= 0,7\sqrt{f'_c} \\ &= 0,7\sqrt{40} \\ &= 4,43 \text{ MPa} \end{aligned}$$

Tegangan tarik yang terjadi :

$$f_r = \frac{P}{\varphi \cdot b \cdot h} = \frac{1400,23 \times 1000}{0,9 \times 500 \times 750} = 4,15 \text{ MPa} > f_{r \text{ ijin}} (\text{Ok})$$

4.6.4.2 Pembebatan

Penulangan *sloof* didasarkan atas kondisi pembebatan dimana beban yang diterima adalah beban aksial dan lentur sehingga penulangannya diidealisasikan seperti penulangannya pada kolom. Adapun beban *sloof* adalah sebagai berikut :

Berat sendiri sloof :

$$\begin{aligned} q_{\text{sloof}} &= b \cdot h \cdot \text{berat jenis} \\ &= 0,50 \cdot 0,75 \cdot 2400 \\ &= 900 \text{ kg/m} \end{aligned}$$

Berat dinding :

$$\begin{aligned} q_{\text{dinding}} &= h \cdot \text{berat jenis} \\ &= 2.250 \\ &= 500 \text{ kg/m} \end{aligned}$$

$$\begin{aligned} q_{\text{total}} &= q_{\text{sloof}} + q_{\text{dinding}} \\ &= 1400 \text{ kg/m} \end{aligned}$$

Beban Aksial sloof

$$\begin{aligned} P_{\text{sloof}} &= 1.400,23 \text{ Kn} \\ &= 142.734,7 \text{ kg} \end{aligned}$$

Beban Ultimate

$$\begin{aligned} q_u &= 1,4 q_D \\ &= 1,4 \times 1400 \\ &= 1960 \text{ kg/m} \end{aligned}$$

Balok *sloof* merupakan balok menerus, sehingga perhitungan momen untuk tumpuan dan lapangan digunakan momen koefisien. Besarnya koefisien menurut SNI 2847:2013 pasal 8.3.3 adalah sebagai berikut :

$$\begin{aligned} M_{\text{tumpuan}} &= q_u \cdot L^2 / 10 \\ &= 1960 \cdot 4,4^2 / 10 \\ &= 3794,56 \text{ kg m} \\ &= 37,22 \text{ kN m} \end{aligned}$$

$$\begin{aligned} M_{\text{lapangan}} &= q_u \cdot L^2 / 14 \\ &= 1960 \cdot 4,4^2 / 14 \\ &= 2710,4 \text{ kg m} \\ &= 26,59 \text{ kN m} \end{aligned}$$

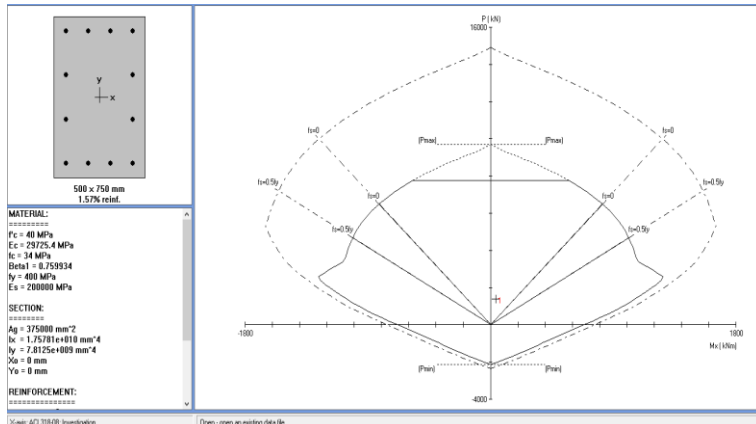
Dengan program bantu SPCOLUMN dimasukkan data beban sebagai berikut :

$$P = 1400,23 \text{ kN}$$

$$M = 37,22 \text{ kN m}$$

4.6.4.3 Tulangan Longitudinal

Dari hasil analisis SPCOLUMN diperoleh tulangan longitudinal 12 D25 ($A_s = 5891 \text{ mm}^2$) dengan rasio tulangan sebesar 1,57 %.



Gambar 4. 59 Hasil SPCOLUMN untuk Sloof

4.6.4.4 Tulangan Transversal

$$\begin{aligned}
 V_u &= 0,5 \cdot q_u \cdot L \\
 &= 0,5 \cdot 1960,4 \cdot 4,9,81 \\
 &= 42300,72 \text{ N} \\
 \varphi &= 0,75
 \end{aligned}$$

Cek Kebutuhan Tulangan Geser

Berdasarkan SNI 2847:2013 pasal 11.4.6, tulangan geser minimum harus disediakan jika $V_u \geq 0,5\Phi v_c$.

Kondisi 1 :

Jika $V_u \leq 0,5\Phi v_c$ maka tidak diperlukan tulangan geser.

$$\begin{aligned}
 V_c &= \frac{1}{6} \sqrt{f'c'} bd \\
 &= \frac{1}{6} \sqrt{40} \cdot 500 \cdot 674,5 \\
 &= 355.492,71 \text{ N}
 \end{aligned}$$

$$\begin{aligned}
 \varphi V_c &= 0,75 \times 355.492,71 \text{ N} \\
 &= 266.619,53 \text{ N}
 \end{aligned}$$

$$0,5\varphi V_c = 0,5 \times 0,75 \times 355.492,71 \\ = 133.309,76 \text{ N}$$

$$V_u = 42300,72 \text{ N} < 0,5\varphi V_c = 133.309,76 \text{ N}$$

Tidak diperlukan tulangan geser, maka disediakan tulangan minimum.

Jarak tulangan transversal

Syarat jarak $s < d/2 = 337,25 \text{ mm}$ dan $s < 300 \text{ mm}$

dipasang $s = 250 \text{ mm}$

Digunakan D13 – 250 mm.

“Halaman ini sengaja dikosongkan”

BAB V

KESIMPULAN DAN SARAN

5.1 Kesimpulan

Berdasarkan keseluruhan hasil analisis yang telah dilakukan dalam penyusunan Modifikasi Perancangan Gedung Skysuites SOHO Surabaya dengan *Base Isolator : High Damping Rubber Bearing (HDRB)* dan Peta Gempa Tahun 2017, diantaranya sebagai berikut :

1. Perancangan Gedung Skysuites SOHO Surabaya memiliki dimensi struktur sekunder dan struktur primer sebagai berikut :

Struktur Sekunder

| | |
|-------------|---|
| Balok anak | : BA 1 : 30/40 cm BA 2 : 30/40 cm BA 3 : 20/25 cm BA 4 : 20/25 cm BA 5 : 20/25 cm |
| Balok lift | : 25/35 cm (penggantung) 25/35 cm (penumpu) |
| Tebal pelat | : 12 cm |

Struktur Primer

| | |
|-------------|--|
| Balok induk | : BI 1 : 40/60 cm BI 2 : 30/40 cm BI 3 : 40/60 cm BI 4 : 30/40 cm BI 5 : 40/60 cm |
| Kolom | : K1 : 90/90 cm K2 : 80/80 cm K3 : 70/70 cm K4 : 60/60 cm K5 : 50/50 cm Pedestal : 90/90 cm |

2. Dimensi diameter *rubber base isolator* tipe *High Damping Rubber Bearing* (HDRB) yang digunakan adalah 600mm dengan tebal *rubber* 200 mm (HH060X6R).
3. Perencanaan tulangan pelat lantai dan pelat atap adalah sebagai berikut :
 - Tipe A (4 m x 3,45 m)

| | | |
|-----------------|---|--------------|
| Tumpuan arah x | : | D13 – 200 mm |
| Lapangan arah x | : | D13 – 200 mm |
| Tumpuan arah y | : | D13 – 200 mm |
| Lapangan arah y | : | D13 – 200 mm |
| Tulangan bagi | : | D13 – 300 mm |
 - Tipe B (4 m x 4,425 m)

| | | |
|-----------------|---|--------------|
| Tumpuan arah x | : | D13 – 200 mm |
| Lapangan arah x | : | D13 – 200 mm |
| Tumpuan arah y | : | D13 – 200 mm |
| Lapangan arah y | : | D13 – 200 mm |
| Tulangan bagi | : | D13 – 300 mm |
 - Tipe C (4 m x 4 m)

| | | |
|-----------------|---|--------------|
| Tumpuan arah x | : | D13 – 200 mm |
| Lapangan arah x | : | D13 – 200 mm |
| Tumpuan arah y | : | D13 – 200 mm |
| Lapangan arah y | : | D13 – 200 mm |
| Tulangan bagi | : | D13 – 300 mm |
4. Perencanaan tulangan balok anak adalah sebagai berikut :
 - Balok Anak 1 ($L = 8m$)

| | | |
|------------------|---|--------------|
| Tumpuan negatif | : | 5D16 |
| Tumpuan positif | : | 3D16 |
| Lapangan positif | : | 3D16 |
| Lapangan negatif | : | 2D16 |
| Tulangan geser | : | D10 - 150 mm |
 - Balok Anak 2 ($L = 8m$)

| | | |
|-----------------|---|------|
| Tumpuan negatif | : | 5D16 |
| Tumpuan positif | : | 3D16 |

- Lapangan positif : 3D16
 - Lapangan negatif : 2D16
 - Tulangan geser : D10 - 150 mm
 - Balok Anak 3 ($L = 4,25m$)
 - Tumpuan negatif : 2D16
 - Tumpuan positif : 2D16
 - Lapangan positif : 2D16
 - Lapangan negatif : 2D16
 - Tulangan geser : D10 - 90 mm
 - Balok Anak 4 ($L = 3,45m$)
 - Tumpuan negatif : 2D16
 - Tumpuan positif : 2D16
 - Lapangan positif : 2D16
 - Lapangan negatif : 2D16
 - Tulangan geser : D10 - 90 mm
 - Balok Anak 5 ($L = 4m$)
 - Tumpuan negatif : 2D16
 - Tumpuan positif : 2D16
 - Lapangan positif : 2D16
 - Lapangan negatif : 2D16
 - Tulangan geser : D10 - 90 mm
5. Perencanaan tulangan balok induk adalah sebagai berikut :
- Balok Induk 1 ($L = 8m$)
 - Tumpuan negatif : 10D22
 - Tumpuan positif : 6D22
 - Lapangan negatif : 4D22
 - Lapangan positif : 4D22
 - Tulangan geser : D13 - 150 mm
 - Tulangan torsi samping : 2D25
 - Balok Induk 2 ($L = 4,25m$)
 - Tumpuan negatif : 5D22
 - Tumpuan positif : 4D22
 - Lapangan negatif : 2D22
 - Lapangan positif : 2D22
 - Tulangan geser : D13 - 150 mm

- Tulangan torsi samping : 2D13
- Balok Induk 3 (L = 8m)
 - Tumpuan negatif : 10D22
 - Tumpuan positif : 5D22
 - Lapangan negatif : 4D22
 - Lapangan positif : 5D22
 - Tulangan geser : D13 - 150 mm
 - Tulangan torsi samping : 2D25
- Balok Induk 4 (L = 3,45m)
 - Tumpuan negatif : 5D22
 - Tumpuan positif : 3D22
 - Lapangan negatif : 2D22
 - Lapangan positif : 2D22
 - Tulangan geser : D13 - 150 mm
 - Tulangan torsi samping : 2D13
- Balok Induk 5 (L = 4m)
 - Tumpuan negatif : 7D22
 - Tumpuan positif : 4D22
 - Lapangan negatif : 4D22
 - Lapangan positif : 3D22
 - Tulangan geser : D13 - 150 mm
 - Tulangan torsi samping : 2D22

6. Perencanaan tulangan kolom adalah sebagai berikut :

- Kolom 5
 - Tinggi : 4m
 - Dimensi : 50cm x 50cm
 - Tulangan longitudinal : 8D25
 - Tulangan transversal : 3D16 – 90 mm
- Kolom 4
 - Tinggi : 4m
 - Dimensi : 60cm x 60cm
 - Tulangan longitudinal : 8D25
 - Tulangan transversal : 3D16 – 90 mm

- Kolom 3
 - Tinggi : 4m
 - Dimensi : 70cm x 70cm
 - Tulangan longitudinal : 12D25
 - Tulangan transversal : 4D16 – 100 mm
 - Kolom 2
 - Tinggi : 4m
 - Dimensi : 80cm x 80cm
 - Tulangan longitudinal : 16D25
 - Tulangan transversal : 4D16 – 100 mm
 - Kolom 1
 - Tinggi : 4m
 - Dimensi : 90cm x 90cm
 - Tulangan longitudinal : 20D25
 - Tulangan transversal : 4D16 – 100 mm
 - Pedestal
 - Tinggi : 4m
 - Dimensi : 90cm x 90cm
 - Tulangan longitudinal : 20D25
 - Tulangan transversal : 4D16 – 100 mm
7. Dari hasil analisis beban gempa respon spektrum untuk struktur *fixed base* dan struktur *base isolator* dapat diperoleh perbandingan hasil perioda fundamental struktur, gaya geser dasar, *displacement*, serta simpangan antarlantai sebagai berikut :
- a. Perioda fundamental struktur dengan *base isolator* tipe HDRB meningkat 1,9 kali lipat dari struktur *fixed base*, karena berkurangnya kekakuan struktur pada bagian dasar akibat penggunaan *base isolator*.
- $T_{\text{fixed base}} = 3,44 \text{ detik}$
- $T_{\text{isolated}} = 6,548 \text{ detik}$
- b. Perbandingan gaya geser dasar pada struktur *fixed base* dan struktur dengan *base isolator* dapat dilihat sebagai berikut :

Arah x

Fixed base : 430.109,8 kg

HDRB : 294.284,6 kg

Maka reduksi untuk gaya geser dasar pada arah x sebesar 31,58%.

Arah y

Fixed base : 446.258,8 kg

HDRB : 292.385,5 kg

Maka reduksi untuk gaya geser dasar pada arah x sebesar 34,48%.

- Struktur gedung dengan *base isolator* memiliki *displacement* yang lebih besar daripada struktur *fixed base* :

Arah x

Atas : *Fixed base* = 150 mm
 HDRB = 233 mm

Bawah : *Fixed base* = 0 mm
 HDRB = 130 mm

Arah y

Atas : *Fixed base* = 134 mm
 HDRB = 209 mm

Bawah : *Fixed base* = 0 mm
 HDRB = 123 mm

- Struktur dengan *base isolator* mampu mereduksi simpangan antarlantai struktur *fixed base* sebesar 69,8% pada arah x, dan 71,6% pada arah y.
- Pondasi yang digunakan dalam perancangan gedung ini adalah *boredpile* dengan diameter 80cm. Terdapat 3 tipe *pilecap* sebagai berikut :

Pilecap 1 :

Dimensi : 4,8m x 4,8m x 1,3m

Jumlah *bored pile* : 9 buah

Diameter *bored pile* : 80cm

Kedalaman *bored pile* : 36m

Tulangan arah x atas : D22 – 120mm

Tulangan arah x bawah : D29 – 120mm

Tulangan arah y atas : D22 – 110mm
 Tulangan arah y bawah : D29 – 110mm

Pilecap 2 :

| | |
|-----------------------------|----------------------|
| Dimensi | : 4,8m x 4,8m x 1,3m |
| Jumlah <i>bored pile</i> | : 9 buah |
| Diameter <i>bored pile</i> | : 80cm |
| Kedalaman <i>bored pile</i> | : 36m |
| Tulangan arah x atas | : D22 – 130mm |
| Tulangan arah x bawah | : D29 – 130mm |
| Tulangan arah y atas | : D22 – 140mm |
| Tulangan arah y bawah | : D29 – 140mm |

Pilecap 3 :

| | |
|-----------------------------|-----------------------|
| Dimensi | : 10,6m x 5,2m x 1,4m |
| Jumlah <i>bored pile</i> | : 9 buah |
| Diameter <i>bored pile</i> | : 80cm |
| Kedalaman <i>bored pile</i> | : 36m |
| Tulangan arah x atas | : D29 – 120mm |
| Tulangan arah x bawah | : D22 – 120mm |
| Tulangan arah y atas | : D29 – 130mm |
| Tulangan arah y bawah | : D22 – 130mm |

6. *Sloof* direncanakan dengan dimensi 500x750mm dengan tulangan lentur 12 D25 serta tulangan geser D13-250mm.

5.2 Saran

Saran yang dapat diberikan berdasarkan hasil analisa dalam Tugas Akhir ini meliputi :

Dalam perencanaan struktur menggunakan *base isolator* sebaiknya dilakukan studi membandingkan biaya dan perilaku struktur antara struktur *fixed base* dengan *base isolation* sehingga dapat diketahui keunggulan penggunaan *base isolator* terhadap gedung.

“Halaman ini sengaja dikosongkan”

DAFTAR PUSTAKA

- Andrian, W. 2017. **Evaluasi Kinerja Gedung Menggunakan Base Isolation Tipe High Damping Rubber Bearing (HDRB) Pada Modifikasi Gedung J-Tos Jogjakarta Dengan Perencanaan Analisis Pushover.** Jurnal Teknik ITS 6, 2:624-629.
- Badan Standarisasi Nasional. 2012. **SNI 1726-2012: Tata Cara Perencanaan Ketahanan Gempa untuk Bangunan Gedung.** Jakarta: Badan Standarisasi Nasional.
- Badan Standarisasi Nasional. 2013. **SNI 1727-2013: Beban Minimum untuk Perancangan Bangunan Gedung dan Struktur Lain.** Jakarta: Badan Standarisasi Nasional.
- Badan Standarisasi Nasional. 2013. **SNI 2847-2013: Persyaratan Beton Struktural untuk Bangunan Gedung.** Jakarta: Badan Standarisasi Nasional.
- Buchanan, A. H., Bull, D., Dhakal, R., MacRae, G., Palermo, A., dan Pampanin, S. 2011. **Base Isolation and Damage-Resistant Technologies Improved Seismic Performance Buildings.** University of Canterbury Research Report 8, 2:19-20.
- Budiono, B. dan Setiawan, A. 2014. **Studi Komparasi Sistem Isolasi Dasar High-Damping Rubber Bearing dan Friction Pendulum System pada Bangunan Beton Bertulang.** Jurnal Teoretis dan Terapan Bidang Rekayasa Sipil 21, 3:179-195.
- Farissi, M. A. 2013. **Design And Analysis of Base Isolated Structures.** Safety and Security Engineering 5, 863-878.
- Kelly, T.E. 2001. **Design Isolation of Structures: Design Guideliness.** New Zealand: Holmes Consulting Group Ltd.

- Malek, K.A., dan Basir, K.B., 2001. **Design and Characteristics of High Damping Natural Rubber Bearings for Base Isolation.** Earthquake Resistant Structture 57, 3:156-163.
- Seismic Engineering Services and Products. **Brochure Eaton.** United States: Eaton.
- Lee, G.C., Ou, Y.C., Niu, T., Song.J., dan Liang, Z. 2010. **A roller seismic isolation bearing for highway bridges – Characterization.** Journal of Structural Engineering 136, 5
- Seismic Isolation Product Line-up. **Catalogue Bridgestone Corporation.** Tokyo: Bridgestone.
- Siagian, A. R., Wesli, C.Y., dan Akbar, S. J. 2017. **Studi Komparasi Base Shear pada Gedung Menggunakan Base Isolator dan Non Base Isolator.** Teras Jurnal Universitas Malikussaleh 7, 2:3-5.
- Teruna, D., 2005. **Analisis Respon Bangunan Dengan Base Isolator Akibat Gaya Gempa.** Jurnal Sistem Teknik Industri 6, 4:58–63.
- Widodo, Amien. Nov. 2017. **Kajian Sesar di Kota Surabaya dan Jawa Timur,** <URL: <http://www.pskbpi.its.ac.id/2017/11/30/kajian-sesar-di-kota-surabaya-dan-jawa-timur/>>

BIODATA PENULIS



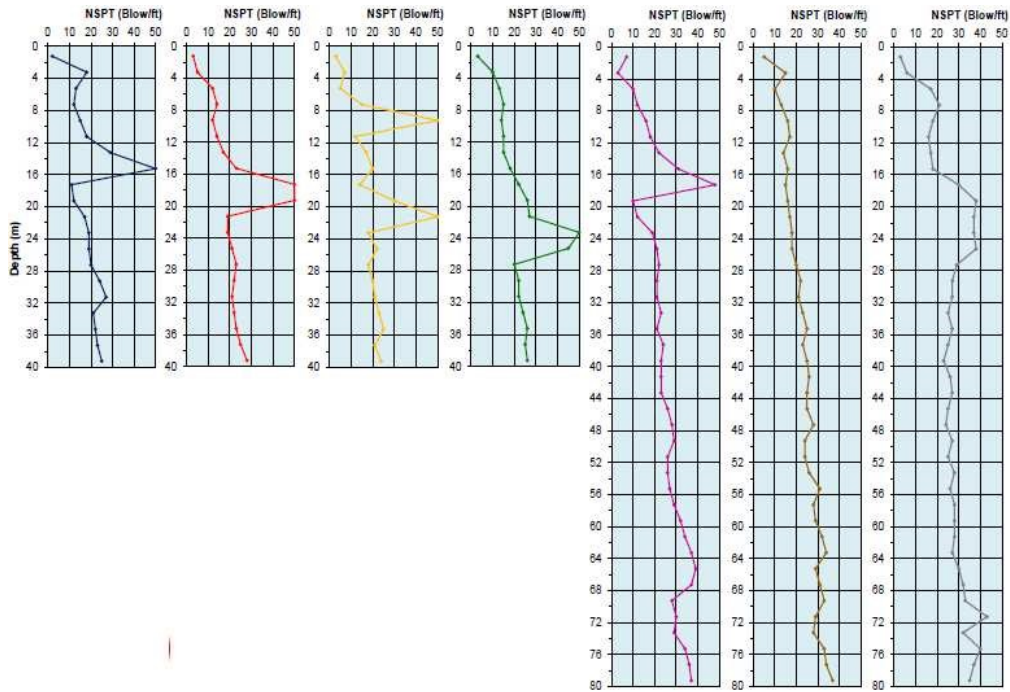
Penulis yang bernama lengkap Diananda Eska Pratiwi ini dilahirkan di Bojonegoro pada tanggal 9 April 1997. Penulis telah menempuh pendidikan formal di SD Negeri Sukorejo 1, SMP Negeri 1 Bojonegoro, dan SMA Negeri 1 Bojonegoro. Setelah lulus dari SMA, penulis kemudian melanjutkan pendidikan program sarjana (S1) di Departemen Teknik Sipil ITS pada tahun 2015 melalui jalur SNMPTN Undangan dan terdaftar dengan NRP

03111540000007. Penulis mengambil judul Tugas Akhir “Modifikasi Perancangan Gedung Skyuites SOHO Surabaya dengan *Base Isolator : High Damping Rubber Bearing (HDRB)* dan Peta Gempa Tahun 2017”

Email : dianandaaa@gmail.com

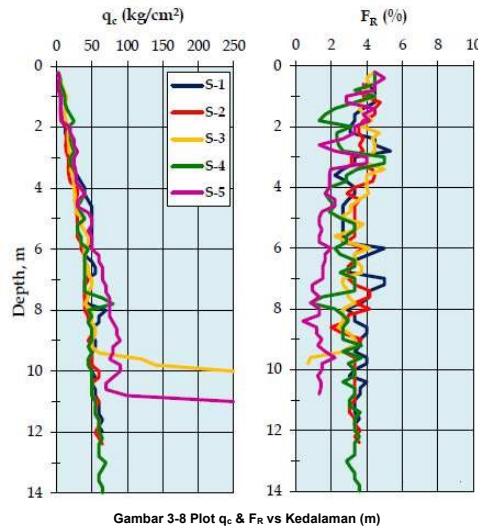
LAMPIRAN 1
DATA TANAH

| REV | DATE | CONTRACT NO. : | PAGE |
|-----|------------|--------------------------|------|
| 03 | 24-03-2016 | 109/SPK/PPPProp/GSL/0315 | 11 |



Gambar 3-7 Plot N-SPT vs Kedalaman (m)

Hasil sondir untuk setiap titik dipaparkan dalam gambar berikut ini.

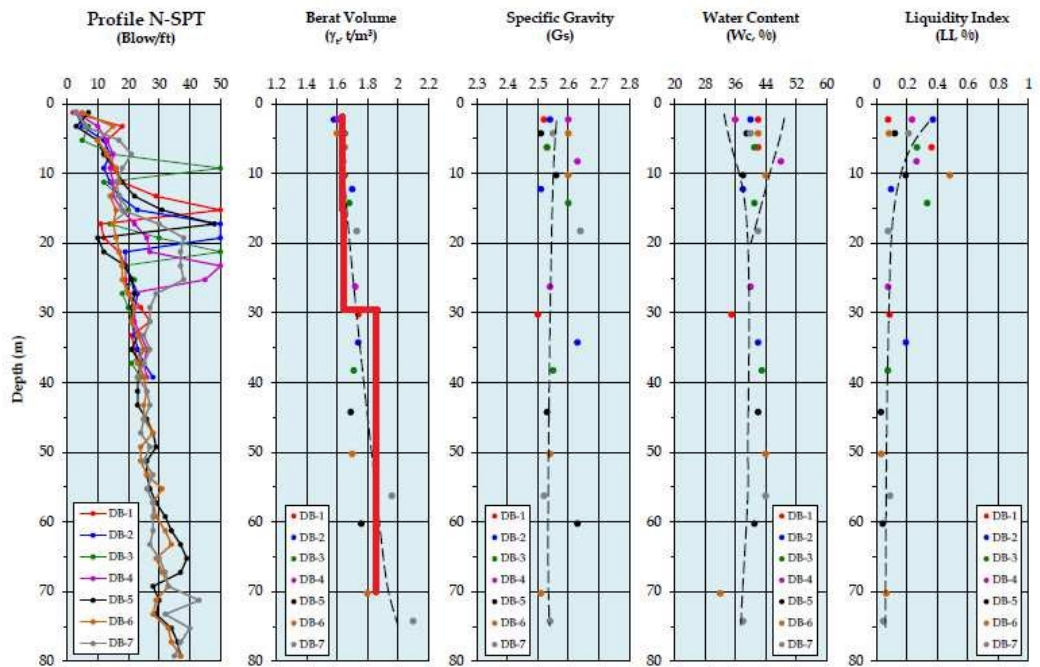


Gambar 3-8 Plot q_c & F_R vs Kedalaman (m)

3.5.1 Hasil Uji Laboratorium

Hasil uji laboratorium terdiri dari parameter fisik, parameter kuat geser tanah dan parameter Kemampatan tanah. Berikut adalah hasil plot parameter fisik tanah terhadap kedalaman untuk setiap titik Bor.

| REV | DATE | CONTRACT NO. : | PAGE |
|-----|------------|--------------------------|------|
| 03 | 24-03-2016 | 109/SPK/PPPProp/GSL/0315 | 13 |



Gambar 3-9 Plot Parameter Fisis Tanah vs Kedalaman (m)

| | | |
|---|---|--|
|  | FINAL REPORT ANALISIS GEOTEKNIK GEDUNG CASPIAN TOWER SURABAYA |  |
| REV 03 | DATE 24-03-2016 | CONTRACT NO.: 109/SPK/PPPProp/GSL/0315 |

3.7 Normally Consolidated dan Over Consolidated

Kondisi normally consolidated merupakan kondisi dimana tegangan efektif yang bekerja pada suatu titik di dalam tanah pada waktu sekarang merupakan tegangan maksimumnya (atau tanah yang tidak pernah mengalami tekanan yang lebih besar dari tekanan pada waktu sekarang), atau dengan kata lain tekanan prakonsolidasi sama dengan tekanan overburden efektif. Sedangkan tanah pada kondisi overconsolidated ratio adalah kondisi dimana tanah pada lapisan bawah pernah menerima beban yang lebih besar dari sekarang (tekanan prakonsolidasi lebih besar dari tekanan overburden efektif yang ada pada sekarang).

Nilai banding overconsolidation (OCR) didefinisikan sebagai perbandingan tekanan prakonsolidasi terhadap tegangan efektif yang ada, atau :

$$OCR = \frac{P_c}{P_{0f}}$$

Dimana :

P_c = tekanan prakonsolidasi

P_{0f} = tekanan overburden efektif

Berdasarkan riwayat pembebanannya, kondisi tanah dibedakan menjadi :

Normally consolidated, dimana OCR = 1

Over consolidated, dimana OCR > 1

Under consolidated, dimana OCR < 1

Dari hasil laboratorium, besarnya nilai OCR untuk lapisan tanah lempung pada setiap titik bor dalam terlihat pada Tabel 3-1.

| | | |
|--------------------|---|--|
| PT.LAPI ITB | FINAL REPORT ANALISIS GEOTEKNIK GEDUNG CASPIAN TOWER SURABAYA | PP PROPERTI |
| REV 03 | DATE 24-03-2016 | CONTRACT NO.: 109/SPK/PPP Prop/GSL/0315 |

Tabel 3-1 Nilai OCR pada Tiap Titik Bor Dalam

| Titik Pengujian | P_c (Tekanan Prakonsolidasi) | $P_{v'}$ (Tekanan overburden efektif) | OCR (Over consolidation Ratio) |
|-----------------|--------------------------------|---------------------------------------|--------------------------------|
| DB- 1 | 4.10 | 5.10 | 0.80 |
| DB-2 | 5.60 | 5.84 | 0.96 |
| DB-3 | 5.90 | 6.49 | 0.91 |
| DB-4 | 4.55 | 4.13 | 1.10 |
| DB-5 | 7.92 | 10.23 | 0.77 |
| DB-6 | 9.00 | 12.03 | 0.75 |
| DB-7 | 7.95 | 12.05 | 0.66 |

Berikut adalah rekomendasi parameter tanah berdasarkan hasil korelasi data SPT.

| No. | Deskripsi | Depth (m) | y^d [kN/m ²] | y^n [kN/m ²] | Undrained Condition | | | Drained Condition | | | | |
|-----|------------------------------------|-----------|-------------------------------|-------------------------------|---------------------|-----------------|----------------|-------------------|---------------|----------------|-------|------|
| | | | | | c_u [kPa] | ϕ_u ["] | E_u [kPa] | u_u [kPa] | c' [kPa] | ϕ' ["] | | |
| 1 | Silty Clay, very soft; N-SPT 5 | 2 | 15 | 16 | 12 | 0 | 2400 | 0.35 | 1 | 22 | 2000 | 0.3 |
| 2 | Silty Clay, med to stiff; N-SPT 14 | 15 | 16 | 17 | 84 | 1 | 25200 | 0.35 | 6 | 25 | 21000 | 0.3 |
| 3 | Silty Clay, med; N-SPT 17 | 26 | 17 | 18 | 102 | 1 | 35700 | 0.3 | 15 | 23 | 28000 | 0.25 |
| 4 | Silty clay, stiff N-SPT 24 | 54 | 16 | 18 | 144 | 1 | 43200 | 0.35 | 38 | 32 | 34000 | 0.3 |

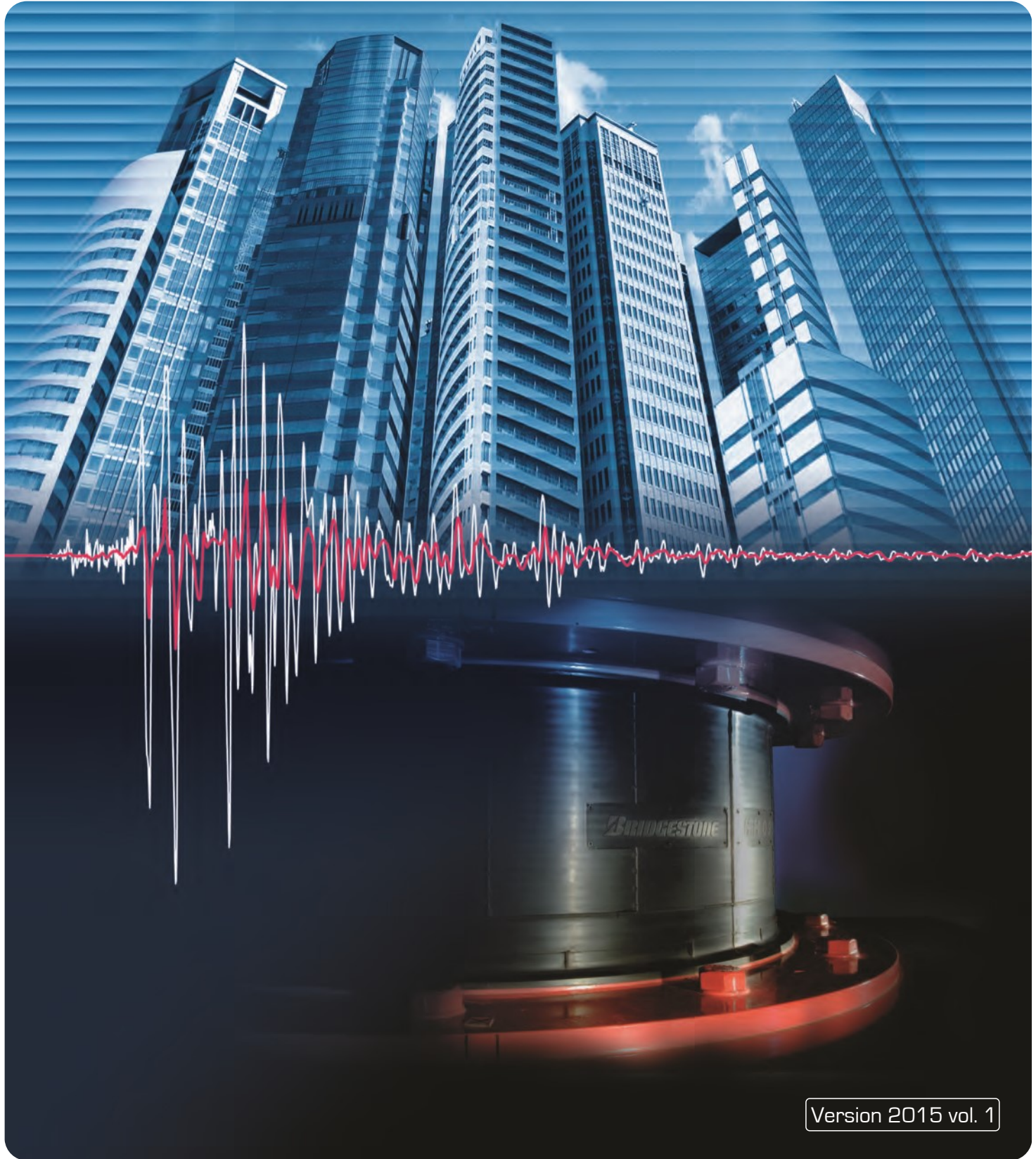
LAMPIRAN 2
BROSUR SPESIFIKASI PRODUK HDRB



Seismic Isolation Product Line-up

High Damping Rubber Bearing Lead Rubber Bearing

Natural Rubber Bearing Elastic Sliding Bearing

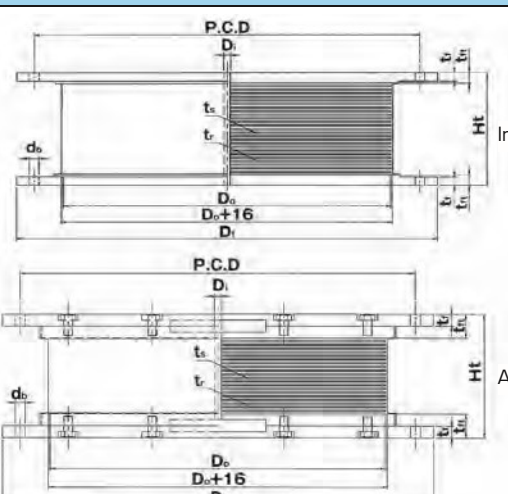


Product Specification & Description of Performance Characteristics

High Damping Rubber Bearing (HDR)

Seismic isolation material certification number by Ministry of Land, Infrastructure and Transport, Japan
MVBR-0516 (X0.3R Series) Acquired in December 2014
MVBR-0510/MVBR-0519 (X0.4S Series) Acquired in December 2014
MVBR-0514/MVBR-0520 (X0.6R Series) Acquired in December 2014

● Product Dimension

| Characteristics | | Sectional View |
|---------------------|--|---|
| Physical Dimensions | Outer diameter | : D_o [mm] |
| | Inner diameter | : D_i [mm] |
| | Number of inner diameter | : n |
| | Effective plane area | : $A (\times 10^2 \text{mm}^2)$ |
| | Thickness of one rubber layer | : t_r [mm] |
| | Number of rubber layers | : n |
| | Total rubber thickness | : $H = n \cdot t_r$ [mm] |
| | First shape factor $S_1 = (D_o^2 - n \cdot D_i^2) / (4 \cdot t_r \cdot (D_o + n \cdot D_i))$ | |
| | Second shape factor $S_2 = D_o / (n \cdot t_r)$ | |
| | Diameter of flange | : D_f [mm] |
| | Thickness of flange: edge/center | : t_e / t_c [mm] |
| | Connecting bolt PCD | : PCD [mm] |
| | Diameter of connecting bolt hole × qty | : d_b [mm] × qty |
| | Bolt size (assumption) | : M ($d_b - 3$) |
| | Thickness of each reinforced steel plate | : t_s [mm] |
| | Total height | : H_t [mm] |
| | Total weight 1 (kN) = 1 / 9.80665 (tonf) | |
| | |  |

● Rubber Material

Notation of rubber kind [standard temperature 20°C standard strain $\gamma = 100\%$]

| Compound name | Rubber code | Shear modulus G_{eq} [N/mm ²] | Equivalent damping ratio H_{eq} |
|---------------|-------------|---|-----------------------------------|
| X3R | X0.3R | 0.300 | 0.17 |
| X4S | X0.4S | 0.392 | 0.24 |
| X6R | X0.6R | 0.620 | 0.24 |

Composition of rubber materials (weight ratio %)

| Rubber code | Natural rubber Synthetic rubber | Filler, Reinforcement agent | Vulcanization agent and others |
|--------------|------------------------------------|-----------------------------|--------------------------------|
| Inner Rubber | X0.3R | 35 and above | 15 and above |
| | X0.4S | 35 and above | 20 and above |
| | X0.6R | 35 and above | 25 and above |
| Cover rubber | | 40 and above | 15 and above |
| | | | 40 and below |

Properties of rubber materials

| Item | Tensile strength [N/mm ²] | Elongation at Break (%) | Hardness (JIS A) | 100% modulus [N/mm ²] | Young's modulus E [N/mm ²] | Bulk modulus E _b [N/mm ²] | Correction factor for apparent Young's modulus according to hardness, k |
|---------------|---------------------------------------|-------------------------|------------------|-----------------------------------|--|--|---|
| Test Standard | JIS K6251 | JIS K6251 | JIS K6253 | JIS K6251 | — | — | — |
| Inner Rubber | X0.3R | 7 and above | 700 and above | 34 ± 8 | 0.53 ± 0.2 | 4.0 | 1150 |
| | X0.4S | 7 and above | 840 and above | 37 ± 8 | 0.43 ± 0.2 | 6.2 | 1300 |
| | X0.6R | 8.5 and above | 780 and above | 53 ± 5 | 0.73 ± 0.2 | 7.6 | 1500 |
| Cover rubber | 12 and above | 600 and above | — | — | | | |

● Steel Material

Steel material for each part

| Material | |
|--------------------------------|--------------------|
| Reinforced steel plate | SS400 (JIS G 3101) |
| Flange ^{*1*2} | SS400 (JIS G 3101) |
| Connecting plate ^{*1} | SS400 (JIS G 3101) |

*1: Optionally SM490A (JIS G 3106).

*2: Optionally special thickness other than standard thickness.

Anti-rust treatment of flange

| | |
|----------------------|---|
| Preparation | Remove rust up to blasting quality of SSPC-SP-10 (SIS Sa 2 1/2) |
| Primer | Zinc-rich paint 75μm × 1 coat |
| Middle coat | Epoxy resin paint 60μm × 1 coat |
| Finishing | Epoxy resin paint 35μm × 1 coat |
| Total film thickness | 170μm and above |

*1: Standard color is gray.

*2: Other kinds of anti-rust treatment are also available. Please contact us for more details.

● Precautions

- For mid-storey isolation, fire resistant cover is necessary [according to JSSI provision, HS110X4S cannot apply any fire resistant cover]. Please contact fire resistant cover manufacturer who are listed in the JSSI manufacturer list for more details. [http://www.jssi.or.jp/bussiness/kigyou_detail/to-si-base.htm]
- There are two certification numbers for X0.4S, X0.6R due to difference of some manufacturing process. Although their properties values are the same, please fill the certification number as shown in the table on the right in the design documents.

| | Rubber size Ø1000 and below | Rubber size Ø1100 and above |
|-------|-----------------------------|-----------------------------|
| X0.4S | Both MVBR-0510/MVBR-0519 | MVBR-0510 only |
| X0.6R | Both MVBR-0514/MVBR-0520 | MVBR-0514 only |

Product Specification

(Please contact us if you require more information regarding the specification)

High Damping Rubber Bearing (HDR)

Certification Number MVBR-0516 (X0.3R)

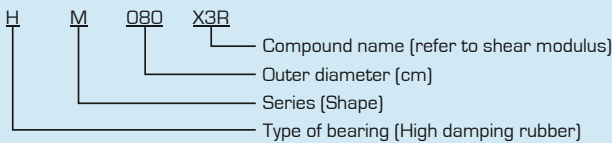
●HM Series (Total Rubber Thickness 16cm)

| | | Code | | | |
|---------------------------------------|--|--|-------------------------|------------------------------------|--------------------------|
| | | Compound name | Rubber code | Shear modulus [N/mm ²] | Equivalent damping ratio |
| | | X3R | X0.3R | 0.300 | 0.170 |
| Physical Dimensions | | HM060X3R | HM070X3R | | HM080X3R |
| | | Outer diameter [mm] | 600 | | 700 |
| | | Inner diameter [mm] | 15 | | 20 |
| | | Effective plane area ($\times 10^2$ mm ²) | 2826 | | 3847 |
| | | Thickness of one rubber layer [mm] | 5.0 | | 6.8 |
| | | Number of rubber layers [-] | 32 | | 27 |
| | | Total rubber thickness [mm] | 160.0 | | 156.4 |
| | | First shape factor [-] | 29.3 | | 28.7 |
| | | Second shape factor [-] | 3.75 | | 5.12 |
| | | Diameter of flange [mm] | 800 | | 900 |
| | | Thickness of flange ^{*1} [mm] | 19 | | 19 |
| | | Connecting bolt PCD [mm] | 825 | | 925 |
| | | Diameter of connecting bolt hole x qty [mm] | $\emptyset 33 \times 8$ | | $\emptyset 33 \times 8$ |
| | | Bolt size (assumption) [-] | M30 | | M30 |
| | | Thickness of each reinforced steel plate [mm] | 3.1 | | 3.1 |
| Compression Properties | | Total height [mm] | 294.1 | | 277.9 |
| | | Total weight [tonf] | 0.44 | | 0.54 |
| | | Total weight [kN] | 4.4 | | 5.3 |
| | | Critical stress [N/mm ²] σ_{cr} when $\gamma = 0$ | 28 | | 40 |
| | | Ultimate compressive stress [N/mm ²] [γ_0, σ_0] | [0.00,28] | | [0.00,40] |
| | | | [0.20,28] | | [0.65,34] |
| | | | [3.38,3] | | [4.00,12] |
| Shear Properties ($\gamma = 100\%$) | | Compressive stiffness [$\times 10^3$ kN/m] | 1740 | | 2370 |
| | | Nominal long term compressive stress ^{*2} [N/mm ²] | 5.0 | | 5.0 |
| | | Nominal long term column load [kN] | 1410 | | 1920 |
| | | Allowable tensile stress [N/mm ²] | 1.0 | | 1.0 |
| | | Initial stiffness [$\times 10^3$ kN/m] | 3.82 | | 6.95 |
| | | Post yield stiffness [$\times 10^3$ kN/m] | 0.382 | | 0.695 |
| | | Characteristic Strength [kN] | 23.7 | | 42.0 |
| | | Equivalent shear stiffness [$\times 10^3$ kN/m] | 0.530 | | 0.964 |
| | | Equivalent damping ratio [-] | 0.170 | | 0.170 |

*1 Special thickness for flange is available. Please contact us for more details.

*2 Nominal long term compressive stress is referred as long term upper limit of compressive stress.

Description of the product designation



Certification Number MVBR-0516 (X0.3R)

●HN Series (Total Rubber Thickness 20cm)

| | | Code | | |
|---------------------------------------|--|---------------------------------|--------------|-----------------------|
| | | Compound name | Rubber code | Shear modulus [N/mm²] |
| | | X3R | X0.3R | 0.300 |
| Characteristics | | HN060X3R | HN070X3R | HN080X3R |
| Physical Dimensions | Outer diameter [mm] | 600 | 700 | 800 |
| | Inner diameter [mm] | 15 | 15 | 20 |
| | Effective plane area ($\times 10^2$ mm²) | 2826 | 3847 | 5023 |
| | Thickness of one rubber layer [mm] | 5.0 | 5.9 | 6.8 |
| | Number of rubber layers [-] | 40 | 34 | 29 |
| | Total rubber thickness [mm] | 200.0 | 200.6 | 197.2 |
| | First shape factor [-] | 29.3 | 29.0 | 28.7 |
| | Second shape factor [-] | 3.00 | 3.49 | 4.06 |
| | Diameter of flange [mm] | 800 | 900 | 1000 |
| | Thickness of flange*1 [mm] | 19 | 19 | 19 |
| | Connecting bolt PCD [mm] | 825 | 925 | 1025 |
| | Diameter of connecting bolt hole x qty [mm] | Ø 33 × 8 | Ø 33 × 8 | Ø 33 × 8 |
| | Bolt size (assumption) [-] | M30 | M30 | M30 |
| | Thickness of each reinforced steel plate [mm] | 3.1 | 3.1 | 3.1 |
| Compression Properties | Total height [mm] | 358.9 | 340.9 | 322.0 |
| | Total weight [tonf] | 0.51 | 0.62 | 0.74 |
| | Total weight [kN] | 5.0 | 6.1 | 7.2 |
| | Critical stress [N/mm²] | σ_{cr} when $\gamma = 0$ | 19 | 25 |
| | | (γ_0 , σ_0) | [0.00, 19] | [0.00, 25] |
| | Ultimate compressive stress [N/mm²] | (γ_1 , σ_1) | - | [0.03, 25] |
| | | (γ_2 , σ_2) | [2.7, 0.2] | [3.14, 3] |
| Shear Properties ($\gamma = 100\%$) | Compressive stiffness [$\times 10^3$ kN/m] | 1390 | 1880 | 2490 |
| | Nominal long term compressive stress*2 [N/mm²] | 5.0 | 5.0 | 5.0 |
| | Nominal long term column load [kN] | 1410 | 1920 | 2510 |
| | Allowable tensile stress [N/mm²] | 1.0 | 1.0 | 1.0 |
| | Initial stiffness [$\times 10^3$ kN/m] | 3.06 | 4.15 | 5.51 |
| | Post yield stiffness [$\times 10^3$ kN/m] | 0.306 | 0.415 | 0.551 |
| | Characteristic Strength [kN] | 23.7 | 32.2 | 42.0 |
| | Equivalent shear stiffness [$\times 10^3$ kN/m] | 0.424 | 0.575 | 0.764 |
| | Equivalent damping ratio [-] | 0.170 | 0.170 | 0.170 |

*1 Special thickness for flange is available. Please contact us for more details.

*2 Nominal long term compressive stress is referred as long term upper limit of compressive stress.

High Damping Rubber Bearing (HDR)

MVBR-0510/MVBR-0519 (X0.4S)

Note: There are 2 certification numbers due to difference of some manufacturing process.
Please refer to "Precautions" in page 6 for the certificate number that used for design document.

●HH Series (Total Rubber Thickness 20cm)

| | | Code | | | | | | | | | | | | | | | | |
|---------------------------------------|---|---------------------------------|-------------|-----------------------|----------|--------------------------|----------|----------|----------|----------|----------|----------|----------|----------|----------|----------|----------|--|
| | | Compound name | Rubber code | Shear modulus [N/mm²] | | Equivalent damping ratio | | | | | | | | | | | | |
| | | X4S | X0.4S | 0.392 | | 0.240 | | | | | | | | | | | | |
| Physical Dimensions | Characteristics | | HH060X4S | HH065X4S | HH070X4S | HH075X4S | HH080X4S | HH085X4S | HH090X4S | HH095X4S | HH100X4S | HH110X4S | HH120X4S | HH130X4S | HH140X4S | HH150X4S | HH160X4S | |
| | Outer diameter [mm] | 600 | 650 | 700 | 750 | 800 | 850 | 900 | 950 | 1000 | 1100 | 1200 | 1300 | 1400 | 1500 | 1600 | | |
| | Inner diameter [mm] | 15 | 15 | 15 | 15 | 20 | 20 | 20 | 25 | 55 | 55 | 55 | 65 | 65 | 80 | | | |
| | Effective plane area [$\times 10^2$ mm²] | 2826 | 3317 | 3847 | 4416 | 5023 | 5671 | 6359 | 7085 | 7849 | 9480 | 11286 | 13249 | 15361 | 17638 | 20056 | | |
| | Thickness of one rubber layer [mm] | 4.0 | 4.4 | 4.7 | 5.0 | 5.4 | 5.7 | 6.0 | 6.4 | 6.7 | 7.4 | 8.0 | 8.7 | 9.5 | 10.0 | 10.4 | | |
| | Number of rubber layers [-] | 50 | 45 | 43 | 40 | 37 | 35 | 33 | 31 | 30 | 27 | 25 | 23 | 21 | 20 | 19 | | |
| | Total rubber thickness [mm] | 200 | 198 | 202 | 200 | 200 | 200 | 198 | 198 | 201 | 200 | 200 | 200 | 200 | 200 | 198 | | |
| | First shape factor [-] | 36.6 | 36.1 | 36.4 | 36.8 | 36.1 | 36.4 | 36.7 | 36.3 | 36.4 | 35.3 | 35.8 | 35.8 | 35.1 | 35.9 | 36.5 | | |
| | Second shape factor [-] | 3.00 | 3.28 | 3.46 | 3.75 | 4.00 | 4.26 | 4.55 | 4.79 | 4.98 | 5.51 | 6.00 | 6.50 | 7.02 | 7.50 | 8.10 | | |
| | Diameter of flange [mm] | 900 | 950 | 1000 | 1100 | 1150 | 1200 | 1250 | 1300 | 1400 | 1500 | 1600 | 1700 | 1800 | 1900 | 2000 | | |
| | Thickness of flange ^{x1} (edge/center) [mm] | 22/28 | 22/28 | 22/28 | 22/28 | 24/32 | 24/32 | 28/36 | 28/36 | 28/36 | 30/38 | 32/40 | 32/40 | 37/45 | 42/50 | 50/110 | | |
| | Connecting bolt PCD [mm] | 775 | 825 | 875 | 950 | 1000 | 1050 | 1100 | 1150 | 1250 | 1350 | 1450 | 1550 | 1650 | 1750 | 1800 | | |
| | Diameter of connecting bolt hole x qty [mm] | Ø33×12 | Ø33×12 | Ø33×12 | Ø33×12 | Ø33×12 | Ø33×12 | Ø33×12 | Ø33×12 | Ø33×12 | Ø39×12 | Ø39×12 | Ø39×12 | Ø42×12 | Ø42×16 | Ø45×12 | | |
| | Bolt size (assumption) [-] | M30 | M30 | M30 | M30 | M30 | M30 | M30 | M30 | M36 | M36 | M36 | M36 | M39 | M39 | M42 | | |
| | Thickness of each reinforced steel plate [mm] | 3.1 | 3.1 | 3.1 | 3.1 | 4.4 | 4.4 | 4.4 | 4.4 | 4.4 | 4.4 | 4.4 | 4.4 | 5.8 | 5.8 | 5.8 | | |
| | Total height [mm] | 407.9 | 390.4 | 388.3 | 376.9 | 422.2 | 413.1 | 410.8 | 402.4 | 400.6 | 390.2 | 385.6 | 376.9 | 405.5 | 410.2 | 522.0 | | |
| | Total weight [tonf] | 0.66 | 0.72 | 0.80 | 0.90 | 1.21 | 1.31 | 1.49 | 1.59 | 1.77 | 2.05 | 2.38 | 2.65 | 3.46 | 4.05 | 6.64 | | |
| | Total weight [kN] | 6.5 | 7.0 | 7.9 | 8.9 | 11.9 | 12.9 | 14.6 | 15.6 | 17.3 | 20.1 | 23.3 | 26.0 | 33.9 | 39.7 | 65.1 | | |
| Compression Properties | Critical stress [N/mm²] | σ_{cr} when $\gamma = 0$ | 26 | 29 | 31 | 35 | 38 | 41 | 45 | 48 | 51 | 56 | 61 | 66 | 71 | 76 | 82 | |
| | Ultimate compressive stress [N/mm²] | (γ_0, σ_0) | [0,20] | [0,23] | [0,25] | [0,28] | [0,35] | [0,38] | [0,40] | [0,43] | [0,45] | [0,45] | [0,45] | [0,45] | [0,45] | [0,45] | | |
| | | (γ_1, σ_1) | [0,7,20] | [0,7,23] | [0,8,25] | [0,8,28] | [0,3,35] | [0,4,38] | [0,4,40] | [0,5,43] | [0,5,45] | [1,1,45] | [1,6,45] | [2,1,45] | [2,6,45] | [3,1,45] | [3,7,45] | |
| | | (γ_2, σ_2) | [2,7,3] | [3,0,3] | [3,1,3] | [3,4,3] | [3,6,4] | [3,8,4] | [3,9,6] | [4,0,8] | [4,0,10] | [4,0,15] | [4,0,20] | [4,0,25] | [4,0,31] | [4,0,36] | [4,0,42] | |
| | Compressive stiffness [$\times 10^3$ kN/m] | 1700 | 2020 | 2290 | 2660 | 3030 | 3420 | 3870 | 4300 | 4700 | 5690 | 6780 | 7960 | 9230 | 10600 | 12200 | | |
| | Nominal long term compressive stress ^{x2} [N/mm²] | 4.6 | 5.5 | 6.1 | 7.0 | 9.4 | 10.4 | 11.5 | 12.4 | 13.0 | 13.0 | 13.0 | 13.0 | 13.0 | 13.0 | 13.0 | | |
| | Nominal long term column load [kN] | 1300 | 1830 | 2340 | 3090 | 4710 | 5880 | 7280 | 8780 | 10200 | 12300 | 14700 | 17200 | 20000 | 22900 | 26100 | | |
| | Allowable tensile stress [N/mm²] ($\gamma = 100\%$) | 1.0 | 1.0 | 1.0 | 1.0 | 1.0 | 1.0 | 1.0 | 1.0 | 1.0 | 1.0 | 1.0 | 1.0 | 1.0 | 1.0 | 1.0 | | |
| Shear Properties ($\gamma = 100\%$) | Initial stiffness [$\times 10^3$ kN/m] | 3.28 | 3.89 | 4.42 | 5.12 | 5.83 | 6.60 | 7.45 | 8.29 | 9.06 | 11.0 | 13.1 | 15.4 | 17.9 | 20.5 | 23.6 | | |
| | Post yield stiffness ($\gamma = 100\%$) [$\times 10^3$ kN/m] | 0.328 | 0.389 | 0.442 | 0.512 | 0.583 | 0.660 | 0.745 | 0.829 | 0.906 | 1.10 | 1.31 | 1.54 | 1.79 | 2.05 | 2.36 | | |
| | Characteristic Strength [kN] | 45.2 | 56.0 | 61.5 | 70.6 | 80.3 | 90.7 | 102 | 113 | 126 | 152 | 181 | 212 | 246 | 282 | 321 | | |
| | Equivalent shear stiffness [$\times 10^3$ kN/m] | 0.554 | 0.657 | 0.746 | 0.866 | 0.986 | 1.11 | 1.26 | 1.40 | 1.53 | 1.86 | 2.21 | 2.60 | 3.02 | 3.46 | 3.98 | | |
| | Equivalent damping ratio [-] | 0.240 | 0.240 | 0.240 | 0.240 | 0.240 | 0.240 | 0.240 | 0.240 | 0.240 | 0.240 | 0.240 | 0.240 | 0.240 | 0.240 | 0.240 | | |

*1 Special thickness for flange is available. Please refer to the table on the next page (upper top table) for more details.

*2 Nominal long term compressive stress is referred as long term upper limit of compressive stress.

Specification of flange [edge thickness / center thickness]

| | | | | | | | | | | | | |
|--|---------|---------|-------|-------|-------|-------|-------|-------|-------|-------|-------|-------|
| Outer diameter of rubber bearing (\varnothing) ^{*1} | [600] | [650] | 700 | 750 | 800 | 850 | 900 | 950 | 1000 | 1100 | 1200 | 1300 |
| Standard thickness | 22/28 | 22/28 | 22/28 | 22/28 | 24/32 | 24/32 | 28/36 | 28/36 | 28/36 | 30/38 | 32/40 | 32/40 |
| Special thickness (option) | [26/32] | [26/32] | 26/32 | 30/36 | 32/40 | 32/40 | 37/45 | 37/45 | 42/50 | 42/50 | 42/50 | 42/50 |

^{*1} For adoption of special thickness in regard to those sizes that stated in the [], delivery time will be longer due to mold preparation.^{*2} For $\varnothing 1400$ and above, assembled type flange will be used.^{*3} Compared to the standard specification, total height & weight of product for special thickness will be changed.

MVBR-0514/MVBR-0520 (X0.6R)

Note: There are 2 certification numbers due to difference of some manufacturing process.
Please refer to "Precautions" in page 6 for the certificate number that used for design document.

●HH Series (Total Rubber Thickness 20cm)

| | | Code | | | | | | | | | | | | | | | |
|---------------------------------------|---|-----------------------------------|----------------------------|------------------------------------|----------------------------|----------------------------|----------------------------|----------------------------|----------------------------|----------------------------|----------------------------|----------------------------|----------------------------|----------------------------|----------------------------|----------------------------|-------|
| | | Compound name | Rubber code | Shear modulus [N/mm ²] | | Equivalent damping ratio | | | | | | | | | | | |
| | | X6R | X0.6R | 0.620 | | 0.240 | | | | | | | | | | | |
| Characteristics | | HH060X6R | HH065X6R | HH070X6R | HH075X6R | HH080X6R | HH085X6R | HH090X6R | HH095X6R | HH100X6R | HH110X6R | HH120X6R | HH130X6R | HH140X6R | HH150X6R | HH160X6R | |
| Physical Dimensions | Outer diameter | [mm] | 600 | 650 | 700 | 750 | 800 | 850 | 900 | 950 | 1000 | 1100 | 1200 | 1300 | 1400 | 1500 | 1600 |
| | Inner diameter | [mm] | 15 | 15 | 15 | 15 | 20 | 20 | 20 | 25 | 55 | 55 | 55 | 65 | 65 | 80 | |
| | Effective plane area | [$\times 10^2$ mm ²] | 2826 | 3317 | 3847 | 4416 | 5023 | 5671 | 6359 | 7085 | 7849 | 9480 | 11286 | 13249 | 15361 | 17638 | 20056 |
| | Thickness of one rubber layer | [mm] | 4.0 | 4.4 | 4.7 | 5.0 | 5.4 | 5.7 | 6.0 | 6.4 | 6.7 | 7.4 | 8.0 | 8.7 | 9.5 | 10.0 | 10.4 |
| | Number of rubber layers | [–] | 50 | 45 | 43 | 40 | 37 | 35 | 33 | 31 | 30 | 27 | 25 | 23 | 21 | 20 | 19 |
| | Total rubber thickness | [mm] | 200 | 198 | 202 | 200 | 200 | 200 | 198 | 198 | 201 | 200 | 200 | 200 | 200 | 200 | 198 |
| | First shape factor | [–] | 36.6 | 36.1 | 36.4 | 36.8 | 36.1 | 36.4 | 36.7 | 36.3 | 36.4 | 35.3 | 35.8 | 35.1 | 35.9 | 36.5 | |
| | Second shape factor | [–] | 3.00 | 3.28 | 3.46 | 3.75 | 4.00 | 4.26 | 4.55 | 4.79 | 4.98 | 5.51 | 6.00 | 6.50 | 7.02 | 7.50 | 8.10 |
| | Diameter of flange | [mm] | 900 | 950 | 1000 | 1100 | 1150 | 1200 | 1250 | 1300 | 1400 | 1500 | 1600 | 1700 | 1800 | 1900 | 2000 |
| | Thickness of flange ^{*1} (edge/center) | [mm] | 22/28 | 22/28 | 22/28 | 22/28 | 24/32 | 24/32 | 28/36 | 28/36 | 30/38 | 32/40 | 32/40 | 37/45 | 42/50 | 50/110 | |
| | Connecting bolt PCD | [mm] | 775 | 825 | 875 | 950 | 1000 | 1050 | 1100 | 1150 | 1250 | 1350 | 1450 | 1550 | 1650 | 1750 | 1800 |
| | Diameter of connecting bolt hole x qty | [mm] | $\varnothing 33 \times 12$ | $\varnothing 33 \times 12$ | $\varnothing 33 \times 12$ | $\varnothing 33 \times 12$ | $\varnothing 33 \times 12$ | $\varnothing 33 \times 12$ | $\varnothing 33 \times 12$ | $\varnothing 39 \times 12$ | $\varnothing 42 \times 12$ | $\varnothing 42 \times 16$ | $\varnothing 45 \times 12$ | |
| | Bolt size (assumption) | [–] | M30 | M30 | M30 | M30 | M30 | M30 | M30 | M36 | M36 | M36 | M36 | M39 | M39 | M42 | |
| | Thickness of each reinforced steel plate | [mm] | 3.1 | 3.1 | 3.1 | 3.1 | 4.4 | 4.4 | 4.4 | 4.4 | 4.4 | 4.4 | 4.4 | 4.4 | 5.8 | 5.8 | 5.8 |
| | Total height | [mm] | 407.9 | 390.4 | 388.3 | 376.9 | 422.2 | 413.1 | 410.8 | 402.4 | 400.6 | 390.2 | 385.6 | 376.9 | 405.5 | 410.2 | 522.0 |
| | Total weight | [tonf] | 0.66 | 0.72 | 0.80 | 0.90 | 1.21 | 1.31 | 1.49 | 1.59 | 1.77 | 2.05 | 2.38 | 2.65 | 3.46 | 4.05 | 6.64 |
| | Total weight | [kN] | 6.5 | 7.0 | 7.9 | 8.9 | 11.9 | 12.9 | 14.6 | 15.6 | 17.3 | 20.1 | 23.3 | 26.0 | 33.9 | 39.7 | 65.1 |
| Compression Properties | Critical stress [N/mm ²] | σ_{cr} when $\gamma = 0$ | 43 | 52 | 58 | 69 | 78 | 89 | 102 | 113 | 122 | 136 | 148 | 160 | 173 | 185 | 200 |
| | (γ_0, σ_0) | | [0.22] | [0.30] | [0.35] | [0.42] | [0.48] | [0.52] | [0.56] | [0.59] | [0.60] | [0.60] | [0.60] | [0.60] | [0.60] | [0.60] | |
| | (γ_1, σ_1) | | [1.5,22] | [1.4,30] | [1.4,35] | [1.5,42] | [1.6,48] | [1.8,52] | [2.1,56] | [2.3,59] | [2.5,60] | [3.1,60] | [3.6,60] | [3.8,60] | [3.8,60] | [3.9,60] | |
| | (γ_2, σ_2) | | [2.7,4] | [3.0,5] | [3.1,6] | [3.4,7] | [3.4,11] | [3.5,17] | [3.5,23] | [3.6,29] | [3.6,34] | [3.7,46] | [3.7,56] | – | – | – | |
| | Compressive stiffness | [$\times 10^3$ kN/m] | 1970 | 2340 | 2660 | 3090 | 3510 | 3970 | 4490 | 4980 | 5450 | 6590 | 7860 | 9220 | 10700 | 12300 | 14200 |
| | Nominal long term compressive stress [N/mm ²] | | 6.6 | 8.1 | 9.1 | 10.7 | 12.0 | 13.4 | 15.0 | 15.0 | 15.0 | 15.0 | 15.0 | 15.0 | 15.0 | 15.0 | |
| | Nominal long term column load [kN] | | 1860 | 2690 | 3500 | 4710 | 6050 | 7620 | 9540 | 10600 | 11800 | 14200 | 16900 | 19900 | 23000 | 26500 | 30100 |
| Shear Properties [$\gamma = 100\%$] | Allowable tensile stress [N/mm ²] ($\gamma = 100\%$) | | 1.0 | 1.0 | 1.0 | 1.0 | 1.0 | 1.0 | 1.0 | 1.0 | 1.0 | 1.0 | 1.0 | 1.0 | 1.0 | 1.0 | |
| | Initial stiffness [$\times 10^3$ kN/m] | | 5.19 | 6.15 | 6.99 | 8.10 | 9.23 | 10.4 | 11.8 | 13.1 | 14.3 | 17.4 | 20.7 | 24.3 | 28.3 | 32.4 | 37.3 |
| | Post yield stiffness [$\gamma = 100\%$] [$\times 10^3$ kN/m] | | 0.519 | 0.615 | 0.699 | 0.810 | 0.923 | 1.04 | 1.18 | 1.31 | 1.43 | 1.74 | 2.07 | 2.43 | 2.83 | 3.24 | 3.73 |
| | Characteristic Strength [kN] | | 71.5 | 83.9 | 97.3 | 112 | 127 | 143 | 161 | 179 | 199 | 240 | 285 | 335 | 389 | 446 | 507 |
| | Equivalent shear stiffness [$\times 10^3$ kN/m] | | 0.876 | 1.04 | 1.18 | 1.37 | 1.56 | 1.76 | 1.99 | 2.21 | 2.42 | 2.94 | 3.50 | 4.11 | 4.77 | 5.47 | 6.29 |
| | Equivalent damping ratio [–] | | 0.240 | 0.240 | 0.240 | 0.240 | 0.240 | 0.240 | 0.240 | 0.240 | 0.240 | 0.240 | 0.240 | 0.240 | 0.240 | 0.240 | |

^{*1} Special thickness for flange is available. Please refer to the table above for more details.

MVBR-0510/MVBR-0519 (X0.4S)

Note: There are 2 certification numbers due to difference of some manufacturing process.
Please refer to "Precautions" in page 6 for the certificate number that used for design document.

● HL Series (Total Rubber Thickness 16cm)

| | | Code | | | | | | | | | | | | |
|---------------------------------------|---|---------------------------------|-----------|-------------|-----------|-----------------------|-----------|--------------------------|-----------|-----------|-----------|-----------|-----------|----------|
| | | Compound name | | Rubber code | | Shear modulus [N/mm²] | | Equivalent damping ratio | | | | | | |
| | | X4S | | X0.4S | | 0.392 | | 0.240 | | | | | | |
| Characteristics | | | HL060X4S | HL065X4S | HL070X4S | HL075X4S | HL080X4S | HL085X4S | HL090X4S | HL095X4S | HL100X4S | HL110X4S | HL120X4S | HL130X4S |
| Physical Dimensions | Outer diameter [mm] | 600 | 650 | 700 | 750 | 800 | 850 | 900 | 950 | 1000 | 1100 | 1200 | 1300 | |
| | Inner diameter [mm] | 15 | 15 | 15 | 15 | 20 | 20 | 20 | 20 | 25 | 55 | 55 | 55 | |
| | Effective plane area [$\times 10^2$ mm²] | 2826 | 3317 | 3847 | 4416 | 5023 | 5671 | 6359 | 7085 | 7849 | 9480 | 11286 | 13249 | |
| | Thickness of one rubber layer [mm] | 3.95 | 4.4 | 4.9 | 4.85 | 5.1 | 5.25 | 5.65 | 6.00 | 6.35 | 7.2 | 7.7 | 8.0 | |
| | Number of rubber layers [-] | 41 | 37 | 34 | 34 | 33 | 32 | 30 | 28 | 26 | 23 | 22 | 21 | |
| | Total rubber thickness [mm] | 162 | 163 | 167 | 165 | 168 | 168 | 170 | 168 | 165 | 166 | 169 | 168 | |
| | First shape factor [-] | 37.0 | 36.1 | 34.9 | 37.9 | 38.2 | 39.5 | 38.9 | 38.8 | 38.4 | 36.3 | 37.2 | 38.9 | |
| | Second shape factor [-] | 3.70 | 3.99 | 4.20 | 4.55 | 4.75 | 5.06 | 5.31 | 5.65 | 6.06 | 6.64 | 7.08 | 7.74 | |
| | Diameter of flange [mm] | 900 | 950 | 1000 | 1100 | 1150 | 1200 | 1250 | 1300 | 1400 | 1500 | 1600 | 1700 | |
| | Thickness of flange (edge/center) [mm] | 22/28 | 22/28 | 22/28 | 22/28 | 24/32 | 24/32 | 28/36 | 28/36 | 28/36 | 30/38 | 32/40 | 32/40 | |
| | Connecting bolt PCD [mm] | 775 | 825 | 875 | 950 | 1000 | 1050 | 1100 | 1150 | 1250 | 1350 | 1450 | 1550 | |
| | Diameter of connecting bolt hole x qty [mm] | Ø 33 × 12 | Ø 33 × 12 | Ø 33 × 12 | Ø 33 × 12 | Ø 33 × 12 | Ø 33 × 12 | Ø 33 × 12 | Ø 33 × 12 | Ø 39 × 12 | |
| | Bolt size (assumption) [-] | M30 | M30 | M30 | M30 | M30 | M30 | M30 | M30 | M36 | M36 | M36 | M36 | |
| | Thickness of each reinforced steel plate [mm] | 3.1 | 3.1 | 3.1 | 3.1 | 4.4 | 4.4 | 4.4 | 4.4 | 4.4 | 4.4 | 4.4 | 5.8 | |
| | Total height [mm] | 342.0 | 330.4 | 324.9 | 323.2 | 373.1 | 368.4 | 369.1 | 358.8 | 347.1 | 338.4 | 341.8 | 364.0 | |
| | Total weight [tonf] | 0.58 | 0.64 | 0.70 | 0.82 | 1.12 | 1.23 | 1.40 | 1.49 | 1.63 | 1.88 | 2.22 | 2.80 | |
| | Total weight [kN] | 5.7 | 6.3 | 6.9 | 8.1 | 11.0 | 12.1 | 13.7 | 14.6 | 15.9 | 18.4 | 21.8 | 27.5 | |
| Compression Properties | Critical stress [N/mm²] | σ_{cr} when $\gamma = 0$ | 34 | 38 | 40 | 45 | 48 | 51 | 54 | 58 | 62 | 68 | 72 | 79 |
| | Ultimate compressive stress [N/mm²] | [γ_0 , σ_0] | [0.27] | [0.30] | [0.37] | [0.40] | [0.43] | [0.45] | [0.45] | [0.45] | [0.45] | [0.45] | [0.45] | [0.45] |
| | | [γ_1 , σ_1] | [0.8,27] | [0.8,30] | [0.3,37] | [0.4,40] | [0.5,43] | [0.6,45] | [0.9,45] | [1.2,45] | [1.6,45] | [2.2,45] | [2.7,45] | [3.3,45] |
| | | [γ_2 , σ_2] | [3.3,3] | [3.6,4] | [3.8,4] | [3.9,6] | [4.0,8] | [4.0,11] | [4.0,13] | [4.0,17] | [4.0,21] | [4.0,27] | [4.0,31] | [4.0,38] |
| | Compressive stiffness [$\times 10^3$ kN/m] | 2110 | 2450 | 2760 | 3240 | 3620 | 4110 | 4560 | 5120 | 5770 | 6890 | 8050 | 9590 | |
| | Nominal long term compressive stress ^{x1} [N/mm²] | 6.9 | 7.8 | 10.1 | 11.5 | 12.3 | 13.0 | 13.0 | 13.0 | 13.0 | 13.0 | 13.0 | 13.0 | |
| | Nominal long term column load [kN] | 1940 | 2580 | 3900 | 5060 | 6160 | 7370 | 8270 | 9210 | 10200 | 12300 | 14700 | 17200 | |
| | Allowable tensile stress [$\gamma = 100\%$] [N/mm²] | 1.0 | 1.0 | 1.0 | 1.0 | 1.0 | 1.0 | 1.0 | 1.0 | 1.0 | 1.0 | 1.0 | 1.0 | |
| Shear Properties ($\gamma = 100\%$) | Initial stiffness [$\times 10^3$ kN/m] | 4.05 | 4.73 | 5.36 | 6.21 | 6.93 | 7.83 | 8.71 | 9.79 | 11.0 | 13.3 | 15.5 | 18.3 | |
| | Post yield stiffness ($\gamma = 100\%$) [$\times 10^3$ kN/m] | 0.405 | 0.473 | 0.536 | 0.621 | 0.693 | 0.783 | 0.871 | 0.979 | 1.10 | 1.33 | 1.55 | 1.83 | |
| | Characteristic Strength [kN] | 45.2 | 53.0 | 61.5 | 70.6 | 80.3 | 90.7 | 102 | 113 | 126 | 152 | 181 | 212 | |
| | Equivalent shear stiffness [$\times 10^3$ kN/m] | 0.684 | 0.799 | 0.905 | 1.05 | 1.17 | 1.32 | 1.47 | 1.65 | 1.86 | 2.24 | 2.61 | 3.09 | |
| | Equivalent damping ratio [-] | 0.240 | 0.240 | 0.240 | 0.240 | 0.240 | 0.240 | 0.240 | 0.240 | 0.240 | 0.240 | 0.240 | 0.240 | |

*1 Nominal long term compressive stress is referred as long term upper limit of compressive stress.

MVBR-0514/MVBR-0520 (X0.6R)

Note: There are 2 certification numbers due to difference of some manufacturing process.
Please refer to "Precautions" in page 6 for the certificate number that used for design document.

● HL Series (Total Rubber Thickness 16cm)

| | | Code | | | | | | | | | | | |
|---------------------------------------|---|---------------------------------|-----------|-----------------------|-----------|--------------------------|-----------|-----------|-----------|-----------|-----------|-----------|----------|
| | | X6R | X0.6R | Shear modulus [N/mm²] | | Equivalent damping ratio | | | | | | | |
| | | | | | | | | | | | | | |
| Physical Dimensions | Characteristics | HL060X6R | HL065X6R | HL070X6R | HL075X6R | HL080X6R | HL085X6R | HL090X6R | HL100X6R | HL110X6R | HL120X6R | HL130X6R | |
| | Outer diameter [mm] | 600 | 650 | 700 | 750 | 800 | 850 | 900 | 1000 | 1100 | 1200 | 1300 | |
| | Inner diameter [mm] | 15 | 15 | 15 | 15 | 20 | 20 | 20 | 25 | 55 | 55 | 55 | |
| | Effective plane area [$\times 10^2$ mm²] | 2826 | 3317 | 3847 | 4416 | 5023 | 5671 | 6359 | 7849 | 9480 | 11286 | 13249 | |
| | Thickness of one rubber layer [mm] | 3.95 | 4.4 | 4.9 | 4.85 | 5.1 | 5.25 | 5.65 | 6.35 | 7.2 | 7.7 | 8.0 | |
| | Number of rubber layers [-] | 41 | 37 | 34 | 34 | 33 | 32 | 30 | 26 | 23 | 22 | 21 | |
| | Total rubber thickness [mm] | 162 | 163 | 167 | 165 | 168 | 168 | 170 | 165 | 166 | 169 | 168 | |
| | First shape factor [-] | 37.0 | 36.1 | 34.9 | 37.9 | 38.2 | 39.5 | 38.9 | 38.4 | 36.3 | 37.2 | 38.9 | |
| | Second shape factor [-] | 3.70 | 3.99 | 4.20 | 4.55 | 4.75 | 5.06 | 5.31 | 6.06 | 6.64 | 7.08 | 7.74 | |
| | Diameter of flange [mm] | 900 | 950 | 1000 | 1100 | 1150 | 1200 | 1250 | 1400 | 1500 | 1600 | 1700 | |
| | Thickness of flange (edge/center) [mm] | 22/28 | 22/28 | 22/28 | 22/28 | 24/32 | 24/32 | 28/36 | 28/36 | 30/38 | 32/40 | 32/40 | |
| | Connecting bolt PCD [mm] | 775 | 825 | 875 | 950 | 1000 | 1050 | 1100 | 1250 | 1350 | 1450 | 1550 | |
| | Diameter of connecting bolt hole x qty [mm] | Ø 33 × 12 | Ø 33 × 12 | Ø 33 × 12 | Ø 33 × 12 | Ø 33 × 12 | Ø 33 × 12 | Ø 33 × 12 | Ø 39 × 12 | |
| | Bolt size (assumption) [-] | M30 | M30 | M30 | M30 | M30 | M30 | M30 | M36 | M36 | M36 | M36 | |
| | Thickness of each reinforced steel plate [mm] | 3.1 | 3.1 | 3.1 | 3.1 | 4.4 | 4.4 | 4.4 | 4.4 | 4.4 | 4.4 | 5.8 | |
| | Total height [mm] | 342.0 | 330.4 | 324.9 | 323.2 | 373.1 | 368.4 | 369.1 | 347.1 | 338.4 | 341.8 | 364.0 | |
| | Total weight [tonf] | 0.58 | 0.64 | 0.70 | 0.82 | 1.12 | 1.23 | 1.40 | 1.63 | 1.88 | 2.22 | 2.80 | |
| | Total weight [kN] | 5.7 | 6.3 | 6.9 | 8.1 | 11.0 | 12.1 | 13.7 | 15.9 | 18.4 | 21.8 | 27.5 | |
| Compression Properties | Critical stress [N/mm²] | σ_{cr} when $\gamma = 0$ | 67 | 78 | 86 | 102 | 111 | 125 | 131 | 149 | 164 | 175 | 191 |
| | Ultimate compressive stress [N/mm²] | [γ_0 , σ_0] | [0,41] | [0,48] | [0,51] | [0,56] | [0,59] | [0,60] | [0,60] | [0,60] | [0,60] | [0,60] | [0,60] |
| | | [γ_1 , σ_1] | [1.4,41] | [1.5,48] | [1.7,51] | [2.1,56] | [2.2,59] | [2.6,60] | [2.9,60] | [3.6,60] | [3.8,60] | [3.8,60] | [3.9,60] |
| | | [γ_2 , σ_2] | [3.3,7] | [3.4,11] | [3.5,15] | [3.5,23] | [3.6,28] | [3.6,36] | [3.6,41] | [3.7,57] | - | - | - |
| | Compressive stiffness [$\times 10^3$ kN/m] | 2440 | 2840 | 3200 | 3760 | 4190 | 4760 | 5280 | 6680 | 7990 | 9330 | 11100 | |
| | Nominal long term compressive stress [N/mm²] | 10.4 | 12.0 | 13.1 | 15.0 | 15.0 | 15.0 | 15.0 | 15.0 | 15.0 | 15.0 | 15.0 | |
| | Nominal long term column load [kN] | 2940 | 3970 | 5040 | 6620 | 7540 | 8510 | 9540 | 11800 | 14200 | 16900 | 19900 | |
| Shear Properties ($\gamma = 100\%$) | Allowable tensile stress [N/mm²] ($\gamma = 100\%$) | 1.0 | 1.0 | 1.0 | 1.0 | 1.0 | 1.0 | 1.0 | 1.0 | 1.0 | 1.0 | 1.0 | |
| | Initial stiffness [$\times 10^3$ kN/m] | 6.40 | 7.48 | 8.47 | 9.83 | 11.0 | 12.4 | 13.8 | 17.4 | 21.0 | 24.5 | 28.9 | |
| | Post yield stiffness ($\gamma = 100\%$) [$\times 10^3$ kN/m] | 0.640 | 0.748 | 0.847 | 0.983 | 1.10 | 1.24 | 1.38 | 1.74 | 2.10 | 2.45 | 2.89 | |
| | Characteristic Strength [kN] | 71.5 | 83.9 | 97.3 | 112 | 127 | 143 | 161 | 199 | 240 | 285 | 335 | |
| | Equivalent shear stiffness [$\times 10^3$ kN/m] | 1.08 | 1.26 | 1.43 | 1.66 | 1.85 | 2.09 | 2.33 | 2.95 | 3.55 | 4.13 | 4.89 | |
| | Equivalent damping ratio [-] | 0.240 | 0.240 | 0.240 | 0.240 | 0.240 | 0.240 | 0.240 | 0.240 | 0.240 | 0.240 | 0.240 | |

MVBR-0510/MVBR-0519 (X0.4S)

Note: There are 2 certification numbers due to difference of some manufacturing process.
Please refer to "Precautions" in page 6 for the certificate number that used for design document.

● HT Series (Total Rubber Thickness 25cm)

| | | Code | | | | | | | | | |
|---------------------------------------|---|---------------------------------|-------------|------------------------------------|-----------|--------------------------|-----------|-----------|-----------|-----------|----------|
| | | Compound name | Rubber code | Shear modulus [N/mm ²] | | Equivalent damping ratio | | | | | |
| | | X4S | X0.4S | 0.392 | | 0.240 | | | | | |
| Physical Dimensions | Characteristics | HT090X4S | HT095X4S | HT100X4S | HT110X4S | HT120X4S | HT130X4S | HT140X4S | HT150X4S | HT160X4S | |
| | Outer diameter [mm] | 900 | 950 | 1000 | 1100 | 1200 | 1300 | 1400 | 1500 | 1600 | |
| | Inner diameter [mm] | 20 | 20 | 25 | 55 | 55 | 55 | 65 | 65 | 80 | |
| | Effective plane area [$\times 10^2$ mm ²] | 6359 | 7085 | 7849 | 9480 | 11286 | 13249 | 15361 | 17638 | 20056 | |
| | Thickness of one rubber layer [mm] | 6.0 | 6.4 | 6.7 | 7.4 | 8.0 | 8.7 | 9.5 | 10.0 | 10.4 | |
| | Number of rubber layers [-] | 42 | 39 | 37 | 34 | 31 | 29 | 26 | 25 | 24 | |
| | Total rubber thickness [mm] | 252 | 250 | 248 | 252 | 248 | 252 | 247 | 250 | 250 | |
| | First shape factor [-] | 36.7 | 36.3 | 36.4 | 35.3 | 35.8 | 35.8 | 35.1 | 35.9 | 36.5 | |
| | Second shape factor [-] | 3.57 | 3.81 | 4.03 | 4.37 | 4.84 | 5.15 | 5.67 | 6.00 | 6.41 | |
| | Diameter of flange [mm] | 1250 | 1300 | 1400 | 1500 | 1600 | 1700 | 1800 | 1900 | 2000 | |
| | Thickness of flange ^{*1} (edge/center) [mm] | 28/36 | 28/36 | 28/36 | 30/38 | 32/40 | 32/40 | 37/45 | 42/50 | 50/110 | |
| | Connecting bolt PCD [mm] | 1100 | 1150 | 1250 | 1350 | 1450 | 1550 | 1650 | 1750 | 1800 | |
| | Diameter of connecting bolt hole x qty [mm] | Ø 33 × 12 | Ø 33 × 12 | Ø 39 × 12 | Ø 39 × 12 | Ø 39 × 12 | Ø 39 × 12 | Ø 42 × 12 | Ø 42 × 16 | Ø 45 × 12 | |
| | Bolt size (assumption) [-] | M30 | M30 | M36 | M36 | M36 | M36 | M39 | M39 | M42 | |
| | Thickness of each reinforced steel plate [mm] | 4.4 | 4.4 | 4.4 | 4.4 | 4.4 | 4.4 | 5.8 | 5.8 | 5.8 | |
| | Total height [mm] | 504.4 | 488.8 | 478.3 | 472.8 | 460.0 | 455.5 | 482.0 | 489.2 | 603.0 | |
| | Total weight [tonf] | 1.73 | 1.83 | 2.00 | 2.34 | 2.68 | 3.01 | 3.90 | 4.56 | 7.22 | |
| | Total weight [kN] | 16.9 | 18.0 | 19.6 | 22.9 | 26.2 | 29.5 | 38.2 | 44.7 | 70.8 | |
| Compression Properties | Critical stress [N/mm ²] | σ_{cr} when $\gamma = 0$ | 33 | 35 | 38 | 43 | 49 | 52 | 58 | 61 | 65 |
| | Ultimate compressive stress [N/mm ²] | [γ_0 , σ_0] | [0.26] | [0.28] | [0.35] | [0.39] | [0.43] | [0.45] | [0.45] | [0.45] | [0.45] |
| | | [γ_1 , σ_1] | [0.8,26] | [0.8,28] | [0.3,35] | [0.4,39] | [0.5,43] | [0.7,45] | [1.2,45] | [1.6,45] | [2.0,45] |
| | | [γ_2 , σ_2] | [3.2,3] | [3.4,4] | [3.6,4] | [3.9,5] | [4.0,9] | [4.0,12] | [4.0,17] | [4.0,20] | [4.0,25] |
| | Compressive stiffness [$\times 10^3$ kN/m] | 3040 | 3420 | 3810 | 4520 | 5470 | 6310 | 7450 | 8480 | 9690 | |
| | Nominal long term compressive stress ^{*2} [N/mm ²] | 6.4 | 7.2 | 9.5 | 10.8 | 12.6 | 13.0 | 13.0 | 13.0 | 13.0 | |
| | Nominal long term column load [kN] | 4090 | 5090 | 7450 | 10200 | 14200 | 17200 | 20000 | 22900 | 26100 | |
| Shear Properties ($\gamma = 100\%$) | Allowable tensile stress [N/mm ²] ($\gamma = 100\%$) | 1.0 | 1.0 | 1.0 | 1.0 | 1.0 | 1.0 | 1.0 | 1.0 | 1.0 | |
| | Initial stiffness [$\times 10^3$ kN/m] | 5.86 | 6.59 | 7.35 | 8.74 | 10.6 | 12.2 | 14.4 | 16.4 | 18.6 | |
| | Post yield stiffness ($\gamma = 100\%$) [$\times 10^3$ kN/m] | 0.586 | 0.659 | 0.735 | 0.874 | 1.06 | 1.22 | 1.44 | 1.64 | 1.86 | |
| | Characteristic Strength [kN] | 102 | 113 | 126 | 152 | 181 | 212 | 246 | 282 | 321 | |
| | Equivalent shear stiffness [$\times 10^3$ kN/m] | 0.989 | 1.11 | 1.24 | 1.48 | 1.78 | 2.06 | 2.44 | 2.77 | 3.15 | |
| Shear Properties ($\gamma = 100\%$) | Equivalent damping ratio [-] | 0.240 | 0.240 | 0.240 | 0.240 | 0.240 | 0.240 | 0.240 | 0.240 | 0.240 | |

*1 Special thickness for flange is available. Please refer to the table on the next page (upper top table) for more details.

*2 Nominal long term compressive stress is referred as long term upper limit of compressive stress.

Specification of flange [edge thickness / center thickness]

| | | | | | | |
|--|---------|---------|-------|-------|-------|-------|
| Outer diameter of rubber bearing (\varnothing) ^{*1} | [900] | [950] | 1000 | 1100 | 1200 | 1300 |
| Standard thickness | 28/36 | 28/36 | 28/36 | 30/38 | 32/40 | 32/40 |
| Special thickness (option) | (37/45) | (37/45) | 42/50 | 42/50 | 42/50 | 42/50 |

*1 For adoption of special thickness in regard to those sizes that stated in the [], delivery time will be longer due to mold preparation.

*2 For $\varnothing 1400$ and above, assembled type flange will be used.

*3 Compared to the standard specification, total height & weight of product for special thickness will be changed.

MVBR-0514/MVBR-0520 (X0.6R)

Note: There are 2 certification numbers due to difference of some manufacturing process.
Please refer to "Precautions" in page 6 for the certificate number that used for design document.

● HT Series (Total Rubber Thickness 25cm)

Code

| Compound name | Rubber code | Shear modulus [N/mm ²] | Equivalent damping ratio |
|---------------|-------------|------------------------------------|--------------------------|
| X6R | X0.6R | 0.620 | 0.240 |

| Characteristics | | HT090X6R | HT095X6R | HT100X6R | HT110X6R | HT120X6R | HT130X6R | HT140X6R | HT150X6R | HT160X6R |
|---------------------------------------|---|---------------------------------|----------------------------|----------------------------|----------------------------|----------------------------|----------------------------|----------------------------|----------------------------|----------------------------|
| Physical Dimensions | Outer diameter [mm] | 900 | 950 | 1000 | 1100 | 1200 | 1300 | 1400 | 1500 | 1600 |
| | Inner diameter [mm] | 20 | 20 | 25 | 55 | 55 | 55 | 65 | 65 | 80 |
| | Effective plane area [$\times 10^2$ mm ²] | 6359 | 7085 | 7849 | 9480 | 11286 | 13249 | 15361 | 17638 | 20056 |
| | Thickness of one rubber layer [mm] | 6.0 | 6.4 | 6.7 | 7.4 | 8.0 | 8.7 | 9.5 | 10.0 | 10.4 |
| | Number of rubber layers [-] | 42 | 39 | 37 | 34 | 31 | 29 | 26 | 25 | 24 |
| | Total rubber thickness [mm] | 252 | 250 | 248 | 252 | 248 | 252 | 247 | 250 | 250 |
| | First shape factor [-] | 36.7 | 36.3 | 36.4 | 35.3 | 35.8 | 35.8 | 35.1 | 35.9 | 36.5 |
| | Second shape factor [-] | 3.57 | 3.81 | 4.03 | 4.37 | 4.84 | 5.15 | 5.67 | 6.00 | 6.41 |
| | Diameter of flange [mm] | 1250 | 1300 | 1400 | 1500 | 1600 | 1700 | 1800 | 1900 | 2000 |
| | Thickness of flange ^{*1} (edge/center) [mm] | 28/36 | 28/36 | 28/36 | 30/38 | 32/40 | 32/40 | 37/45 | 42/50 | 50/110 |
| | Connecting bolt PCD [mm] | 1100 | 1150 | 1250 | 1350 | 1450 | 1550 | 1650 | 1750 | 1800 |
| | Diameter of connecting bolt hole x qty [mm] | $\varnothing 33 \times 12$ | $\varnothing 33 \times 12$ | $\varnothing 39 \times 12$ | $\varnothing 42 \times 12$ | $\varnothing 42 \times 16$ | $\varnothing 45 \times 12$ |
| | Bolt size (assumption) [-] | M30 | M30 | M36 | M36 | M36 | M36 | M39 | M39 | M42 |
| | Thickness of each reinforced steel plate [mm] | 4.4 | 4.4 | 4.4 | 4.4 | 4.4 | 4.4 | 5.8 | 5.8 | 5.8 |
| | Total height [mm] | 504.4 | 488.8 | 478.3 | 472.8 | 460.0 | 455.5 | 482.0 | 489.2 | 603.0 |
| | Total weight [tonf] | 1.73 | 1.83 | 2.00 | 2.34 | 2.68 | 3.01 | 3.90 | 4.56 | 7.22 |
| | Total weight [kN] | 16.9 | 18.0 | 19.6 | 22.9 | 26.2 | 29.5 | 38.2 | 44.7 | 70.8 |
| Compression Properties | Critical stress [N/mm ²] | σ_{cr} when $\gamma = 0$ | 62 | 71 | 80 | 94 | 115 | 127 | 140 | 148 |
| | Ultimate compressive stress [N/mm ²] | $[\gamma_0, \sigma_0]$ | [0,38] | [0,43] | [0,48] | [0,53] | [0,60] | [0,60] | [0,60] | [0,60] |
| | | $[\gamma_1, \sigma_1]$ | [1,4,38] | [1,5,43] | [1,6,48] | [1,9,53] | [2,3,60] | [2,7,60] | [3,2,60] | [3,6,60] |
| | | $[\gamma_2, \sigma_2]$ | [3,2,6] | [3,4,8] | [3,4,12] | [3,5,19] | [3,6,30] | [3,6,38] | [3,7,49] | [3,7,56] |
| | Compressive stiffness [$\times 10^3$ kN/m] | 3530 | 3960 | 4420 | 5240 | 6340 | 7310 | 8640 | 9830 | 11200 |
| | Nominal long term compressive stress [N/mm ²] | 9.7 | 11.0 | 12.2 | 14.0 | 15.0 | 15.0 | 15.0 | 15.0 | 15.0 |
| | Nominal long term column load [kN] | 6170 | 7790 | 9580 | 13300 | 16900 | 19900 | 23000 | 26500 | 30100 |
| Shear Properties ($\gamma = 100\%$) | Allowable tensile stress [N/mm ²] ($\gamma = 100\%$) | 1.0 | 1.0 | 1.0 | 1.0 | 1.0 | 1.0 | 1.0 | 1.0 | 1.0 |
| | Initial stiffness [$\times 10^3$ kN/m] | 9.26 | 10.4 | 11.6 | 13.8 | 16.7 | 19.3 | 22.8 | 25.9 | 29.5 |
| | Post yield stiffness ($\gamma = 100\%$) [$\times 10^3$ kN/m] | 0.926 | 1.04 | 1.16 | 1.38 | 1.67 | 1.93 | 2.28 | 2.59 | 2.95 |
| | Characteristic Strength [kN] | 161 | 179 | 199 | 240 | 285 | 335 | 389 | 446 | 507 |
| | Equivalent shear stiffness [$\times 10^3$ kN/m] | 1.56 | 1.76 | 1.96 | 2.34 | 2.82 | 3.26 | 3.86 | 4.37 | 4.98 |
| Shear Properties ($\gamma = 100\%$) | Equivalent damping ratio [-] | 0.240 | 0.240 | 0.240 | 0.240 | 0.240 | 0.240 | 0.240 | 0.240 | 0.240 |

*1 Special thickness for flange is available. Please refer to the table above for more details.

Specification of flange [edge thickness / center thickness]

| | | | | | | | | | | | | |
|--|---------|---------|-------|---------|-------|-------|-------|-------|-------|-------|-------|-------|
| Outer diameter of rubber bearing (\varnothing) ^{*1} | [600] | [650] | 700 | [750] | 800 | 850 | 900 | 950 | 1000 | 1100 | 1200 | 1300 |
| Standard thickness | 22/28 | 22/28 | 22/28 | 22/28 | 24/32 | 24/32 | 28/36 | 28/36 | 28/36 | 30/38 | 32/40 | 32/40 |
| Special thickness (option) | [26/32] | [26/32] | 26/32 | [30/36] | 32/40 | 32/40 | 37/45 | 37/45 | 42/50 | 42/50 | 42/50 | 42/50 |

^{*1} For adoption of special thickness in regard to those sizes that stated in the [], delivery time will be longer due to mold preparation.^{*2} For $\varnothing 1400$ and above, assembled type flange will be used.^{*3} Compared to the standard specification, total height & weight of product for special thickness will be changed.

MVBR-0510/MVBR-0519 (X0.4S)

Note: There are 2 certification numbers due to difference of some manufacturing process.
Please refer to "Precautions" in page 6 for the certificate number that used for design document.

● HS Series (S₂ = 5)

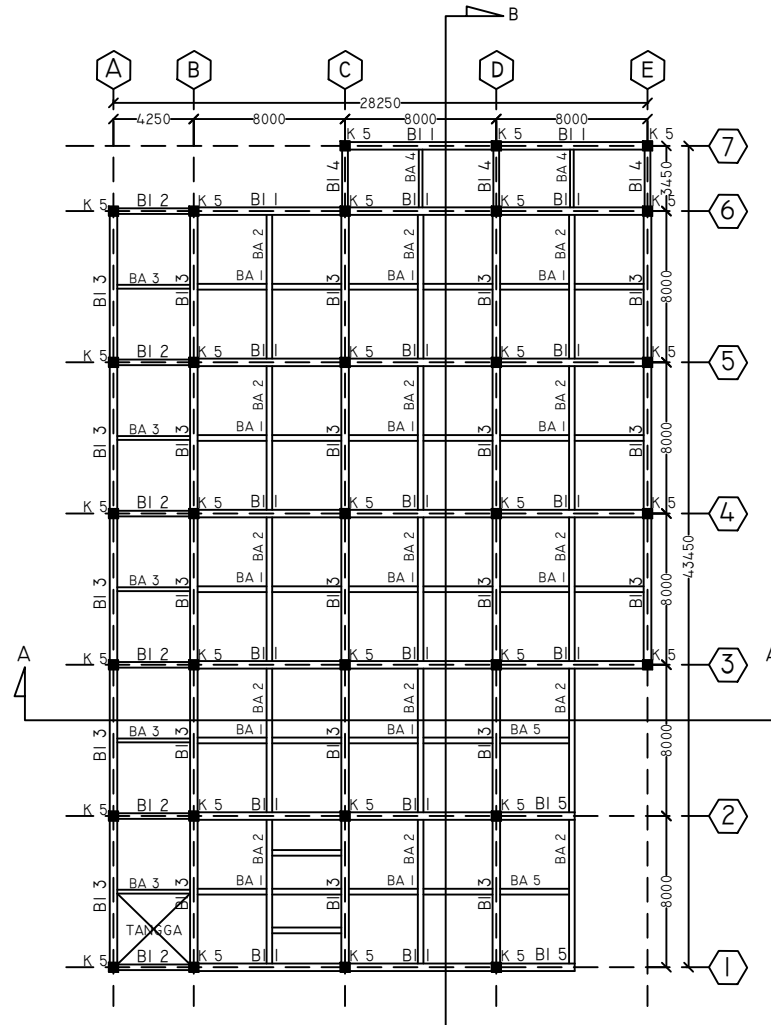
| | | Code | | | | | | | | | | | |
|---------------------------------------|---|---------------------------------|----------------------------|------------------------------------|----------------------------|----------------------------|----------------------------|----------------------------|----------------------------|----------------------------|----------------------------|----------------------------|----------------------------|
| | | Compound name | Rubber code | Shear modulus [N/mm ²] | | | Equivalent damping ratio | | | | | | |
| | | X4S | X0.4S | 0.392 | | | 0.240 | | | | | | |
| Characteristics | | HS070X4S | HS075X4S | HS080X4S | HS085X4S | HS090X4S | HS095X4S | HS100X4S | HS110X4S | HS120X4S | HS130X4S | HS140X4S | HU150X4S |
| Physical Dimensions | Outer diameter [mm] | 700 | 750 | 800 | 850 | 900 | 950 | 1000 | 1100 | 1200 | 1300 | 1400 | 1500 |
| | Inner diameter [mm] | 15 | 15 | 20 | 20 | 20 | 20 | 25 | 55 | 55 | 55 | 65 | 65 |
| | Effective plane area [$\times 10^2$ mm ²] | 3847 | 4416 | 5023 | 5671 | 6359 | 7085 | 7849 | 9480 | 11286 | 13249 | 15361 | 17638 |
| | Thickness of one rubber layer [mm] | 4.7 | 5 | 5.4 | 5.7 | 6.0 | 6.4 | 6.7 | 7.4 | 8.0 | 8.7 | 9.3 | 8.5 |
| | Number of rubber layers [-] | 30 | 30 | 30 | 30 | 30 | 30 | 30 | 30 | 30 | 30 | 30 | 35 |
| | Total rubber thickness [mm] | 141 | 150 | 162 | 171 | 180 | 192 | 201 | 222 | 240 | 261 | 279 | 298 |
| | First shape factor [-] | 36.4 | 36.8 | 36.1 | 36.4 | 36.7 | 36.3 | 36.4 | 35.3 | 35.8 | 35.8 | 35.9 | 42.2 |
| | Second shape factor [-] | 4.96 | 5.00 | 4.94 | 4.97 | 5.00 | 4.95 | 4.98 | 4.95 | 5.00 | 4.98 | 5.02 | 5.04 |
| | Diameter of flange [mm] | 1000 | 1100 | 1150 | 1200 | 1250 | 1300 | 1400 | 1500 | 1600 | 1700 | 1800 | 1900 |
| | Thickness of flange ^{*1} (edge/center) [mm] | 22/28 | 22/28 | 24/32 | 24/32 | 28/36 | 28/36 | 28/36 | 30/38 | 32/40 | 32/40 | 37/45 | 50/100 |
| | Connecting bolt PCD [mm] | 875 | 950 | 1000 | 1050 | 1100 | 1150 | 1250 | 1350 | 1450 | 1550 | 1650 | 1750 |
| | Diameter of connecting bolt hole \times qty [mm] | $\varnothing 33 \times 12$ | $\varnothing 33 \times 12$ | $\varnothing 33 \times 12$ | $\varnothing 33 \times 12$ | $\varnothing 33 \times 12$ | $\varnothing 33 \times 12$ | $\varnothing 39 \times 12$ | $\varnothing 42 \times 12$ | $\varnothing 42 \times 16$ |
| | Bolt size (assumption) [-] | M30 | M30 | M30 | M30 | M30 | M30 | M36 | M36 | M36 | M36 | M39 | M39 |
| | Thickness of each reinforced steel plate [mm] | 3.1 | 3.1 | 4.4 | 4.4 | 4.4 | 4.4 | 4.4 | 4.4 | 4.4 | 4.4 | 5.8 | 5.8 |
| | Total height [mm] | 286.9 | 295.9 | 353.6 | 362.6 | 379.6 | 391.6 | 400.6 | 425.6 | 447.6 | 468.6 | 537.2 | 694.7 |
| | Total weight [tonf] | 0.65 | 0.77 | 1.07 | 1.19 | 1.41 | 1.56 | 1.77 | 2.17 | 2.63 | 3.07 | 4.24 | 7.04 |
| | Total weight [kN] | 6.4 | 7.5 | 10.5 | 11.7 | 13.8 | 15.3 | 17.3 | 21.3 | 25.8 | 30.1 | 41.6 | 69.1 |
| Compression Properties | Critical stress [N/mm ²] | σ_{cr} when $\gamma = 0$ | 50 | 51 | 50 | 50 | 51 | 50 | 51 | 50 | 51 | 51 | 51 |
| | Ultimate compressive stress [N/mm ²] | (γ_0, σ_0) | [0.45] | [0.45] | [0.44] | [0.45] | [0.45] | [0.44] | [0.45] | [0.45] | [0.45] | [0.45] | [0.45] |
| | | (γ_1, σ_1) | [0.5,45] | [0.6,45] | [0.6,44] | [0.5,45] | [0.6,45] | [0.6,44] | [0.5,45] | [0.5,45] | [0.6,45] | [0.6,45] | [0.6,45] |
| | | (γ_2, σ_2) | [4.0,10] | [4.0,10] | [4.0,10] | [4.0,10] | [4.0,10] | [4.0,10] | [4.0,10] | [4.0,10] | [4.0,10] | [4.0,10] | [4.0,11] |
| | Compressive stiffness [$\times 10^3$ kN/m] | 3290 | 3550 | 3730 | 4000 | 4260 | 4440 | 4700 | 5120 | 5650 | 6100 | 6620 | 7280 |
| | Nominal long term compressive stress ^{*2} [N/mm ²] | 13.0 | 13.0 | 13.0 | 13.0 | 13.0 | 13.0 | 13.0 | 13.0 | 13.0 | 13.0 | 13.0 | 13.0 |
| | Nominal long term column load [kN] | 5000 | 5740 | 6530 | 7370 | 8270 | 9210 | 10200 | 12300 | 14700 | 17200 | 20000 | 22900 |
| Shear Properties ($\gamma = 100\%$) | Allowable tensile stress [N/mm ²] ($\gamma = 100\%$) | 1.0 | 1.0 | 1.0 | 1.0 | 1.0 | 1.0 | 1.0 | 1.0 | 1.0 | 1.0 | 1.0 | 1.0 |
| | Initial stiffness [$\times 10^3$ kN/m] | 6.33 | 6.83 | 7.20 | 7.70 | 8.20 | 8.56 | 9.06 | 9.91 | 10.9 | 11.8 | 12.8 | 13.8 |
| | Post yield stiffness ($\gamma = 100\%$) [$\times 10^3$ kN/m] | 0.633 | 0.683 | 0.720 | 0.770 | 0.820 | 0.856 | 0.906 | 0.991 | 1.091 | 1.178 | 1.278 | 1.376 |
| | Characteristic Strength [kN] | 61.5 | 70.6 | 80.3 | 90.7 | 102 | 113 | 126 | 152 | 181 | 212 | 246 | 282 |
| | Equivalent shear stiffness [$\times 10^3$ kN/m] | 1.07 | 1.15 | 1.22 | 1.30 | 1.38 | 1.45 | 1.53 | 1.67 | 1.84 | 1.99 | 2.16 | 2.32 |
| | Equivalent damping ratio [-] | 0.240 | 0.240 | 0.240 | 0.240 | 0.240 | 0.240 | 0.240 | 0.240 | 0.240 | 0.240 | 0.240 | 0.240 |

^{*1} Special thickness for flange is available. Please refer to the table above for more details.^{*2} Nominal long term compressive stress is referred as long term upper limit of compressive stress.

LAMPIRAN 3
GAMBAR TEKNIK

DAFTAR GAMBAR

| No. Gambar | Judul Gambar |
|------------|---|
| 1 | Denah Kolom dan Balok Lantai Atap |
| 2 | Denah Kolom dan Balok Lantai 18-21 |
| 3 | Denah Kolom dan Balok Lantai 14-17 |
| 4 | Denah Kolom dan Balok Lantai 10-13 |
| 5 | Denah Kolom dan Balok Lantai 6-9 |
| 6 | Denah Kolom dan Balok Lantai 2-5 |
| 7 | Denah Kolom dan Balok Lantai 1 (R.Pemeliharaan) |
| 8 | Potongan Memanjang A-A |
| 9 | Potongan Melintang B-B |
| 10 | Detail Penulangan Pelat A |
| 11 | Detail Penulangan Pelat B |
| 12 | Detail Penulangan Pelat C |
| 13 | Denah dan Potongan Tangga |
| 14 | Detail Balok Anak dan Balok Lift |
| 15 | Detail Balok Induk |
| 16 | Detail Kolom |
| 17 | Detail Penulangan Balok Induk BI 1 |
| 18 | Detail Penulangan Kolom K1 |
| 19 | Detail HDRB |
| 20 | Detail HDRB |
| 21 | Denah Pondasi |
| 22 | Denah Sloof |
| 23 | Detail Pilecap Tipe 1 |
| 24 | Detail Pilecap Tipe 2 |
| 25 | Detail Pilecap Tipe 3 |
| 26 | Detail Pilecap Tipe 3 |
| 27 | Detail Sloof |



DENAH KOLOM DAN BALOK LANTAI ATAP
SKALA 1:400

| KETERANGAN : | | |
|--------------|--------|--------|
| NAMA | b (cm) | h (cm) |
| K 5 | 50 | 50 |
| BI 1 | 40 | 60 |
| BI 2 | 30 | 40 |
| BI 3 | 40 | 60 |
| BI 4 | 30 | 40 |
| BI 5 | 40 | 60 |
| BA 1 | 30 | 40 |
| BA 2 | 30 | 40 |
| BA 3 | 20 | 25 |
| BA 4 | 20 | 25 |
| BA 5 | 20 | 25 |



JUDUL TUGAS AKHIR

MODIFIKASI PERANCANGAN GEDUNG SKYSUITES SOHO SURABAYA DENGAN BASE ISOLATOR : HIGH DAMPING RUBBER BEARING (HDRB) DAN PETA GEMPA TAHUN 2017

JUDUL GAMBAR

DENAH KOLOM DAN BALOK LANTAI ATAP

SKALA

1 : 400

NO. LEMBAR

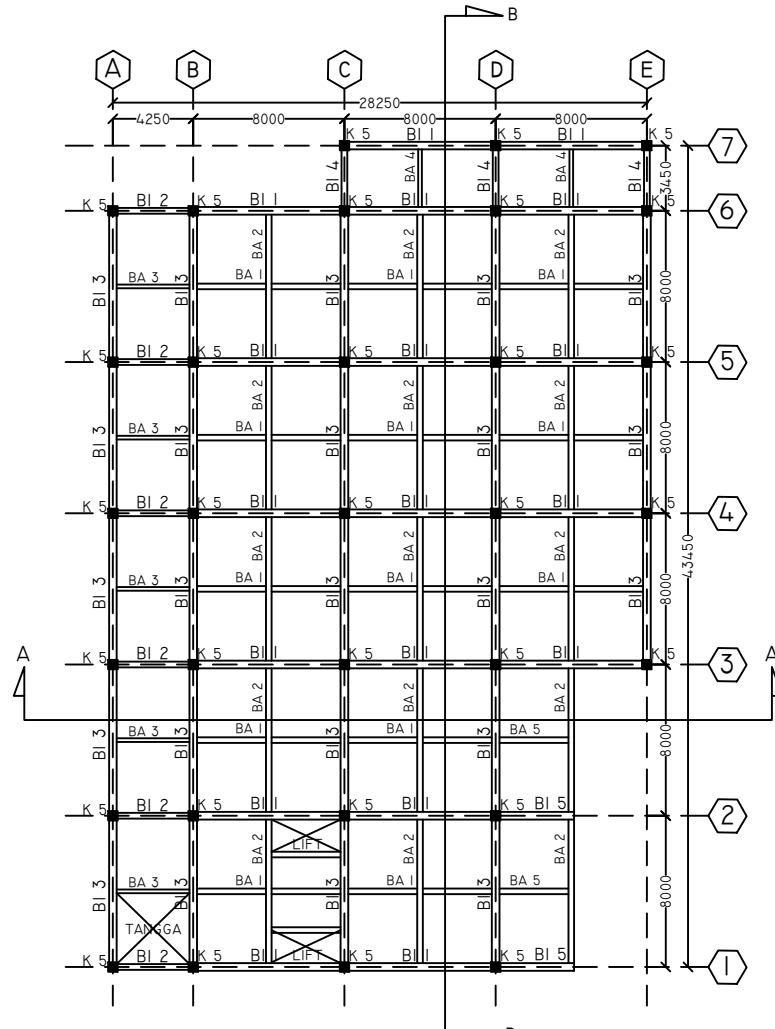
| |
|---------------|
| 1 |
| JUMLAH LEMBAR |
| 27 |

NAMA DOSEN PEMBIMBING

HARUN AL RASYID, ST. MT. PHD
DATA IRANATA, ST. MT. PHD

NAMA/NRP MAHASISWA

DIANANDA ESKA PRATIWI
03III54000007



DENAH KOLOM DAN BALOK LANTAI I8-21
SKALA 1:400

| KETERANGAN : | | |
|--------------|--------|--------|
| NAMA | b (cm) | h (cm) |
| K 5 | 50 | 50 |
| Bl 1 | 40 | 60 |
| Bl 2 | 30 | 40 |
| Bl 3 | 40 | 60 |
| Bl 4 | 30 | 40 |
| Bl 5 | 40 | 60 |
| BA 1 | 30 | 40 |
| BA 2 | 30 | 40 |
| BA 3 | 20 | 25 |
| BA 4 | 20 | 25 |
| BA 5 | 20 | 25 |



JUDUL TUGAS AKHIR

MODIFIKASI PERANCANGAN GEDUNG SKYSUITES SOHO SURABAYA DENGAN BASE ISOLATOR : HIGH DAMPING RUBBER BEARING (HDRB) DAN PETA GEMPA TAHUN 2017

JUDUL GAMBAR

| : 40

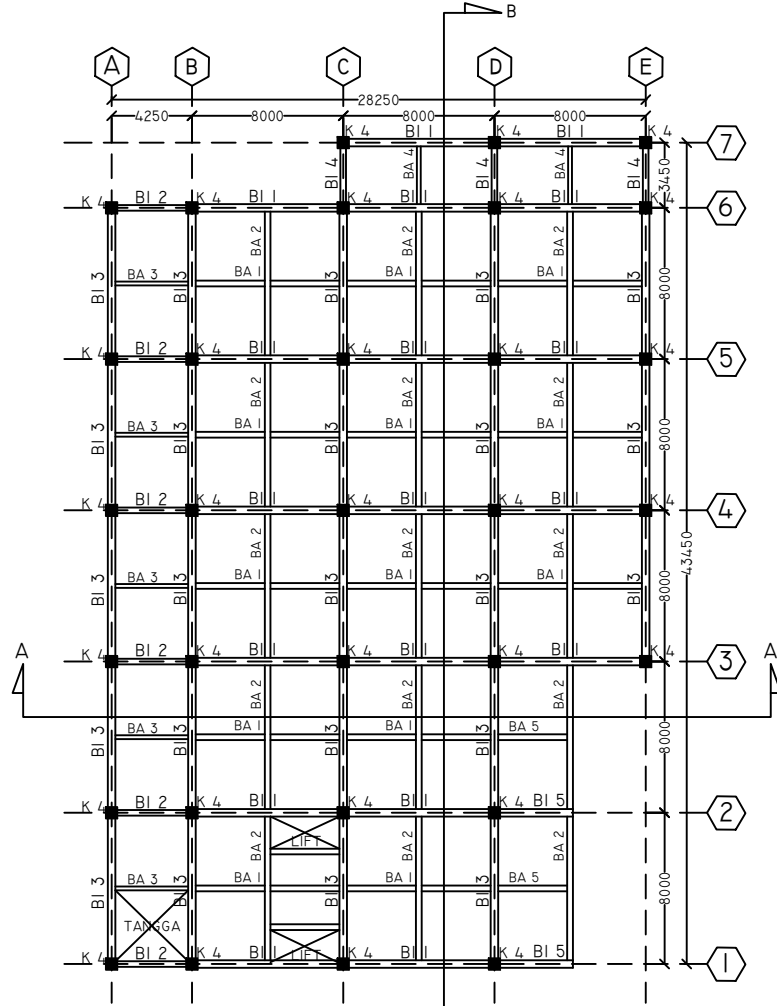
NO. | FMRB

NAMA DOSEN PEMBIMBING

NAMA/NRP MAHASISWA

HARUN AL RASYID, ST. MT. PhD
DATA IRANATA ST. MT. PhD

DIANANDA ESKA PRATIWI
031115/0000007



DENAH KOLOM DAN BALOK LANTAI 14-17
SKALA 1:400

| KETERANGAN : | | |
|--------------|--------|--------|
| NAMA | b (cm) | h (cm) |
| K 4 | 60 | 60 |
| BI 1 | 40 | 60 |
| BI 2 | 30 | 40 |
| BI 3 | 40 | 60 |
| BI 4 | 30 | 40 |
| BI 5 | 40 | 60 |
| BA 1 | 30 | 40 |
| BA 2 | 30 | 40 |
| BA 3 | 20 | 25 |
| BA 4 | 20 | 25 |
| BA 5 | 20 | 25 |



JUDUL TUGAS AKHIR

MODIFIKASI PERANCANGAN GEDUNG SKYSUITES SOHO SURABAYA DENGAN BASE ISOLATOR : HIGH DAMPING RUBBER BEARING (HDRB) DAN PETA GEMPA TAHUN 2017

JUDUL GAMBAR

DENAH KOLOM DAN BALOK LANTAI 14-17

SKALA

1 : 400

NO. LEMBAR

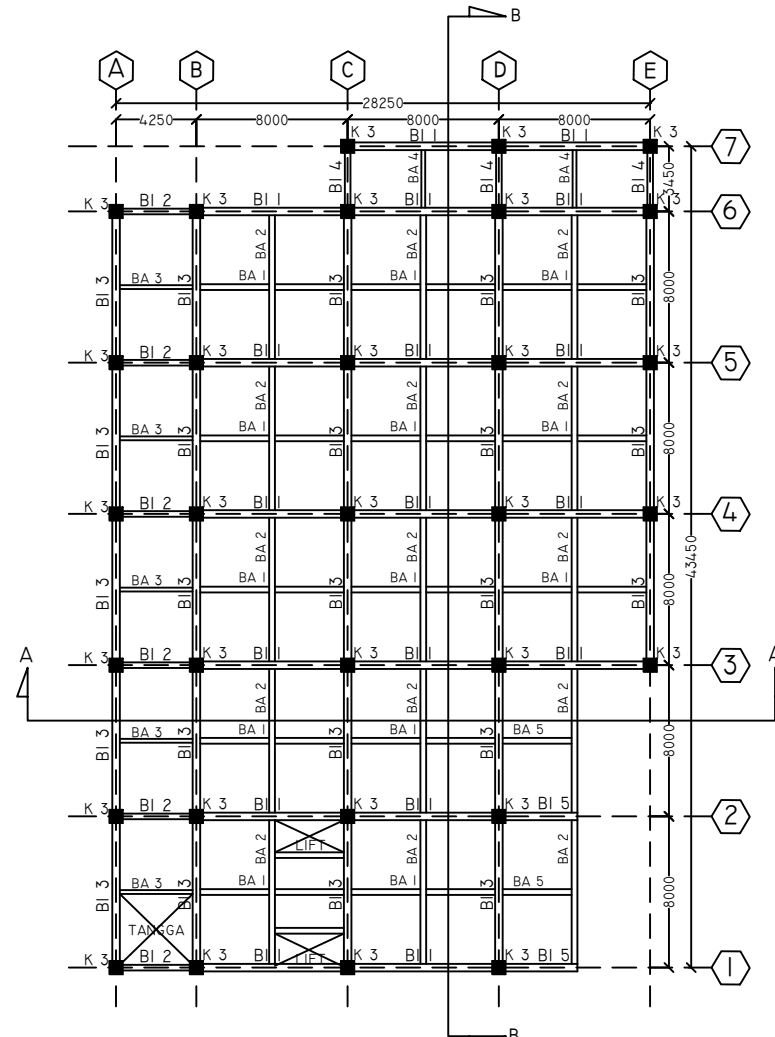
| |
|---------------|
| 3 |
| JUMLAH LEMBAR |
| 27 |

NAMA DOSEN PEMBIMBING

HARUN AL RASYID, ST. MT. PHD
DATA IRANATA, ST. MT. PHD

NAMA/NRP MAHASISWA

DIANANDA ESKA PRATIWI
0311154000007



DENAH KOLOM DAN BALOK LANTAI 10-13
SKALA 1:400

| KETERANGAN : | | |
|--------------|--------|--------|
| NAMA | b (cm) | h (cm) |
| K 3 | 70 | 70 |
| BI 1 | 40 | 60 |
| BI 2 | 30 | 40 |
| BI 3 | 40 | 60 |
| BI 4 | 30 | 40 |
| BI 5 | 40 | 60 |
| BA 1 | 30 | 40 |
| BA 2 | 30 | 40 |
| BA 3 | 20 | 25 |
| BA 4 | 20 | 25 |
| BA 5 | 20 | 25 |



JUDUL TUGAS AKHIR

MODIFIKASI PERANCANGAN GEDUNG SKYSUITES SOHO SURABAYA DENGAN BASE ISOLATOR : HIGH DAMPING RUBBER BEARING (HDRB) DAN PETA GEMPA TAHUN 2017

JUDUL GAMBAR

DENAH KOLOM DAN BALOK LANTAI 10-13

SKALA

1 : 400

NO. LEMBAR

4

JUMLAH LEMBAR

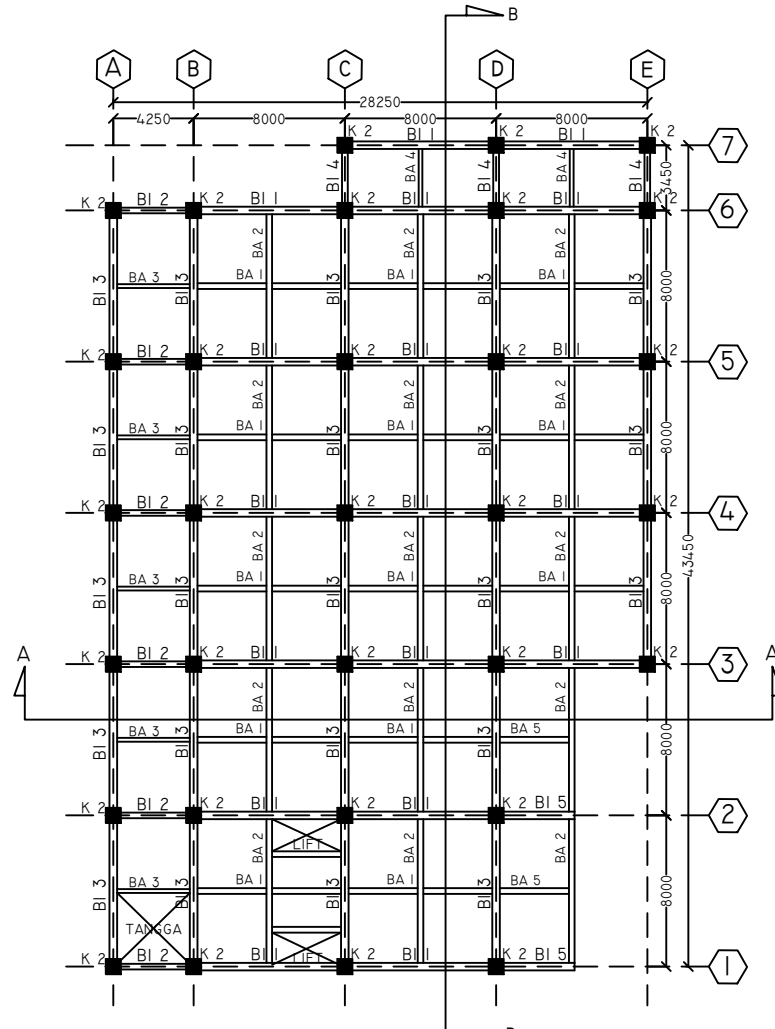
27

NAMA DOSEN PEMBIMBING

HARUN AL RASYID, ST. MT. PHD
DATA IRANATA, ST. MT. PHD

NAMA/NRP MAHASISWA

DIANANDA ESKA PRATIWI
0311154000007



DENAH KOLOM DAN BALOK LANTAI 6-9
SKALA 1:400

| KETERANGAN : | | |
|--------------|--------|--------|
| NAMA | b (cm) | h (cm) |
| K 2 | 80 | 80 |
| BI 1 | 40 | 60 |
| BI 2 | 30 | 40 |
| BI 3 | 40 | 60 |
| BI 4 | 30 | 40 |
| BI 5 | 40 | 60 |
| BA 1 | 30 | 40 |
| BA 2 | 30 | 40 |
| BA 3 | 20 | 25 |
| BA 4 | 20 | 25 |
| BA 5 | 20 | 25 |



JUDUL TUGAS AKHIR

MODIFIKASI PERANCANGAN GEDUNG SKYSUITES SOHO SURABAYA DENGAN BASE ISOLATOR : HIGH DAMPING RUBBER BEARING (HDRB) DAN PETA GEMPA TAHUN 2017

JUDUL GAMBAR

DENAH KOLOM DAN BALOK LANTAI 6-9

| : 4

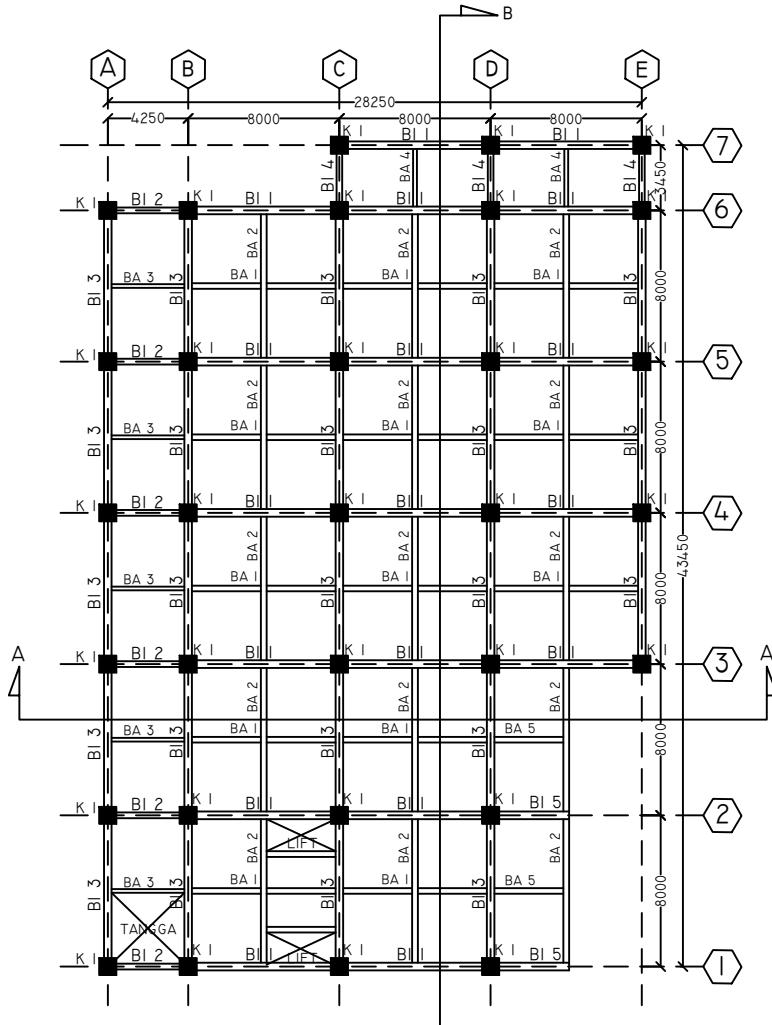
| : 4

NAMA DOSEN PEMBIMBING

HARUN AL RASYID, ST. MT. PHD
DATA IRANATA ST. MT. PHD

NAMA/NRP MAHASISWA

DIANANDA ESKA PRATIWI
0311154000007



DENAH KOLOM DAN BALOK LANTAI 2-5
SKALA 1:400

| KETERANGAN : | | |
|--------------|--------|--------|
| NAMA | b (cm) | h (cm) |
| K I | 90 | 90 |
| BI 1 | 40 | 60 |
| BI 2 | 30 | 40 |
| BI 3 | 40 | 60 |
| BI 4 | 30 | 40 |
| BI 5 | 40 | 60 |
| BA 1 | 30 | 40 |
| BA 2 | 30 | 40 |
| BA 3 | 20 | 25 |
| BA 4 | 20 | 25 |
| BA 5 | 20 | 25 |



JUDUL TUGAS AKHIR

MODIFIKASI PERANCANGAN GEDUNG SKYSUITES SOHO SURABAYA DENGAN BASE ISOLATOR : HIGH DAMPING RUBBER BEARING (HDRB) DAN PETA GEMPA TAHUN 2017

JUDUL GAMBAR

DENAH KOLOM DAN BALOK LANTAI 2-5

SKALA

1 : 400

NO. LEMBAR

6

JUMLAH LEMBAR

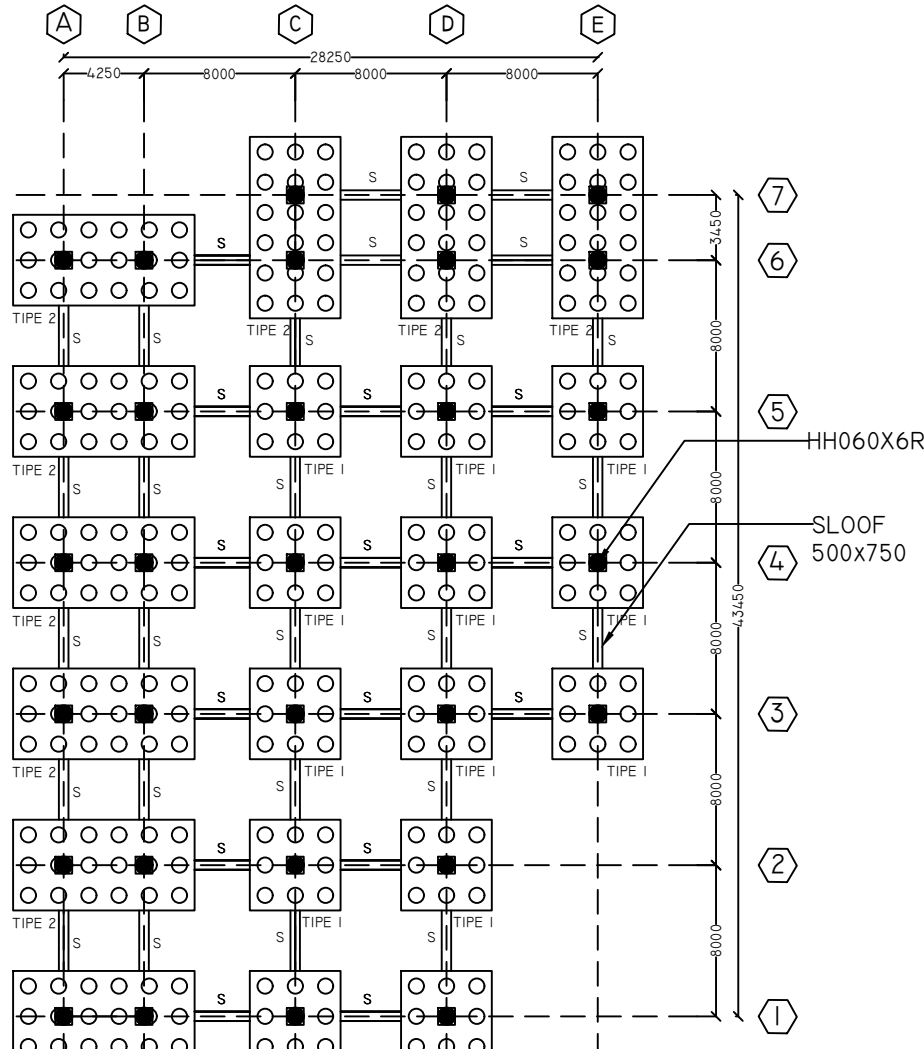
27

NAMA DOSEN PEMBIMBING

HARUN AL RASYID, ST. MT. PHD
DATA IRANATA, ST. MT. PHD

NAMA/NRP MAHASISWA

DIANANDA ESKA PRATIWI
0311154000007

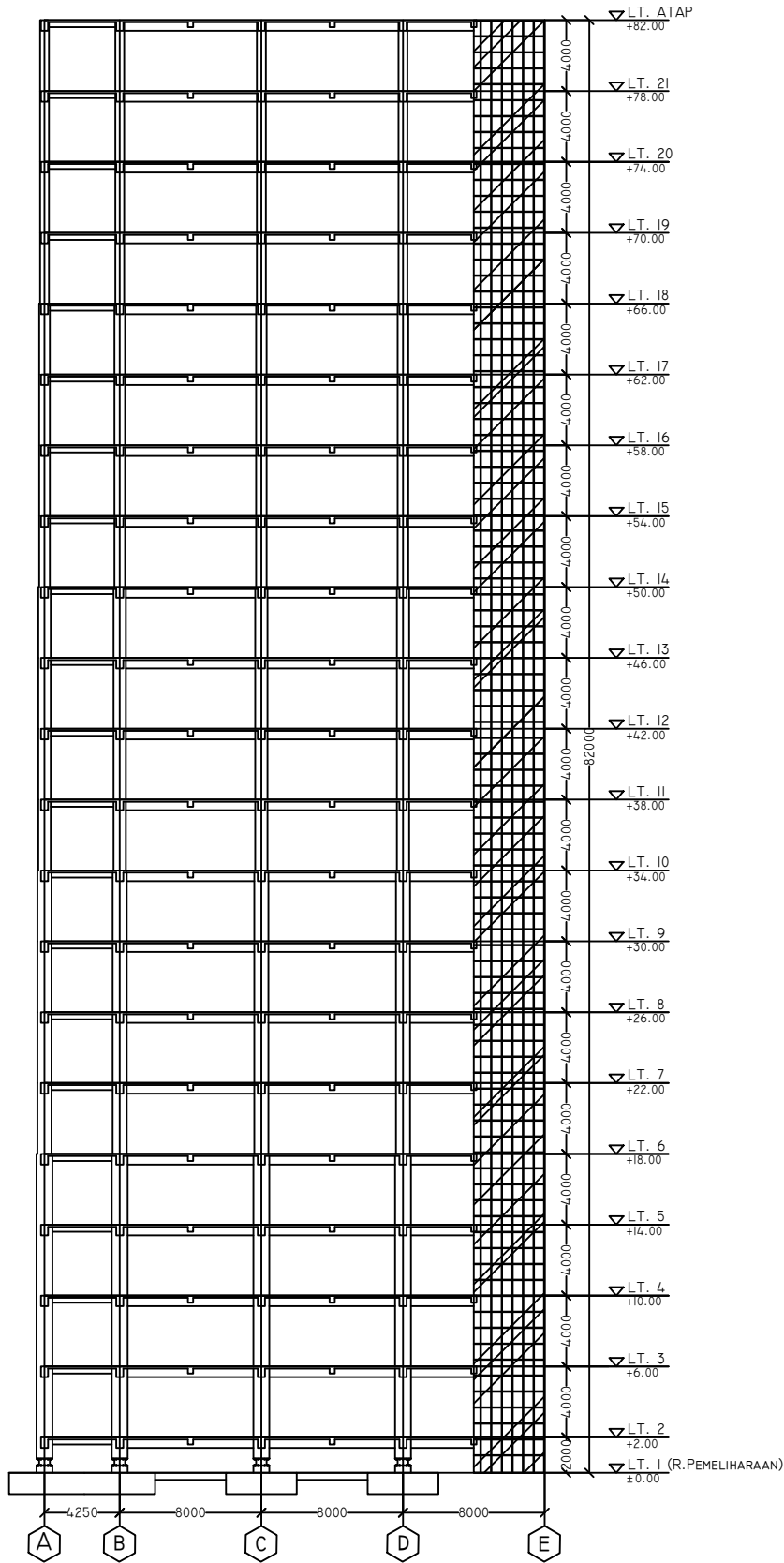


DENAH KOLOM DAN BALOK LANTAI I DASAR
SKALA 1:400

| JUDUL TUGAS AKHIR | JUDUL GAMBAR | SKALA | NO. LEMBAR | NAMA DOSEN PEMBIMBING | NAMA/NRP MAHASISWA |
|---|---|---------|--------------------------|---|--|
| MODIFIKASI PERANCANGAN GEDUNG SKYSUITES SOHO SURABAYA DENGAN BASE ISOLATOR : HIGH DAMPING RUBBER BEARING (HDRB) DAN PETA GEMPA TAHUN 2017 | DENAH KOLOM DAN BALOK LANTAI I (RUANG PEMELIHARAAN) | 1 : 400 | 7 JUMLAH LEMBAR 27 | HARUN AL RASYID, ST. MT. PHD DATA IRANATA, ST. MT. PHD | DIANANDA ESKA PRATIWI 0311154000007 |



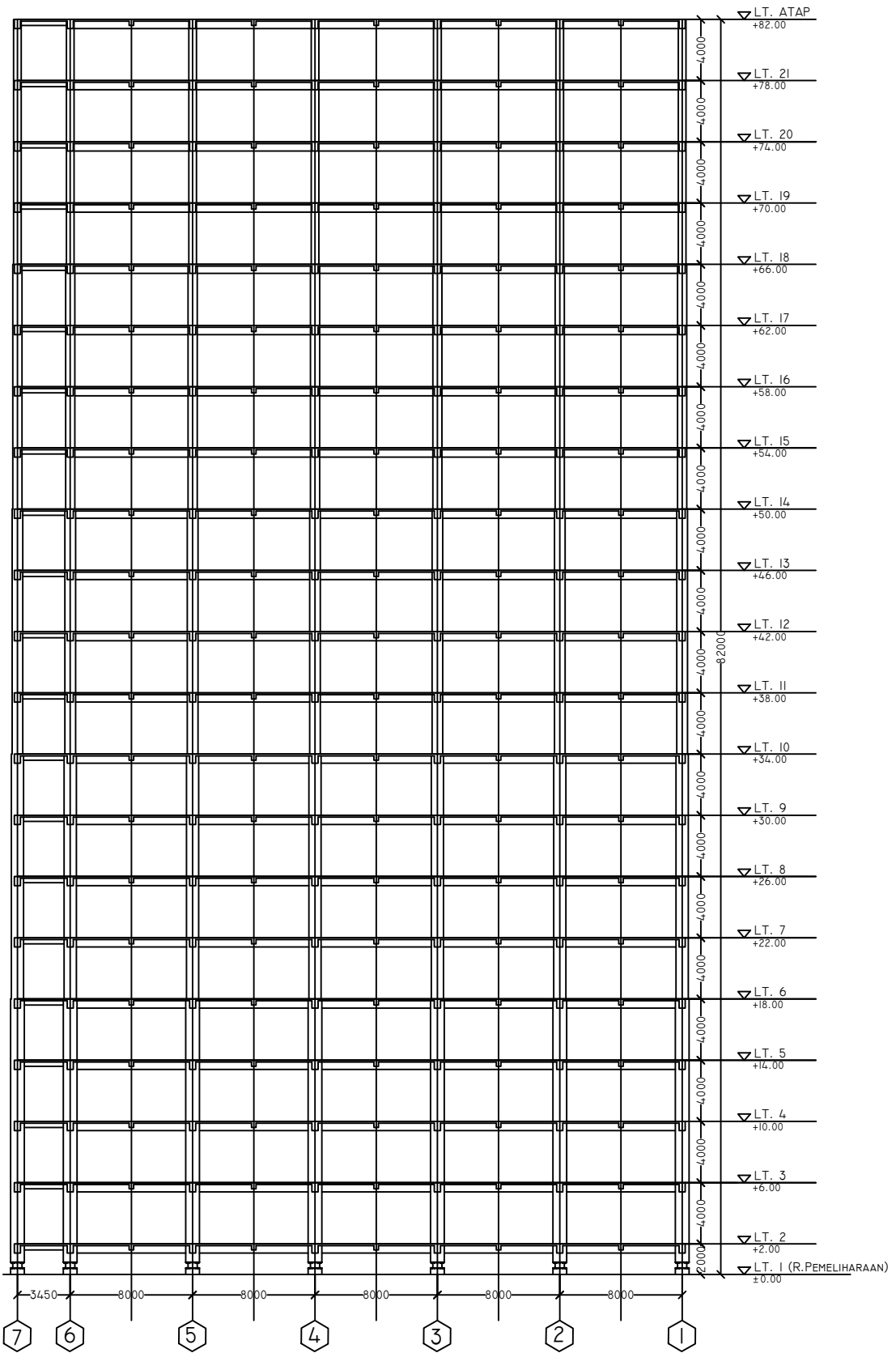
| | | | | | |
|--|------------------------|---------|--------------------|--|--------------------|
| JUDUL TUGAS AKHIR | JUDUL GAMBAR | SKALA | NO. LEMBAR | NAMA DOSEN PEMBIMBING | NAMA/NRP MAHASISWA |
| MODIFIKASI PERANCANGAN GEDUNG SKY SUITES SOHO SURABAYA DENGAN BASE ISOLATOR : HIGH DAMPING RUBBER BEARING (HDRB) DAN PETA GEMPA TAHUN 2017 | POTONGAN MEMANJANG A-A | 1 : 400 | 8 JUMLAH LEMBAR | HARUN AL RASYID, ST, MT, PhD DIANANDA ESKA PRATIWI DATA IRANATA, ST, MT, PhD 031154000007 | |

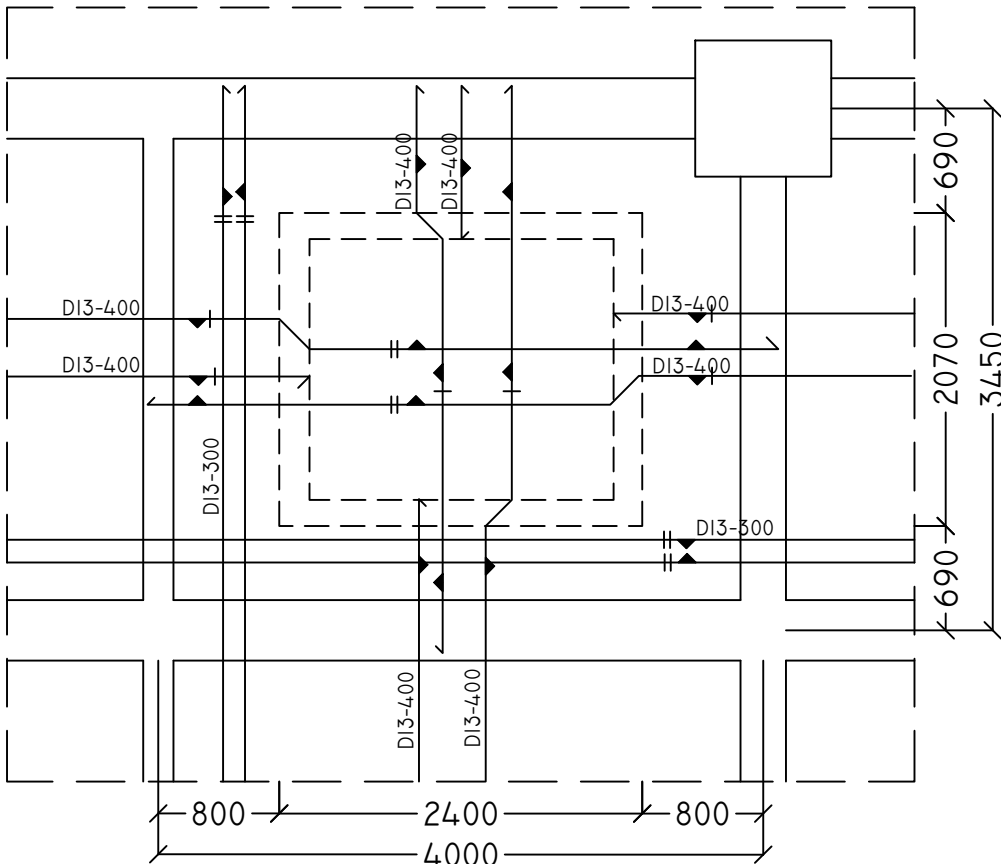


POTONGAN MEMANJANG A-A
SKALA 1:400



| | | | | | |
|---|------------------------|---------|--------------------------|--|--------------------|
| JUDUL TUGAS AKHIR | JUDUL GAMBAR | SKALA | NO. LEMBAR | NAMA DOSEN PEMBIMBING | NAMA/NRP MAHASISWA |
| MODIFIKASI PERANCANGAN GEDUNG SKYSUITES SOHO SURABAYA DENGAN BASE ISOLATOR : HIGH DAMPING RUBBER BEARING (HDRB) DAN PETA GEMPA TAHUN 2017 | POTONGAN MELINTANG B-B | 1 : 400 | 9 JUMLAH LEMBAR 27 | HARUN AL RASYID, ST, MT, PhD DIANANDA ESKA PRATIWI DATA IRANATA, ST, MT, PhD 031154000007 | |





DETAIL PENULANGAN PELAT A
SKALA 1:50



JUDUL TUGAS AKHIR

MODIFIKASI PERANCANGAN GEDUNG SKYSUITES SOHO SURABAYA DENGAN BASE ISOLATOR : HIGH DAMPING RUBBER BEARING (HDRB) DAN PETA GEMPA TAHUN 2017

JUDUL GAMBAR

DETAIL PENULANGAN
PELAT A

SKALA

I : 50

NO. LEMBAR

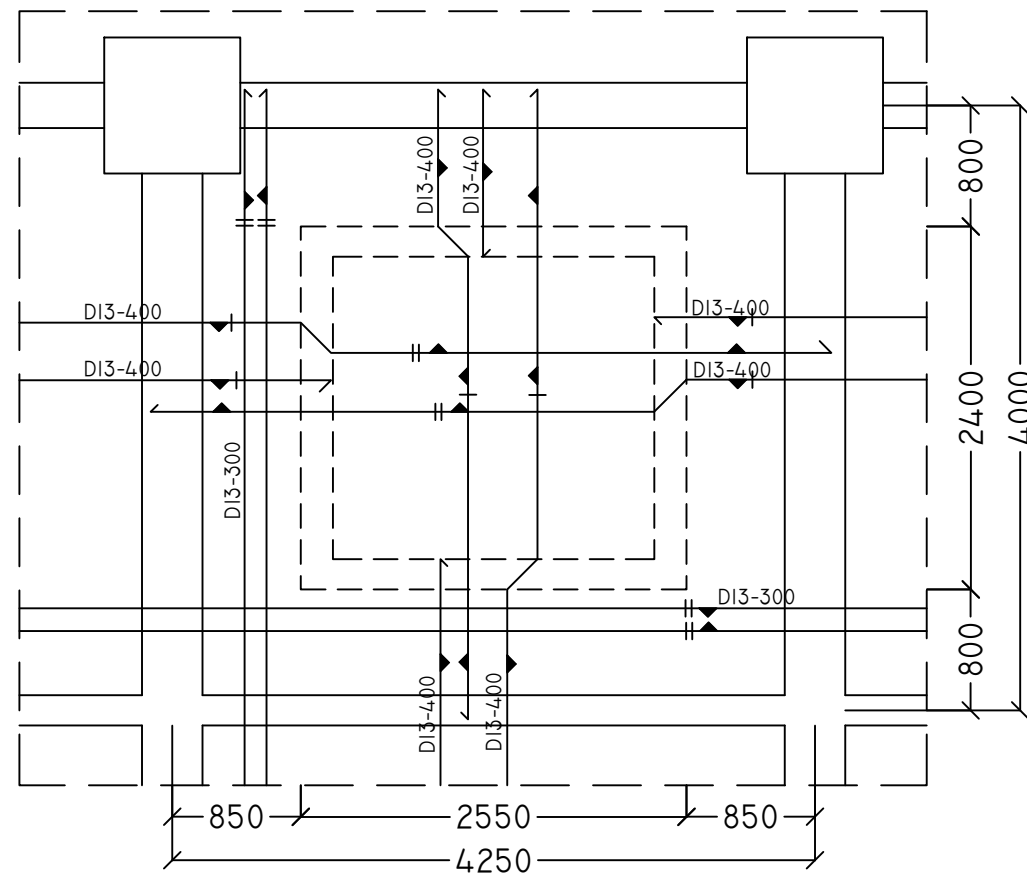
| |
|---------------|
| 10 |
| JUMLAH LEMBAR |
| 27 |

NAMA DOSEN PEMBIMBING

HARUN AL RASYID, ST. MT. PHD
DATA IRANATA, ST. MT. PHD

NAMA/NRP MAHASISWA

DIANANDA ESKA PRATIWI
0311154000007



DETAIL PENULANGAN PELAT B
SKALA 1:50



JUDUL TUGAS AKHIR

MODIFIKASI PERANCANGAN GEDUNG SKYSUITES SOHO SURABAYA DENGAN BASE ISOLATOR : HIGH DAMPING RUBBER BEARING (HDRB) DAN PETA GEMPA TAHUN 2017

JUDUL GAMBAR

DETAIL PENULANGAN
PELAT B

SKALA

I : 50

NO. LEMBAR

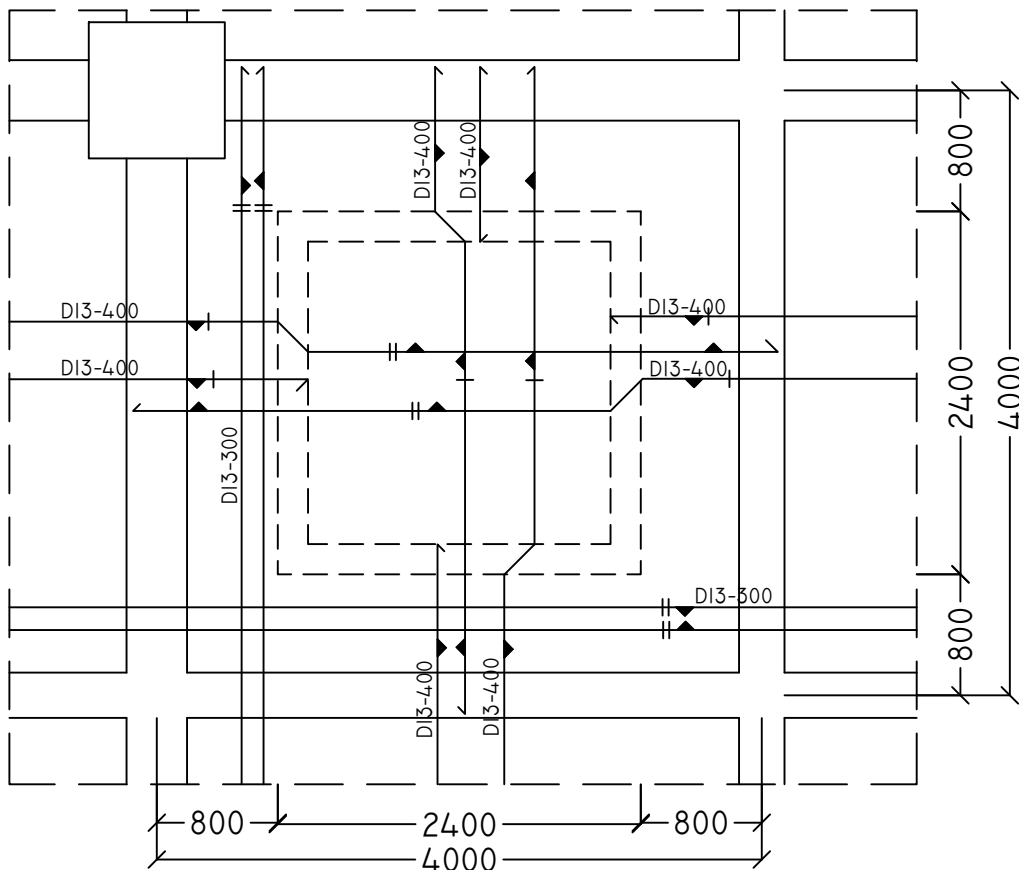
| |
|---------------|
| II |
| JUMLAH LEMBAR |
| 27 |

NAMA DOSEN PEMBIMBING

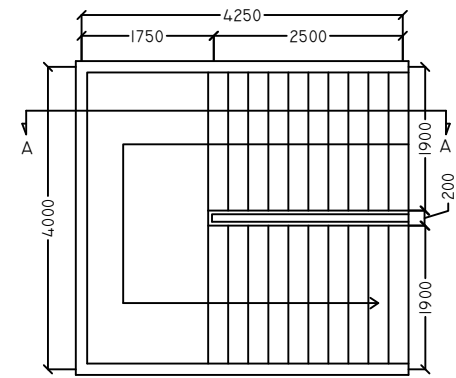
HARUN AL RASYID, ST. MT. PHD
DATA IRANATA, ST. MT. PHD

NAMA/NRP MAHASISWA

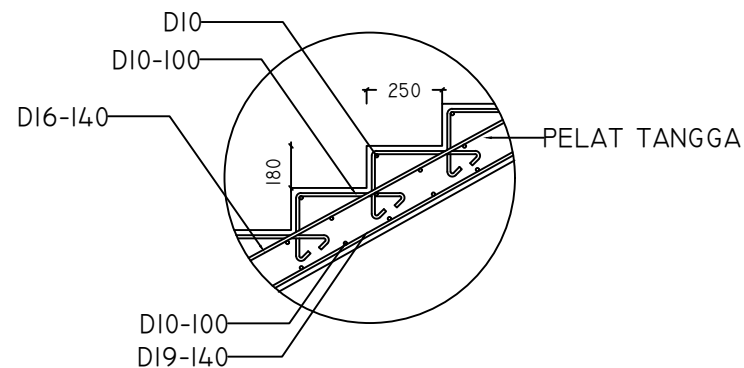
DIANANDA ESKA PRATIWI
03III54000007



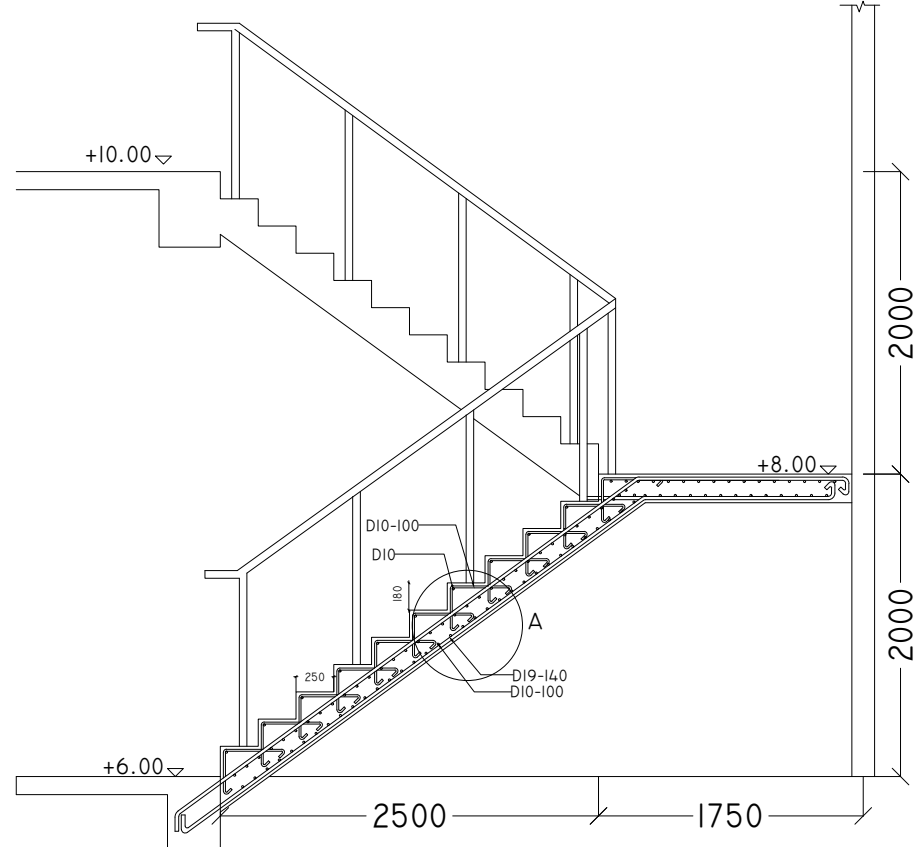
| JUDUL TUGAS AKHIR | JUDUL GAMBAR | SKALA | NO. LEMBAR | NAMA DOSEN PEMBIMBING | NAMA/NRP MAHASISWA |
|---|---------------------------|--------|---------------------------|---|--|
| MODIFIKASI PERANCANGAN GEDUNG SKYSUITES SOHO SURABAYA DENGAN BASE ISOLATOR : HIGH DAMPING RUBBER BEARING (HDRB) DAN PETA GEMPA TAHUN 2017 | DETAIL PENULANGAN PELAT C | 1 : 50 | 12 JUMLAH LEMBAR 27 | HARUN AL RASYID, ST. MT. PHD DATA IRANATA, ST. MT. PHD | DIANANDA ESKA PRATIWI 0311154000007 |



DENAH TANGGA
SKALA 1:100



DETAIL A
SKALA 1:30



POTONGAN A-A
SKALA 1:50



JUDUL TUGAS AKHIR

MODIFIKASI PERANCANGAN GEDUNG SKYSUITES SOHO SURABAYA DENGAN BASE ISOLATOR : HIGH DAMPING RUBBER BEARING (HDRB) DAN PETA GEMPA TAHUN 2017

JUDUL GAMBAR

DENAH DAN POTONGAN TANGGA

SKALA

1 : 50

NO. LEMBAR

| |
|---------------|
| 13 |
| JUMLAH LEMBAR |
| 27 |

NAMA DOSEN PEMBIMBING

HARUN AL RASYID, ST. MT. PHD
DATA IRANATA, ST. MT. PHD

NAMA/NRP MAHASISWA

DIANANDA ESKA PRATIWI
0311154000007

| TIPE | BALOK ANAK BA 1 | | | TIPE | BALOK ANAK BA 2 | | |
|-----------|-----------------|-----------|---------------|-----------|-----------------|-----------|---------------|
| LOKASI | TUMPUAN KIRI | LAPANGAN | TUMPUAN KANAN | LOKASI | TUMPUAN KIRI | LAPANGAN | TUMPUAN KANAN |
| PENAMPANG | | | | PENAMPANG | | | |
| DIMENSI | 300 x 400 | | | DIMENSI | 300 x 400 | | |
| ATAS | 5 DI6 | 2 DI6 | 5 DI6 | ATAS | 5 DI6 | 2 DI6 | 5 DI6 |
| BAWAH | 3 DI6 | 3 DI6 | 3 DI6 | BAWAH | 3 DI6 | 3 DI6 | 3 DI6 |
| SENGKANG | DI0 - I50 | DI0 - I50 | DI0 - I50 | SENGKANG | DI0 - I50 | DI0 - I50 | DI0 - I50 |
| TIPE | BALOK ANAK BA 3 | | | | BALOK ANAK BA 4 | | |
| LOKASI | TUMPUAN KIRI | LAPANGAN | TUMPUAN KANAN | LOKASI | TUMPUAN KIRI | LAPANGAN | TUMPUAN KANAN |
| PENAMPANG | | | | PENAMPANG | | | |
| DIMENSI | 200 x 250 | | | DIMENSI | 200 x 250 | | |
| ATAS | 2 DI6 | 2 DI6 | 2 DI6 | ATAS | 2 DI6 | 2 DI6 | 2 DI6 |
| BAWAH | 2 DI6 | 2 DI6 | 2 DI6 | BAWAH | 2 DI6 | 2 DI6 | 2 DI6 |
| SENGKANG | DI0 - 90 | DI0 - 90 | DI0 - 90 | SENGKANG | DI0 - 90 | DI0 - 90 | DI0 - 90 |
| TIPE | BALOK ANAK BA 5 | | | TIPE | BALOK LIFT | | |
| LOKASI | TUMPUAN KIRI | LAPANGAN | TUMPUAN KANAN | LOKASI | TUMPUAN KIRI | LAPANGAN | TUMPUAN KANAN |
| PENAMPANG | | | | PENAMPANG | | | |
| DIMENSI | 200 x 250 | | | DIMENSI | 200 x 250 | | |
| ATAS | 2 DI6 | 2 DI6 | 2 DI6 | ATAS | 3 DI9 | 2 DI9 | 3 DI9 |
| BAWAH | 2 DI6 | 2 DI6 | 2 DI6 | BAWAH | 2 DI9 | 3 DI9 | 2 DI9 |
| SENGKANG | DI0 - 90 | DI0 - 90 | DI0 - 90 | SENGKANG | DI0 - I40 | DI0 - I40 | DI0 - I40 |

 DETAIL BALOK ANAK DAN LIFT
SKALA 1:40

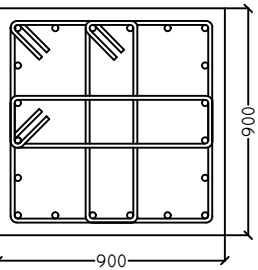
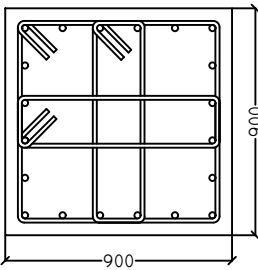
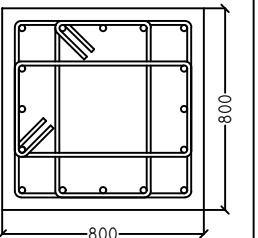
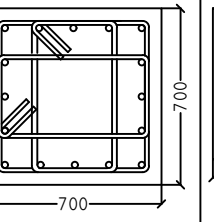
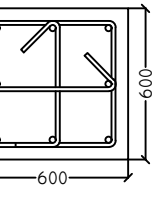
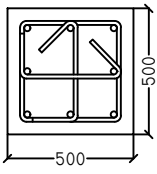
| JUDUL TUGAS AKHIR | MODIFIKASI PERANCANGAN GEDUNG SKYSUITES SOHO SURABAYA DENGAN BASE ISOLATOR : HIGH DAMPING RUBBER BEARING (HDRB) DAN PETA GEMPA TAHUN 2017 | JUDUL GAMBAR | SKALA | NO. LEMBAR | NAMA DOSEN PEMBIMBING | | NAMA/NRP MAHASISWA | |
|---|---|----------------------------------|--------|------------|---|---------------|--|--|
| | | | | | 14 | JUMLAH LEMBAR | | |
| | | | | | 27 | | | |
|  | | DETAIL BALOK ANAK DAN BALOK LIFT | I : 40 | | HARUN AL RASYID, ST. MT. PHD DATA IRANATA, ST. MT. PHD | | DIANANDA ESKA PRATIWI 0311154000007 | |

| TIPE | BALOK INDUK BI 1 | | | TIPE | BALOK INDUK BI 2 | | |
|-----------|------------------|-----------|---------------|-----------|------------------|-----------|---------------|
| LOKASI | TUMPUAN KIRI | LAPANGAN | TUMPUAN KANAN | LOKASI | TUMPUAN KIRI | LAPANGAN | TUMPUAN KANAN |
| PENAMPANG | | | | PENAMPANG | | | |
| DIMENSI | 400 x 600 | | | DIMENSI | 300 x 400 | | |
| ATAS | I0 D22 | 4 D22 | I0 D22 | ATAS | 5 D22 | 2 D22 | 5 D22 |
| BAWAH | 6 D22 | 4 D22 | 6 D22 | BAWAH | 4 D22 | 2 D22 | 4 D22 |
| SENGKANG | DI3 - I50 | DI3 - I50 | DI3 - I50 | SENGKANG | DI3 - I50 | DI3 - I50 | DI3 - I50 |
| SAMPING | 2 D25 | | | SAMPING | 2 DI3 | | |
| TIPE | BALOK INDUK BI 3 | | | TIPE | BALOK INDUK BI 4 | | |
| LOKASI | TUMPUAN KIRI | LAPANGAN | TUMPUAN KANAN | LOKASI | TUMPUAN KIRI | LAPANGAN | TUMPUAN KANAN |
| PENAMPANG | | | | PENAMPANG | | | |
| DIMENSI | 400 x 600 | | | DIMENSI | 300 x 400 | | |
| ATAS | I0 D22 | 4 D22 | I0 D22 | ATAS | 5 D22 | 2 D22 | 5 D22 |
| BAWAH | 5 D22 | 5 D22 | 5 D22 | BAWAH | 3 D22 | 2 D22 | 3 D22 |
| SENGKANG | DI3 - I50 | DI3 - I50 | DI3 - I50 | SENGKANG | DI3 - I50 | DI3 - I50 | DI3 - I50 |
| SAMPING | 2 D25 | | | SAMPING | 2 DI3 | | |
| TIPE | BALOK INDUK BI 5 | | | | | | |
| LOKASI | TUMPUAN KIRI | LAPANGAN | TUMPUAN KANAN | | | | |
| PENAMPANG | | | | | | | |
| DIMENSI | 400 x 600 | | | | | | |
| ATAS | 7 D22 | 3 D22 | 3 D22 | | | | |
| BAWAH | 4 D22 | 4 D22 | 4 D22 | | | | |
| SENGKANG | DI3 - I50 | DI3 - I50 | DI3 - I50 | | | | |
| SAMPING | 2 D22 | | | | | | |



DETAIL BALOK INDUK
SKALA 1:40

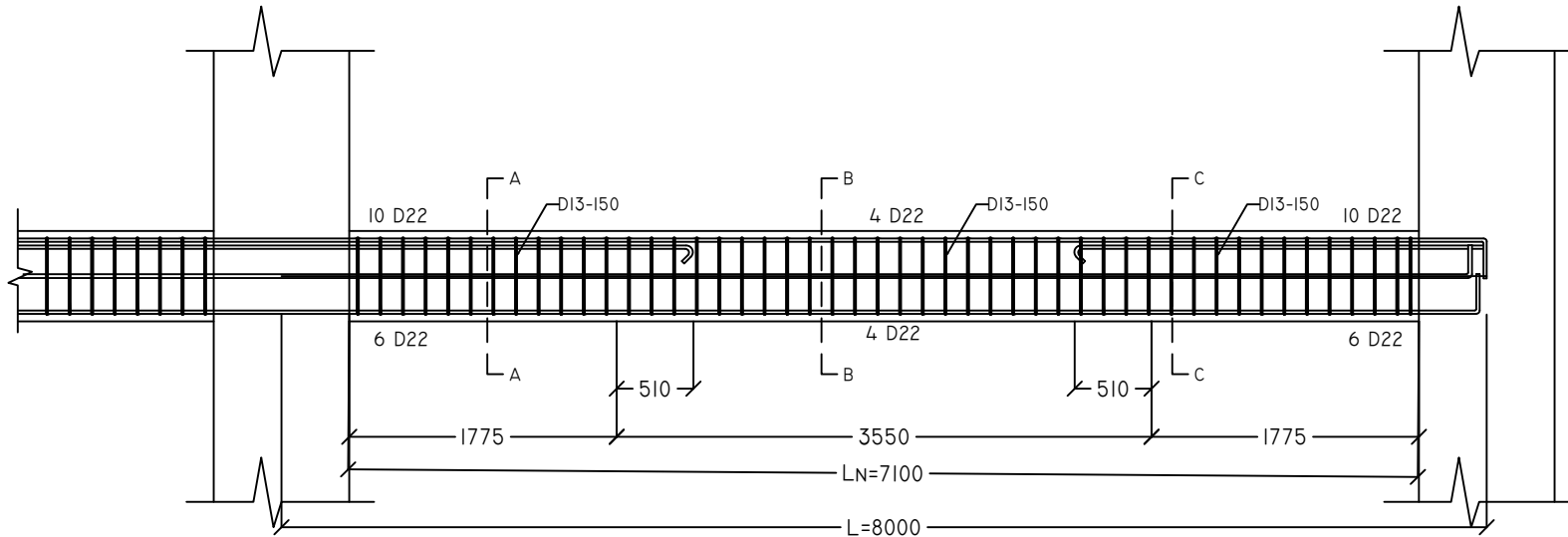
| JUDUL TUGAS AKHIR | MODIFIKASI PERANCANGAN GEDUNG SKYSUITES SOHO SURABAYA DENGAN BASE ISOLATOR : HIGH DAMPING RUBBER BEARING (HDRB) DAN PETA GEMPA TAHUN 2017 | JUDUL GAMBAR | SKALA | NO. LEMBAR | NAMA DOSEN PEMBIMBING | | NAMA/NRP MAHASISWA | |
|-------------------|---|--------------|-------|------------|-----------------------|---|--|--|
| | | | | | 15 | HARUN AL RASYID, ST. MT. PHD DATA IRANATA, ST. MT. PHD | | |
| | | | | | JUMLAH LEMBAR | | | |
| | | | | | 27 | | DIANANDA ESKA PRATIWI 0311154000007 | |

| TIPE | PEDESTAL | KOLOM K1 | KOLOM K2 | KOLOM K3 | KOLOM K4 | KOLOM K5 |
|------------|---|--|---|---|---|---|
| PENAMPANG |  |  |  |  |  |  |
| DIMENSI | 900 x 900 | 900 x 900 | 800 x 800 | 700 x 700 | 600 x 600 | 500 x 500 |
| TUL. UTAMA | 20 D25 | 20 D25 | I6 D25 | I2 D25 | 8 D25 | 8 D25 |
| SENGKANG | 4 DI6 - 100 | 4 DI6 - 100 | 4 DI6 - 100 | 4 DI6 - 100 | 3 DI6 - 90 | 3 DI6 - 90 |

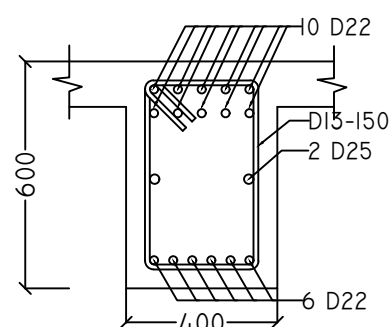


DETAIL KOLOM
SKALA 1:30

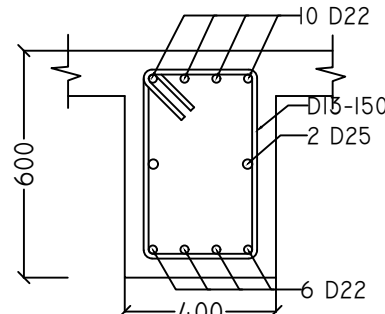
| JUDUL TUGAS AKHIR | JUDUL GAMBAR | SKALA | NO. LEMBAR | NAMA DOSEN PEMBIMBING | NAMA/NRP MAHASISWA |
|---|--------------|--------|---------------------------|---|--|
| MODIFIKASI PERANCANGAN GEDUNG SKYSUITES SOHO SURABAYA DENGAN BASE ISOLATOR : HIGH DAMPING RUBBER BEARING (HDRB) DAN PETA GEMPA TAHUN 2017 | DETAIL KOLOM | 1 : 30 | 16 JUMLAH LEMBAR 27 | HARUN AL RASYID, ST. MT. PHD DATA IRANATA, ST. MT. PHD | DIANANDA ESKA PRATIWI 0311154000007 |



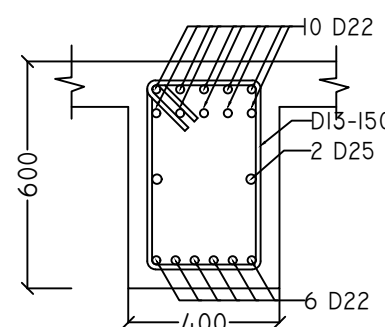
DETAIL PENULANGAN BALOK INDUK BI I
SKALA 1:50



POTONGAN A-A
SKALA 1:20

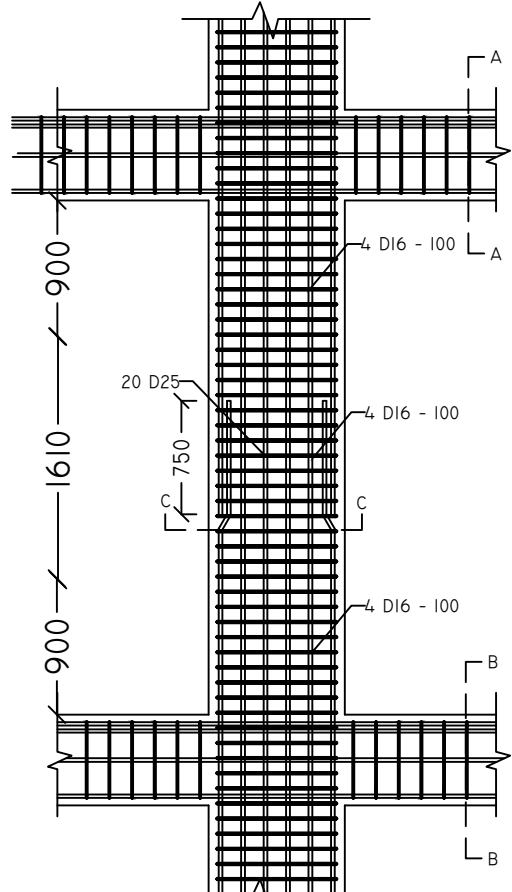


POTONGAN B-B
SKALA 1:20

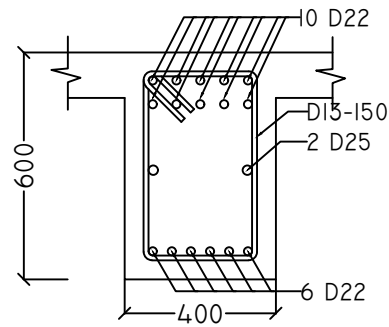


POTONGAN C-C
SKALA 1:20

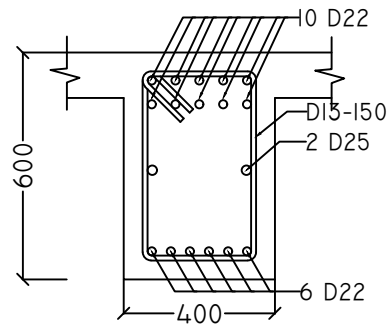
| JUDUL TUGAS AKHIR | JUDUL GAMBAR | SKALA | NO. LEMBAR | NAMA DOSEN PEMBIMBING | NAMA/NRP MAHASISWA |
|---|-------------------------------|--------|---------------------------|---|--|
|  MODIFIKASI PERANCANGAN GEDUNG SKYSUITES SOHO SURABAYA DENGAN BASE ISOLATOR : HIGH DAMPING RUBBER BEARING (HDRB) DAN PETA GEMPA TAHUN 2017 | DETAIL PENULANGAN BALOK INDUK | 1 : 40 | 17 JUMLAH LEMBAR 27 | HARUN AL RASYID, ST. MT. PHD DATA IRANATA, ST. MT. PHD | DIANANDA ESKA PRATIWI 03III54000007 |



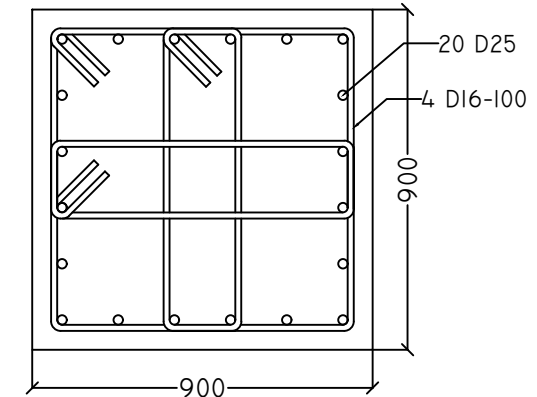
DETAIL PENULANGAN KOLOM KI
SKALA I:50



POTONGAN A-A
SKALA I:20



POTONGAN B-B
SKALA I:20



POTONGAN C-C
SKALA I:20



JUDUL TUGAS AKHIR

MODIFIKASI PERANCANGAN GEDUNG SKYSUITES SOHO SURABAYA DENGAN BASE ISOLATOR : HIGH DAMPING RUBBER BEARING (HDRB) DAN PETA GEMPA TAHUN 2017

JUDUL GAMBAR

DETAIL PENULANGAN KOLOM

SKALA

I : 50

NO. LEMBAR

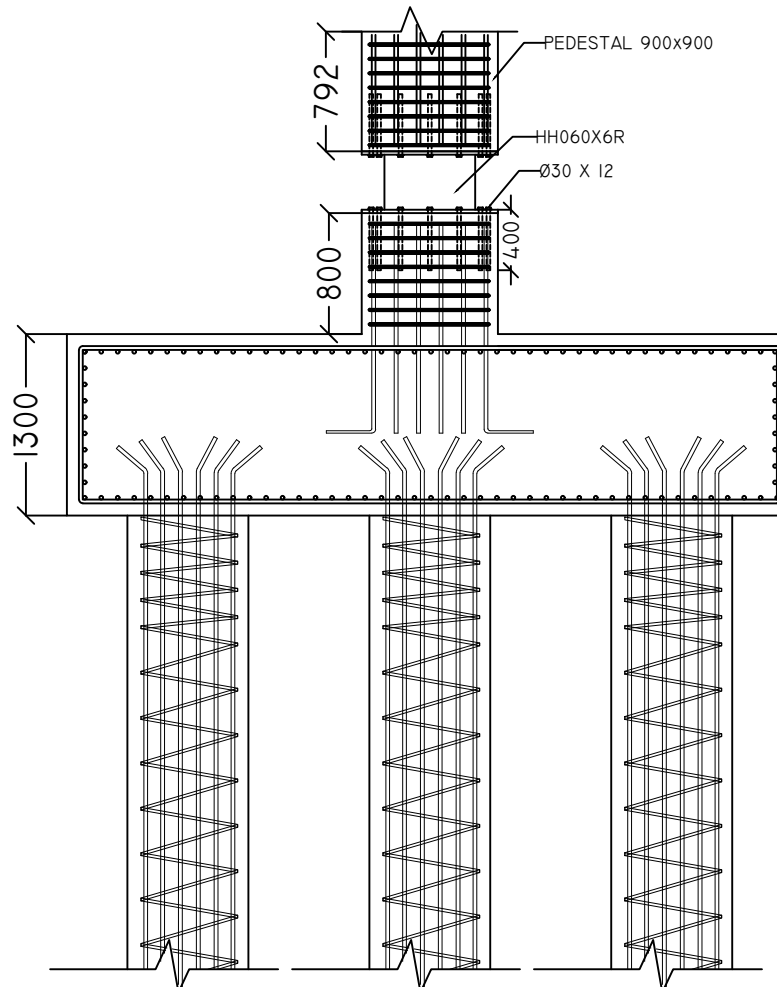
| |
|---------------|
| 18 |
| JUMLAH LEMBAR |
| 27 |

NAMA DOSEN PEMBIMBING

HARUN AL RASYID, ST. MT. PHD
DATA IRANATA, ST. MT. PHD

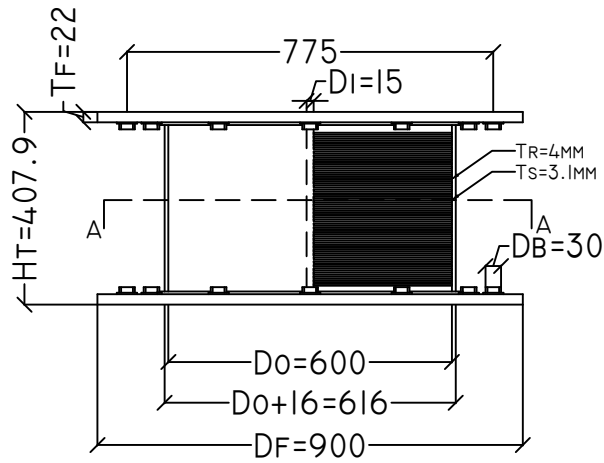
NAMA/NRP MAHASISWA

DIANANDA ESKA PRATIWI
0311154000007

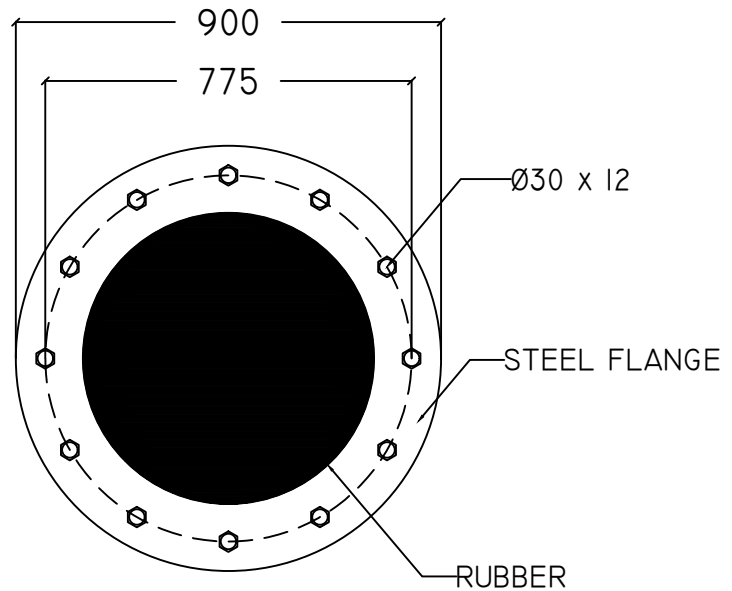


DETAIL HDRB
SKALA 1:50

| JUDUL TUGAS AKHIR | JUDUL GAMBAR | SKALA | NO. LEMBAR | NAMA DOSEN PEMBIMBING | NAMA/NRP MAHASISWA |
|---|--------------|--------|---------------------------|---|--|
| MODIFIKASI PERANCANGAN GEDUNG SKYSUITES SOHO SURABAYA DENGAN BASE ISOLATOR : HIGH DAMPING RUBBER BEARING (HDRB) DAN PETA GEMPA TAHUN 2017 | DETAIL HDRB | 1 : 50 | 19 JUMLAH LEMBAR 22 | HARUN AL RASYID, ST. MT. PHD DATA IRANATA, ST. MT. PHD | DIANANDA ESKA PRATIWI 0311154000007 |



DETAIL HDRB
SKALA 1:16



POTONGAN A-A
SKALA 1:16



JUDUL TUGAS AKHIR

MODIFIKASI PERANCANGAN GEDUNG SKYSUITES SOHO SURABAYA DENGAN BASE ISOLATOR : HIGH DAMPING RUBBER BEARING (HDRB) DAN PETA GEMPA TAHUN 2017

JUDUL GAMBAR

DETAIL HDRB

SKALA

1 : 16

NO. LEMBAR

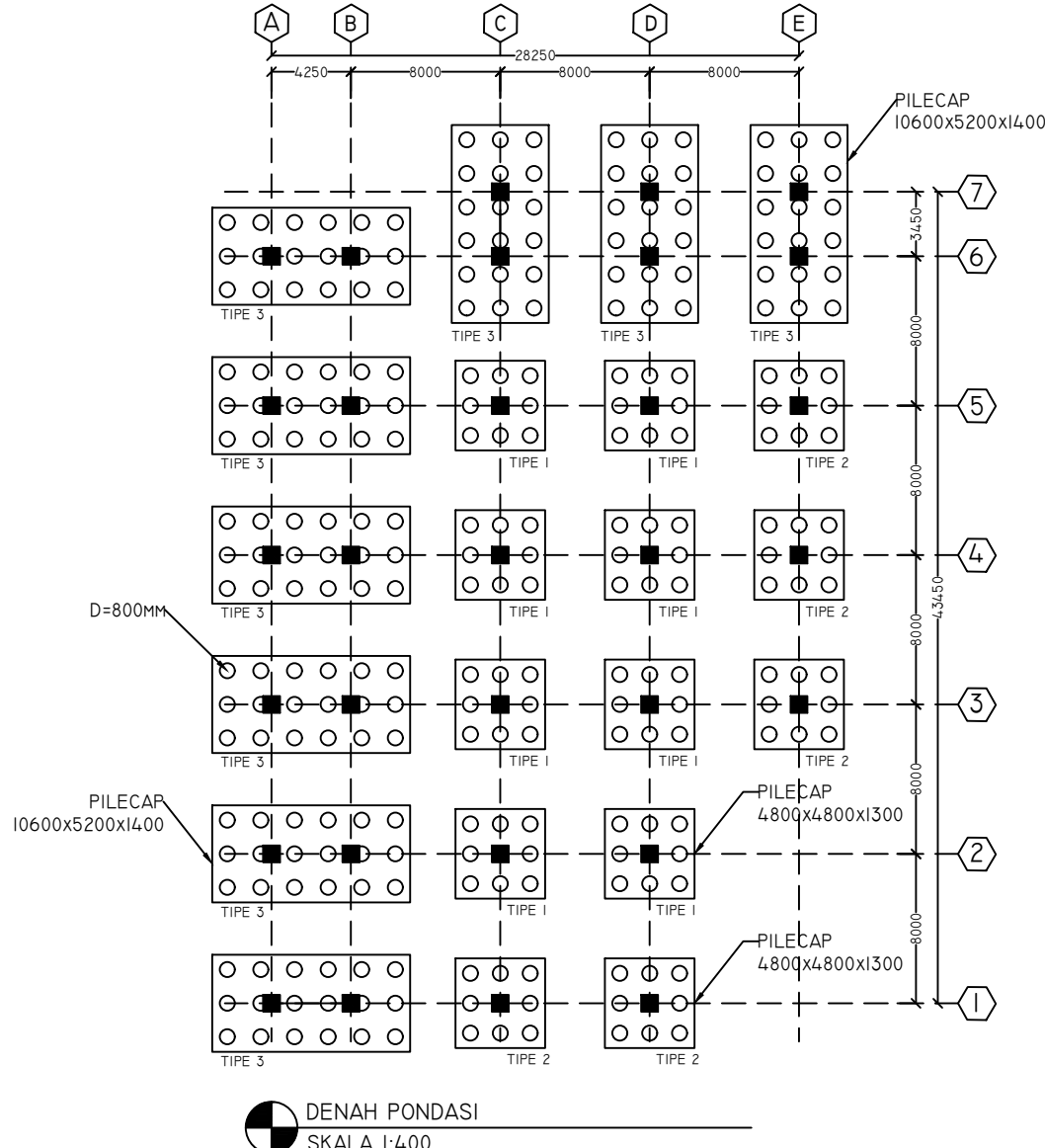
| |
|---------------|
| 20 |
| JUMLAH LEMBAR |
| 27 |

NAMA DOSEN PEMBIMBING

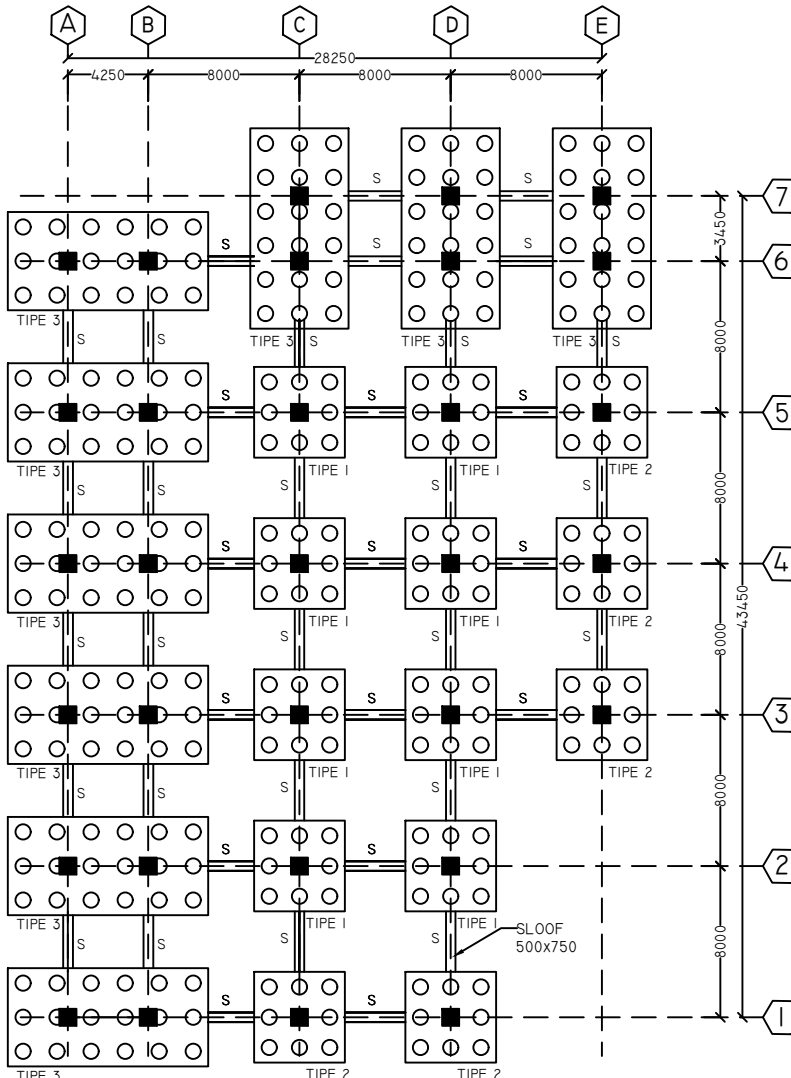
HARUN AL RASYID, ST. MT. PHD
DATA IRANATA, ST. MT. PHD

NAMA/NRP MAHASISWA

DIANANDA ESKA PRATIWI
0311154000007

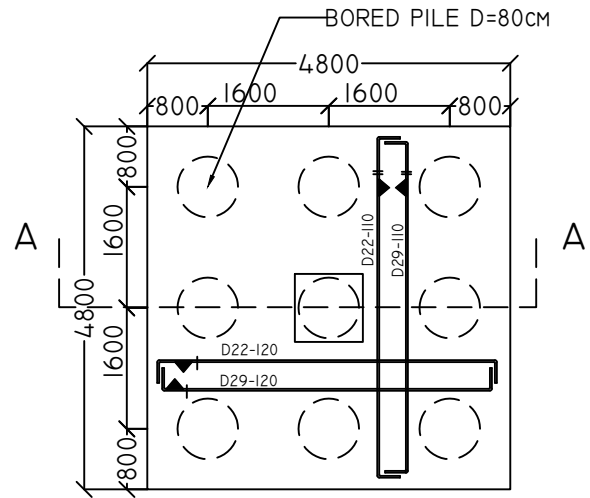


| JUDUL TUGAS AKHIR | JUDUL GAMBAR | SKALA | NO. LEMBAR | NAMA DOSEN PEMBIMBING | NAMA/NRP MAHASISWA |
|---|---------------|---------|---------------|---|---|
| MODIFIKASI PERANCANGAN GEDUNG SKYSUITES SOHO SURABAYA DENGAN BASE ISOLATOR : HIGH DAMPING RUBBER BEARING (HDRB) DAN PETA GEMPA TAHUN 2017 | DENAH PONDASI | I : 400 | 21 | HARUN AL RASYID, ST. MT. PHD DATA IRANATA, ST. MT. PHD | DIANANDA ESKA PRATIWI 03II1540000007 |
| | | | JUMLAH LEMBAR | | |
| | | | 27 | | |

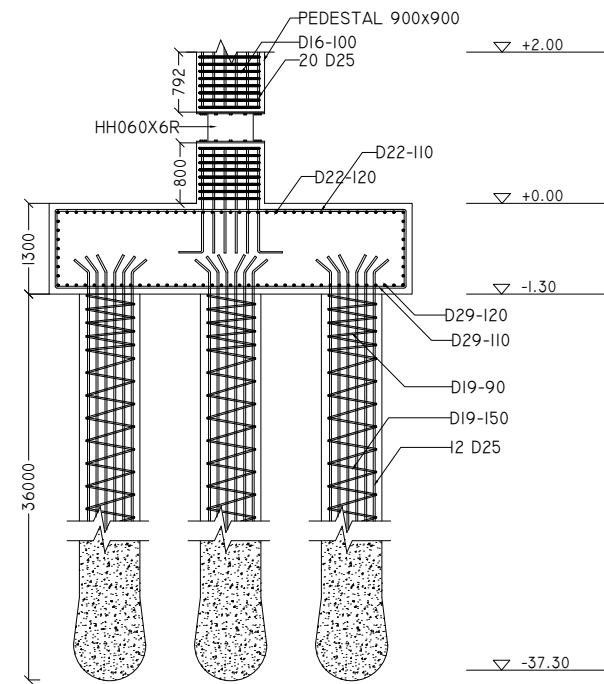


DENAH SLOOF
SKALA 1:400

| JUDUL TUGAS AKHIR | MODIFIKASI PERANCANGAN GEDUNG SKYSUITES SOHO SURABAYA DENGAN BASE ISOLATOR : HIGH DAMPING RUBBER BEARING (HDRB) DAN PETA GEMPA TAHUN 2017 | JUDUL GAMBAR | SKALA | NO. LEMBAR | NAMA DOSEN PEMBIMBING | NAMA/NRP MAHASISWA |
|-------------------|---|--------------|---------|---------------|-----------------------|---|
| | | | | | 22 | DIANANDA ESKA PRATIWI 03III54000007 |
| | | DENAH SLOOF | 1 : 400 | JUMLAH LEMBAR | 27 | HARUN AL RASYID, ST. MT. PHD DATA IRANATA, ST. MT. PHD |



PENULANGAN PILECAP TIPE I
SKALA 1:100



POTONGAN A-A
SKALA 1:100



JUDUL TUGAS AKHIR

MODIFIKASI PERANCANGAN GEDUNG SKYSUITES SOHO SURABAYA DENGAN BASE ISOLATOR : HIGH DAMPING RUBBER BEARING (HDRB) DAN PETA GEMPA TAHUN 2017

JUDUL GAMBAR

DETAIL PILECAP
TIPE I

SKALA

I : 100

NO. LEMBAR

23

JUMLAH LEMBAR

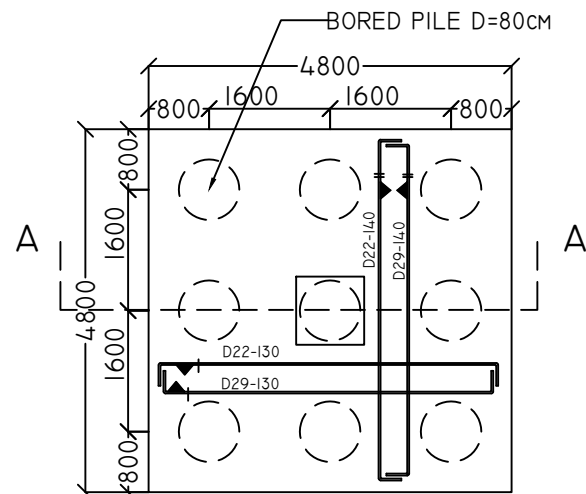
27

NAMA DOSEN PEMBIMBING

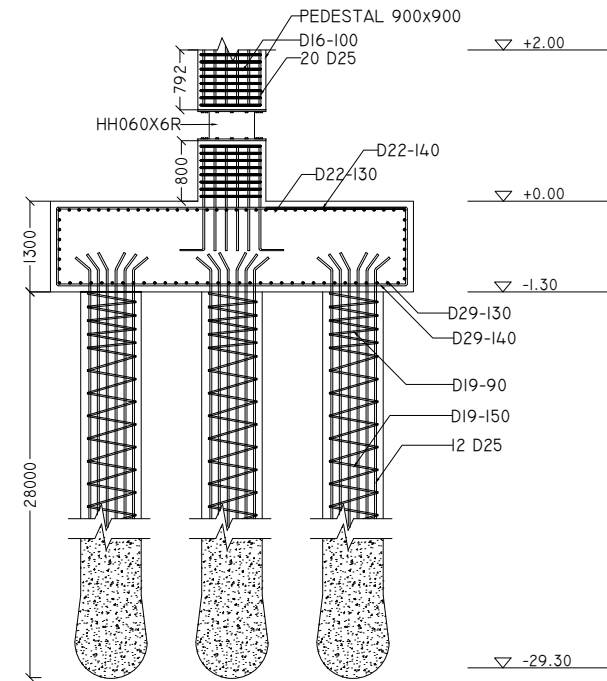
HARUN AL RASYID, ST. MT. PHD
DATA IRANATA, ST. MT. PHD

NAMA/NRP MAHASISWA

DIANANDA ESKA PRATIWI
0311154000007



PENULANGAN PILECAP TIPE 2
SKALA 1:100



POTONGAN A-A
SKALA 1:100



JUDUL TUGAS AKHIR

MODIFIKASI PERANCANGAN GEDUNG SKYSUITES SOHO SURABAYA DENGAN BASE ISOLATOR : HIGH DAMPING RUBBER BEARING (HDRB) DAN PETA GEMPA TAHUN 2017

JUDUL GAMBAR

DETAIL PILECAP
TIPE 2

SKALA

1 : 100

NO. LEMBAR

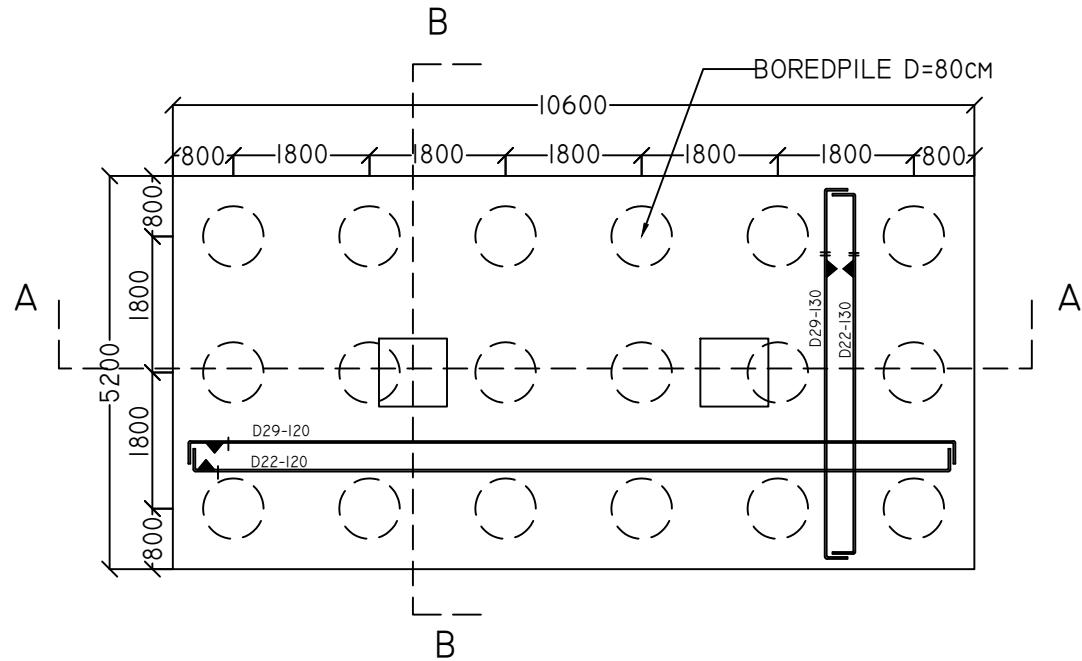
| |
|---------------|
| 24 |
| JUMLAH LEMBAR |
| 27 |

NAMA DOSEN PEMBIMBING

HARUN AL RASYID, ST. MT. PHD
DATA IRANATA, ST. MT. PHD

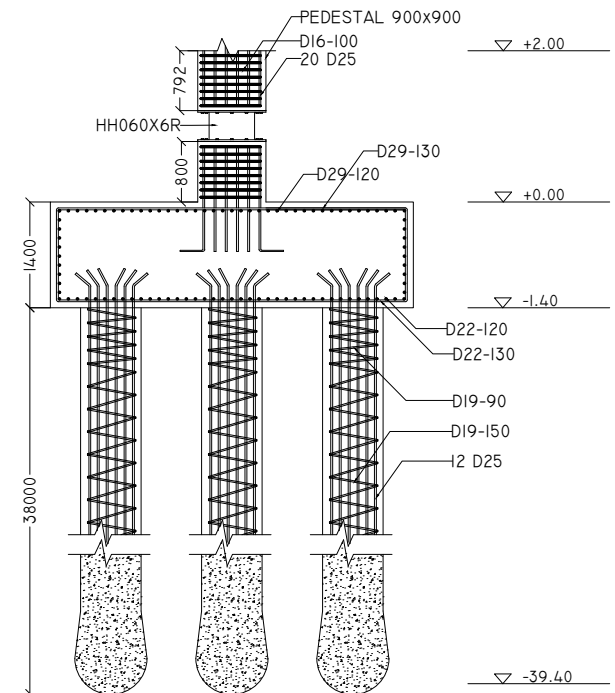
NAMA/NRP MAHASISWA

DIANANDA ESKA PRATIWI
0311154000007



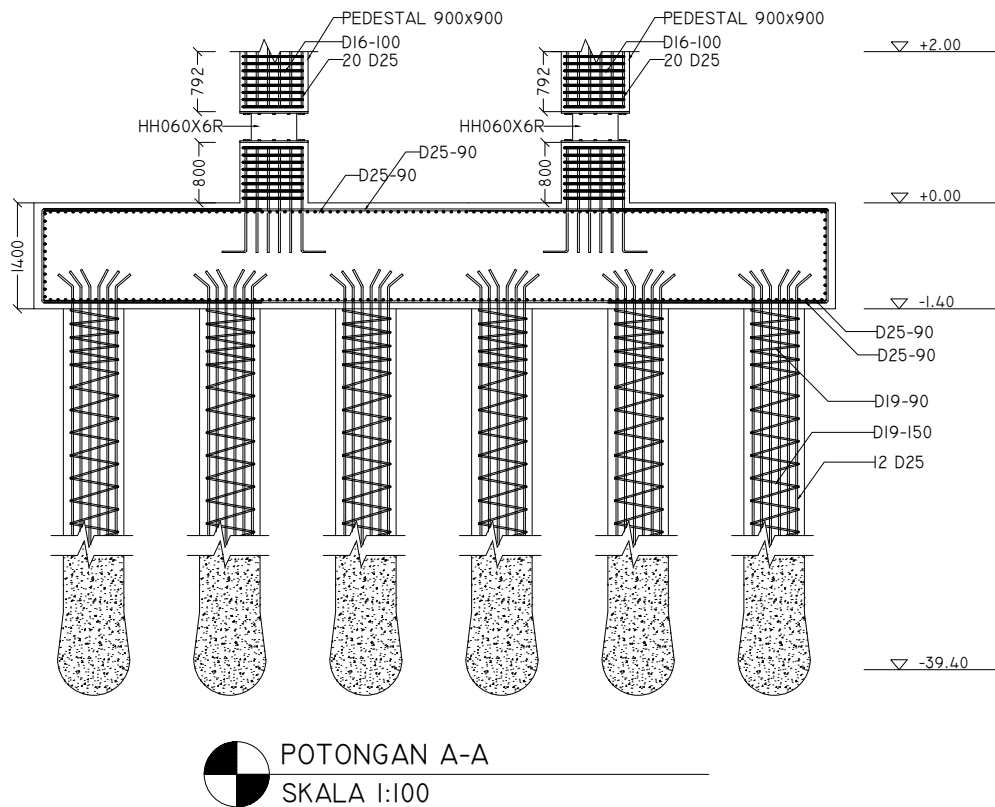
PENULANGAN PILECAP TIPE 3

SKALA 1:100

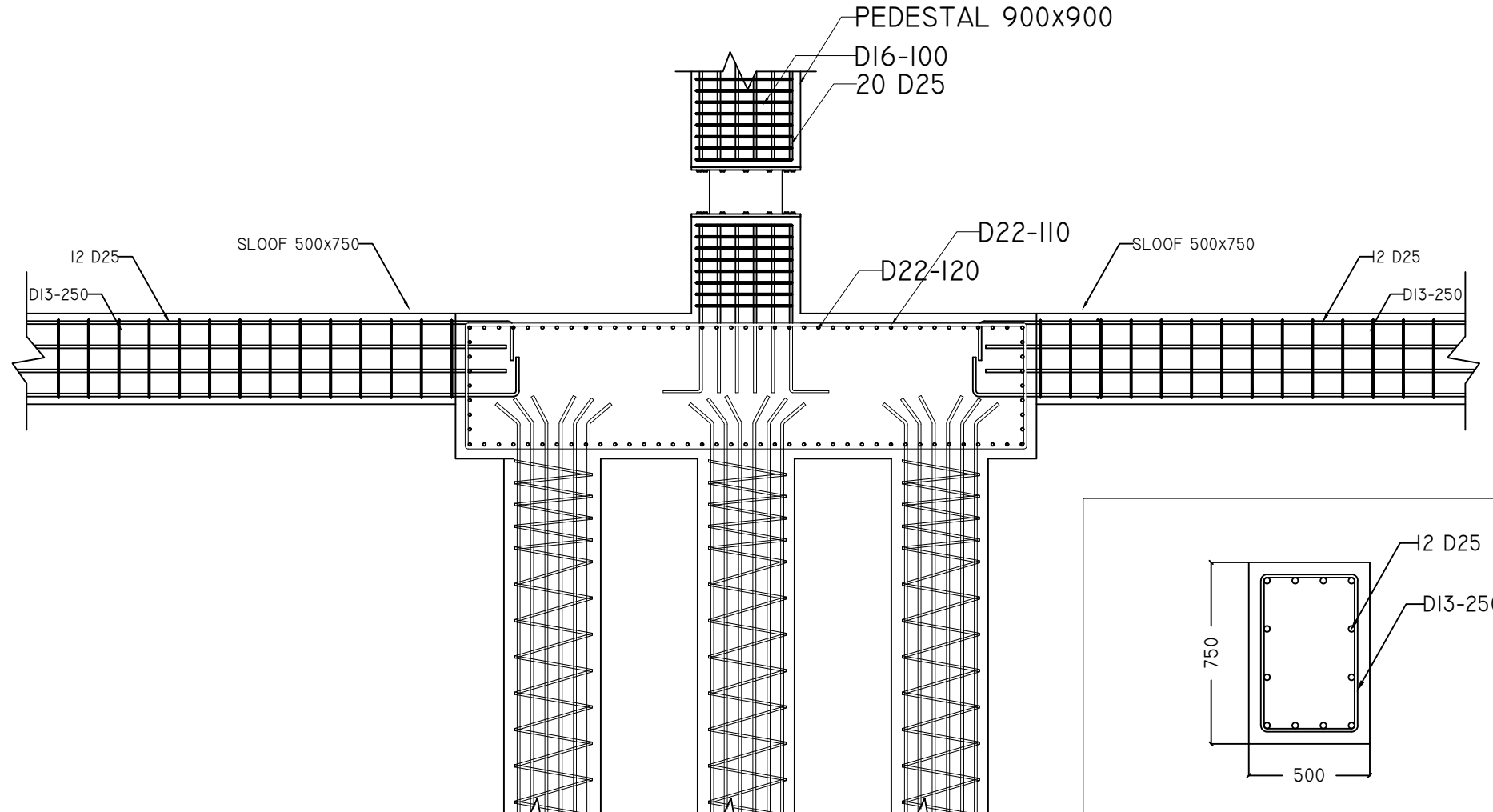


POTONGAN B-B
SKALA 1:100

| JUDUL TUGAS AKHIR | JUDUL GAMBAR | SKALA | NO. LEMBAR | NAMA DOSEN PEMBIMBING | NAMA/NRP MAHASISWA |
|---|-----------------------|---------|---------------|---|---|
| MODIFIKASI PERANCANGAN GEDUNG SKYSUITES SOHO SURABAYA DENGAN BASE ISOLATOR : HIGH DAMPING RUBBER BEARING (HDRB) DAN PETA GEMPA TAHUN 2017 | DETAIL PILECAP TIPE 3 | I : 100 | 25 | HARUN AL RASYID, ST. MT. PHD DATA IRANATA, ST. MT. PHD | DIANANDA ESKA PRATIWI 03111540000007 |
| | | | JUMLAH LEMBAR | | |
| | | | 27 | | |



| JUDUL TUGAS AKHIR | JUDUL GAMBAR | SKALA | NO. LEMBAR | NAMA DOSEN PEMBIMBING | NAMA/NRP MAHASISWA |
|---|-----------------------|---------|---------------------------|---|--|
| MODIFIKASI PERANCANGAN GEDUNG SKYSUITES SOHO SURABAYA DENGAN BASE ISOLATOR : HIGH DAMPING RUBBER BEARING (HDRB) DAN PETA GEMPA TAHUN 2017 | DETAIL PILECAP TIPE 3 | 1 : 100 | 26 JUMLAH LEMBAR 27 | HARUN AL RASYID, ST. MT. PHD DATA IRANATA, ST. MT. PHD | DIANANDA ESKA PRATIWI 03III54000007 |



DETAIL SLOOF
SKALA 1:50

| JUDUL TUGAS AKHIR | JUDUL GAMBAR | SKALA | NO. LEMBAR | NAMA DOSEN PEMBIMBING | NAMA/NRP MAHASISWA |
|---|--------------|--------|---------------------------|---|--|
| MODIFIKASI PERANCANGAN GEDUNG SKYSUITES SOHO SURABAYA DENGAN BASE ISOLATOR : HIGH DAMPING RUBBER BEARING (HDRB) DAN PETA GEMPA TAHUN 2017 | DETAIL SLOOF | 1 : 50 | 27 JUMLAH LEMBAR 27 | HARUN AL RASYID, ST. MT. PHD DATA IRANATA, ST. MT. PHD | DIANANDA ESKA PRATIWI 0311154000007 |



Form AK/TA-04
rev01

PROGRAM STUDI S-1 JURUSAN TEKNIK SIPIL FTSP - ITS
LEMBAR KEGIATAN ASISTENSI TUGAS AKHIR (WAJIB DIISI)

Jurusan Teknik Sipil Lt.2, Kampus ITS Sukolilo, Surabaya 601111
Telp.031-5946094, Fax.031-5947284



| | | |
|-------------------|---|---|
| NAMA PEMBIMBING | : | Harun Al Rasyid, ST., MT., PhD |
| NAMA MAHASISWA | : | Diananda Esta Pratiwi |
| NRP | : | 03111540000007 |
| JUDUL TUGAS AKHIR | : | Modifikasi Perancangan Gedung Skysuites Soho Surabaya dengan Base Isolator : High Damping Rubber Bearing (HDRB) dan Peta Gempa 2017 |
| TANGGAL PROPOSAL | : | |
| NO. SP-MMTA | : | |

| NO | TANGGAL | KEGIATAN | | PARAF ASISTEN |
|----|------------|---|----------------------|---------------|
| | | REALISASI | RENCANA MINGGU DEPAN | |
| 1. | 14-01-2019 | Preliminary design balok, pelat, kolom | | jl |
| 2. | 26-2-2019 | Pemodelan struktur fixed base | | dl |
| 3. | 8-3-2019 | Perencanaan tangga dan balok lift | | mu |
| 4. | 23-4-2019 | - Perencanaan pelat, balok anak - Perencanaan dimensi HDRB | | jl |
| 5. | 7-5-2019 | - Pemodelan base isolator - kontrol | | jl |
| 6. | 17-5-2019 | - Penulangan balok induk | | dl |
| 7 | 22-5-2019 | - Penulangan kolom | | jl |



Form AK/TA-04
rev01

PROGRAM STUDI S-1 JURUSAN TEKNIK SIPIL FTSP - ITS
LEMBAR KEGIATAN ASISTENSI TUGAS AKHIR (WAJIB DIISI)

Jurusan Teknik Sipil Lt.2, Kampus ITS Sukolilo, Surabaya 601111
Telp.031-5946094, Fax.031-5947284



| | |
|-------------------|---|
| NAMA PEMBIMBING | : Data Iranata, ST., MT., PhD |
| NAMA MAHASISWA | : DIANANDA ESFA PRATIWI |
| NRP | : 03111540000007 |
| JUDUL TUGAS AKHIR | : Modifikasi Perancangan Gedung Skysuites Soho Surabaya dengan Base Isolator : High Damping Rubber Bearing (HDRB) dan Peta Gempa Tahun 2017 |
| TANGGAL PROPOSAL | : |
| NO. SP-MMTA | : |

| NO | TANGGAL | KEGIATAN | | PARAF ASISTEN |
|----|------------|--|----------------------|---------------|
| | | REALISASI | RENCANA MINGGU DEPAN | |
| 1. | 7-01-2019 | Preliminary design balok, pelat, dan kolom | | ↗ |
| 2. | 25-02-2019 | Pemodelan struktur fixed base | | ↗ |
| 3. | 8-03-2019 | Perencanaan tangga dan balok lift | | ↗ |
| 4. | 20-03-2019 | Perencanaan dimensi HDRB | | ↗ |
| 5. | 2-05-2019 | Pemodelan base isolator Kontrol pemodelan Penulangan balok induk | | ↗ |
| 6. | 16-05-2019 | | | ↗ |